

ADAM TOKARSKI

O tektonice nadkładu Zagłębia między Dulową i Sierszą

TREŚĆ: Wstęp — Charakterystyka zagadnienia — Korelacja faktów: Strefa brzeżna: 1. węzeł dulowski, 2. monoklina dulowsko-młoszowska — Struktura północna: uwagi ogólne, 1. płyta myślachowicka, 2. dyslokacja Młoszowa-Karniowice, 3. płyta karniowicka, 4. zrąb Piarczykowej Góry — Podsumowanie i wnioski — Interpretacja — Literatura cytowana

WSTĘP

W czasie zjazdu Polskiego Towarzystwa Geologicznego we wrześniu 1954 r. przeprowadzona została dyskusja zarówno z oponentami (St. Siedlecki, St. Dzułyński), jak i zwolennikami (głównie St. Zb. Różycki) mojego ujęcia budowy geologicznej nadkładu Zagłębia pomiędzy Dulową i Sierszą. W rezultacie decyduję się oddać do druku wyniki moich prac z lat 1937-1939 (8, 9)* z ich wyraźnymi brakami, jak nieprzeprowadzenie stratygraficznego rozbicia wapienia muszlowego i malmu w strefie brzeżnej oraz słaba znajomość podłoża karbońskiego (tylko z planów ogólnych). Mimo wszystko bowiem uważam sprawę za dojrzałą na tyle, aby móc poddać dalszej dyskusji:

1° Zagadnienie przechodzenia, w miarę sprzyjających okoliczności, stylów tektonicznych, typowych dla jednego rejonu, na rejon drugi, — w tym przypadku stylu „karpackiego“ na struktury pozakarpackie. Myślę przy tym, że przykład ten nadaje się, zarówno ze względów metodycznych, jak i ideologicznych, na zademonstrowanie na nim dialektyki rozwoju tektonicznego.

2° Zagadnienie tektonicznego oddziaływania wielkich form paleomorfologicznych podłoża na płytkie struktury w nadkładzie, co podniosłem już poprzednio w dwu publikacjach (10, 11). Jest to bowiem zagadnienie ważne ze względu na rozwój metodyki poszukiwawczej, związanej z „pogrzebanymi grzbietami“.

* Liczby kursywą w nawiasach odsyłają do spisu literatury na końcu artykułu.

Wymienionym wyżej Kolegom, jak i wielu innym, którzy z zainteresowaniem przeprowadzali ze mną dyskusję na tematy poruszane w tej pracy, zarówno w terenie, jak w pracowni i na zebraniach, składam serdeczne podziękowanie. Jednocześnie pragnę tu wyrazić swą wdzięczność dla Prof. St. Doktorowicza-Hrebnińskiego, wybitnego znawcy Zagłębia, który zawsze udzielał mi cennych rad i wskazówek i z życzliwym zainteresowaniem śledził tok mojej pracy.

CHARAKTERYSTYKA ZAGADNIENIA

Linia północnego brzegu rowu krzeszowickiego od doliny filipowickiej do Charchołów zachodnich¹ przebiega mniej więcej równoleżnikowo. Zaznacza się ona w dzisiejszym obrazie intersekcyjnym przez to, że malm, tworzący północne fleksurowe skrzydło rowu, niezgodnie obcina przyległą od północy strukturę o biegu ogólnym pn.-zachodnim (tabl. I, fig. 1), utworzoną z kompleksów warstw piętra karniowickiego wieku permsko-karbońskiego z pokrywą mezozoiczną. W Dulowej linia brzegu rowu skręca nagle ku NW i dalej biegnie w tym kierunku równolegle do północnej struktury. Przy tym seria stratygraficzna brzegu rowu uzupełnia się tu ku dołowi triasem i permo-karbonem do pełnego skrzydła synkliny komplikując się równocześnie tektonicznie. Dlatego też mogę wydzielić na opisywanym odcinku — obok stosunkowo słabo zaburzonej struktury północnej — jako drugi element silnie zdyslokowaną strefę brzeżną, towarzyszącą pierwszej od SW.

K O R E L A C J A F A K T Ó W

STREFA BRZEŻNA

(tabl. I, fig. 1, 2 i tabl. II)

1. Węzeł dulowski (tabl. II, przekroje 1-5)

Nagle przejście brzegu rowu krzeszowickiego ku zachodowi w „strefę brzeżną“ widać w rejonie wzgórza 366 w Dulowej. Do dna jaru Charchołów zachodnich dochodzi od wschodu „normalny“ północny brzeg rowu krzeszowickiego. Wapienie skaliste malmu zapadają tu ku SW pod kątem 20-40°. Kontaktują one ze żwirami górno-karbońskiej arkozy kwaczalskiej struktury północnej o położeniu słabo zaburzonym (por. niżej str. 26). Powierzchnia kontaktu malmu z arkozą według intersekcji zapada ku południowi pod kątem 20-30°, a więc mniej więcej zgodnie z upadem wapienia skalistego.

¹ Przymiotniki „wschodnie“ i „zachodnie“ przy nazwie „Charchoły“ w tekście i na mapach wprowadziłem umownie, dla orientacji czytelnika.

Zaraz na zachód od jaru Charchołów zachodnich pas wychodni malmu, zamiast dotychczasowych 250 m, poszerza się do 500 m, w obu porównywanych odcinkach ograniczony od południa na wychodniach tylko czwartorzędem. Jest to oksfordzki wapień płytowy z perysfinktami. Upadami widocznymi w drobnych łomach zarysowane są tu na południe od monokliny północnej, pochylonej ku SW i ściętej niezgodnie równoleżnikowym brzegiem wychodni arkozy struktury północnej, dwa fałdy o kierunku osi: północny ESE, południowy SE. Zanurzają się one w swoich przekrojach podłużnych ku wschodowi — północny łagodniej, południowy bardziej stromo. W kierunku zachodnim, wraz z szybkim wynurzaniem się tych obu fałdów, wychodnie malmu, dobrze dające się prześledzić w kamienistej zwietrzelinie wzgórza, cofają się nagle ku południowi. Ich brzeg zachodni przebiega w odległości ok. 170 m na wschód od koty 366. Otrzymujemy tu intersekcyjny obraz spągowej granicy wapieni malmu, wychodzącej ku zachodowi w powietrze na osiach obu wymienionych fałdów. Dalszy ciąg wychodni malmu daje się prześledzić pasem szerokości ok. 70 m, biegnącym ku SW w przedłużeniu południowego skrzydła bardziej południowego fałdu na południowym zboczu wzgórza. Wprost na południe od kulminacji 366, wzdłuż małego jarku, ta zwietrzelina malmu przerzucona jest ku południowi o ok. 70 m, aby następnie, zakręciwszy ku południowi swoją północną granicą, oddzielającą ją od zwietrzeliny triasu, zniknąć pod czwartorzędem na 150 m od szosy.

W odległości 620 m ku WSW od tego zniknięcia zwietrzeliny malmu, jego wapienie płytowe z perysfinktami pojawiają się przy szosie na południe od wzgórza 339. Zapadają tu one ku WSW pod kątem 40°. Wschodni brzeg ich wychodni od strony kontaktu z wapieniem muszlowym tworzy w odległości ok. 70-80 m ku północy od szosy łuk zakręcając ku zachodowi. Wzdłuż tego łuku zwietrzelina wapieni płytowych malmu ograniczona jest zwietrzeliną wapienia muszlowego oraz wychodnią wapienia muszlowego na zachodnim końcu łuku, gdzie zapada on ku południowi.

W ten sposób wychodnie malmu swoim wewnętrznym brzegiem opasują dulowski węzeł tektoniczny, w którego środku pojawia się cała stratygraficzna seria starsza aż do arkozy górno-karbońskiej włącznie; seria ta a) występuje w swoim normalnym następstwie stratygraficznym (przy lokalnym wypadaniu poszczególnych ogniw) i b) zanurza się pod malm wszędzie tam, gdzie mamy w niej widoczne upady z wyjątkiem północnej granicy węzła.²

² Upad w zlepieniu myślachowickim w potoku dulowskim w odległości 225 m w górę od szosy, skierowany ku WNW, traktuję jako związany z pochyleniem warstw pod malm odsłonięty w skarpie przy szosie na południe od koty 339.

Najbardziej kompletna seria stratygraficzna tego węzła ukazuje się w normalnym następstwie w przekroju 5 (p. tabl. II), idącym od figury przy szosie ku NE przez wschodnie zbocze wzgórza 339 i przez dolny odcinek potoku dulowskiego powyżej szosy. Mamy tu:

a) *Dogger*. — Podczas zwiedzania terenu, dokonanego na moją prośbę w czasie zjazdu P. T. Geol. w roku 1954, znalazł prof. St. Zb. Różycki w skarpie szosy, na granicy wychodni malmu i wapienia muszlowego, kawałek wapienia piaszczystego żółtego, typowego dla tutejszego keloweju. i zaraz obok, ku wschodowi, kawałek piaskowca, typowego dla krakowskiego batonu. Równocześnie wymieniony geolog wykrył większą ilość margli w zwietrzelinie białych wapieni malmu w strefie, przylegającej w opisywanej skarpie do wychodni wapienia muszlowego. Na tej podstawie doszedł on do wniosku, że w ścianie tej mamy do czynienia z całkowitym przejściem między batonem i argowem przez kelowej (zredukowany ewentualnie nawet stratygraficznie w sposób, według prof. Różyckiego, typowy dla rejonu krakowsko-częstochowskiego) oraz niewiz zaznaczony wspomnianymi marglami (byłyby to margle kordatowe).

b) *Wapień muszlowy*. — Brak kajpru w opisywanym rejonie może być pierwotny, przedjurajski (13). Wapień muszlowy odsłania się na południowych zboczach wzgórza 339 w formie łuku, otaczającego od N, NE i E wypukły ku NE łuk wychodni malmu, o którym była wyżej mowa. Jest to szeroki na 50-100 m pas zwietrzeliny kamienistej wapieni stalowo-szarych, gładkich, czasem zrostkowych. Na zachodnim końcu łuku w odkrywcę widać te wapienie, zapadające ku południowi w formie brekcji ostrokrawędzistej, o fragmentach wapiennych średnicy kilku cm do 1 dm, spojonych masą wapienną, identyczną z materiałem tworzącym kawałki wapieni. Taka sama brekcja widoczna jest na południowym końcu łuku, w ścianie nad szosą (pl. I, fot. 1), gdzie przylega ona ku zachodowi do opisanych już wychodni jury. Na wschodnim końcu odsłonięcia wapienia muszlowego przy szosie tkwi w skarpie blok typowego wapienia falistego długości ok. 1 m i wysokości ok. 40 cm. Uważam opisaną brekcję wapienia muszlowego za utwór tektoniczny, związany z silnym zaangażowaniem tego wapienia przy ruchach, które stworzyły węzeł dulowski.

c) *Piaskowiec pstry*. — Zaraz na wschód od wymienionego bloku dolnego wapienia falistego, który wyznacza bardzo niskie ogniwo wapienia muszlowego (por. 5 i niżej str. 19), pojawiają się w tej samej skarpie tkwiące w dużej ilości skały typowe dla tutejszego retu. Zrazu, od zachodu na odcinku ok. 15 m, są to bloki wapienia jamistego, czerwonawo-żółtego, nakrapianego brązowo manganem, z dużymi kryształami kalcytu na przełomach, o teksturze gąbczastej. Jest to górna część retu. Dalej ku wschodowi, na długości ok. 35 m wystają ze skarpy kawałki kremowo-żółtych margli, delikatnie nakrapianych manganem, identycznych z margla-

mi z *Myophoria costata* krakowskiego dolnego retu. Niższa część piaskowca pstrego, którą w północnym pasmie wzgórz krakowsko-chrzanowskich (p. niżej uwaga na str. 19) wydzieliłem kartograficznie w formie łąk żółtych ze żwirami kwarcowymi, nie odsłania się na wzgórzu 339 być może z powodu zasłonięcia czwartorzędem (por. tabl. I, fig. 2). Zdaje mi się, że występują one w obrębie północnej, bardziej zaburzonej części węzła dulowskiego pomiędzy wapieniem muszlowym na północy i tufami na południu w miejscu oddalonym o 150-200 m ku NNE od głównego rozwidlenia potoku Dulówka w Dulowej (od ujścia wody z doliny „jarów dulowskich“).

d) *Piętro karniowickie* (12). — Mamy tu wszystkie ogniwa tego permsko-karbońskiego kompleksu z wyjątkiem martwicy karniowickiej, która, jak wiemy, ma zasięg lokalny i może jej być brak z powodów paleogeograficznych. U góry są to tufy porfirowe, których wychodnie dają na roli wzgórza 339 i w skarpach typowe „żuźle“ ciemnoczerwone, łatwe do wyśledzenia przy kartowaniu. Jedyne dobre odsłonięcie tej skały znajduje się u północnego brzegu węzła w łomie o 200 m ku ENE od wspomnianego dopiero co głównego rozwidlenia potoku Dulówka (gdzie na szkicu w tabl. I, fig. 1 zaznaczony jest upad tufu ku NEE). Widzimy tam (pl. IV) tufy ułożone warstwami, których ciągłość przerwana jest przez kuliste bloki zwietrzałego porfiru³ o średnicy od kilku do kilkudziesięciu cm.

Zlepieniec myślachowicki znalazłem pod tufem w odkrywce w prawym brzegu potoku Dulówka o 370 m w górę od szosy. Są to otoczaki o średnicy 3-5 cm ciemnoszarych wapieni karbońskich i charakterystycznych wapieni z warstwami krzemienia, tkwiące w lepiszczu wapiennym tworzącym charakterystyczne nawarstwienia na luźno leżących otoczakach. Kilkudziesięciocentymetrowa wkładka łąki tufowego (porfirowego), nie zaznaczona na szkicu (tabl. I, fig. 1), ani na mapie (tabl. I, fig. 2), taka sama, jaka występuje w strukturze północnej (zob. niżej str. 28), przedziela ten zlepieniec w omawianej odkrywce na dwie części, z których każda widoczna jest w miąższości do 1 m bez określenia powierzchni spągowej i stropowej. Warstwą tą zaznaczony jest też niezbyt pewny kierunek upadu zlepieńca w tym miejscu — ku SE pod kątem ok. 15°. O 200 m dalej w górę potoku Dulówka prof. St. Zb. Różycki znalazł w czasie wspólnego zwiedzania terenu nowe stanowisko zlepieńca myślachowickiego w skarpie drogi, nad prawym brzegiem potoku, w postaci otoczaków wapienia z nawarstwieniem lepiszcza, tkwiących w zboczu pod korzeniami drzew. Mamy tu wychodnię spągowej granicy zlepieńca, gdyż zaraz dalej na północ tkwią w skarpie żwiry kwarcowe arkozy kwaczalskiej

³ Prof. St. Zb. Różycki zwrócił mi uwagę, że są to bomby wulkaniczne i „lapilli“.

w ilasto-piaszczystym lepiszczu i wypływa z nich z prawego zbocza doliny obfite źródło. Źródłem tym podkreślona jest obecność wychodni granicy stratygraficznej w tym miejscu. Widocznie zbiera ono wody ze żwirów kwaczalskich z prawego zbocza doliny i wylewa je do potoku tam, gdzie zbite lepiszcze zlepieńców myślachowickich, leżących na tych żwirach z upadem pd.-wschodnim, tworzy tamę dla wód podziemnych, spływających z prawej strony wzdłuż doliny.

Arkoza kwaczalska⁴ składa się ze żwirów kwarcowych o średnicy 0,5-1 cm, tkwiących w gliniasto-piaszczystym lepiszczu, przetkanym dużą ilością drobniejszych 2-3 milimetrowych żwirków kwarcowych. W naszym węźle, jako najstarszy element, daje ona pola żwirowe na północnym zboczu wzgórza 339 oraz drobne zerwy żwirkowe nad prawym zboczem potoku dulowskiego, dalej od opisanych zlepieńców w górę doliny. W potoku, jak widzimy, kontaktuje ona ku południowi ze zlepieńcem myślachowickim. Natomiast na północnym zboczu wzgórza 339 arkoza styka się ku południowi bezpośrednio z polem zwietrzeliny tufowej.

W budowie węzła, obok prześledzonych już odsłonień malmu, wychodnie wapienia muszlowego i tufów grają zasadniczą rolę, zarysowując na powierzchni jego złożoną strukturę. Tak więc zbrekcjowany wapień muszlowy południowego zbocza wzgórza 339, biegnąc naprzód ku wschodowi pomiędzy wychodniami malmu na południu i tufów na północy oraz, zapadając ku południowi pod kątem 40°, skręca następnie ku południowi. W tym kierunku przekracza on szosę pomiędzy malmem na zachodzie, zapadającym ku WSW pod kątem 40°, a retem na wschodzie, aby za nią zniknąć w piaskach czwartorzędowych. Na teren węzła powraca on o 450 m dalej ku ENE w południowej ostrodze wzgórza 366 w postaci pasa charakterystycznej zwietrzeliny, ciągnącego się ku NE i ograniczonego od NW zwietrzeliną tufową. Na granicy obu zwietrzelin prof. St. Zb. Różycki zauważył tu dodatkowo, w czasie wspólnego oglądania terenu, żółtą zwietrzelinę margli retu. Ten pas kamienistej zwietrzeliny wapienia muszlowego, biegnąc ku NE, dochodzi boczenie na linii wspomnianego już jarku do pasa zwietrzeliny białych wapieni malmu, przerywając się na sygnalizowanym już uskoku (por. wyżej str. 3); około samej linii granicznej w dnie jarku znajduje się odsłonięcie wapienia płytowego malmu.

Pomiędzy pasem wychodni wapienia muszlowego, który przeszedł za szosę w rejonie wzgórza 339, i jego pasem, który w południowej ostrodze wzgórza 366 powrócił jakby zza szosy, mamy, jak już wspomniano, na zachodzie ret przy szosie oraz tufy syjące się z lewej skarpy niskiego tarasu nad potokiem Dulówka w odległości 120 m w górę od szosy. Jesz-

⁴ Określeniem „arkoza kwaczalska“ obejmuję zarówno właściwą arkozę, jak i piaskowce karniowickie (6, 7).

cze o 150 m dalej w górę potoku spotykamy odosobnioną wychodnię zlepieńca myślachowickiego z upadem ku WNW pod kątem 35° (por. wyżej uwaga na str. 3). Przypuszczam, że oba pasy wapienia muszlowego łączą się pod czwartorzędem, na południe od szosy, łukiem wypukłym ku południowi tworząc osiową, szybko zanurzającą się ku SE partię hipotetycznego fałdu. Nazywam go fałdem „A”. Jego zniknięcie pod czwartorzędem na południe od szosy tłumaczę intensywnym wyerodowaniem w tym miejscu przełomowej doliny przez obfity w wodę potok Dulówka, co mogło być również ułatwione silnym popękaniem wapienia muszlowego i wapieni malmu, spowodowanym poprzecznym ich wygięciem w przegubie osiowym fałdu, a ponadto podłużnym, wypukłym ku górze wygięciem tego przegubu w miejscu raptownego zanurzenia się osi fałdu ku południowi.

Wprost na południe od wzgórza 366 mamy znany już nam uskoki zrzucający część wschodnią o ok. 150 m. W przedłużeniu ku NE przebiegu pasa wychodni wapienia muszlowego, przesuniętego za tym uskokiem ku N, po ok. 100-metrowej przerwie zaznacza się on znowu swoją charakterystyczną zwietrzeliną z blokami wapienia oraz charakterystycznym garbem na zboczu wzgórza. Wychodnie te zarysowują łuk wypukły ku wschodowi zamykając od tej strony skrajne wschodnie wystąpienia tufów w zwietrzelinie na pd.-wschodnim zboczu wzgórza 366. W obrębie północnej części tego łuku wychodni wapienia muszlowego znalazłem kilka leżących luźno bloków wapienia jamistego górnego retu. Całość tych zjawisk, a więc wysunięte ku wschodowi płyty „żużlowe” tufów na roli, otoczone od wschodu łukiem wychodni wapienia muszlowego ze strzępem retu pomiędzy nimi, dostosowują się dobrze ku wschodowi do zachodniej granicy wychodni wapienia płytowego malmu i do rozbieżnych upadów w łomach wschodniej części wzgórza. Razem daje to intersekcyjny obraz fałdu szybko wynurzającego się ku NW w obrębie wychodni jury (por. wyżej str. 3) i następnie zakręcającego ku zachodowi tam, gdzie w jego jądrze pojawiają się: wapień muszlowy, ret i tuf. Jest to południowa antyklina z dwu wymienionych wyżej sfałdowań malmu wschodniej części wzgórza. Nazywam ją fałdem „B”. Zapewne właśnie w jego jądrze pojawia się dalej ku zachodowi wśród tufu drobne odsłonięcie zlepieńca myślachowickiego (kilka typowych otoczków wapienia węglowego z przyrośniętym lepiszczem) w lewej skarpie jaru, rozcinającego pd.-zachodnie zbocze wzgórza 366 (tabl. I, fig. 2). Poza tym jądro fałdu „B” rozszerza się w tym kierunku do 300 m w powierzchniach „żużli” tufowych, tkwiących obficie w glebie tego zbocza i w ścianach wspomnianego jaru, aż do lewego brzegu czwartorzędowej doliny potoku Dulówka.

Na północ od fałdu „B” zwarty płat wapienia muszlowego, odsłonięty w małych łomach, tworzy szczytową partię wzgórza 366 (pl. II). Są to grube na 20-40 cm płyty szarego i gładkiego wapienia, lekko zrostkowe-

go, lokalnie zdolomityzowanego (na północnym zboczu). Trudno mi jest na podstawie litologii wyróżnić tu jakiś kompleks typowy. Być może jest to część dolnego wapienia muszlowego, leżąca pod dolnym wapieniem fałlistym. Upady w tej płycie skierowane są ku wschodowi, pod malmem wschodniej części wzgórza. Wynoszą one od 10 do 15°. Zarysowuje się przy tym lekkie wklęsłe wgłębienie warstw. Zaznacza się ono nie tyle w różnicach kierunku poszczególnych pomiarów, gdzie ma wpływ nierówna powierzchnia warstw, ile w ogólnym wrażeniu, które się odnosi patrząc ze szczytowej partii wzgórza na wychodnię jednej z ławic wapienia muszlowego, przebiegającej w NE części wspomnianego płatu wapienia muszlowego w odległości ok. 70 m ku ENE od koty 366. Jeżeli nawet nie mamy tu do czynienia z synkliną, jest to w każdym razie zachowana pokrywa triasowa płaskiej, przegubowej części dużego fałdu „skrzyniowego“, którego nasz fałd „B“ i zaraz niżej opisany element „C“ byłyby tylko strekami krawędziowymi. Od zachodu płyta wapienia muszlowego jest otoczona przez wychodnie tufów. Możliwe jest, że od dołu jest ona nieco podcięta na kontakcie z tufami (może nawet aż do wytarcia retu), gdyż upady skierowane w niej ku wschodowi niezupełnie zgadzają się z intersekcyjnym, wydłużonym w kształcie półwyspu zarysem tego płata. Niejaką komplikacją jest również to, że we wschodnim przedłużeniu osi tej bardzo płaskiej wklęsłości wapienia muszlowego mamy w malmie wschodniej części wzgórza sfałdowanie antyklinalne, z dwu poprzednio opisanych północne, co prawda przy lekkim przesunięciu osi tej formy ku północy w stosunku do wgłębienia wapienia muszlowego. Oś tej synkliny w obrębie malmu skręcałaby więc ku ESE, pomiędzy oba wspomniane fałdy.

Na północ od tego płata wapienia muszlowego, na północnym zboczu wzgórza wychodnie tufów znowu sięgają dalej ku wschodowi (o 100 m ku E od długości wzgórza 366). W tym kierunku tufy te wciskają się pasem szerokim ok. 40 m pomiędzy żwirowe wychodnie arkozy kwaczalskiej na północy i wydłużony wąski pas wychodni wapienia muszlowego na południu, zaznaczony drobnymi odkrywkami i starymi hałdami, ciągnący się ku ENE od północnego rogu płata wapienia muszlowego, tworzącego kulminację 366. Po zniknięciu ku wschodowi wychodni tufu ten pas wapienia muszlowego, doszedłszy do kontaktu ze żwirami arkozy na północy, ciągnie się jeszcze ku ENE na długości 150 m pomiędzy nimi i wychodniami malmu na południu. Wreszcie i on znika z powierzchni i dalej ku wschodowi mamy już tylko opisaną poprzednio linię niezgodnego kontaktu malmu od południa ze żwirami arkozy od północy. Przedstawione stosunki wskazują, że przebiega tu jeszcze jeden element antyklinalny — łuskowy element „C“, graniczący od północy na dyslokacji podłużnej ze żwirami arkozy. Ku wschodowi przedłużałaby się on w monoklinalne ułożenie malmu z zapadaniem ku SE w Charchołach zachodnich

i ostatecznie zlewałby się w tym kierunku z właściwym brzegiem rowu krzeszowickiego. Północne z dwu opisanych sfałdowań malmu, odsłonięte w łomach we wschodniej części wzgórza 366, tworzyłoby na tym elemencie wtórne nabrzmienie skrzydła.

Ku zachodowi tufowe jądro elementu „C” rozszerza się do 150 m łącząc się w tym kierunku z tufowym jądrem fałdu „B”, gdy wapien muszlowy dzielący obie te formy wychodzi w powietrze.

Stosunki, jakie napotykamy w zachodniej ostrodze wzgórza 366, świadczą o tym, że wychodnie żwirów arkozy kwaczalskiej, ograniczając od północy równoleżnikowo nasz element „C”, są oddzielone od niego dyslokacją o znaczeniu większym, niż zrozumiąle i możliwe w tych warunkach tektonicznych wyciśnięcie jednego ogniwa stratygraficznego — zlepieńca myślachowickiego. Widzimy tu naprzód przy północnej granicy wychodni tufów opisane wyżej ich odsłonięcie w łomie z bombą i „lapilli” (por. wyżej str. 5 i pl. IV) i z upadem ku ENE pod kątem 35° , a więc w każdym razie zgodnie ze wschodnim zanurzaniem się całego tego zespołu form tektonicznych. Pomiedzy ten tuf i żwiry arkozy wsuwa się wkład wapienia muszlowego soczewką zwietrzeliny szerokości ok. 100 m, w której środku widać sterczące na ścieżce ławice wapienia muszlowego typu gładkiego, nieco zrostkowego, o stromym upadzie ku południowi. Strzęp ten uważam za fragment północnego skrzydła elementu „C”, zachowany na dyslokacyjnej granicy ze żwirami arkozy, które w ten sposób mają cechy kompleksu, obcego strukturalnie elementowi „C”. Świadczy o tym także upad tufów ku ENE.

Od strony zachodniej wchodzi również pomiędzy wspomniane wapien i tuf rozsypane na roli żwiry kwarcowe. Z uwagi na tę ich pozycję można by je raczej uważać za żwiry niższej części pstrego piaskowca (por. wyżej str. 5). Ich miąższość jednak (przyjmując strome ustawienie jak przy wapieniu muszlowym omówionego strzępu) wydaje się być zbyt duża w stosunku do normalnej grubości nie przekraczającej 2 m. Może to być wywołane tylko sztucznym rozwleczeniem tych żwirów po roli.

Wychodnie tufów oraz wapienia muszlowego w rejonie zachodniej ostrogi wzgórza 366 kończą się ku zachodowi na lewym brzegu czwartorzędowej doliny potoku Dulówka.

Opisane szczegóły budowy węzła dulowskiego każą przypuszczać, że jest to potrójny fałd, zbudowany z serii sięgającej od arkozy kwaczalskiej w dół do malmu w górę. Trzy jego elementy zarysowują się na powierzchni wychodniami całej wymienionej serii (z wyjątkiem arkozy kwaczalskiej), przy lukach (wyciśnięciach) pomiędzy malmem i wapieniem muszlowym oraz pomiędzy wapieniem muszlowym i tufami. Są to fałdy „A” i „B” oraz element „C”. Pierwszy skierowany jest ku SE i zanurza

się w tym kierunku. Drugi biegnie naprzód ku wschodowi, potem skręca ku SE i w tym kierunku się pochyla. Główna podłużna oś trzeciego biegnie zanurzając się ku wschodowi, gdy jego wtórne południowe sfałdowanie idzie ku ESE i w tymże kierunku jest pochylone, przy zarysowanej lekkiej niezgodności formy wapienia muszlowego w stosunku do malmu. Wszystkie te trzy elementy rozbiegają się i zapadają ekscentrycznie od wspólnej nasady fałdowej, zarysowanej w dolinie Dulówki przez wychodnie zlepieńca myślachowickiego. Zlepieniec ten zapada ku SE, jest podesłany od NW arkożą kwaczalską i nakryty tufem; tworzy on prawdopodobnie dalej ku SE osobne wypiętrzenie zaznaczone w dnie potoku zapadaniem zlepieńca ku WNW (por. wyżej uwaga str. 3 i 7). Nasada fałdowa jest otoczona od S i NE wychodniami tufów na północnym zboczu wzgórza 339 oraz na zachodnim zboczu wzgórza 366. Na północnym zboczu wzgórza 339 mamy przy tym wyciśnięcie zlepieńca myślachowickiego oraz bezpośredni kontakt tufów z arkożą kwaczalską. Podłużna oś antyklinalna nasady węzła dulowskiego biegnie, jak wynika z interpolacyjnej intersekcji (por. ze sobą fig. 1 i 2, tabl. I) ku SE zanurzając się w tym kierunku i jakby przedłużając się przede wszystkim w fałd „A” poza szosę. Dolina potoku Dulówka pomiędzy jej głównym rozwidleniem i szosą, zwłaszcza oglądana ze wzgórza 366 (pl. III), robi wrażenie przełomowej bramy potoku, przebijającego się ku SE poprzez peryklinalnie schodzące się tufy zasadniczej osiowej partii węzła dulowskiego, zanurzającej się w tymże kierunku. W drugą stronę, ku NW, w kierunku podnoszenia się tej głównej osi podłużnej, prawdopodobnie skrzydło północne omawianej ogólnej formy wyciska się biegnąc w przedłużeniu skomplikowanego północnego skrzydła elementu „C”. Wskutek tego zaznaczone na powierzchni żwirami wychodnie arkozy kwaczalskiej osiowej partii węzła łączą się tam z zasięgiem takich samych żwirów struktury północnej.

Rozdzielając się na trzy części dulowski fałdowy węzeł strukturalny wydaje się wciskać ku północy w strukturę północną swoim północnym złuszkowanym w tę stronę elementem „C”. Ogranicza go od północy równoleżnikowa linia dyslokacyjna, podnosząca część północną. Biegnie ona od doliny Charchołów zachodnich ku zachodowi i jest przedłużeniem północnego brzegu rowu krzeszowickiego. Brzeg ów w ten sposób wygasa w omawianym rejonie razem z tą linią w powierzchniowym obrazie tam, gdzie wchodzi ona w obręb wychodni arkozy kwaczalskiej. W rzeczywistości brzeg rowu krzeszowickiego zlewa się prawdopodobnie z północnym ograniczeniem strukturalnym węzła dulowskiego i razem z tym ograniczeniem skręca ku NE. Nie widzę bowiem (zob. niżej str. 11-16), aby na odcinku pomiędzy Dulową i Młoszową jakakolwiek dyslokacja równoleżnikowa przecinała pd.-zachodnie skrzydło strefy brzeżnej.

Jest bardzo możliwe, że, obok dopiero co opisanej linii dyslokacyjnej, także druga, bardziej północna linia dyslokacyjna odgałęzia się od niej w jarze Charchoły zachodnie i biegnie w obrębie arkozy kwaczalskiej ku zachodowi z odchyleniem północnym. Wyznacza ją, moim zdaniem, naprzd bieg lewego bocznego odgałęzienia doliny „jarów dulowskich”, wpadającego z kierunku ESE ku WNW do tej doliny na jej ostrym skřęcie (zob. tabl. I, fig. 1 i 2). Następnie widzę jej wpływ w występowaniu obfitego źródła u podnóża lewego zbocza tej doliny zaraz poniżej wymienionego ostrego skřętu. Potem zdaje się ją naśladować kierunek 120-metrowego odcinka tejże doliny poniżej tego skřętu, dalej zaś śledzę ją, po porzuceniu wymienionej doliny, w pasie mokradeł i wycieków wodn. idącym w dalszym przedłużeniu wyznaczonego kierunku WNW pomiędzy tą doliną i główną doliną Dulówki. Wreszcie ujawnia się ona, moim zdaniem, w dużym wstępującym źródle (pl. I, fot. 2) na przecięciu strefy mokradeł przez podnóże lewego zbocza głównej doliny Dulówki. Wydaje się bowiem, że właśnie linia dyslokacyjna pozwoliła tu na swoim przebiegu na zdecydowane wstępowanie wody w powszechnie prowadzącej wodę arkozie kwaczalskiej tworząc liczne źródła i wyznaczając kierunki odcinków dolinnych. Szłoby tedy również zachodnie przedłużenie północnego brzegu rowu krzeszowickiego, przechodząc ku zachodowi w ostateczne północne ograniczenie węzła dulowskiego.

2. *Monoklina dulowsko-młoszowska* (tabl. II, przekroje 6-11)

Na zachód od południka wzgórza 339 w Dulowej, jak przedstawiłem wyżej, pas żwirowy arkozy kwaczalskiej, wynurzającej się w węźle dulowskim na powierzchnię jako główne jądro fałdowe, zlewa się z powierzchnią żwirową arkozy, tworzącą odsłoniętą podstawę struktury północnej. Rozpoznawalną część strefy brzeżnej mamy tu więc tylko w monoklinie dulowsko-młoszowskiej. Biegnie ona ku NW i zapada ku SW będąc przedłużeniem południowego skrzydła węzła dulowskiego ze wzgórza 339.

Zaraz na zachód od wzgórza 339, w odległości 200-250 m, zdaje się przebiegać dyslokacja południkowa zrzucająca część zachodnią. Albowiem w WNW przedłużeniu wychodni wapienia muszlowego i tufów ze wzgórza 339 pojawia się tu, na następnym wzgórzu, płat kamienistej zwietrzliny wapienia płytowego z perysfinktami znacząc przesunięcie wychodni malmu ku północy o ok. 225 m. Jest możliwe, że oprócz wapienia płytowego występują tu również podścielające go margle kordatowe, gdyż w roku 1937 widziałem w (nieistniejącym obecnie) łomie na północnym zboczu tego wzgórza margle szare z fauną amonitów, której wówczas nie umiałem oznaczyć, z upadem ku SSW pod kątem 70°. Północną granicą

tych wychodni na powierzchni jest spiaszczony less. Łagodny profil morfologiczny stoku dowodzi, że raczej od północy graniczy tu bezpośrednio z malmem arkoza kwaczalska (tabl. II, przekrój 6).

Dalej ku zachodowi, po przekroczeniu poprzecznej doliny bez nazwy, przecinającej szosę na jej skrócie wypukłym ku SSW, wychodnie malmu, zaznaczone kamienistą zwietrzeliną wapienia płytowego z perysfinktami i wapienia skalistego na czterech wzgórzach i licznymi drobnymi łomami, ciągną się ku NW jednolitym pasem w stronę Młoszowej tworząc południowe zbocze przebiegającej tu wyraźnej grzędy morfologicznej i zachodząc miejscami na jej kulminacje. Upady w tej serii wynoszą od 20 do 50° ku SW, rzadziej ku SSW. Zdaje mi się, że szczegółowym zdjęciem można by tu wydzielić wychodnie wapienia skalistego od płytowego, zwłaszcza w części NW na lewym zboczu doliny młoszowskiej, gdzie wapienie skaliste tworzą pd.-zachodnią część strefy malmu występując nad wapieniami płytowymi.

Na początkowym od SE około 500-metrowym odcinku opisywanego przebiegu wychodni malmu, począwszy od wymienionej doliny poprzecznej, są one od północnego wschodu ograniczone na powierzchni spiaszczonym lessem (tabl. I, fig. 2). Morfologia, rysując nieco bardziej stromy spadek od wzgórza malmskiego ku NE do łagodnie nachylonej powierzchni, wskazuje z jednej strony na kontakt malmu ku NE bezpośrednio z arkozą kwaczalską, a z drugiej strony — na przebieg tego kontaktu w formie intersekcji płaszczyzny, nachylonej ku SW, w kierunku zgodnym z upadem warstw malmu widocznym w łomach.

Po tym 500-metrowym odcinku na pn.-wschodnim brzegu wychodni malmu pojawia się wapien muszlowy w kamienistej zwietrzelinie i w łomach. Ciągnie się on stąd aż do doliny młoszowskiej dobrze zaznaczając intersekcyjny pn.-wschodni brzeg wychodni malmu. Intersekcja ta jest uwydatniona przez rzeźbę terenu, a mianowicie przez rozcięcie pd.-zachodnich zboczy owej grzędy morfologicznej czterema krótkimi poprzecznymi jarami, spadającymi ku szosie. I tak od szczytowej partii na wschodzie skartowana pn.-wschodnia granica wychodni malmu zbiega naprzód ku WNW w dół po zboczu do szczytu skrajnego wschodniego jaru. Potem, zrazu zakryta płatem piasku, podnosi się ona ku WNW na występ grzbietu, aby zaraz znowu spaść ku zachodowi, cofając się intersekcyjnie, do szczytu lewego odgałęzienia następnego jaru. Wzdłuż tego odgałęzienia biegnie następnie nasza granica ku WNW środkiem jaru. W miejscu jego rozwidlenia przechodzi ona ku NW na prawe zbocze jego prawej, głównej części. Jest tu ona chwilowo zakryta piaskiem, ale w każdym razie widać na zakrytej mapie geologicznej (tabl. I, fig. 2), że wychodnie malmu są tu przesunięte bardziej ku północy w stosunku do odcinka prostoliniowego przebiegu tej granicy pod dnem lewej części jaru.

Wskutek zakrycia piaskiem części lewego zbocza ostatniego w kierunku zachodnim, trzeciego jaru, nie jest znane miejsce, gdzie schodzi doń interesująca nas granica wychodni malmu. Charakterystyczne jest jednak, że na NW od tego jaru biegnie ona, dokładnie prześlędzona, wspinając się znów intersekcyjnie na grzbietową partię wzgórza łukiem, który jest przedłużeniem łukowatego przebiegu tego jaru w górę poza jego głowę i potem dalej, cofając się nieco, w dół ku dolinie młoszowskiej. Jest to typowy przebieg intersekcyjny wychodni powierzchni pochylonej ku SW. Zdaje się, że kierunek trzeciego jaru, jak i bieg lewej odnogi środkowego jaru, zostały założone właśnie przy wykorzystaniu intersekcji powierzchni granicznej malmu i wapienia muszlowego.

Pochylenie tej powierzchni granicznej daje się wyliczyć z intersekcji w dwu miejscach, gdzie posiadamy ścisły zarys linii granicznej przecinający zbocze skośnie w stosunku do ogólnego biegu wychodni malmu (fig. 1). Otrzymujemy w ten sposób dla wspinania się granicy na grzędę w przedłużeniu szczytu lewego ramienia środkowego jaru pochylenie powierzchni granicznej pod kątem 30° ku SW (gradient 35 m na 60 m odległości), a dla łuku tej granicy, w przedłużeniu szczytu zachodniego jaru, pochylenie ku SW pod kątem 20° (gradient 10 m na 30 m odległości). Pochylenie to jest więc zasadniczo *mniejsze*, niż pochylenie warstw malmu, które przeważnie wynosi ok. 40° .

Wapień muszlowy, którego wychodniami ograniczony jest od NE pas występowania malmu, składa się z wapienia i dolomitu. Wapień ma typowy wygląd wapienia muszlowego, jest szary, zbity, lekko „zrostkowy“ lub zlepieńcowaty, o elementach z tego samego wapienia w kształcie wałków i placków. Dolomit jest czerwonawy, typu kruszczońskiego. Całość utworów wapienia muszlowego zapada tu ku SW i WSW pod kątem $35-50^{\circ}$, wyjątkowo 20° . Na zachodzie, na zboczu doliny młoszowskiej, wychodnie dolomitu o dobrych odkrywkach we wcięciach alei parku młoszowskiego przebiegają pasem wyciągniętym ESE-WNW pomiędzy wychodniami malmu na SW (za doliną podłużną) i wychodniami wapienia muszlowego na NE, leżąc jakby zlekka niezgodnie na tym ostatnim, jeżeli sądzić po rozbieżności kierunków niektórych pomierzonych upadów w stosunku do granicy dolomit-wapień. Na środkowym odcinku, pomiędzy dwoma zachodnimi jarami oraz pomiędzy dwiema odnogami środkowego jaru, mamy tylko wapień kontaktujący (z małą przerwą) z malmem. Ku wschodowi pojawia się w glebie szczytowej partii grzędy zwietrzelina dolomitów, jakby boczenie kontaktując ku NW z wapieniem i zastępując go w zupełności w części niezastoniętej gliną czwartorzędową. Prawdopodobnie mamy w tym rejonie do czynienia ze „zlepieńcowym“ poziomem dolnego wapienia muszlowego, występującym nad dolnym wapieniem faliastym. Te bowiem wkładki zlepieńca „plackowatego“ z obfitymi okazami

typowej u nas dla tego poziomu *Lima striata* (6) występują w łomie na prawym brzegu lewego odgałęzienia środkowego jaru. Wapień przechodziłby tu nieregularnie „geochemicznie“ w strop i bocznie w dolomit kruszonośny.

Ponieważ zarówno wapień muszlowy, jak i malm zapadają ku SW pod kątem przeważnie ok. 40° , oddzielająca zaś ich wychodnie powierzchnia pochylona jest w tymże kierunku pod kątem $20-30^\circ$ (fig. 1), musi ona podcinać warstwy malmu od dołu i ścinać warstwy wapienia muszlowego od góry (tabl. II, przekroje 7-10). Wnioskuje więc, że nie jest to ani powierzchnia uskokowa zrzucająca malm w stosunku do wapienia muszlowego ku SW, ani powierzchnia nieciągłości wśród zgodnie nachylonej se-

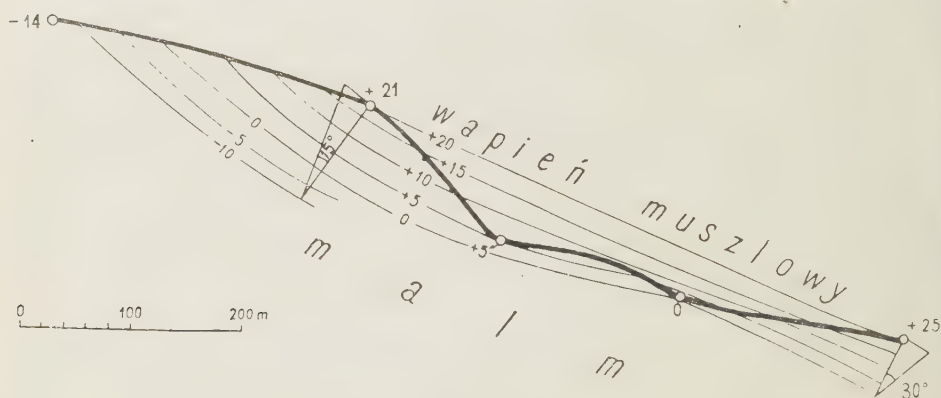


Fig. 1

Linia intersekcyjna dolnej granicy wychodni malmu koło Młoszowej według niwelacji klizymetrowej

rii opisywanej monokliny z tektonicznym wytarciem warstw brakujących pomiędzy tymi seriami, jak to mieliśmy w węźle dulowskim. Wydaje mi się, że przeciwnie, mamy tu do czynienia z *nasunięciem* warstw malmu ku NE na warstwy wapienia muszlowego po powierzchni ścinającej obie serie: pierwszą od dołu, drugą od góry.

W miejscu, gdzie u północnej granicy wychodni malmu naszej monokliny po raz pierwszy idąc od ESE natrafiamy na dolomit wapienia muszlowego, oddziela go od położonych bardziej na północ płatów żwirowych arkozy kwaczalskiej pas piaszczystej gliny lessowatej szerokości zrazu ponad 100 m, dalej zaś ku WNW — 25 m. Dopiero o 550 m ku WNW od pd.-wschodniego końca wychodni dolomitu pojawia się na roli północnych zboczy omawianej grzędy zwietrzelina tufu. Tworzy ona tu od razu szeroki pas, którego zewnętrzna granica wychodzi zaraz ku północy łukiem wypukłym ku E i biegnie dalej ku NW w odległości 250 m na NE od brzegu wychodni wapienia muszlowego. Północną granicę wychodni

tufów rysuje arkoza kwaczalska swoimi żwirowiskami tkwiącymi w roli. Zapewne tuły leżą tu pod wapieniem muszlowym i bezpośrednio nad arkozą kwaczalską uzupełniając w ten sposób skład stratygraficzny naszej monokliny.

Opisane wyżej stosunki trwają ku WNW aż do przełęczy, za którą znajduje się basen doliny młoszowskiej, a którą mamy w odległości ok. 550 m ku SE od tej doliny. Tu nagle pas tufowy w swej części nie przykrytej gliną czwartorzędową rozwidła się ku WNW na dwie odnogi: krótszą, ciągnącą się na odcinku ok. 60 m, północną, i dłuższą południową, która po przebiegu ok. 150 m gubi się pod czwartorzędem. Spomiędzy tych odnóg tufowych, na zboczu spadającym ku dolinie młoszowskiej, a więc prawdopodobnie spod tufu, pojawia się zlepieniec myślachowicki w swojej charakterystycznej zwietrzelinie kamienistej, utworzonej z otoczaków z resztkami lepiszcza, i w szeregu drobnych skałek, występujących przy ścieżce spadającej ku WNW do Młoszowej, w których zmierzyłem w zlepieniu upady ku SSW i SW pod kątem 45°. Na ogólnym kierunku tego upadu, przez dolnym odcinku wspomnianej ścieżki, zwietrzelina zlepienia zmienia się w tufową, dobrze znacząc zaburzenie się zlepienia pod tuf. Pod lessem i piaskiem, na południe od pasa wychodni zlepienia, te strzępy tufów, pokrywające zlepieniec przy dolnej części ścieżki, łączą się z opisaną poprzednio południową odnogą pasa tufowego z przełęczy. Wskazuje na to osobny płat zwietrzeliny tufowej, występujący wśród pokrywy czwartorzędowej (tabl. I, fig. 2). W ten sposób skład stratygraficzny monokliny uzupełnił się zlepiencem myślachowickim, który wciska się tu pomiędzy tuf u góry i arkozę kwaczalską u dołu zapewne niegrubą płytą, gdyż w środku tego szerokiego na 150-200 m pasa wychodni zlepienia, zaraz poniżej przełęczy, prześwieca na roli pomiędzy jego zwietrzeliną płat żwirowy, chyba z arkozy. Żwiry kwarcowe widać także hipsometrycznie niżej od naszego pasa zlepiencowego w zboczach i ścianach jarów rozgałęzionej lewobocznej dolinki, spadającej do doliny młoszowskiej ku SSW od koty 405. Tu więc, na lewym zboczu doliny młoszowskiej, mamy najbardziej pełny profil stratygraficzny naszej monokliny (tabl. II, przekrój 9 i 10). Stosunki upadu i intersekcji pomiędzy zlepiencem i arkożą oraz między zlepiencem i tufem przypominają na tym odcinku to samo, co wyżej stwierdziłem dla kontaktu malm-wapień muszlowy w tej strefie, a mianowicie intersekcja płaszczyzn kontaktowych jest bardziej łagodna, niż pomierzone 45-stopniowe upady w zlepieniu. Pomiarów upadu dokonano tu jednak zbyt mało, z drugiej zaś strony linii intersekcji płaszczyzny kontaktu nie można tak dokładnie prześledzić, aby i tu można było wysnuwać odpowiednie wnioski tektoniczne.

U wylotu wspomnianej lewobocznej rozgałęzionej odnogi doliny młoszowskiej, na jej prawym klinie znajduje się odsłonięcie zlepienia my-

ślachowickiego w przedłużeniu opisanego wyżej płata jego wychodni, i to wciąż w położeniu, które odpowiada stropowi żwirów kwaczalskich odsłoniętych wyżej w tej dolince, jeżeli przyjąć ich zapadanie ku SW. Zlepieniec ten znaczy miejsce zakręcania ku NNW biegu płyty zlepieńcowej naszej monokliny. Zaraz bowiem za tym klinem, w górę doliny młoszowskiej, wzdłuż jej lewego zbocza na odcinku 450 m. ciągną się ku NNW odkrywki tego zlepieńca i jego duże odsłonięcia w kamieniołomie, gdzie w środku mamy poziome ułożenie warstw, na dwóch zaś końcach tego pasa wychodni, południowym i północnym, zmierzyłem upady pod kątem 15° , skierowane ku SW.

W następnym, lewym odgałęzieniu doliny młoszowskiej w jego górnej części, na ok. 200 m ku SW od koty 405, znajdują się żwiry kwarcowe arkozy w sytuacji odpowiadającej jej normalnemu położeniu stratygraficznemu pod schodowo załamana płytą zlepieńca, odsłoniętą w lewym zboczu głównej doliny młoszowskiej, jeżeli przyjąć i dla arkozy upad pd.-zachodni (tabl. II, przekrój 11).

Zlepieniec myślachowicki NNW zakończenia monokliny dulowsko-młoszowskiej, odsłonięty na lewym zboczu doliny młoszowskiej, ciągnie się jeszcze na długości 400 m ku NNW przeszedłszy na prawą stronę tej doliny. Tam bowiem widać go w dolnej części prawobocznego jarku gdzie od zachodu, występując w poziomie hipsometrycznie wyższym, sąsiadują z nim żwiry arkozy kwaczalskiej. Zapewne oddziela je od zlepieńca jakaś dyslokacja, lecz w każdym razie nie dyslokacja Młoszowa-Karniowice (p. niżej s. 22).

Ciekawe jest, że w całej serii stratygraficznej opisywanej monokliny tylko zlepienie myślachowickie zaznacza zmianą biegu ten skręt ku NNW w górę doliny młoszowskiej. Tufów w ich stropie nie widać, wapień zaś muszlowy ciągnie się dalej z poprzednim biegiem ku WNW przekraczając dolinę młoszowską i występując poza nią w osobnej skałce, która sterczy w obrębie wysokiego stożka napływowego. Wapień ten ma bieg o 25° mniej zbliżony do północnego, niż opisane wyżej odkrywki zlepieńca myślachowickiego w łomach lewego zbocza doliny (310° zamiast 335°).

Uważam, że opisaną dopiero co monoklinę dulowsko-młoszowską z jej komplikacjami tektonicznymi w formie wyciśnień, nasunięć i zmianą biegu w dolinie młoszowskiej uważać należy za południowe skrzydło sfałdowanej strefy brzeżnej. Jądro antyklinalne tej strefy tworzy przyległy do monokliny od NE pas wychodni żwirów arkozy kwaczalskiej, wynurzających się ku NW w osiowej partii węzła dulowskiego, ciągnący się ku WNW. Albowiem w odgałęzieniu górnym, lewym z dwu odgałęzień lewego ramienia znanego już nam zdwojonego bocznego rozwidlenia doliny młoszowskiej, na 325 i 375 m na południe od koty 405, znalazłem odkrywki tufów, występujące kolejno na dwu kilkumetrowych odcinkach.

wśród żwirów kwaczalskich. Mogą to być dwa synklinalne fragmenty tufów wcisnięte w arkozę, które odpowiadałyby znów dwu podłużnym dyslokacjom północnego skrzydła opisywanej strefy (tabl. II, przekrój 10): linii południowej, ograniczającej na północnym zboczu wzgórza 366 właściwy węzeł dulowski od północy (tzn. wychodnie tufu i wapienia muszlowego) od żwirów arkozy, oraz linii północnej, wyznaczonej opisaną dulowską strefą silnych źródeł i mokradel już w obrębie wychodni arkozy kwaczalskiej (por. wyżej str. 11). Na całym pozostałym odcinku pomiędzy węzłem dulowskim i Młoszową ten pas żwirowy zlewałby się z odsłonięciami żwirów podstawy struktury północnej, widocznej na powierzchni.

Jeżeli owymi dwiema odkrywkami tufu żwirów arkozy zaznaczone jest rzeczywiście północne skrzydło strefy brzeżnej, to schodzi się tu ono z wychodniami skręcającego ku NNW kompleksu zlepieńca myślachowickiego południowego skrzydła tej strefy. Oś strefy najwidoczniej więc zanurza się szybko ku WNW w stronę doliny młoszowskiej skręcając ku NW lub NNW, przed pojawieniem się dalej ku WNW bardzo skomplikowanego tektonicznie następnego odcinka tej strefy, ciągnącego się ku szosie Trzebinia-Olkusz i poza nią⁵.

STRUKTURA PÓŁNOCNA

(fig. 2 w tekście i tabl. I, II)

Uwagi ogólne

Struktura ta, słabo zaburzona, składa się na opisywanym terenie z dwu płyt: myślachowickiej na zachodzie i karniowickiej na wschodzie, oraz ze zrębu⁶ Piarczykowej Góry, oddzielonego od pierwszej z nich dyslokacją Młoszowa-Karniowice. Pierwsza płyta zapada na ogół ku NE, druga i zrąb — ku NNE, dając wspólnie obraz koncentrycznego obniżania się całości struktury ku NNE. Zrąb Piarczykowej Góry znajduje się w położeniu wysokim, częściowo jakby zachowany w klinie pomiędzy obiema płytami. Od strefy brzeżnej całość struktury północnej ograniczona jest wzmiankowaną wyżej nieciągłością tektoniczną, wzdłuż której strefa brzeżna wciska się w kompleks północny. Nieciągłość ta jest dobrze wy-

⁵ W 1937 r. skartowałem szczegółowym zdjęciem powierzchniowym cały odcinek strefy brzeżnej pomiędzy doliną młoszowską i szosą Trzebinia—Olkusz, gdzie zaznaczają się dwa skomplikowane sfałdowania, złuszkowane i zdyslokowane. Zdjęcie to wymaga jeszcze jednak szczegółowej reambulacji przed jego opublikowaniem. Nie mogąc jej na razie przeprowadzić pominąłem ów obszar na tabl. I, fig. 1. Tylko fragmentem pn.-wschodniego skrzydła, bardziej pn.-wschodniego z tych dwu fałdów, są zaznaczone na tym szkicu wychodnie malmu pod Bożnową Górą (por. niżej str. 22 i tabl. II, przekrój 14).

⁶ Używam tu wyrażenia „zrąb“ zamiast „horst“ w ślad za St. Dżużyńskim (1).

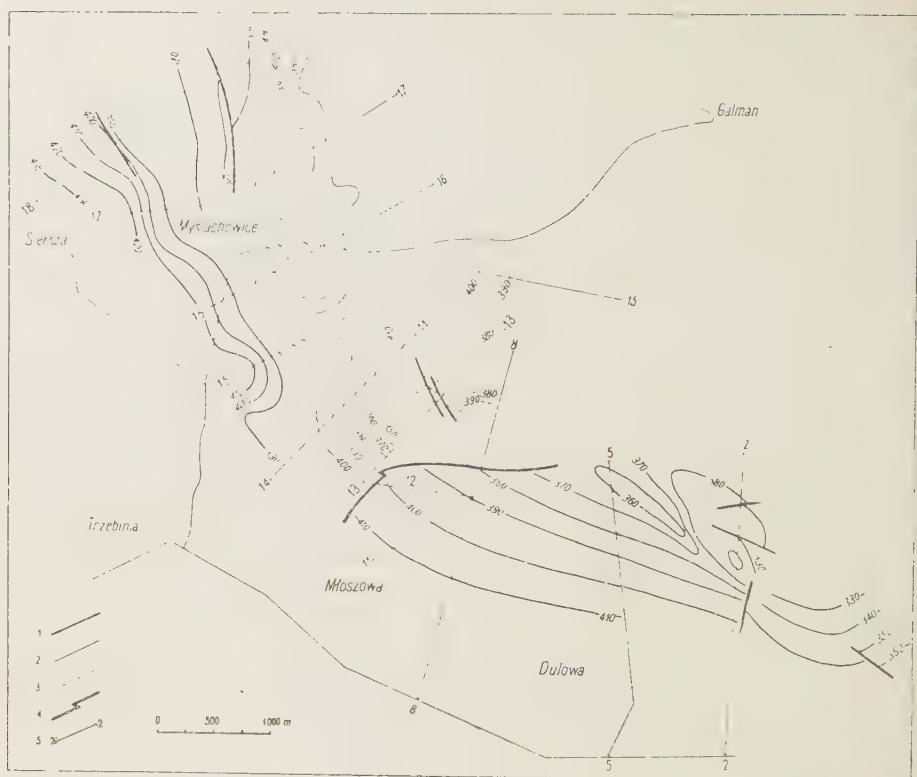


Fig. 2

Szkic budowy struktury północnej

1 izohipsy spągu zlepieńca myślachowickiego co 10 m; 2 izohipsy spągu tufów co 10 m; 3 izohipsy pstrego piaskowca co 10 m; 4 wschodnie dyslokacji; 5 przekroje (z tabl. II)

rażona na północnej granicy węzła dulowskiego, słabiej zaś w Młoszowej. Przypuszczam, że przebiega ona również na odcinku łączącym oba wymienione rejony.

1. Płyta myślachowicka (tabl. II, przekroje 13-18)

Podstawę tej formy, na opisywanym terenie nie odsłoniętą, tworzy karbon łukowy Sierszy z warstwami przewodnimi (tabl. I, fig. 1). Warstwy te pod nakładem Myślachowic oraz gór Ostrej, Czerwonej i Bożnowej zapadają ku SSW pod kątem ok. 10° . Są one ścięte na swoich podziemnych wychodniach powierzchnią erozyjną, pochyloną w poprzecznym profilu wyrobisk Sierszy ku NNE pod kątem 7° , z typowym obrazem erozyjnego wyżarcia warstw przewodnich, widocznym na dokładnych planach górniczych. Zgodnie z tą powierzchnią nieciągłości, niezgodnie zaś

Fig. 1

SZKIC GEOLOGICZNY NADKŁADU POMIĘDZY DULOWĄ I SIERSZĄ

Piętro karniowickie, stefan: 1 arkoza kwaczalska, 2 wapień karniowicki; czerwony spągowiec: 3 zlepieniec myślachowicki, 3a wkładka iłu tufowego, 3b zlepieniec wapienno-kwarcowy, 4 rumosz zlepienia myślachowickiego, 5 tuf porfirowy — Pstry piaskowiec: 6 żwirny kwarcowy, 7 margle myophoriowe, 8 wapień jamisty — Wapień muszlowy: 9 wapień krynowidowy, 10 wapień falisty, 11 wapień (w ogóle), 12 dolomit kruszczośny — Dogger: 13 baton i kelowej — Malm: 14 oksford i raurak — Czwartorzęd: 15 piaski i rumosze „pustyni płockiej” — 16 źródła predysponowane tektoniką (a — źródło przedstawione na pl. 1, fot. 2) — 17 mo-kradla predysponowane tektoniką — 18 dyslokacje, złuźnienia i nasunięcia — 19 wgłębna struktura karbonu przedstefańskiego, według Zukowskiego (p. litera- tura 14): a) wychodnie horyzontów przewodnich na powierzchnię poasturyjską, b) dyslokacje — 20 bieg i upad warstw — 21 linie przekrojów — 22 haldy Sier- szy — 23 a) obszar przedstawiony na fig. 7 (w tekście), b) obszar przedstawiony na fig. 8 (w tekście) — 24 ważniejsze wiercenia

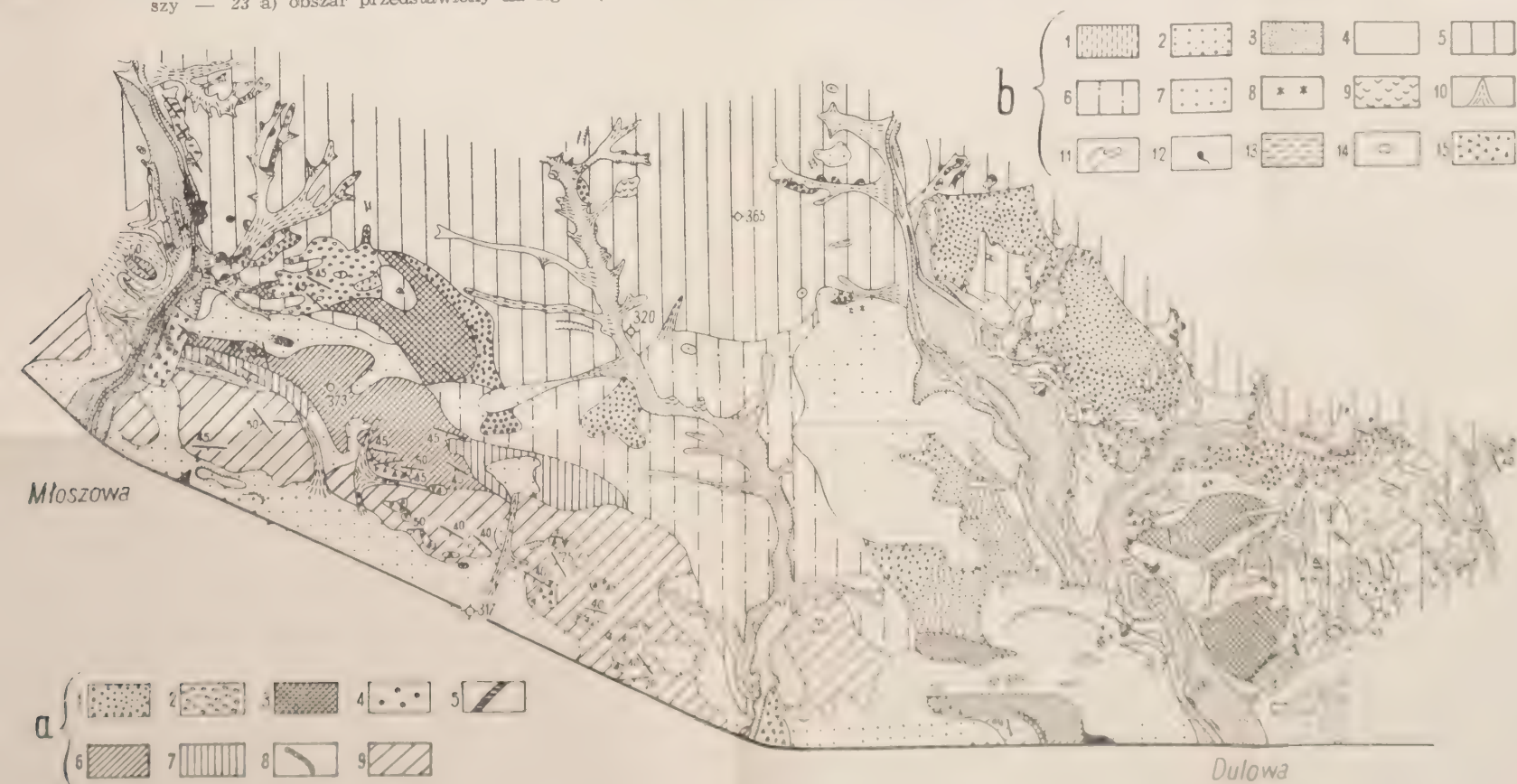


Fig. 2

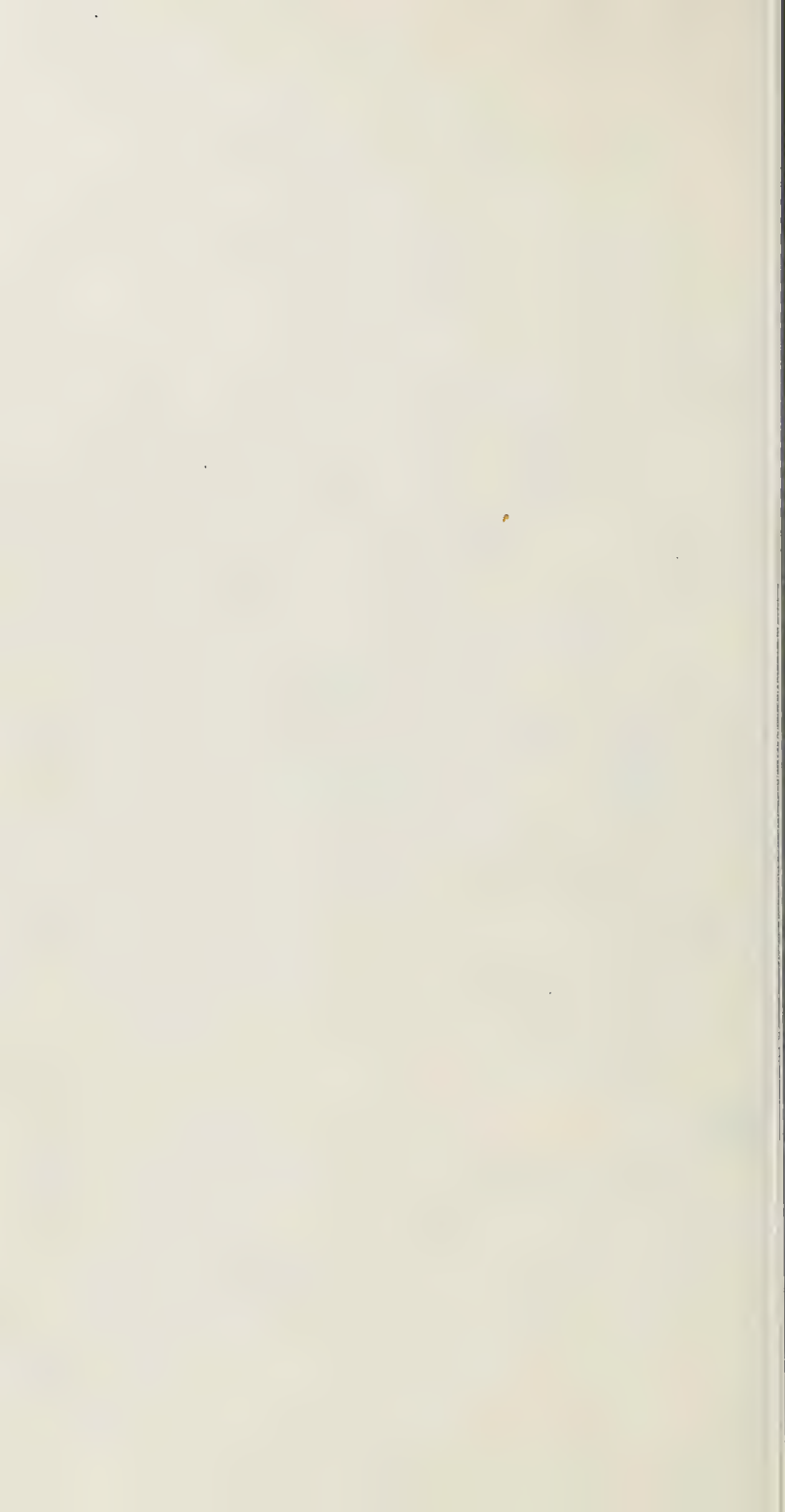
ZDJECIE GEOLOGICZNE STREFY BRZEZNEJ POMIĘDZY DULOWĄ I SIERSZĄ

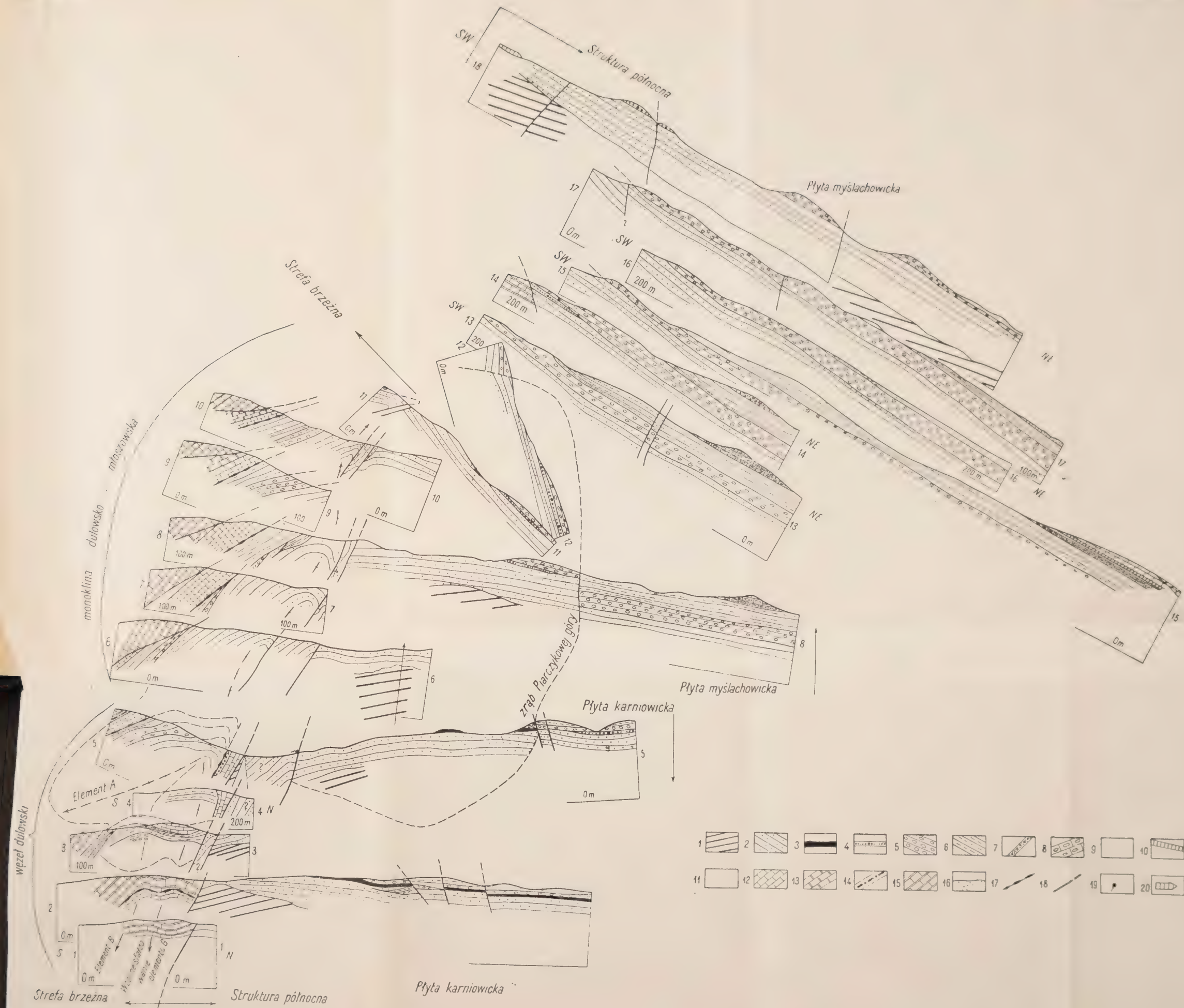
4. OTWORY STREFY BRZEZNIA

Piętro karniowickie, stefan: 1 arkoza kwaczalska; czerwony spagowiec: 2 zlepniec myślachowicki, 3 tuf porfirowy — Pstry piaskowiec: 4 żwir, 5 wapienie jamiste i margle retu — Wapien muszlowy: 6 wapien, 7 dolomit kruszczoński — Dogger: 8 baton i kelowej — Malm: 9 oksford i raurak

4. UTWORY ZAKRYWAJACE

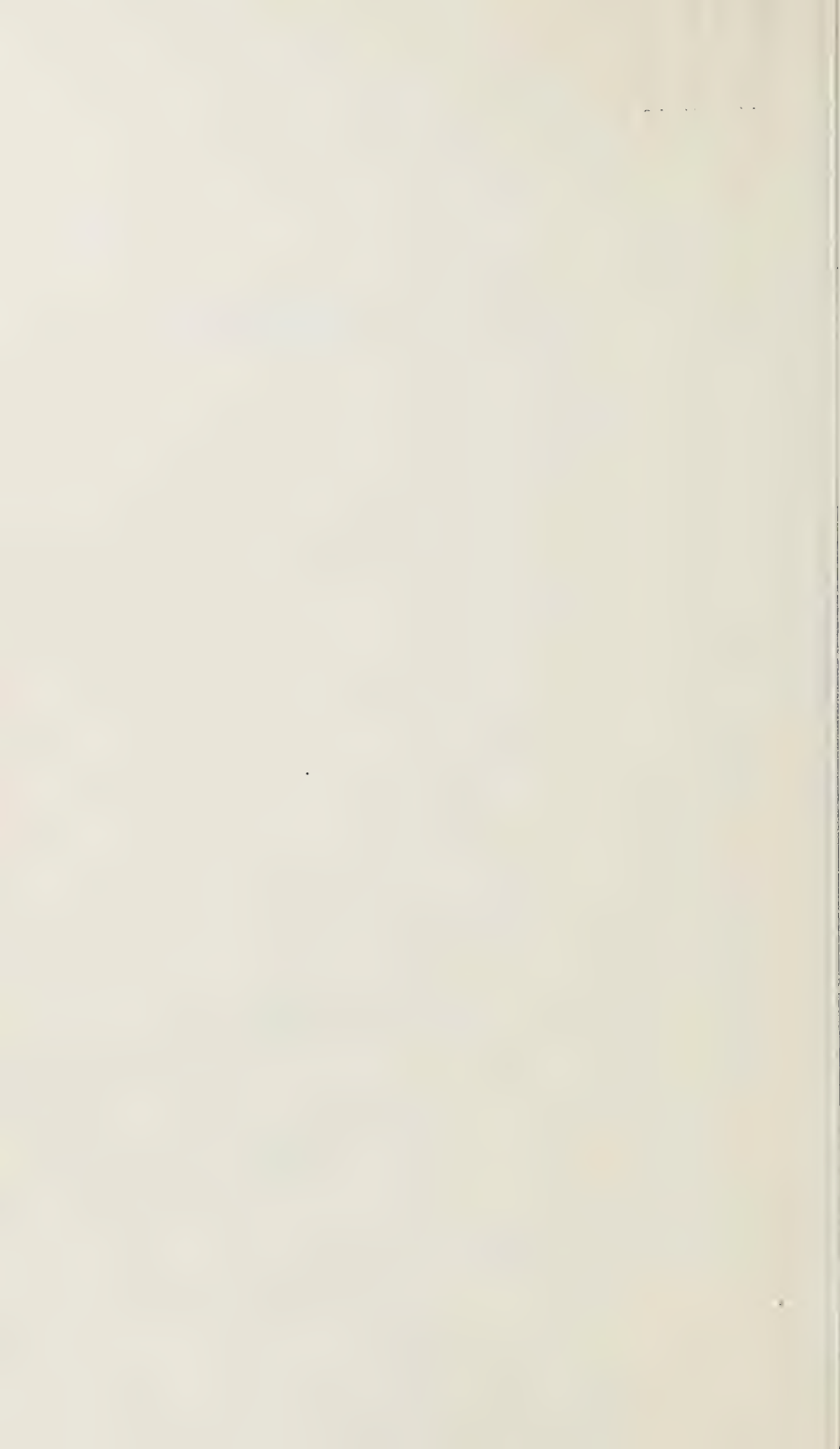
Taras lokalne: 1 taras najwyższy, częściowo erozyjny na arkozie, 2 żwirowe płaski wydymowe na tarasie najwyższym, 3 taras średni gliniasty (4 m), 4 taras najniższy gliniasty (2 m), 5 less, 6 less spłaszczony, 7 płasek fluwioakalny, powstający w wyniku z wydmami (płaski) Akwionem, 8 stratyki, 9 masy, 10 stożki, 11 jary, 12 źródła (x — źródło przedstawione na pl. I, fot. 2), 13 mokradła, 14 szybiki w Dulowej, 15 nasypy i haldy





ZESTAWIENIE PRZEKROJÓW GEOLOGICZNYCH NADKŁADU POMIĘDZY DULOWĄ I SIERSZĄ

1 Karbon produktywny ścięty powierzchnią erozyjną — Piętro karniowickie, 2 arkoza kwaczalska, 3 wapień karniowicki; czerwony spagowiec: 4 wkładka zlepieńca wapienno-kwarcowego w spagu zlepieńca myślachowickiego, 5 zlepienie myślachowicki, 6 tuf porfirowy — Pstry piaszkowce: 7 żwiru retu, 8 margle myophoriowe, 9 wapień jamisty — Wapień muszlowy: 10 wapień krynowidowy, 11 wapień falisty, 12 wapień (w ogóle), 13 dolomit kruszonośny — Dogger: 14 baton i kelo-wej — Malm: 15 oksford i raurak — Czwartorzęd: 16 piaski „pustyni płockiej” — 17 powierzchnie zluźnień — 18 dyslokacje — 19 źródło wstępujące (przekrój 5) — 20 hałdy Sierszy



w stosunku do produktywnego karbonu leży cały stefañsko-triasowy nadkład, tworzący właśnie płytę myślachowicką pochyloną ku NE. Są to, od dołu ku górze:

Powierzchnia erozyjna w spągu piętra karniowickiego — stefan (5, 7): a) żwiry i piaski z araukariami arkozy kwaczalskiej ok. 200 m, leżące na nierównej powierzchni erozyjnej; czerwony spągowiec; b) zlepieniec myślachowicki 60-100 m, którego dolne 25 m na skrajnym zachodzie zastąpione są przez zlepieniec wapienno-kwarcowy, nie mniej ostro odcinający się od arkozy kwaczalskiej w spągu, niż zlepieniec myślachowicki „normalny” o elementach wyłącznie wapiennych; c) tufy porfirowe 70-100 m.

Przerwa stratygraficzna w stropie piętra karniowickiego (7) — pstry piaskowiec: d) ił żółtawo-różowy z kwarcami — 1,30 m⁷; e) margle żółte retu z *Myophoria costata* — 20 m; f) wapień jamisty retu — 3 m; wapień muszlowy; g) dolna część dolnego wapienia muszlowego: warstwy gogo-lińskie (6) 30 m, w tym na 6-9 m od dołu przewodni dolny wapień falisty (pod nim wapień płytowy z krynoidami i *Gervillia socialis*), nad nim wapień zlepieńcowy z *Lima striata*.

Dolna granica dolomityzacji: h) dolomit kruszczośny (tylko najniższa część wchodzi w obręb mego zdjęcia, tabl. I, fig. 1).

Dzisiejsza powierzchnia morfologiczna płyty myślachowickiej w rejonie wsi Myślachowice, pochylona ku NE na ogół pod kątem ok. 3°, z rozsiąganymi na niej na zlepieńcu myślachowickim płacami tufów, wydaje się być powierzchnią strukturalną granicy zlepieniec-tuf, zapadającą w tym samym kierunku i pod tym samym kątem. Granica ta jest zapewne niejednorodna sedymentacyjnie, co by się odbijało właśnie w licznych odosobnionych płacach tufów i w krętym przebiegu zwartego konturu wychodni tufu. Niemniej jednak w obrazie tej powierzchni i w przebiegu innych

⁷ Warstwa ta, odpowiadająca środkowej części pstrego piaskowca lub dolnej części retu, została w północnych wzgórzach krakowskich wydzielona po raz pierwszy przeze mnie w 1937 r. zdjęciem geologicznym w okolicy Owczarni (tabl. I, fig. 1). Potem przebiłem ją wierceniem ręcznym, wykonanym w punkcie 413 na W od Owczarni. Znalazłem tam od góry: 0-50 cm żółte margle retu, 50-120 cm żółto-różowy ił z kwarcami do 7 mm średnicy, 120-130 cm ił j. w. bez kwarców, 130-140 cm ił j. w. z kwarcami o średnicy 3 mm, 140-150 cm ił j. w. bardzo piaszczysty bez kwarców, 150-170 cm ił j. w. bardzo tłusty bez kwarców, 170-180 cm ił jak na początku z kwarcami do 7 mm średnicy, 180-200 cm tuf porfirowy. Obok w innym wierceniu ręcznym w tymże ile ze żwirami w głęb. 30 cm pod marglami retu znalazłem kawałek kości (kręgu?). Ił ten mógłby być odpowiednikiem czerwonych iłów ze żwirami St. Zaręcznego z południowych wzgórz chrzanowskich, gdzie również podściela on margle retu (13). St. Siedlecki znalazł w międzyczasie analogiczne utwory w innych miejscach, opublikował swoje wnioski (7), z którymi moje są zgodne. W 1951 r. znalazłem w rdzeniach jednego z wierceń, przebijających piętro karniowickie, 7 cm piaskowca kwarcowego gruboziarnistego, o ziarnie 1-3 mm (fig. 3), między marglami retu w stropie i tufem w spągu.

Fig. 3
 Rdzenie jednego z wierceń
 przebijających spąg retu w okolicy Filipowic

margle żółte, miejscami dolomityczne

piaskowiec o ziarnach kwarcu 1-3 mm, tkwiących w żół-
 tym spoiwice

tuł porfirowy różowy (odbarwiony) z białymi plamami
 w luźnych kawałkach

tuł porfirowy czerwony z białymi plamami (1 cm)



granic można stwierdzić pewne prawidłowości, związane z wtórnym zaangażowaniem tektonicznym owej płyty.

Na fig. 2 naniesiono izohipsy spągu zlepieńca myślachowickiego, tufów i piaskowca pstrego, otrzymane z intersekcji dokładnie skartowanych granic tych kompleksów (p. wyżej str. 14).

Mamy tam także naniesione dyslokacje płyty myślachowickiej, widoczne wyraźnie w terenie z nieciągłości kartograficznych. W rezultacie, poza wtórnymi undulacjami dotyczącymi wyłącznie granicy zlepieńca-tufów i będącymi zapewne wynikiem pierwotnej nierównej sedimentacji, widzimy tu wyraźnie wtórne struktury tektoniczne wyrażające się w zaburzeniach dwu lub wszystkich trzech powierzchni granicznych.

I tak w NW części płyty mamy naprzód u jej dzisiejszej pd.-zachodniej krawędzi, na zachodnim zboczu Ostrej Góry i na wschodnim zboczu Kamiennej Góry, fleksuralne przestromienie upadu spągu zlepieńca myślachowickiego z normalnego 3" na 8-10" ku NE. Fleksura ta (może połączona z uskokiem?) biegnie w kierunku SSE-NNW, prawie ku północy. Dalej ku NE, o ok. 1300 m od krawędzi płyty wzdłuż wschodniego zbocza koty 419 musi przebiegać dyslokacja o biegu NNW. Arkoza kwaczalska bowiem (żwiry) jest u szczytu doliny, towarzyszącej od wschodu temu wzgórzcu i na zachodnim zboczu następnego ku wschodowi wzgórzcu z kotą 406, podniesiona o ok. 20 m w stosunku do tamtego zbocza, przyjmując zaś pochylenie płyty ku NE — pewnie o 30 m na samej dyslokacji. W południowym przedłużeniu tej linii izohipsy spągu tufu układają się w obraz antykliny o biegu SE, zanurzającej się szybko w swej osi ku SE i zanikającej po przejściu gościńca Myślachowice—Galman, w odległości ok. 500 m ku SE od niego. Biorąc jednocześnie pod uwagę oba opisane poprzednio zjawiska (dyslokację i antyklinę) mielibyśmy tu do czynienia z jedną, podłużną, wijącą się, płaską formą antyklinalną o 25-metrowej amplitudzie strukturalnej, biegnącą na odcinku długości ok. 2 500 m od Kozibrodu na północy ku S i potem ku SE, aż poza gościniec Myślachowice—Galman. Forma ta jest na zachodnim zboczu koty 419 w swym zachodnim skrzydle obcięta podłużną dyslokacją, zrzucającą część zachodnią o ok. 30 m. *

W pd.-wschodniej części płyty myślachowickiej nie widać opisanych wyżej podłużnych wtórnych form tektonicznych. Zaznacza się tam natomiast poprzeczne sfaldowanie antyklinalne, zanurzające się ku NE, idące od Czerwonej Góry w kierunku na Galman (antykлина Czerwonej Góry) o deniwelacjach strukturalnych 25-30 m. Zaznaczone jest ono wszystkimi trzema grupami izohips z tym, że w spągu pstrego piaskowca nie widać pn.-zachodniego skrzydła tej formy. Synklina ograniczająca tę antyklinę od NW jest szczególnie dobrze widoczna w izohipsach spągu tufu, synklina zaś pd.-wschodnia — w izohipsach spągu pstrego piaskowca Owczarni. Na SE od tej antykliny, w miejscu, gdzie pd.-wschodnie skrzydło ogranicza-

jącej ją z tej strony triasowej synkliny Owczarni jest rozcięte podwójną dyslokacją o biegu NW-SE, uskok ten daje się dobrze skartować na przebiegu granic tuf-ret i na wychodniach żwirów pstrego piaskowca (tabl. I, fig. 1). Zrzuca on część pn.-wschodnią o 15 m.

Charakterystycznym w tektonice płyty myślachowickiej jest przebieg jej ogólnym zapadzie ku ENE: a) zgodny przebieg dyslokacji uskoku i fleksurowych podłużnych do biegu płyty z tym, że zakreślają one łagodny łuk wklęsły ku NE; b) niezgodny przebieg obu wtórnych płaskich antyklin. prostopadłych do siebie, z wygaśnięciem pn.-zachodniej formy podłużnej w miejscu, gdzie natrafia ona na południowym wschodzie na formę poprzeczną.

Wreszcie bardzo interesującym jest w pd.-zachodniej krawędzi płyty myślachowickiej pod Bożnową Górą zapadanie malmu strefy brzeżnej (por. wyżej uwaga str. 17) ku NW pod kątem 45° jakby pod arkozę płyty (tabl. II, przekrój 14). Wygląda to, że płyta myślachowicka jest tu *nasunięta* na strefę brzeżną.

2. Dyslokacja Młoszowa-Karniowice (tabl. II, przekroje 8, 11, 12)

Linia tektoniczna, ograniczająca płytę myślachowicką od południa, zaczyna się na analizowanym terenie na zachodzie w odległości 1100 m prostopadle ku NNE od szosy w Młoszowej i o 250 m w prawo ku NW od osi doliny młoszowskiej. Jest ona tu przedłużeniem dyslokacji przesłanej przeze mnie od tego miejsca ku SSW na odcinku 1 km w obręb pn.-zachodniego przedłużenia strefy brzeżnej. Mapy tego terenu nie przedstawiam przed jej zreambulowaniem (por. wyżej uwaga na str. 17). Tarcie nieciągłość ta tnie skośnie strefę brzeżną podnosząc jej część południową we wskazanym zaś wyżej punkcie wchodzi ona w obręb struktury północnej zachowując ten sam charakter. Widać z tego, że dyslokacja ta jest późniejsza, niż komplikacje tektoniczne strefy brzeżnej i niż tektoniczny kontakt strefy brzeżnej ze strukturą północną.

We wskazanym wyżej punkcie, na północ i zachód od wypukłej ku SSE linii dyslokacyjnej, mamy w kamiennej zwietrzelinie wzgórza tylko otoczaki wapienne z nawarstwieniem lepiszcza. Jest to eluwium zlepieńca myślachowickiego w pd.-wschodnim przedłużeniu płaskowyżu zlepieńcowego Bożnowej Góry, gdzie widać go w łomach i odkrywkach, jako krawędziową część płyty myślachowickiej. Natomiast na południe i wschód od tej linii mamy na roli i we wcięciach ścieżek wyłącznie żwiry kwarcowe, łączące się ku SE poprzez dolinę młoszowską ze strefą odsłoniętych żwirów arkozy kwaczalskiej, które tworzą wychodnie podstawowego kompleksu zrębu Piarczykowej Góry (por. niżej str. 37, 38). W żwiry te wchodzi klinem ku NNW zakończenie kompleksu zlepieńca myślachowickiego monokliny dułowsko-młoszowskiej (por. wyżej str. 16).

Od wskazanego punktu linia dyslokacyjna, skręciwszy z kierunku równoleżnikowego ku NE, biegnie tak dalej na odcinku 750-metrowym przecinając przy tym dolinę młoszowską zaraz powyżej miejsca zaznaczonego przez występowanie źródła w dolinie ⁸. Linia ta, sądząc po wychodniach zlepieńca myślachowickiego i arkozy, jest tu cofnięta zygzakowato ku zachodowi o 70 m będąc prawdopodobnie przerzuconą przez inną dyslokację. Naprzeciw tego miejsca wpada z lewej strony do doliny młoszowskiej rozgałęziony jar, schodzący od przełęczy, która ogranicza na północy Piarczykową Górę. Dnem dolnej części tego jaru linia dyslokacyjna biegnie ku NE aż do ok. 100 m poniżej jego potrójnego rozwidlenia. Na całej tej długości: na SE od linii dyslokacyjnej mamy odsłonięcia i eluwalne płyty żwirów arkozy kwaczalskiej w podstawie zrębu Piarczykowej Góry, naprzód na prawym zboczu doliny młoszowskiej, a potem w lewym zboczu dolnej części rozwidlonego jaru i w bocznym jarku, wpadającym doń z lewej strony na 125 m poniżej jego głównego rozwidlenia. W żwirach tych nie widać żadnego pochylenia warstw. Podścielają one poziomo leżący zlepieńiec myślachowicki zachodniego zbocza Piarczykowej Góry (por. niżej str. 37, 38). Po NW stronie tej linii mamy natomiast, na prawym zboczu doliny młoszowskiej, przede wszystkim eluwium i wychodnie zlepieńca myślachowickiego z upadem ku ENE pod kątem 25°, zmierzonym w prawobocznym jarze wpadającym do doliny młoszowskiej zaraz poniżej wspomnianego źródła, znaczącego linię dyslokacyjną, w odległości 160 m w górę od jego ujścia. Stosownie do tego upadu, zgodnego z pochyleniem płyty myślachowickiej ku NE, dalej ku NE na lewym zboczu doliny młoszowskiej i na prawym zboczu rozwidlonego lewobocznego jaru widzimy na NW od linii dyslokacyjnej tylko tufy, a więc już nadkład pochyłonego ku NE zlepieńca płyty myślachowickiej. Na lewym zboczu tego jaru, na SE od linii dyslokacyjnej, odsłaniają się, jak wspomniałem wyżej, żwiry arkozy kwaczalskiej. Widać tu więc dobrze nożycowy charakter naszej dyslokacji. W początkowym, skrajnym zachodnim punkcie tej linii na opisywanym terenie amplituda przemieszczenia, mierzona różnicą wysokości spagu zlepieńca myślachowickiego w płycie myślachowickiej i w zboczu Piarczykowej Góry, wynosi ok. 40 m, gdy tymczasem przy ujściu rozwidlonego jaru przemieszczenie spagu tufów w stosunku do szczytu Piarczykowej Góry sięga przynajmniej 70 m. Płyta myślachowicka pochyla się wzdłuż dyslokacji Młoszowa-Karniowice ku ENE stosunkowo znacznie (6-7°), a zrąb Piarczykowej Góry zachowuje przy niej położenie prawie poziome (upad ok. 2° ku NNE).

W opisanym, potrójnie rozwidlonym jarze, na 100 m poniżej jego rozwidlenia, śledzona dyslokacja skręca ostro ku SE. W tym kierunku właśnie

⁸ Dziś (1954 r.) jest tam studnia pompowa.

ciągną się odkrywki tufu płyty myślachowickiej w lewym z trzech rozgałęzień jaru. na odcinku ok. 200 m, aż do jego głowy. Tufy widać przy tym także w eluwium na lewo od tego odgałęzienia do odległości 50 m od jego dna. Prowadzę więc linię dyslokacyjną, oddzielającą płytę myślachowicką od zrębu Piarczykowej Góry, skierowawszy ją ku SE. pomiędzy tym odgałęzieniem rozwidlonego jaru i wspomnianym bocznym jarkiem. wpadającym do niego niżej. gdzie mamy wychodnie żwirów arkozy kwaczalskiej. Po ok. 300 metrach takiego przebiegu dyslokacja ta skręca pod ostrym kątem ku NNW. W tym bowiem kierunku są uszeregowane na jednej linii. na odcinku 100 m. wychodnie zlepieńca myślachowickiego w głowie lewego odgałęzienia rozwidlonego jaru. o którym była mowa. i niżej w trzech miejscach. w ścianach małych prawobocznych odnóg tego odgałęzienia. Te wychodnie zlepieńca znajdują się hipsometrycznie wyżej. niż przylegające do nich od zachodu wychodnie tufów. i hipsometrycznie odpowiadają położeniu wychodni zlepieńca myślachowickiego wokół Piarczykowej Góry. Sądzę więc. że oddziela je tu od tych wychodni tufowych dyslokacja. która przerzuca ku N o 250 m dyslokację śledzoną przez nas. tak jak to już raz widzieliśmy przy prawym zboczu doliny młoszowskiej (por. wyżej str. popr.).

Poza rozgałęzionym jarem dyslokacja Młoszowa—Karniowice daje się prześledzić prosto ku wschodowi. na odcinku 1 km. do doliny Dulówki w Karniowicach wzdłuż północnych zboczy Piarczykowej Góry. Wszędzie tu. aż do tej doliny. mamy wychodnie tufu i płyty jego eluwiów na północ od linii dyslokacyjnej w niższej części północnych zboczy Piarczykowej Góry. łączące się ku północy z tufami podścielającymi reł Owczarni (por. wyżej str. 22). Natomiast na południe od linii dyslokacyjnej występuje powyżej izohipsy 370 w eluwium i odkrywkach zlepieniec myślachowicki Piarczykowej Góry. poniżej izohipsy 370 m w dół ku dolinie Dulówki — żwiry i zlepieńce kwarcowe arkozy kwaczalskiej. Znów i tu więc. jak nad doliną młoszowską. widać przy omawianej dyslokacji łagodną intersekcję kompleksów skalnych. tworzących zrąb Piarczykowej Góry. W odległości 225 m ku północy od kulminacji 423.4 (Piarczykowa Góra) bezpośrednim stykiem eluwiów tufu (w dół stoku na północy) i zlepieńca myślachowickiego (w górę stoku na południu) dokładnie wyznaczony jest równoleżnikowy przebieg śledzonej dyslokacji na odcinku 150 m. Amplituda jej wynosi tu już ok. 150 m (tabl. II, przekrój 8), a więc w dalszym ciągu zaznacza się jej styl nożycowy (por. wyżej str. popr.).

Wschodnie przedłużenie tej dyslokacji zdaje się przechodzić. według moich dotychczasowych. bardzo pobieżnych obserwacji. poza obrębem załączonego szkicu (tabl. I, fig. 1) wzdłuż górnego równoleżnikowego biegu Dulówki oddzielając z kolei płytę myślachowicką od płyty karniowickiej.

Zasadniczym rysem strukturalnym dyslokacji młoszowsko-karniowickiej jest to, iż nie powoduje ona jedynie podzielenia jakiejś poprzednio utworzonej struktury na dwie części przesunięte względem siebie w pionie, w poziomie lub skośnie. Rozgranicza ona mianowicie dwie odrębne jednostki strukturalne wtórne: płytę myślachowicką i zrąb Piarczykowej Góry, zachowujące się rozmaicie. Zapewne powstały one właśnie w wyniku pęknięcia na tej dyslokacji innej, pierwotnej struktury.

3. Płyta karniowicka (tabl. II, przekroje 2, 5, 6)

Forma ta dobrze odsłania się pomiędzy dolną częścią Dulówki i doliną jej największego lewego dopływu — jarów dulowskich, a także w lewobocznym basenie tych jarów aż do lewobocznego działu wód. Jej wschodnie przedłużenie występuje w zlewni obu Charchołów, zachodnich i wschodnich. Podobnie jak w płycie myślachowickiej powierzchnia strukturalna zlepieńca myślachowickiego przedstawia ogólny styl budowy geologicznej, tak tu grają tę rolę intersekcja wapienia karniowickiego w jarach dulowskich a jego powierzchnia strukturalna w „wyżynce karniowickiej”. W zlewni zaś Charchołów zadanie to spełnia intersekcja spagu zlepieńca myślachowickiego.

W profilu stratygraficznym płyty karniowickiej, podobnie jak w profilu płyty myślachowickiej, pod żwirami arkozy kwaczalskiej także występuje powierzchnia niezgodności. W Dulowej na grzbiecie pomiędzy zlewnią jarów dulowskich i Charchołami wykonano w roku 1939 dwa szybiki na linii N-40"-E w odległości 60 m jeden od drugiego w ten sposób, że pd.-zachodni szybik odległy był o 25 m od linii północnego brzegu wązka dulowskiego, wyznaczonego tu granicą arkozy i wapienia muszlowego (por. wyżej str. 8).

W szybiku pn.-wschodnim oglądałem następujący profil od góry:

- b. 0 - 11,40 pstry ility łupkowe (szare, czerwone i zielone)
- c. 11,40 - 11,57 „guma” — ility szary plastyczny
- d. 11,57 - 11,67 „kamień” — ility szary, twardy
- e. 11,67 - 11,85 „guma” — ility szary plastyczny
- f. 11,85 - 12,05 czarny łupek
- g. 12,05 - 13,65 glina jasnoszara z „fukoidami” (sieczką roślinną)
- h. 13,65 - 14,40 piaskowiec jasnoszary
- i. 14,40 - 14,90 glina szara, bardzo piaszczysta
- j. 14,90 - 16,00 pstry ility (zielony i czerwony) z miką

W szybiku pd.-zachodnim (powierzchnia o ok. 2 m niżej, niż szybik poprzedni) widziałem od góry:

- a. 0 - 4,50 żwir kwarcowy
- b₁ 4,50 - 4,95 glina biała
- b₂ 4,95 - 12,00 ility szary, zielony i czerwony z miką

- d. 12,00 - 12,10 „kamień“ — iłowiec szary, twardy
- e. 12,10 - 12,25 ił szary („guma“?)
- f. 12,25 - 12,45 czarny łupek
- g. 12,45 - 14,00 glina jasnoszara
- h. 14,00 - 14,50 piasek jasnoszary

Z szybiku pn.-wschodniego (fig. 4) kompleks c-g został prześledzony chodnikiem ku wschodowi do 30 m, a ku zachodowi do 15 m. We wschodniej części tych wyrobisk widać było w północnym przodku upad ku SE (S-45°-E) pod kątem 13° (fig. 5), a we wschodnim przodku — upad ku południowi pod kątem 12°, który ku zachodowi stopniowo skręca i wreszcie w skrajnym zachodnim przodku skierowany jest ku SSW (S-35°-W) pod kątem 12°. W szybiku pd-zachodnim zmierzyłem w kompleksie b-a upad skierowany ku SSE (S-15°-E) pod kątem 30°.

Zestawiając dane z obu szybików na przekroju (fig. 6) widzimy, że warstwa a — żwiry — zdaje się tu pokrywać niezgodnie kompleks niższy. Żwiry te, należące do kompleksu arkozy kwaczalskiej, odsłonięte są tu wszędzie w podstawie płyty karniowickiej. Na przedstawionym profilu nawierciłem je wówczas o 100 m dalej ku NE od pn.-wschodniego szybiku ręcznym świdrem pod lessem. Wyjątkowo więc w miejscu lokalizacji pn.-wschodniego szybiku wychodzi na powierzchnię seria spagowa, ilasta. Uwzględniając opublikowane w 1951 r. poglądy St. Siedleckiego na stefañski wiek arkozy kwaczalskiej (5) nasuwa się pytanie, czy wspomniana seria ilasta nie należy do najwyższych ogni w westfalu, gdzie indziej nie znanych, i czy nie mamy tu do czynienia z tą samą przedstefañską niezgodnością erozyjną, którą opisałem poprzednio mówiąc o podłożu płyty myślachowickiej (por. wyżej str. 18-19). O 1250 m stąd ku NW, w jednym z dawnych wierceń (tabl. II, przekrój 6), stwierdzono występowanie karbonu (westfalu) pod permem (arkozą) w głębokości 90 m. W tę zatem stronę pochylałaby się ta powierzchnia erozyjna. Jakkolwiek by jednak było, „seria ilasta“ z szybików dulowskich jest czymś innym, niż dwie kilkudziesięciocentymetrowe warstewki ilaste, bogate w glinę, które znalazłem w roku 1938 w lewobocznym wąwozie lewego jaru dulowskiego jako wkładki *wśród* żwirów arkozy (8).

Ponad tą zagadkową serią ilastą i ponad karbonem wspomnianego wiercenia mamy następujący profil płyty karniowickiej:

a) żwiry arkozy kwaczalskiej 40-100 m, zależnie od występowania wspomnianej niezgodności spagowej, z lokalnym podwójnym, kilkudziesięciocentymetrowym wkładem ilastym w poziomie 10 m poniżej stropu (8).

b) wapień karniowicki z opisaną przez Raciborskiego (3) florą górno-karbońską 6-10 m, wyklinowujący się sedymentacyjnie ku NW i SE;

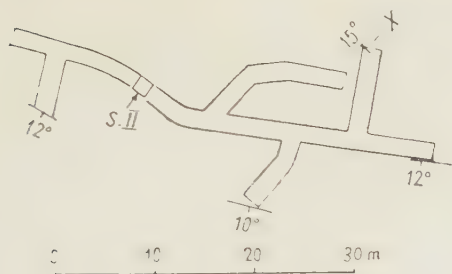


Fig. 4

Szkie wyrobisk poszukiwawczych za glinę wykonanych w Dulowej w r. 1919

Legenda: S. II szybik NE, X przodek pn.-wschodni

Fig. 5

Profil przodka X z fig. 4
Legenda: b pstre ily łupkowe, c ily szary plastyczny, d ily szary, twardy, d' szara glina z wkładkami czarnego łupku, e ily szary plastyczny, e' szara glina, f czarny łupek, f' łupek czerwony i zielony, g glina jasnoszara z fukoidami

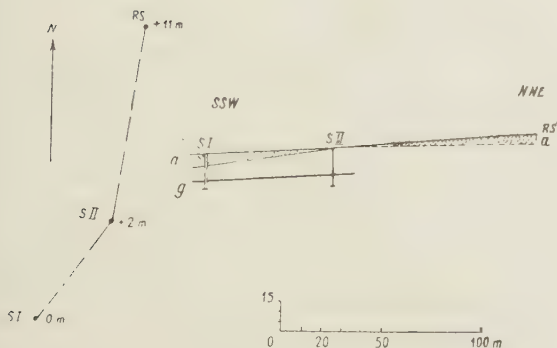
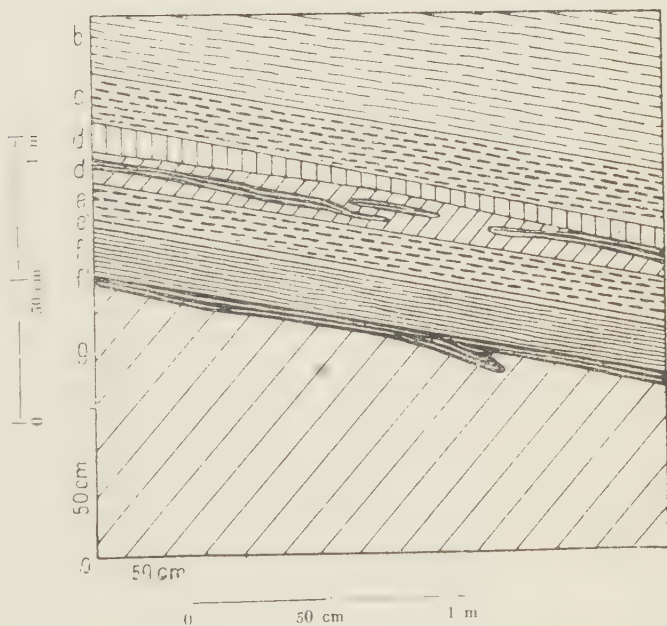


Fig. 6

Przekrój na linii szybików z Dulowej z zaznaczonymi poziomami „a” i „g”

Legenda: RS świder ręczny, S. I szybik SW, S. II szybik NE

c) zlepieniec myślachowicki. 20-50 m z kilkumetrową wkładką prze-mytych tufów porfirowych w formie „ilu tufowego“ (ze skaolinizowanymi skaleniami) w poziomie ok. 15 m poniżej stropu. Tam, gdzie zlepieniec ten leży na wapieniu karniowickim, jest on typowy, tzn. składa się wyłącznie z otoczków wapienia węglowego (dewonu nie potrafię w nim rozpoznać). Natomiast w NW rogu płyty karniowickiej, tam, gdzie nie ma w jego spagu wapienia karniowickiego, znajduje się w jego dolnej części kilkunastocentymetrowa seria zlepieńca o elementach wapiennych przemieszanych z kwarcami (por. wyżej str. 19).

d) tufy porfirowe — 70 m bez przykrycia stratygraficznego w stropie.

Pod względem tektonicznym płyta karniowicka dzieli się na trzy elementy: zachodni, środkowy i wschodni.

Element zachodni (tabl. II. przekroje 5, 7) obejmuje samą wyżynkę karniowicką, jej zachodnie zbocze spadające ku dolinie Psarki oraz roz-widloną dolinę jarów dulowskich aż po dno rozwidlenia wschodniego. Na-przód, od południa, na wyżynce mamy poziome ułożenie wapienia karnio-wickiego na długości ok. 450 m z południa na północ, z wysokością spagu wapienia na ok. 385 m n.p.m. Powierzchnia wyżynki jest zapewne po-wierzchnią strukturalną wapienia karniowickiego, gdyż leży na niej płat luźnych otoczków wapienia węglowego ze zlepieńca myślachowickiego, zwietrzałych na proszek w środku i otoczonych skrzemieniałą powłoką. Są to prawdopodobnie pozostałości po trzeciorzędowym pustynnym zde-nudowaniu zlepieńca nad wapieniem karniowickim. Dalej ku północy wyżynka przechodzi w zbocze koty 420. W zboczu tym mamy tuf. Możliwe jest, że między tym tufem a wapieniem karniowickim wyżynki przebie-gają tu podnóżem zbocza koty 420 przykryte lessem wychodnie zlepieńca myślachowickiego, ze wschodu na zachód, w przedłużeniu jego wychodni w wąwozie biegnącym do jarów dulowskich od wschodniej strony nasady wyżynki. Gdzieś tu bowiem musi uchodzić w zbocze zlepieniec, który dał pozostałości rumoszowe na wyżynce.

Linia nasady wyżynki (N-75°-W), przedłużona ku ESE wzdłuż wska-zanego wyżej wąwozu, który spada w tym kierunku do jarów dulowskich, jest linią tektoniczną. Na przecięciu z nią, na zboczu pochyłonym ku Du-lówce, strop arkozy kwaczalskiej zaczyna ku północy obniżać się od wy-sokości 380 m u nasady wyżynki do 360 m w znanej odkrywce karnio-wickiej (na wypukłym zakręcie zbocza przed głęboko wciętym lewobocz-nym jarem uchodzącym do Dulówki). Na tym ok. 300-metrowym odcinku, skierowanym intersekcyjnie ku NNW, widać naprzód u nasady wyżynki zejście zwietrzliny tufów po zboczu wzgórza 420 aż do kontaktu ze żwi-rami arkozy tak, jak gdyby znikwały tu zlepieniec myślachowicki i wapień karniowicki. Potem, na długości 100 m, pojawiają się znów tkwiące w zbo-

czu bloki zlepieńca myślachowickiego znacząc jego ok. 10-metrową miąższość pomiędzy tufem w stropie i arkożą w spagu. Część ta jest na powierzchni ostro ograniczona jakby dyslokacjami od S i N. Granica południowa, biegnąc w kierunku ENE-SW, podnosi ten zlepieniec w stosunku do spagu wspomnianego wyżej tufu o ok. 5-7 m; granica północna o biegu równoleżnikowym wskazuje, że z tej strony zlepieniec jest z kolei w podobnym wymiarze obniżony w stosunku do części północnej. Za tą linią bowiem podnosi się znowu o 5-7 m strefa zlepieńcowa pomiędzy żwirami arkoży w spagu i tufem w stropie. Dalej jednostajnie już obniżają się na zboczu wychodnie zlepieńca do wspomnianej wyżej odkrywki karniowickiej, ograniczone od dołu sypiącymi się ze zbocza kwarcami arkoży, która przy odkrywce została ostatnio sztucznie odsłonięta z inicjatywy St. Siedleckiego. Po drodze, w odległości ok. 60 m od odkrywki, widać na tej granicy tkwiący w zboczu blok wapienia karniowickiego — ostatni ślad tej warstwy, która wyklinowała się na śledzonym kontakcie. W profilu, idącym przez odkrywkę karniowicką, można grubość kompleksu zlepieńcowego ocenić na ok. 25 m. W odkrywce widać niewyraźny upad jego ławic ku NE pod kątem 10°. W takiej samej wysokości n.p.m., 360 m, pojawia się następnie spągowa granica zlepieńca myślachowickiego w odległym o 100 m od odkrywki lewobocznym jarze Dulówki. Podłoże jego tworzą tu żwiry arkoży, odsłonięte z prawej strony u wylotu jaru. W dnie jaru lokalnie występują zlepieńce wapienno-kwarcowe w spagu serii zlepieńcowej, grubości ok. 10 m. Cała miąższość zlepieńca wynosi tu ok. 50 m. Niewyraźny obserwowany w nim upad skierowany jest ku SSW pod kątem 15°.

Sądząc z podanych wyżej, bardzo jednak niepewnych pomiarów upadu w zlepieńcu, mielibyśmy na północ od nasady poziomo ułożonego kompleksu wyżynki karniowickiej płaską synklinę. Na to samo wskazują bardziej pewne upady pomierzone nad zlepieńcem w tufach warstwowych, w otoczeniu koty 420. Na NW od niej mamy w nich upad ku E pod kątem 5°, a na południe od niej — upad ku NNE pod kątem 5°. Biorąc nadto pod uwagę pochylenie warstw tufu ku SSW pod kątem 15° jeszcze dalej na północy, w górnej części najniższego prawego ramienia opisanego wyżej jaru, wnioskujemy, że bieg osi synkliny skierowany jest ku ESE z obniżaniem się jej w tym kierunku.

Po drugiej, wschodniej stronie wyżynki karniowickiej, na jej zboczu zwróconym ku jarom dulowskim, również u jej nasady, zaczynają się komplikacje tektoniczne. Przede wszystkim, wzdłuż lewego zbocza wąwozu, zbiegającego ku jarom w kierunku ESE, wapien karniowicki, wąskim pasem swoich odsłonień podesłany kwarcową arkożą i przykryty wychodniami zlepieńca, obniża się od wysokości 380 m n.p.m. do wysokości 360 m n.p.m. Tę mniejszą wysokość osiąga on w ostrodze zbocza pomiędzy tymi

wąwozem (na lewo od niego) i doliną jarów dulowskich. Potem ciągnie się on w górę wzdłuż prawego zbocza prawego jaru dulowskiego, odsłonięty w dnie jego dwu większych prawobocznych wąwozów. Zawsze przy tym widzimy pod nim żwiry arkozy, powyżej zaś — zlepieniec myślachowicki. Po 450 metrach takiego przebiegu, o 30 m powyżej drugiego ze wspomnianych wąwozów, potrójnie rozwidłonego, widać jak wapien ten chowa się pod zlepieniec myślachowicki na dnie prawego jaru dulowskiego. Punkt ten znajduje się w wysokości 380 m n. p. m., wapien więc podniósł się o 20 m ku północy na ostatnio prześledzonym odcinku. Wydaje się, jakoby to podniesienie odpowiadało już północnemu skrzydłu synkliny, zaznaczającej się na zachodzie w otoczeniu wzgórza 420 (por. str. poprz.). Oś jej kierowałaby się na wskazany wyżej, najniższy punkt wapienia w ostrodze zbocza u wylotu dużego prawego wąwozu. Dalej ku ESE synklina ta podnosiłaby się i zanikała (por. fig. 2 i niżej str. 33-34). Jej skrzydło południowe, bardziej strome, odpowiadałoby obniżeniu wapienia o 20 m od nasady wyżynki karniowickiej do tego punktu wzdłuż lewego zbocza tego wąwozu.

Na dnie lewego jaru dulowskiego, w odległości 400 m w górę od głównego rozwidlenia doliny, w równie wysokim położeniu, jak w prawym jarze dulowskim, znika wapien karniowicki w poziomie ok. 385 m pomiędzy żwirami arkozy i zlepieńcem chowając się ku północy pod wznoszące się dno jaru.

Na północ od miejsc, gdzie znikł z powierzchni wapien karniowicki, mamy w obu jarach niegruby (ok. 20 m) zlepieniec myślachowicki, przykryty tufem, a w górę obu jarów — całkowicie niknący pod tufem. Położenie zlepieńca zdaje się tu być poziome. W prawym jarze w środku zlepieńca przebiega z przerwami, wspomniana w zestawieniu stratygraficznym warstewka ilu tufowego. Opierając się na jej obecności oraz na prześledzonym na zboczach kontakcie zlepieńca z tufem udało mi się wyznaczyć uskoku, przecinający prawy jar dulowski w odległości 150 m w górę od ujścia wspomnianego dużego prawobocznego, potrójnie rozwidłonego wąwozu. Dyslokacja ta biegnie w kierunku N-80°E zrzucając część północną o ok. 10 m. Bezpośrednio na północ od tego uskoku warstwy muszą być lekko pochylone ku południowi, gdyż wkładka ilu tufowego wynurza się na tym odcinku ku północy z dna jaru w odległości 50 m w górę od uskoku, i następnie dopiero, po dalszych 120 metrach, chowa się ku północy pod podnoszące się dno. W lewym jarze dulowskim nie znalazłem wschodniego przedłużenia tego uskoku.

Budowa geologiczna *elementu środkowego*, czyli wschodniego zbocza doliny jarów dulowskich, nie jest jasna. Naprzód, poczynawszy od wskazanego wyżej miejsca zanurzania się wapienia karniowickiego w górę dna

w lewym jarze dulowskim, wychodnie jego ciągną się ku południowi lewym zboczem tego jaru mając spąg mniej więcej na poziomie 385 m. Potem nagle, po przerwie w odsłonięciach, spowodowanej zakryciem lessowym widzimy ten spąg w większym lewym jarku, tam gdzie odsłaniają się opisane przeze mnie w roku 1938 (8) wkładki ilaste w arkozie kwaczalskiej. W jarku tym spąg wapienia karniowickiego znajduje się na poziomie 395 m: kilkumetrowej grubości wapień ten przykryty jest ok. 10 metrami zlepieńca myślachowickiego, zawierającego u dołu wtrącenie ilu tufowego i przykrytego tufem. Uważam za możliwe, że na prawo, na północ od tego jarku, przebiega dyslokacja równoleżnikowa, zrzucająca część północną o 10 m.

Dalej, na południe od tego jarku, na 200-metrowym odcinku zbocza nie ma żadnych wychodni skał piętra karniowickiego, prócz żwirów arkozy nad samym dnem i rumoszu z osuniętych bloków wapienia karniowickiego, obramiających dolną granicę rozciętego i zmytego u dołu przez młodą erozję lessu.

Na szerokości zbiegu obu jarów dulowskich, na lewym zboczu ich wspólnej doliny, pojawia się osuwisko, które następnie towarzyszy dolinie z lewej strony w dół na długości 850 m (fig. 7). Osuwisko to, szerokie w górze doliny na 250 m licząc w lewo od jej dna, zwęża się stopniowo z jej biegiem. Jest to osuwisko stare, podcięte u dołu przez główny jar do wysokości 8-10 m, następnie odmładzane wtórnymi zerwaniami i spływami. Północna część osuwiska, położona przy górnym odcinku doliny, ma typową formę skarpy niszowej i liczne „odmłodzenia”. Dwa wąwozy o przebiegu łukowatym, wypukłym na zewnątrz od osuwiska, towarzyszą od góry i od dołu doliny tej typowej jego części. Łukowata ich forma ujawnia, że, leżąc poza zasięgiem wyraźnej formy osuwiskowej, biegną one niemniej wzdłuż łukowatych pęknięć zbocza, związanych z ruchem osuwiskowym. Południowa część osuwiska, położona przy niższej części doliny, jest wydłużonym wałem, częściowo może typu i pochodzenia tarasowego, ciągnącym się wzdłuż zbocza i oddzielonym od niego rynną równoległą do dna doliny. Do rynny tej uchodzą boczne wąwozy ze „zdrowego” stoku, tj. nie naruszonego przez osuwisko.

W otoczeniu wyższej części osuwiska znajdują się wychodnie skał piętra karniowickiego w bardzo różnych sytuacjach, odmiennych od normalnego stratygraficznego następstwa tych kompleksów. Biorąc pod uwagę z jednej strony słaby stopień odkrycia tych warstw (przeważnie chodzi tu o zwietrzelinę i poszczególne bloki tkwiące w zboczach), z drugiej zaś strony obecność osuwiska, nie można zbyt dużej wagi przywiązywać do analizy rozmieszczenia tych skał. Niemniej staram się niżej ją przeprowadzić (p. tabl. II, przekrój 2) po szczegółowym skartowaniu tego

terenu, gdzie starałem się odróżnić partie wyraźnie osunięte i stoł „zdrowy“.

We wspomnianym łukowatym wąwozie, towarzyszącym osuwisku od strony górnej części doliny, mamy następującą kolejność wystąpień od góry do dołu: zlepniec myślachowicki, wapień karniowicki, żwiry arko-

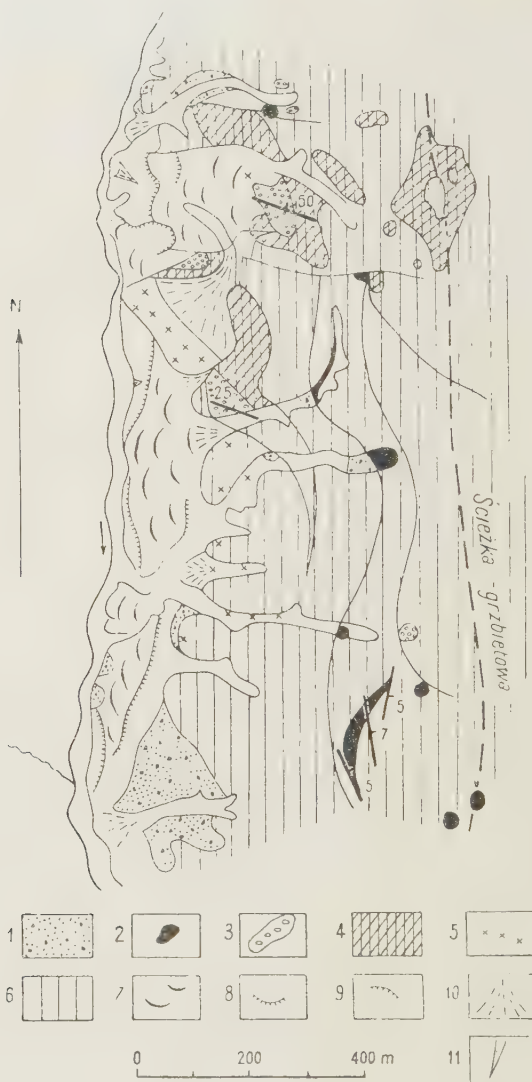


Fig. 7

Zdjęcie geologiczne osuwiska na lewym zboczu jarów dulowskich
 1 arkoza kwaczalska, 2 wapień karniowicki, 3 zlepniec myślachowicki, 4 tuf porfirowy, 5 rumosz lokalny, 6 less, 7 masy osuwiskowe, 8 krawędzie tarasów, 9 skarpy, 10 stożki napływowe, 11 linie interpretacyjne dla tabl. I, fig. 1

zy. Jest to normalne następstwo warstw piętra karniowickiego. Łączę je w górę doliny normalnie z opisanym poprzednio jarkiem wzdłuż zakrytego 200-metrowego odcinka zbocza. Zaraz o 25 m w lewo (ku południowi) od tego wawozu stok pokryty jest zwietrzeliną tufu, która schodzi o ok. 5 m niżej, niż spąg zlepieńca w wawozie. Prowadzę tu uskok równoleżnikowy, zrzucający część południową, zajmującą obszar i otoczenie osuwiska. W terenie tym wychodnie skał piętra karniowickiego dzielę na serie: górną i dolną, gdyż w wychodniach ich normalne następstwo powtarza się przynajmniej dwa razy.

W serii górnej dalszy ciąg wspomnianego wyżej płata tufowego z prawego boku osuwiska widzę w wyższej części skarpy jego niszy i powyżej niszy w zboczu równoległego do niej obniżenia (rozszerzona stara szczelina osuwiskowa?) oraz na płaskowyżu za tym obniżeniem. Tuf ten byłby podesłany zlepieńcem, którego bloki tkwią w dolnej części skarpy niszy wykazując jakby upad ku NE pod kątem 40° z tym, że w tejże skarpie zwietrzelina tufowa schodzi na południe od bloków zlepieńca miejscami do położenia niższego niż zlepieniec. Zaraz na południe od południowego końca tej niszy przechodzi uskok podnosząc część południową o ok. 10 m. Za nim zlepieniec najwidoczniej chwilowo zanika, albowiem w górnej części łukowatego wawozu, towarzyszącej wyższej części osuwiska, od strony dolnej części doliny, tkwią już bloki wapienia karniowickiego. Poniżej ich mamy w tym wawozie kwarce arkozy. Powyżej tych bloków, w najwyższej części wawozu i w jego przedłużeniu na odcinku ok. 70 m nie widać nic, ale po tych 70 m widać znów tkwiące w zboczu u dołu wapienie karniowickie, bezpośrednio zaś nad nimi tufy, które już można łączyć z tufami na płaskowyżu. Mielibyśmy tu więc serię wyższą z wyciśniętym zlepieńcem myślachowickim. Arkożę z tego profilu można by ekstrapolować ku północy na teren osuwiska, jako najniższy człon serii wyższej. Potem ku południowi stosunkowo dobre wystąpienia wapienia karniowickiego znajdują się u szczytu najwyższego z wawozów uchodzących do rynny, towarzyszącej niższej części osuwiska. Wychodnie te, występujące w prostym przedłużeniu wychodni tego wapienia z wawozu łukowatego, znajdują się na wysokości 390 m. Potem o 250 m dalej ku południowi zaczyna się seria wystąpień bloków wapienia karniowickiego i wreszcie mamy jego strefę odkrywkową długości 150 m, wyciągniętą z NNE ku SSW na wysokości 380 m n.p.m., gdzie widać 5-stopniowe upady, skierowane koncentrycznie począwszy od NNE końca odkrywek ku ESE, E, ENE. Odkrywki te i tkwiące w płaskowyżu bloki wapienia karniowickiego w odległości 150 m ku SE od ich południowego końca wyznaczają skrajne południowe jego wystąpienie w płycie karniowickiej. Dalej ku południowi grzbiet opada, pojawiają się odsłonięcia ar-

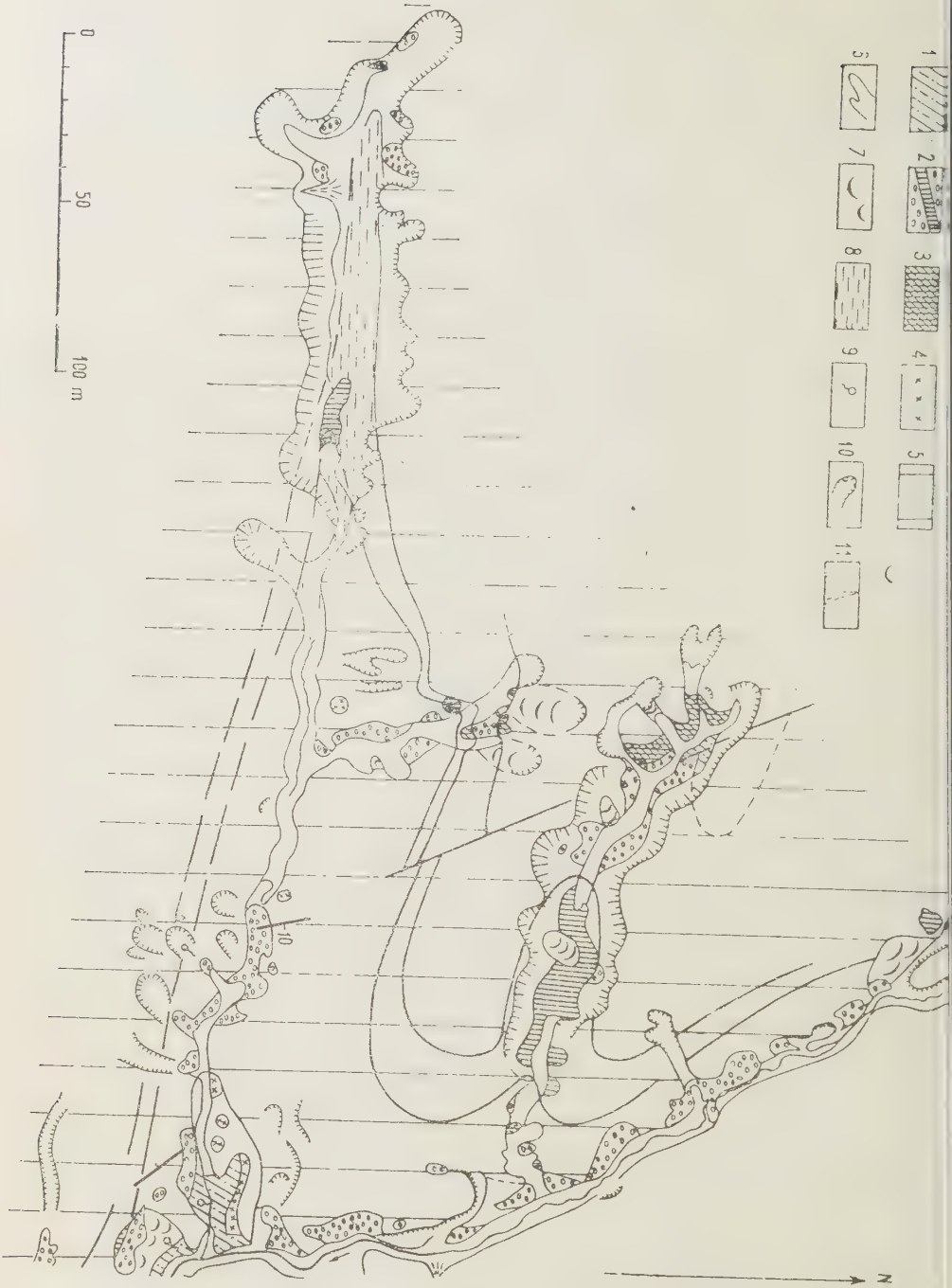


Fig. 8

(Objasnienie obok)

kozy kwaczalskiej i przez opisany już rejon obu szybików (por. wyżej str. 25-26) dochodzimy do północnego brzegu węzła dulowskiego.

Odsłonięcia wapienia karniowickiego w tej części południowej przykrywa zlepieniec, którego eluwium mamy na płaskowyżu o 100 m ku NE od północnego końca wskazanych odkrywek.

Druga, niższa seria utworów piętra karniowickiego odsłania się we wspomnianym osuwisku o ok. 10 - 20 m niżej od opisanego ciągu wychodni serii wyższej. Przede wszystkim w lewej skarpie odmłodzonej partii osuwiskowej, położonej najwyżej w górę doliny na odcinku długości ok. 100 m, skierowanym ENE - WSW. mamy eluwium tufu, w środku zaś. u dołu skarpy — bloki zlepieńca myślachowickiego z niewyraźnym upadem ku S pod kątem 25^0 . Wygląda to jakby zlepieniec był otulony tufem z trzech stron: od SSW, SSE i ENE. Od tego miejsca ku południowi, na odcinku 150 m, na zboczu nad płatem osuwiskowym ciągnie się wyraźna strefa eluwium tufowego. szerokości 100 m. Na jej południowym końcu, na prawym zboczu lewego z opisanych dwu łukowatych jarów, tkwią bloki zlepieńca myślachowickiego z niewyraźnie zaznaczającym się upadem ku NNE pod kątem 25^0 , a więc upadem skierowanym pod ten tuf.

Gdyby nie słaba wyrazistość odsłonieć i nie warunki osuwiskowe można by z całości rozpatrzonych tu stosunków tego terenu osuwiskowego wnioskować o występowaniu w nim podwójnej serii piętra karniowickiego, powtórzonej tektonicznie. jakby w nasunięciu skierowanym ku południowi.

Styl taki nie pozostawałby w sprzeczności z całością tektoniki obszaru objętego obecną pracą (por. niżej str. 38, 39). Przedstawione fakty są jednak zbyt niepewne. jeśli idzie o występowanie na miejscu wskazanych wychodni, żeby opierać się na nich jako na argumentach wzmacniających przyjętą koncepcję. Rejestruję je tylko z obowiązku geologa w tym znaczeniu wnoszę na tabl. II, przekrój 2.

Również niejasny jest obraz budowy geologicznej elementu wschodniego płyty karniowickiej w zlewniach obu dolin Charchołów, w obszarze silnie zasłoniętym lessem. Mapę odkrytą tego terenu (tabl. I, fig. 1) opracowałem interpolując granice między odkrywkami (fig. 8), nie mogąc śledzić ich w eluviach, jak to czyniłem w rejonie zachodnim. Zdjęcie tego terenu dołączam do ogólnego zestawienia tylko dla uzupełnienia od wschodu interpretacji obrazu tektoniki płyty karniowickiej.

Fig. 8

Fragment szczegółowego zdjęcia geologicznego prawej strony Charchołów Wschodnich: 1 - ilasty węgiel (seria ilasta karbonu?), 2 - zlepieniec myślachowicki z wkładką tufu tufowego, 3 - tuf porfirowy, 4 - rumosz lokalny, 5 - less, 6 - dno aluwialne, 7 - osuwiska, 8 - mokradła, 9 - źródła, 10 - skarpy, 11 - stożki aluwialne, 12 - linie interpretacyjne dla tabl. I, fig. 1

Na prawo od górnej części doliny Charchołów zachodnich widzimy tu uskoki NNE - SSW, zrzucający część wschodnią o ok. 20 m. W części tej nie ma już wapienia karniowickiego. Zlepieniec myślachowicki leży na arkozie mając u spodu wapienno-kwarcowy kompleks zlepieńcowy grubości do 10 m. Tu zaczyna się element wschodni płyty karniowickiej. Płyta ta jest tu utworzona ze zlepieńca myślachowickiego. Jest ona pochylona koncentrycznie ku N (fig. 2). Na dziale wód między Charchołami wschodnimi i Filipowicami zlepieniec myślachowicki tej płyty wyraźnie dochodzi do wychodni jury brzegu rowu krzeszowickiego⁹, gdy tymczasem na dziale wód obu Charchołów płyta jest od nich oddzielona obniżeniem grzbietu, które najprawdopodobniej odpowiada wychodniom arkozy kwaczalskiej. Na lewym zboczu Charchołów wschodnich pod zlepieńcem widać jeszcze żwiry arkozy, ale w samym ich dnie mamy pod zlepieńcem czerwone ily, odpowiadające, być może, kompleksowi ilastemu (karbońskiemu?) z szybików dulowskich¹⁰.

W zlepieńcu opisywanej płyty przebiega po obu stokach doliny Charchołów wschodnich znana nam już wkładka iłów tufowych dając wyraźnie poziomy źródłowe (fig. 8). Strop zlepieńca zaznaczony jest przede wszystkim na prawo od Charchołów wschodnich przez płat tufowy, przecięty na swym wschodnim brzegu uskokiem o biegu NNW-SSE, który podnosi część wschodnią o 2,50 m (według własnej niwelacji klizimetrowej). Prawdopodobnie także od północy płat ten jest zerwany na uskoku podnoszącym część północną lub na nasunięciu, chociaż nie widać tego bezpośrednio w terenie (por. zagadnienie osuwiska w jarze dulowskim, str. 31-34). Zwarta granica południowa tufowego nadkładu zlepieńca myślachowickiego przebiega na działach wód obu Charchołów i na dziale wód Charchoły wschodnie - Filipowice w odległości 900-800 m ku N od wychodni malmu na północnej krawędzi rowu krzeszowickiego. Granica ta dość dobrze wyznaczona drobnymi wystąpieniami tufów w drogach polnych, ujawnia na obu grzbietach łuki, ku południowi dziwnie mało wypukłe, jak na intersekcję płaskiej pokrywy. Możliwe jest, że mamy tu silniejsze pochylenie warstw ku N, nie dające się zaobserwować bezpośrednio. Ciekawe jest występowanie wapienia karniowickiego przy tej granicy po obu stronach doliny Charchołów wschodnich (miejsca znane St. Zaręcznemu, 13), w położeniu hipsometrycznym wyższym niż wychodnie zlepieńca myślachowickiego, tuż pod wychodniami tufu, zatem w nienor-

⁹ O ok. 120 m od wychodni malmu zlepieniec jest przecięty uskokiem o biegu NW-SE, zrzucającym część północną o ok. 5 m.

¹⁰ Po drugiej stronie działu wód w prawym zboczu doliny Filipowic, według informacji otrzymanych od prof. Doktorowicza-Hrebnickiego, pod zlepieńcem myślachowickim opisywanej płyty leży kilkumetrowa warstwa czerwonych iłów, a pod nią w wyraźnej niezgodności — piaskowiec karboński.

malnej pozycji stratygraficznej. Czy znowu mamy tu do czynienia z możliwością występowania strzępów na liniach i powierzchniach zluźnień lub nasunięć?

Drobny uskok o kierunku NNE-SSW, zrzucający tę granicę po wschodniej stronie przy jej przejściu przez dolinę Charchołów wschodnich, miałby charakter nożycowy, gdyż odwrotnie zdaje się podnosić po stronie wschodniej wkładkę ilu tufowego w zlepieńcu myślachowickim.

W całości tektonikę kompleksu płyty karniowickiej cechuje „niepokój strukturalny” z undulacjami i drobnymi uskokami, dość chaotycznie rozrzuconymi. Ważny jest ogólny bieg całej tej budowy ku ESE, *niezgodny* w stosunku do równoleżnikowego północnego brzegu rowu krzeszowickiego na linii Filipowice-Charchoły zachodnie, *zgodny* zaś z orientacją strefy brzeżnej Dulowa-Młoszowa (i dalej przez Trzebinę). W płycie karniowickiej uskoki jej pn.-zachodniej części, obniżonej i wgętej, mogą należeć do systemu dyslokacji Młoszowa-Karniowice jako zjawiska wtórne. Sama pozioma struktura wyżynki karniowickiej oddzielona jest z jednej strony dyslokacjami od północnej, wklęsniętej części płyty karniowickiej w elemencie zachodnim, z drugiej zaś strony — wyodrębnia się ona zmianą stylu od elementów środkowego i wschodniego. Leżąc przy tym na wschodnim przedłużeniu zrębu Piarczykowej Góry w zgodnych z nim warunkach hipsometrycznych (fig. 2) jest raczej również jego *bezpośrednim strukturalnym przedłużeniem*. Opisyaliśmy ją w zespole form płyty karniowickiej tylko z powodu morfologicznego i facjalnego połączenia jej z tym zespołem przez ciągłość wychodni typowego przewodniego wapienia karniowickiego.

4. Zrąb Piarczykowej Góry (tabl. II, przekroje 8, 11, 12)

Ta wielokrotnie już wspomniana forma tektoniczna wyodrębnia się wśród struktury północnej swoją spokojną budową. Od północy obcina ją dyslokacja Młoszowa-Karniowice, od południa zaś granicą jej jest północny brzeg zgniecionej strefy brzeżnej. Obie te granice zbliżają się wzajemnie na zachodzie w Młoszowej. Od wschodu zrąb Piarczykowej Góry nie ma ostrej granicy; tylko rozcięcie erozyjne doliny Dulówki w Karniowicach oddziela go z tej strony od odmiennej strukturalnie północnej (obniżonej, wgętej i zdyslokowanej) części płyty karniowickiej oraz od zgodnej z nim strukturalnie i tylko odrębnej facjalnie (obecność wapienia karniowickiego) południowej części tej płyty — wyżynki karniowickiej.

W ten sposób ograniczony zrąb Piarczykowej Góry jest jednolity morfologicznie, facjalnie i strukturalnie tworząc Piarczykową Górę oraz kotę 405. Podstawę tworzy tu seria karbońska, nawiercona w dolinie mło-

szowskiej pod „permem” (arkozą) w głębokości 111 m. w odległości 350 m w dół doliny od jej przecięcia z dyslokacją Młoszowa-Karniowice. Uwzględniając te dane mielibyśmy w omawianym zrębie nad erozyjną powierzchnią środkowego karbonu ok. 170 m stefañskiej (5) arkozy kwaczalskiej. Powyżej przychodzi 50 m zlepieńca myślachowickiego, tworzącego płaskowyż Piarczykowej Góry, bez zachowanego stropu. Dolny 10-metrowy pokład tego zlepieńca, na wschodnim i zachodnim zboczu Piarczykowej Góry, utworzony jest ze zlepieńca wapienno-kwarcowego. W jarach wschodniego zbocza Piarczykowej Góry, przy zachowanej ostrości stropu arkozy kwaczalskiej, widać wyraźnie w tym przejściowym pokładzie granicznym wzrost ilości elementów wapiennych na niekorzyść kwarcowych w kierunku stropu. Możliwe jest, że również i na południowym zboczu Piarczykowej Góry, zakrytym lessem, mamy wychodnie tego mieszanego zlepieńca. Brak go jest natomiast w północnych częściach zbocza zachodniego i wschodniego, przy dyslokacji, gdzie odsłania się spągowa granica zlepieńca myślachowickiego bez kompleksu przejściowego. Cały zrąb ma łagodne (2-3°) jednolite pochylenie ku NNE z najwyższą pozycją stropu arkozy nad szczytem koty 405, najniższą zaś (370 m) przy dyslokacji Młoszowa-Karniowice na wschodnim zboczu Piarczykowej Góry. Pozycja hipsometryczna wyżynki karniowickiej — 380 m — dobrze odpowiada przebiegającemu mniej więcej na takimże poziomie spągowi zlepieńca myślachowickiego na wschodnim zboczu Piarczykowej Góry, i prawdopodobnie, jak wyżej powiedziałem, stanowi ona jego wschodnie przedłużenie strukturalne.

Zrąb Piarczykowej Góry, pochylony łagodnie ku NNE, jest w swej budowie, jak wszystkie omówione w tej pracy zespoły strukturalne, niezgodny w stosunku do równoleżnikowego przebiegu północnego brzegu rowu krzeszowickiego. Jest on również niezgodny z przebiegiem dyslokacji Młoszowa-Karniowice; lepiej zgadza się on natomiast z kierunkiem strefy brzeżnej i z koncentrycznym charakterem zanurzania się ku NNE towarzyszącej mu części struktury północnej.

PODSUMOWANIE I WNIOSKI

W toku szczegółowej korelacji obserwowanych faktów, przeprowadzonej w rozdziale poprzednim, uwydatniły się, moim zdaniem, zasadnicze cechy tektoniki pasa terenu, przebiegającego między Dułą a Sierszą. Dwie powierzchniowe formy nadkładu karbońskiego przeciwstawiają się tu nawzajem: *struktura północna* i *strefa brzeżna*.

Struktura północna, złożona z utworów piętra karniowickiego i triasu, tworzy pd.-zachodni łukowaty brzeg płyty wgiętej koncentrycznie ku

NNE. Popękana różnorodnie przebiegającymi uskokami o amplitudzie małej (poza walną dyslokacją Młoszowa-Karniowice) oraz lekko zondulowana w różnych kierunkach budowa tej struktury robi w szczegółach wrażenie rozmaitego reagowania nadkładu na nierówności podłoża karbońskiego (por. niżej str. 41). Struktura ta da się podzielić dyslokacją Młoszowa-Karniowice i na podstawie zmiennego stylu budowy na trzy części, z których środkowa — zrąb Piarczykowej Góry — sterczy jako część zachowana w wysokim położeniu (fig. 2). W obu skrajnych częściach zarysowują się nasunięcia ku zewnętrznej stronie łuku: nasunięcie na jurę strefy brzeżnej pod Bozną Górą, ku SW, i problematyczne nasunięcie ku S w obrębie utworów piętra karniowickiego w płycie karniowickiej.

Strefa brzeżna towarzyszy strukturze północnej od południowego zachodu ciągnąc się na ogół z ESE na WNW. Jest to strefa antyklinalna, utworzona z utworów piętra karniowickiego, triasu i jury. Na długiej przestrzeni pomiędzy Dulową i Młoszową widać z niej tylko skrzydło pd.-zachodnie, w którym mamy wyciśnięcia warstw, powodujące luki profilu, i nasunięcie ku NNE jury na trias. Ku ESE monoklina ta łączy się z węzłem dulowskim, złożonym ze stosunkowo pełnej serii stratygraficznej, ujętej w trzy elementy antyklinalne. Jeden z nich biegnie ku SE jako szybko zanurzająca się główna część strefy brzeżnej; dwa inne, wyciągnięte ku zachodowi z odchyleniem ku południowi, zanurzają się szybko w tamtą stronę i prawdopodobnie znikają wzdłuż równoleżnikowego, północnego brzegu rowu krzeszowickiego. Północno-wschodnia granica strefy brzeżnej jest w węźle dulowskim dobrze wyznaczona nieciągłością północnego brzegu wychodni utworów węzła i na północ od tej nieciągłości — linią źródeł w obrębie arkozy kwaczalskiej. Obie te linie zdają się powstawać na wschodzie z zachodniego zakończenia północnego brzegu rowu krzeszowickiego, z tym, że bardziej północna z nich odgina się w stronę NW od jego równoleżnikowego kierunku, a dalej ku zachodowi robi to i południowa. W ich przedłużeniu w Młoszowej dwa strzępy tułów wśród żwirów arkozy mogą również być śladem wyciśniętego NE skrzydła strefy brzeżnej, zanurzającej się tam ku NW, co wynika ze stykania się obu jej skrzydeł. W ogólnym stylu budowy strefy brzeżnej widać skierowanie w niej nacisku i ruchu z SSW ku NNE, a więc *naprzeciw nasunięć struktury północnej*, w którą jakby wciska się strefa brzeżna.

Struktura północna, zapadając ku NNE, swoimi żwirami arkozy leży niezgodnie na erozyjnej powierzchni westfalu, który zapada ku SW (14). Widać to na pewno na obszarze Myślachowic, a prawdopodobnie występuje to też w byłej kopalni glinki w Dulowej. Natomiast dobrze rozwinięte pd.-zachodnie skrzydło strefy brzeżnej zapada ku SW na ogół zgodnie z tym karbonem (pominąwszy możliwe różnice wielkości upadów).

Wciskanie się tej strefy w strukturę północną ku NE następuje *w górę* *z* *upadzie* *warstw* *karbonu*. W strukturze karbonu nie ma więc odpowiednika dużej synkliny nadkładu — struktury północnej, lecz jest pod nią tylko wklęsła poasturyjska *forma erozyjna*. Wskutek tego nie ma w karbonie formy antyklinalnej, która by odpowiadała formie antyklinalnej mającej na powierzchni łączyć zapadające ku SW południowe skrzydła strefy brzeżnej z zapadającą ku NNE serią struktury północnej. Formy takiej nie ma jednak także i w nadkładzie. Jest tam natomiast zamiast niej antyklinalna partia osiowa strefy brzeżnej, która z jednej strony sama wciska się w strukturę północną, z drugiej jednak strony ta struktura zdaje się na strefę brzeżną nasuwać. Odnosimy wrażenie, że właśnie ta strefa antyklinalna jest owym brakującym przegubem w nadkładzie zgarniętym w osobną antyklinę przez nasuwający się ku SSW pd.-zachodni brzeg płytowej synklinalnej struktury północnej. Zgarnięcie to następuje mniej więcej nad tą krawędzią poasturyjskiej powierzchni karbonu, która dzieli jej obsekwentny stok, opadający ku NE, od jej stoku pd.-zachodniego, konsekwentnego. Wynikałaby z tego konieczność przyjęcia:

- a) odbijania się erozyjnej wklęsłości poasturyjskiej powierzchni karbonu w tektonicznej wklęsłej formie struktury północnej i
- b) zluźniania się powierzchniowej struktury północnej w stosunku do karbonu i nasuwania się jej ku SSW ze zgarnianiem strefy brzeżnej w osobną antyklinę, nasuwania wspomaganego przez najeżdżanie częściowo zluźnionego nadkładu idącego naprzeciw od SSW.

Komplikacje te nie zdają się zaznaczać bezpośrednio w budowie utworów karbońskich, co właśnie może być tłumaczone zluźnieniem nadkładu. Natomiast w budowie karbonu odbija się walna dyslokacja młodszowska (tabl. I, fig. 1; 14). Jest ona przy tym młodsza od ruchów, które doprowadziły do przedstawionych wyżej nasunięć i sfałdowań, gdyż ścina zarówno strukturę północną, jak i wchodzi niezgodnie w strefę brzeżną. Z drugiej strony jest ona równoległa do równoleżnikowych linii granicznych rowu krzeszowickiego. Uważam więc, że ten młodszy pokredowy system dyslokacyjny został nałożony niezgodnie na starszą, chyba też pokredową, płynną tektonikę nasunięć i zluźnień krajając jej struktury aż do podłoża karbońskiego. Lokalnie mógł on ją też modyfikować, co widać w równoleżnikowym wyciągnięciu dwu wschodnich elementów węzła dulowskiego w miejscu wygasania zachodniego odcinka północnego uskoku rowu krzeszowickiego i w zmianie kąta nachylenia struktury północnej po obu stronach dyslokacji Młoszowa - Karniowice.

INTERPRETACJA

(Fig. 9)

Wnioski, do których doszedłem opracowując tektonikę obszaru położonego między Dulową i Sierszą, staram się ująć na tle całości budowy geologicznej obszaru chrzanowsko-krzeszowickiego, jako lokalny wynik regionalnego nakładania się fazy tektoniki uskokowej na poprzednią fazę ruchów fałdujących i nasuwających, przy współdziałaniu dużych wgłębnych form paleomorfologicznych z płytką tektoniką.

Uważam, że utwory piętra karniowickiego swoją spągową arkożą kwaczalską osadzały się niezgodnie na wyerodowanej powierzchni poasturyjskiej, przy tym na północ od linii Myślachowice-Młoszowa wypełniały one i wyrównywały wklęsłą formę erozyjną (fig. 9, IV)¹¹. Była to prawdopodobnie szeroka forma subsekwentna, której północnym brzegiem mógłby być pogrzebany grzbiet dewonu, wychodzący na powierzchnię w Kluczach (fig. 9, Va). Devon zapada tam ku SW i może tworzyć podłoże monokliny dewońsko-karbońskiej, zakończonej w górze warstwami łęgowymi Sierszy. Na południe od linii Myślachowice-Dulowa piętro karniowickie kładło się na erozyjną powierzchnię karbonu (wyrównaną lub wklęsłą) ponad wilkoszyńską synkliną karbonu o biegu NW-SE, zakręcającą następnie ku SSE w łęk Nieporaz-Brodła (fig. 9, VI; 2, 4).

Forma erozyjna, towarzysząca synklinie Wilkoszyn-Brodła od NE i zbiegająca SW skrzydło antykliny ograniczającej ją od tej strony, zamykałaby się ku SE w rejonie lewego brzegu doliny Filipowic na południe od Kowalskiej Góry. Tam bowiem wynurza się spod niezgodnej pokrywy nadkładu karbon filipowicki (warstwy brzeżne) pn.-wschodniego skrzydła synkliny Wilkoszyn-Brodła. Jego związek ku E i NE z antykliną dewońską Dębника (fig. 9, Vb), odpowiednikiem bezpośrednim lub pośrednim (kulisy) odsłonięć dewonu w Kluczach, jakkolwiek skomplikowany, widoczny jest na powierzchni¹² (4, 5). Te same stosunki ciągnęłyby się dalej na południe między synkliną Nieporaz-Brodła i towarzyszyły jej od E jako wyniesienie antyklinale Tęczynka (fig. 9, Vb).

W czasie ruchów późnokimeryjskich nastąpiło dostosowanie młodszej tektoniki do starszych założeń zarówno tektonicznych, jak i paleomorfologicznych. Nadkład w synklinie Wilkoszyn-Brodła wgiął się nor-

¹¹ St. Siedlecki (7) udowadnia, że południowym stratygraficznym odpowiednikiem tufu porfirowego jest tuf melafirowy. Zwraca on uwagę, że tuf ten nagromadził się w predysponowanej tektonicznie wklęsłej formie południowego odcinka synkliny Wilkoszyn-Brodła (zmyty doń z brzeżnych pokryw wybuchowych). Zdaje mi się, że podobną rolę gra w stosunku do tufu porfirowego na północy opisywana wielka wklęsła forma erozyjna poasturyjska.

¹² Rozpoznany pracami prof. St. Doktorowicza-Hrebnickiego.

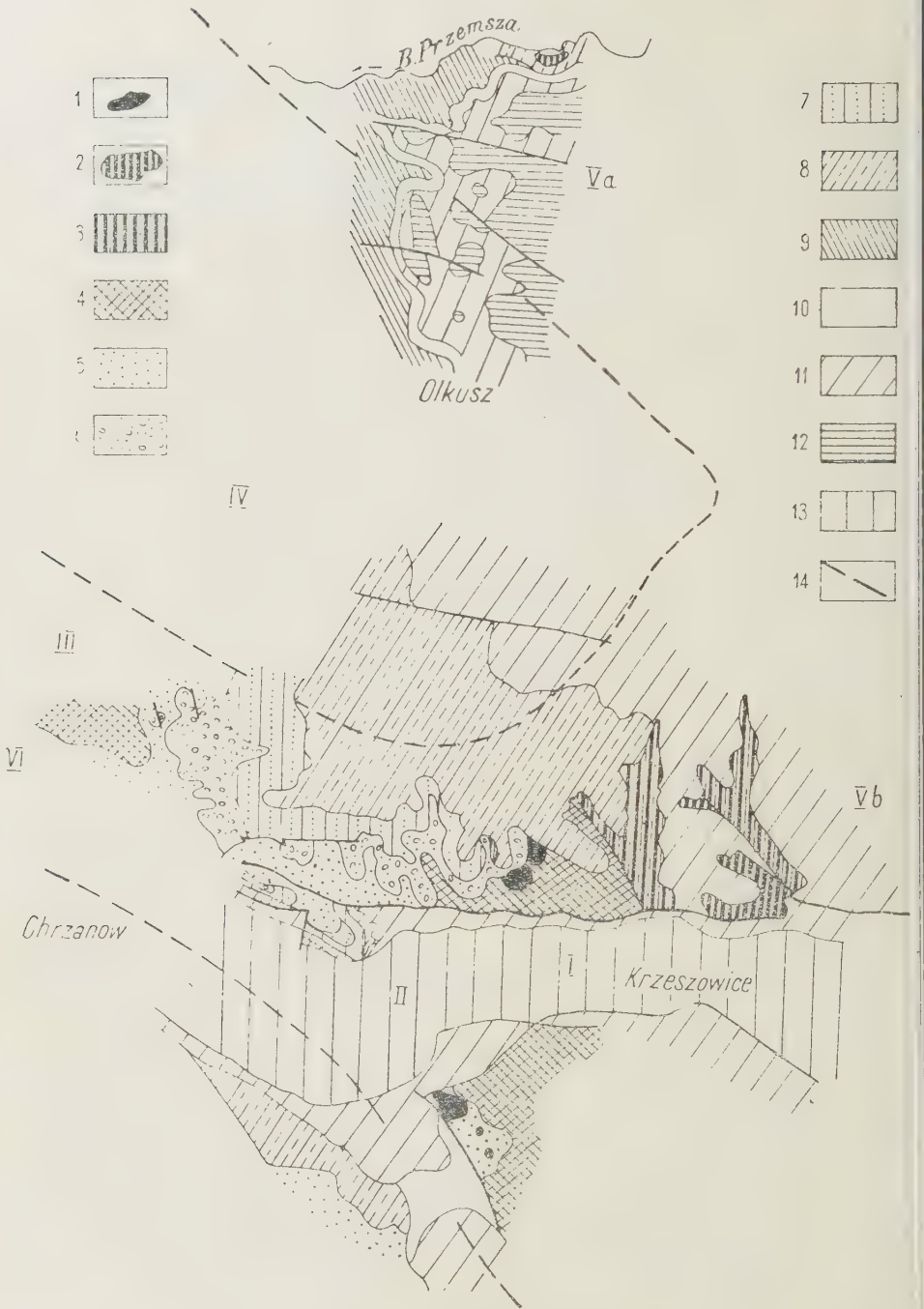


Fig. 9

(Objaśnienie oboj

malnie jako synklina. Również jednak synklynalnie wgiął się on we wklęsłej, zwierającej się paleomorfologicznej formie na przekroju Trzebinia-Klucze. Sztynny nadkład (zlepienieć myślachowicki, wapienie i dolomity triasu, wapienie białej jury), trzymany na północy wysadem (lub linią wysadów) dewońskim, wysuwał się przy tym ku południowi poza obręb swojej pierwotnej sedymentacji dając nasunięcia ku południowi. Żwirry arkozy kwaczalskiej mogły tu działać jako swego rodzaju „łożyska kulkowe“ dla tego ruchu zluźniającego. W synklinie Wilkoszyn-Brodła nadkład fałdował się synklynalnie w zasadzie zgodnie z karbonem. Również jednak i tu wskutek swej dużej sztywności wysunął się on nieco ku NNE na powierzchniach nasunięć. Jedno z nich widzimy w Młoszowej. Nastąpiły tu również wyciskania warstw. Oba ruchy zluźniające i nasuwające, skierowane przeciwnie ku sobie, spotkały się w strefie brzeżnej dając jej skomplikowaną budowę *pseudoantyklinalną* (fig. 9, II).

Wyładowaniem tych napięć tektonicznych w naszej strefie brzeżnej tłumaczą brak ich na południe od osi synkliny Wilkoszyn-Brodła na terenie badanym przez St. Siedleckiego (6), gdzie mamy zupełną zgodność tektoniki nadkładu i karbonu.

Skomplikowana strefa brzeżna wykańczała się (zanurzając) ku SSE wzdłuż synkliny Wilkoszyn-Nieporaz nie dochodząc do okolic Rudna. W tym bowiem kierunku zamykała się również poasturyjska forma wklęsła paleomorfologiczna (fig. 9, IV), z którą związane byłoby genetycznie istnienie naszej antykliny. Tam normalna, ogólnie biorąc, antyklina (Dębniak-Tęczynek) wynurza się na powierzchnię i zbliża się bezpośrednio do synkliny Wilkoszyn-Brodła. Tam także zanika w nadkładzie piętro karniowickie i trias, a cienka jura środkowa transgreduje bezpośrednio na paleozoiku, co stwarza sztywne związanie nadkładu z podłożem.

Fig. 9

złuk geologiczny nadkładu pomiędzy rowem krzeszowickim i Białą Przemszą według prac J. Jarosza, St. Doktorowicz-Hrebnickiego, St. Zb. Różyckiego, St. Zaręcznego i własnych)

1 paleozoiczne skały wybuchowe, 2 dewon, 3 wapień węglowy, 4 karbon produktywny, 5 arkoza kwaczalska (na S od rowu krzeszowickiego również zlepienieć myślachowicki i tuf porfirowy), 6 zlepienieć myślachowicki i wapień karniowicki, 7 tufy porfirowe, 8 trias (na N od Olkusza bez kajpru), 9 kajper (tylko na N od Olkusza), 10 baton, kelowej i margle kordatowe, 11 malm (na N od Olkusza tylko oksford górny), 12 raurek (tylko na N od Olkusza), 13 czwartorzęd i trzeciorzęd rowu krzeszowickiego, 14 dyslokacje

I row krzeszowicki, II strefa brzeżna, III struktura północna, IV przypuszczalna cienka poasturyjska forma erozyjna, V asturyjskie formy antyklinalne: a) pogrzebane, b) odsłonięte, VI synklina Wilkoszyn-Brodła

Na taki późnokimeryjski obraz nakłada się następnie nowsza tektonika uskokowa, według Dżułyńskiego w dwu fazach (1). Kraje ona niezbadanym obszarze niezgodnie starszą budowę i modyfikuje ją nieco. Oprócz przystosowania obu elementów węzła dulowskiego do kierunku W-E mogła ona również spowodować nagłe osiowe zanurzenie się strefy brzeżnej ku SSE, ku centrum rowu krzeszowickiego w głównym południowym elemencie węzła dulowskiego.

Dno rowu krzeszowickiego zaciera zupełnie tę budowę. Podobnie wykryte na południe od rowu na osi Nieporaz-Brodla przez St. Dżułyńskiego uskoki starszej serii (Orlej) maskowałyby zupełnie wschodnie skrzydło tej dawnej niecki przekształcając ją w niesymetryczny rów (1).

W rozwoju geologicznym nowy styl nastąpił po drugim i przekształcił go. Zachowane resztki świadczą jednak o możliwościach różnorodnego reagowania budowy jednego i tego samego regionu geologicznego na różnorodne napięcia tektoniczne, zależnie od miejsca, czasu i rozwoju poprzedniego.

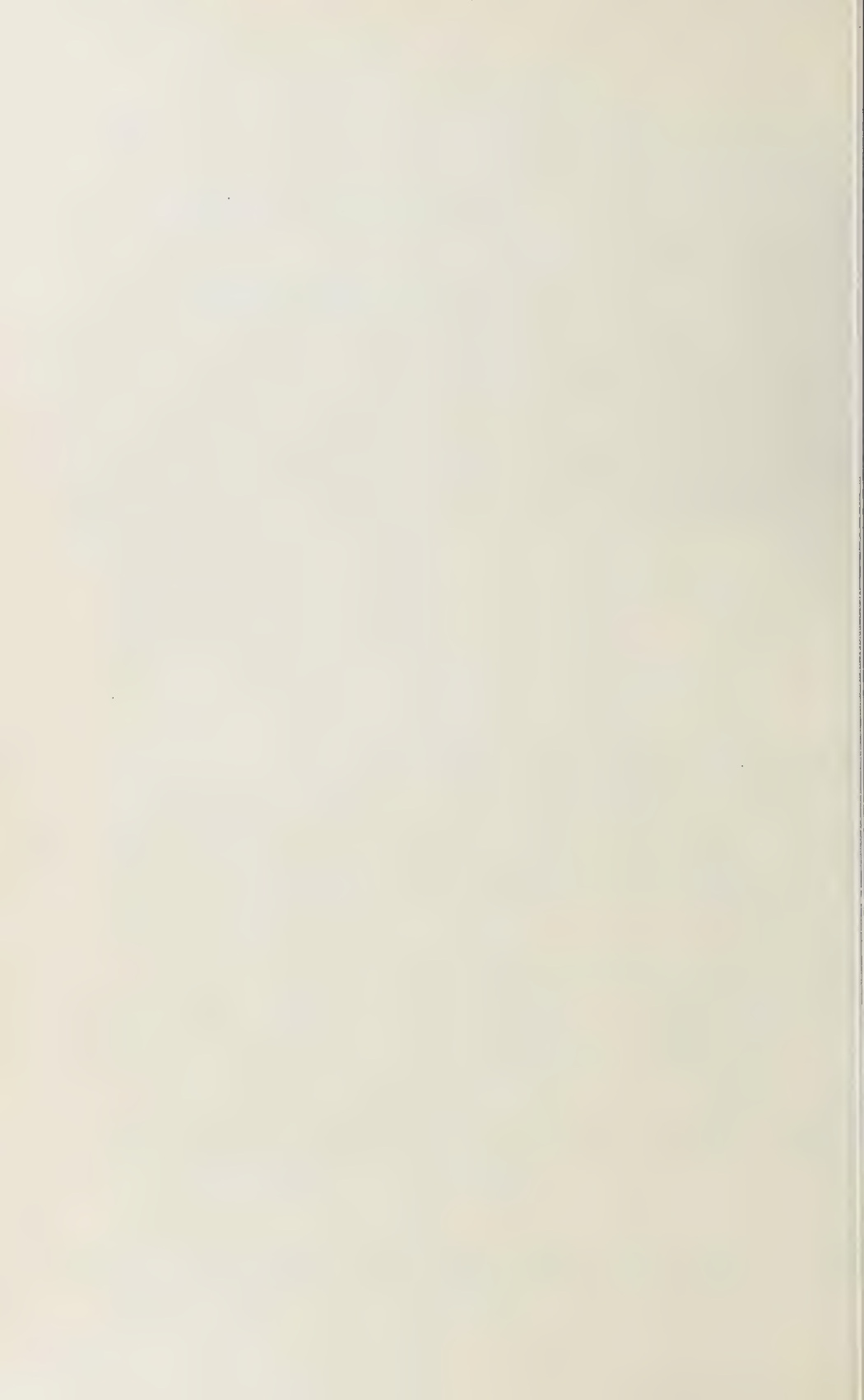
*Z Katedry Geologii Żłóż Ropy i Gazu
Akademii Górniczo-Hutniczej w Krakowie
Kraków, w październiku 1954 r.*

LITERATURA CYTOWANA

1. DŻUŁYŃSKI ST. Tektonika pd. części Wyżyny Krakowskiej (Tectonics of the southern part of the Cracovian Upland). — *Acta Geol. Pol.*, vol. III/3. Warszawa 1953.
2. NOWAK J. Zarys tektoniki Polski (Esquisse de la tectonique de la Pologne). Zjazd Geogr. i Etnogr. Słow. Kraków 1927.
3. RACIBORSKI M. Permokarbońska flora karniowickiego wapienia (Über die permokarbon. Flora des Karniowicer Kalkes). — *Rozpr. Wydz. Mat.-Przyr.* Akad. Um., t. 21. Kraków 1890.
4. RUTKOWSKI F. O tektonice karbonu we wschodniej części okręgu dąbrowskiego (Sur la tectonique du Carbonifère dans la partie orientale du district de Dąbrowa, Bassin Houiller Polonais). — *Spraw. P. I. G.*, t. 3. Warszawa 1922.
5. SIEDLECKI ST. Utwory stefañskie i permskie we wschodniej części Polskiego Zagłębia Węglowego (Le Stéphanien et le Permien dans la partie orientale du Bassin Houiller Polonais). — *Acta Geol. Pol.*, vol. II/3. Warszawa 1951.
6. — Utwory geologiczne obszaru pomiędzy Chrzanowem i Kwaczałą. — *Blu.* P. I. G., 60. Warszawa 1952.
7. SIEDLECKI ST. i ŻABIŃSKI W. Tufit melafirowy i niższy pstry piaskowic w Alwerni (Melaphyre tuffite and Lower Bunter in Alwernia near Cracow.). — *Acta Geol. Pol.*, vol. III/3. Warszawa 1953.

¹³ Szereg interesujących szczegółów, związanych z tym młodym typem tektoniki, przedstawił ostatnio na seminarium Zakładu Kart. Geol. A. G. H. inż. K. Bogdan w wyniku własnych prac, opartych na intensywnej akcji szurfowej.

8. TOKARSKI A. Wychodnia skały bogatej w glinę w „Jarze Dulowskim” (Affleurement d’une roche riche en alumine dans le ravin de „Jar Dulowski”). — Biul. P. I. G., 17. Warszawa 1939.
 9. — Tectonics of the Overlier between Siersza and Dulowa (NE border of the Polish coal basin). — P. A. U. Wykaz prac mat.-przyr. wyk. w Polsce w latach 1939-1945 (notatka). Kraków 1947.
 10. — Sur la découverte des formes tectoniques nouvelles dans les Karpates polonaises. — C.-R. de la XIX-ème Session du Congrès Géol. Int. Alger 1953.
 11. — Wgłębna tektonika fliszu cieszyńskiego (Subsurface tectonics of the Cieszyn Flysch). — Acta Geol. Pol., vol. IV/3. Warszawa 1954.
 12. ZARĘCZNY ST. Über die Stratigraphie des Karniowicer Kalkes. — Jb. Dt. Geol. R.-A. Wien 1892.
 13. — Atlas geologiczny Galicji. Zesz. 3. — Kom. Fizjogr. Akad. Um. Kraków 1894
 14. ŻUKOWSKI WL. Występowanie kruszców ołowiu i cynku w nieckach triasowych wilkoszyńskiej i chrzanowskiej. — Przegl. Górn., t. V (XXXVI), Nr 1. Katowice 1949.
-





Fot. 1

Zbrekcjowany w wyniku wyciśnięcia tektonicznego wapień muszlowy SW skrzydła węzła dulowskiego, odsłaniający się w skarpie szosy w Dulowej



Fot. 2

Wstępujące źródło w żwirach arkozy kwaczalskiej na linii tektonicznej w Dulowej (X na tabl. I fig. 1) widziane od strony SW. Wstępująca kurzawka odrzuca na bok sieczkę roślinną i tworzy jasne kręgi o średnicach dochodzących do 1,5 m

Fot. J. Janik



Panorama wzgórza 366 w Dulowej od południa, od szosy. Widoczna jest intersekcja równoleżnikowego elementu „B”
 dulowskiego węzła. W jądrze jego odsłania się tuf tworząc spłaszczenie grzbietowej części wzgórza (1). W skrzydle po-
 ludniowym otula go wapień muszlowy (2) (z lewej), na wschodnim pograżeniu osi (w środku) w synklinie ograni-
 czającej ten element od południa (ostro zarysowane wzgórze z lewej strony). Na trzaskie leży malm (3) tworząc zwarty
 sfałdowany kompleks na wschodnim pograżeniu osi w lesie (na prawo). Południkowy jarek w środku wyznacza dysloka-
 cję poprzeczną

Fot. J. Janik



Widok ze szczytu wzgórza 366 w Dulowej, ku WSW, na przełom potoku Dulówka przez wężel dulowski. Na pierwszym planie mamy wychodzący ku zachodowi w powietrze wapien muszlowy czapy synkinalnej rozdzielającej elementy „B” i „C” wężla dulowskiego (1). Dalej aż do doliny łagodnie stałdowany stok utworzony jest z tufu. Linia (2) z prawej strony wyznacza granicę: tuf-wapien muszlowy w północnym skrzydle wężla. Za dolina, od prawej strony do środka płaski teren przedstawia jądrowy pas strefy brzeżnej, w którym wychodzą żwir arkozy kwaczalskiej. Zanurza się on osiowo ku SE wzdłuż doliny. Linia (3) wyznacza spagową granicę zlepieńca myślachowickiego pokrywającego żwir arkozy na miejscu zanurzenia się osiowego. Linia (4) określa przebieg wychodni spagowej granicy tufu nad zlepieńcem w SW skrzydle wężla dulowskiego. Trias, malm i jura tego skrzydła schowane są za grzbietem na stoku opadającym ku szosie wyznaczonej linią słupów telegraficznych. Oś podłużna elementu „A” wężla dulowskiego biegnie zanurzając się ku SE w lewo wzdłuż dna doliny. Na ostatnim planie z prawej strony pasma wzgórz na linii (5) przedstawia wychodnie jury i triasu w monoklinie dulowsko-młoszowskiej. Z lewej strony za obniżeniem synkinalnym (skrzyżowanie rowu krzeszowickiego z synkliną Wilkoszyn-Brodła) pokrytym lasem, na najdalszym planie widac we mgłę wyżynę wapienia muszlowego Płazy i Pogorzyc w SW skrzydle tej wklęsłej struktury

Fot. J. Janik



Odkrywka tufu porfirowego na zachodnim zboczu wzgórza 366 w Dulowej. Z lewej strony widać zapadanie warstw ku wschodowi. Z prawej strony warstwowanie to zaciera się w masie złożonej z „bomb” i „lapilli”. Dłuższą średnicą na-

Pochodzenie śladów wleczenia na tle teorii prądów zawieszinowych

WSTĘP: Wstęp -- Opis śladów wleczenia -- Inne hieroglify towarzyszące śladom wleczenia -- Stosunek hieroglifów do podścielających piaskowce łupków -- Typy strukturalne ławic z hieroglifami wleczeniowymi oraz geneza śladów wleczenia -- Światło teorii prądów zawieszinowych: uwagi wstępne; zlepianie i żwirowce ilaste. Piaskowce o warstwowaniu frakcyjnym; piaskowce jednorodne; piaskowce laminowane; ławice o warstwowaniu przekątnym -- Pseudohieroglify i hieroglify post-depozycyjne -- Literatura cytowana

WSTĘP

W pracy niniejszej zajmiemy się głównie pewnym typem hieroglifów mechanicznego pochodzenia, które w literaturze anglosaskiej noszą nazwę „groove casts”, a które nazywać będzie hieroglifami wleczeniowymi. Lbo wprost śladami wleczenia. Hieroglify te znane były od dawna, chociaż pisano o nich niewiele, a w polskiej literaturze wspomina o nich jedynie I. Książkiewicz (9)*. Bywały natomiast reprodukowane na zdjęciach, ilustrujących prace o tematyce fliszowej, najczęściej jednak bez komentarzy (np. w pracy R. Zuber, 21).

W nielicznych pracach, w których znajdują się wzmianki o tych hieroglifach, większość autorów zgadza się co do mechanicznego pochodzenia tych form¹.

T. Fuchs (4) opisuje również kształty prostolinijnych wałków, do opisu jednak nie dołącza zdjęcia. Sądząc po opisie i zamieszczonym przeobrażeniu ma on na myśli interesujące nas ślady wleczenia. Wymieniony autor przypuszcza, że powstały one podczas spływania piaszczystej „braji” po niegłębokim i zaścielającym dno. Clarke (1918, fide 19) upatrywał w tych hieroglifach ślady po dryftujących krach lodowych. R. Shrock (19), jako

* Liczby kursywą w nawiasach odsyłają do spisu literatury na końcu artykułu.

¹ W niedostępnej nam pracy Saporta z 1882 r. podobne formy, sądząc po wiedzy T. Fuchsa (4), były uważane za odciski roślin *Laminarites* i *Panescorsaea*, czego jednak sprawdzić nie możemy. Również u Götzingera i Beckera (5) na tabl. IX znajduje się obraz typowych śladów wleczenia z wyjaśnieniem, że są to przypuszczalne ślady ślimaków.

inną możliwość, podaje wleczenie przez fale przyptywu i odpływu kamieni, do których zakotwiczone były glony morskie. Na szczególną uwagę zasługuje wypowiedź wymienionego autora, którą zamieścił on przy opisie tych hieroglifów:

„The original grooves appear to have been made by simultaneous rectilinear advance of a squad of objects propelled by a current, but it must be admitted, that this suggestion is vague and indefinite“ (l. c., str. 163).

M. Książkiewicz (9) uważa, że formy te „być może powstały przez wleczenie po dnie przez prąd jakichś przedmiotów (kamieni, kawałków drewna, może korzeni“. l. c., str. 419) dając tym samym najbardziej prawdopodobne ich wyjaśnienie. Pozostało jednak nadal otwartym zagadnienie natury owych twardych przedmiotów. W ciągu lata 1954 r. udało się nam odnaleźć zakończenia omawianych hieroglifów, które pozwoliły wyjaśnić ich pochodzenie, a zachęceni przez prof. M. Książkiewicza podjęliśmy próbę odtworzenia warunków, w jakich powstały one w zbiorniku morza fliszowego.

OPIS ŚLADÓW WLECZENIA

Ślady wleczenia we fliszu karpackim występują na spągowej powierzchni ławic piaskowcowych najczęściej jako prostolinijne wałki lub listwy o znamionym rowkowaniu na powierzchni (pl. I, fot. 1). Te sułtelne pożłobienia, które niejednokrotnie biegną obok siebie prawie idealnie równolegle na długich odcinkach (nieraz wzdłuż całej długości śladu) to jeden z najistotniejszych rysów morfologicznych opisywanych śladów. Wskazują one na to, że przedmioty, które pozostawiły po sobie ślady, nie mogły być obtoczone i musiały posiadać nieprzytępione naroża, bądź ostre krawędzie.

Oglądane w przekroju hieroglify wleczeniowe mogą mieć różne kształty (fig. 1). Czasem są to pojedyncze wałki lub listwy, które w dogodnych okolicznościach można prześledzić na długości kilku metrów. Nierzadziej jednak warunki w odsłonięciach nie pozwalają na pomiary długości i domyślać się tylko możemy, że ślady wleczenia kontynuują się w głąb skalnych odkrywek na wiele metrów. Bywają jednak ślady krótkie. Czasem giną one po obu stronach niepostrzeżenie i stopniowo, czasem zaś urywają się raptownie z jednej strony.

Grubość wałków, a zatem pierwotna głębokość bruzd waha się w granicach od kilku mm do kilkunastu cm (o głębszych rynnach wleczeniowych — p. niżej str. 50).

Jak wspominaliśmy, ślady wleczenia biegną na ogół prostolinijnie, ale bywają czasem powyginane, a nawet wyraźnie skrzycone (pl. I, fot. 2).

Niejednokrotnie obserwuje się przecinanie się tych śladów na spągowej powierzchni ławic, jednakże kąt przecięcia na ogół nie przekracza 30° .

W przypadku śladów, które stopniowo i niepostrzeżenie po obu stronach zlewają się z powierzchnią spagową piaskowca, poszukiwanie przedmiotów, które je pozostawiły, obracać się będzie tylko w sferze domysłów.

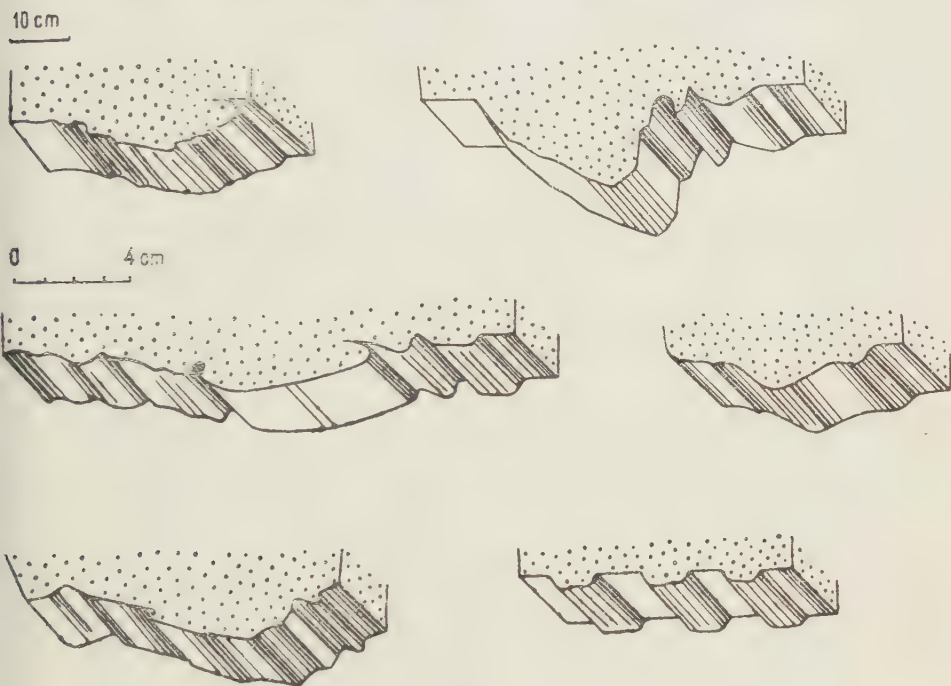


Fig. 1

Różne formy śladów wleczenia na spagu piaskowców fliszu karpackiego

Musnęły one jedynie dno i zostały uniesione dalej (fig. 2). Zdarza się jednak, i to wcale nie rzadko, że taki wędrujący przedmiot utknie w osadzie i wówczas ślad urywa się na nim nagle i bezpowrotnie. Okazało się, że w piaskowcach fliszowych ślady wleczenia urywają się często na ostrokrawędzistych okruchach łupkowych. Niżej opisane przykłady z piaskowców chochołowskich i krośnieńskich bodajże najlepiej wyjaśniają zagadnienie tych hieroglifów.

Na pl. III, fot. 1 widzimy wycinek spągowej powierzchni piaskowca krosnieńskiego z ławicy odsłoniętej w przełomie Wisłoka w Besku. Odtwarzając formę pierwotną, a więc pozytyw, w odlewie z plasteliny rekonstruujemy fragment dawnego dna morskiego. Widzimy na nim (pl. II) szereg krótkich bruzd, które z jednej strony wychodzą w powietrze, z drugiej wbijają się jak gdyby w dno pod kątem ok. $10-15^\circ$. Każda z bruzd

kończy się na jakimś ostrokrawędzistym kawałku łupku, których spora ilość mieści się w podłużnym zagłębieniu dna². Ślady wleczenia poza ten pas łupków już nie wychodzą. Widzimy natomiast po jego przeciwnej stronie ciekawą formę morfologiczną — zmarszczenie, które niegdyś utworzyło się w miękkim jeszcze ile pod wpływem skośnego uderzenia pakietu okruchów łupkowych (fig. 2). Za owym zmarszczeniem powierzchni



Fig. 2

Mechanizm powstawania śladów wleczenia na dnie fliszowego morza

Strzałki wskazują kierunek ruchu okruchów łupkowych, linia kreskowana — tor okruchów

spągowa jest już gładka, pominąwszy mały hieroglif prądowy i drobne zarysowania, o których genezie powiemy na innym miejscu (p. str. 59).

Na pl. IV i V widzimy również zakończenia śladów wleczenia. Urywają się one, podobnie jak poprzednie, na ugrupowaniu ostrokrawędzistych kawałków łupkowych. Tu przesuwający się po dnie pakiet wyerodował płytką rynną, która w piaskowym odlewie przedstawia się jako wydłużony garb zanurzający się z jednej strony stopniowo ku spągowej powierzchni ławicy, z drugiej zaś urywający

się na nieregularnym skupieniu okruchów. Zwróćmy jeszcze uwagę na ważny szczegół: prostolinijny dotychczas przebieg śladów staje się w pobliżu zakończenia falistym, a poszczególne ślady zachodzą na siebie.

Odminną nieco formą pozytywów śladów wleczenia są głębokie do kilkudziesięciu cm bruzdy, których długość mierzy się z pewnością w dziesiątkach metrów, szerokość zaś dochodzi do 1 m. Ich pochodzenie wiąże się nie z wleczeniem kilku czy kilkunastu okruchów łupkowych, lecz z przesuwaniem większej ilości materiału. Są to utwory analogiczne do rynien lawinowych, które tak często widzimy na śniegach żlebów tatrzańskich.

Liczne obserwacje, poczynione w różnych okolicach fliszu karpaciego, upoważniają do uogólnienia wniosków wyciągniętych z wyżej opisanych przykładów. Ślady wleczenia na spągowej powierzchni ławic piaskowców fliszowych są najczęściej genetycznie związane z okruchami łupków. Mniejsze i większe fragmenty tych skał znajdziemy niemal zawsze

² W piaskowcu, który jest naturalnym odlewem dna, mamy w tym miejscu nieregularną wypukłość z zachowanymi okruchami łupków, bądź z graniastymi wgłębieniami po wypadniętych kawałkach.

w tych piaskowcach, na których spągu pojawi się ten rodzaj hieroglifów. Okruchy łupkowe bywają różnej wielkości, czasem dochodzą one do kilkunastu, a nawet kilkudziesięciu cm. Częściej jednak są one mniejsze, ponieważ w trakcie wleczenia większe fragmenty ulegają rozdrobnieniu. Na pl. VI widzimy odcisk dużego kawałka łupku, który znajduje się w zakończeniu odlewu płytkiej i szerokiej bruzdy wleczeniowej. Zachował się na nim wyraźny ślad po nieukończonym procesie rozdrabniania w postaci głębokich szczelin, które zaczęły się zarysowywać we wleczonym kawałku. Do całkowitego rozerwania jednak nie doszło i okruh w tym stanie pozostał już na dnie. Pierwotne szczeliny, po wypełnieniu ich piaskiem, przedstawiają się dziś jako równoległe do siebie listwy, odzwierciedlające najdrobniejsze nawet szczegóły ich postaci. Mają one miejscami na pół płynne zarysy, pochodzące z deformacji miękkiego materiału. Być może, jest to rezultat nieukończonego procesu diagenety, choć bardziej prawdopodobne wydaje się, że mamy tu do czynienia z wynikiem namakania i lokalnego osłabienia konsystencji już zdiagenezowanego łupku, ponieważ w innych kawałkach, zwłaszcza mniejszych, ostre krawędzie są nader pospolite.

Ślady wleczenia rzadziej bywają związane z drewnem, chociaż dla wielu z nich, których zakończeń nie znamy, i taka okoliczność musi być brana pod uwagę. Ponieważ butwiejące kawałki drewna mają gładkie przełamy i graniaste kształty, to wleczone po dnie pozostawia ślady, których nie da się odróżnić od śladów wleczenia łupków. Niemniej jednak bezpośredni związek śladów wleczenia z drewnem kopalnym rzadko daje się obserwować, a wśród zebranych przez nas okazów tylko jeden hieroglif wleczeniowy urywał się na odcisku po zwęglonym kawałku drewna.

INNE HIEROGLIFY TOWARZYSZĄCE ŚLADOM WLECZENIA

Wśród hieroglifów z fliszu karpackiego można wyróżnić pewne formy, które najczęściej będą występować razem. I tak np. śladom wleczenia towarzyszą z reguły hieroglify prądowe. Często i kierunek takich hieroglifów jest w ogólnych zarysach ten sam, co kierunek śladów wleczenia. W zachodniej i południowej części fliszu podhalańskiego hieroglify prądowe i ślady wleczenia, obserwowane w różnych ławicach piaskowców chochołowskich, wskazują regionalnie w ogólnych zarysach kierunek W-E (p. fig. 3). Materiał i prądy szły w tej części zbiornika z zachodu z lekkim odchyleniem ku NE. W przypadku takich zgodności nasuwa się wniosek pokrewieństwa hieroglifów prądowych i śladów wleczenia, które zresztą należą razem do grupy syn-depozycyjnych (M. Książkiewicz, 9), a więc związanych z sedymentacją piaskowców. Przemawia za tym ich zależność od miąższości ławic, wyrażona we wzajemnym stosunku proporcjonalnym. Na ogół im grubsze są ławice, tym większe są na ich spągu

hieroglify prądowe i ślady wleczenia (choć nie jest to bynajmniej regułą).

Z drugiej strony, tam, gdzie rozwinęły się w pełni i wyraźnie hieroglify organiczne, nie ma najczęściej śladów wleczenia. Zdarzają się jednak pod tym względem godne uwagi wyjątki (9) i do nich jeszcze w dalszej części tej pracy powrócimy (str. 61). Ogólnie biorąc możemy jedna

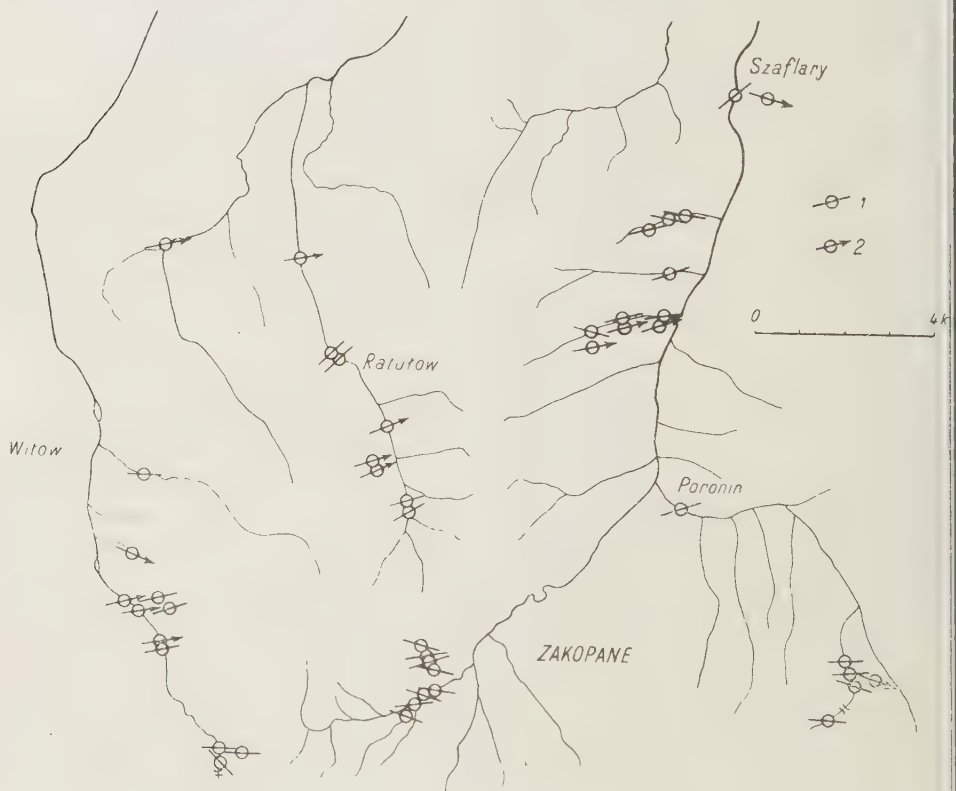


Fig. 3

Schematyczna mapa kierunków śladów wleczenia i hieroglify prądowych w piaskowcach fliszu podhalańskiego

1 kierunki śladów wleczenia, 2 kierunki hieroglify prądowych

powiedzieć, że wyraźne hieroglify organiczne i wyraźne ślady wleczenia eliminują się nawzajem. Pierwsze z nich należą zresztą do grupy hieroglify pre-depozycyjnych (9), więc powstały w okresie poprzedzającym osadzenie się piaskowca, ostatnie zaś są nierozdzielnie związane z aktem depozycji i ze zmianami, które niejednokrotnie doprowadzały do zatarcia wcześniejszych śladów organicznych i do zupełnej zagłady życia.

*
STOSUNEK HIEROGLIFÓW DO PODŚCIELAJĄCYCH PIASKOWCE ŁUPKOW

Jak wiadomo, większość hieroglifów, z pominięciem tych, które utworzyły się w spągu świeżej jeszcze i miękkiej ławicy piasku, są to odlewki szczegółów morfologicznych istniejących niegdyś na dnie morza fliszowego. Było to dno ilaste. Dzisiejsze łupki reprezentują w skali czasowej o wiele dłuższe okresy niż ławice piaskowców, w powolnej zaś sedymentacji osadu ilastego zamyka się większa część historii rozwoju geosynkliny karpackiej.

Sposób, w jaki mogły się utworzyć i zachować pod wodą w miękkim ilastym materiale subtelne formy hieroglifowe, był i jest jeszcze przedmiotem dyskusji, której tu powtarzać nie będziemy. Przychylamy się do tych poglądów, według których konsystencja łu morskiego niekoniecznie miała być tak słaba, aby ślady w nim utworzone zasklepiały się natychmiast z powrotem (7, 17). Wykonane na głębokości 800 m fotografie współczesnego dna morskiego wysłanego łem (u wybrzeży kalifornijskich) potwierdziły w pełni słuszność takiego zapatrywania (Northrup, 16). Widać na tych fotografiach m. in. wyraźne ślady pełzania. Taka konsystencja łu może być spowodowana nie tylko prądami dennymi, lecz również bardzo powolną sedymentacją. Ślady wleczenia mają jednak miejscami wprost niewiarogodnie ostre krawędzie i podwieszone ściany. W tym przypadku należałoby więc, obok wspomnianej dość trwałej konsystencji, dopuścić istnienia jeszcze innych okoliczności, które przyczynić się mogły do powstania konturów o tak zdumiewającej ostrości. Prądy zawieszinowe (str. 55) np. mogły w tym przypadku zmieść najbardziej powierzchniowe i najbardziej miękkie warstewki łu dennego, w konkretnym zaś przypadku podwieszeń (fig. 6) niewątpliwie duży udział w ich powstawaniu miała kompakcja osadu ilastego (str. 62).

Szczegóły morfologiczne w łu (pozytywy hieroglifów) mogły zachować swoją indywidualność, dopóki nie został on przysypany piaskiem. Już pod niewielkim stosunkowo naciskiem (zwłaszcza przy dużym ciśnieniu ze wszystkich stron) ły zachowują się plastycznie; rozplývają się na boki, wciskają się z łatwością w szczeliny powstałe w niezupełnie jeszcze stężalnym i skonsolidowanym piasku (p. niżej str. 64; pl. VII, fot. 1). Pierwotna struktura sedymentacyjna ulega przy tym zupełnemu zatarciu, ły zaś przekształca się szybko w typowy tektonit — łupek fliszowy. Dlatego też, czy to jako toczenie w nieskonsolidowanych osuwiskach, czy to jako okrucy w piaskowcach fliszowych, łupki fliszowe niewiele się różnią od łupków, które podścielają ławice piaskowcowe i które nieosłonięte przeszły przez całą historię tektoniczną geosynkliny. Szukanie przeto oryginalnych pozytywów w łupkach jest bezcelowe, tym bardziej, że nie ma bodaj takiego miejsca we fliszu, w którym by stykające się pierwotnie

partie łupków i piaskowca zachowały to położenie w czasie fałdowań. Przy tego rodzaju ruchach przesunięcia między ławicami, choć często nie widoczne, są regułą.

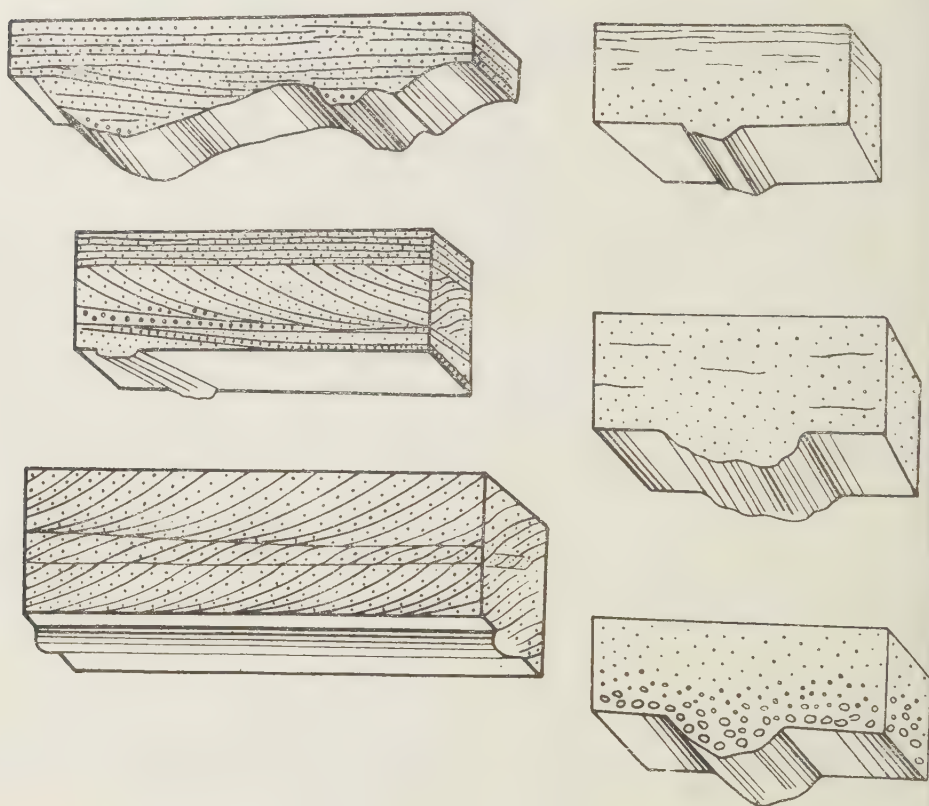


Fig. 4

Typy strukturalne ławic, na których spągu występują ślady wleczenia

TYPY STRUKTURALNE ŁAWIC Z HIEROGLIFAMI WLECZENIOWYMI ORAZ GENEZA ŚLADÓW WLECZENIA W ŚWIEŁE TEORII PRĄDÓW ZAWIESINOWYCH

Uwagi wstępne

Ślady wleczenia pojawiają się na spągu ławic o różnym wykształceniu strukturalnym³. Występują one na spągowej powierzchni piaskowców o uwarstwieniu laminowanym, przekątnym, złożonym oraz frakcyj-

³ Przez słowo „struktura” rozumiemy przestrzenne uporządkowanie składników skały. Używamy tego terminu w znaczeniu analogicznym, jakie ma on w tektonice (np. struktura fałdowa).

nalnym¹ i wreszcie na powierzchni spągowej piaskowców jednorodnych⁵. Ponadto ślady wleczenia pojawiają się na spągowej powierzchni ławic o złożonej budowie, np. bezwarstwowych w partiach spągowych, laminowanych zaś lub przekątnie uwarstwionych w partiach stropowych.

W typowych zlepieńcach i żwirowcach ilastych⁶ śladów wleczenia oraz innych hieroglifów nie obserwowaliśmy.

Jak widzimy, ślady wleczenia występują na spągowej powierzchni piaskowców o różnym typie strukturalnym. Nasuwa się przeto pytanie, czy z wszystkimi tymi ławicami ślady wleczenia są bezpośrednio związane genetycznie. Przez pojęcie bezpośredniego związku genetycznego będziemy rozumieli taki przypadek, gdzie ślady wleczenia są wywołane przez okrucy transportowane razem z tym osadem, który tworzy następnie ławicę piaskowca. Tym złożonym zagadnieniem, które wiąże się ściśle z teorią prądów zawieszinowych, zajmiemy się poniżej.

Aby uniknąć nieporozumień z powodu nieustalonej jeszcze w języku polskim terminologii podmorskich ruchów masowych, określiśmy w wstępie, co rozumiemy przez termin „osuwisko podmorskie“, a co przez „prąd zawieszinowy“.

Osuwiskiem podmorskim będziemy nazywali zsuwający się pod wpływem grawitacji płat osadów bez rozproszenia w fazie ciekłej (niem. Gleitung, ang. sliding). Prąd zawieszinowy jest to natomiast dwufazowy układ rozpraszający (dyspersyjny). Jego definicja z uwagi na obszerną literaturę nie wymaga komentarzy (H. S. Bell 2, Ph. H. Kuenen 10, Ph. H. Kuenen & C. I. Migliorini 13, C. I. Migliorini 14). Między osuwiskami a prądami zawieszinowymi istnieją oczy-

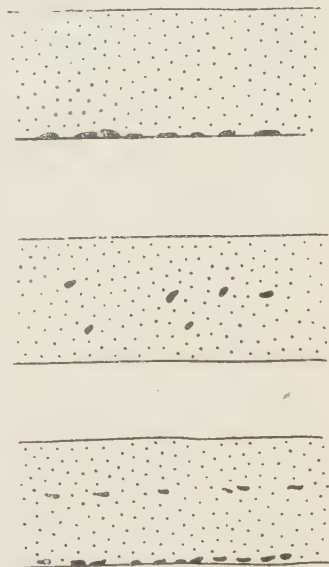


Fig. 5

Rozmieszczenie przestrzenne okruców łupkowych w bezwarstwowych piaskowcach fli-szowych

¹ Wymienione wyżej typy litologiczne zostały wyróżnione i opisane przez M. Książkiewicza we fliszu karpackim, przeto pomijamy tu ich charakterystykę.

⁵ Mamy tu na myśli piaskowce zwykle o drobnym ziarnie, pozbawione widocznego warstwowania lub o bardzo słabo zaznaczonej laminacji czy gradacji frakcjonalnej.

⁶ Terminem „żwirowiec ilasty“ określamy sypkie skały żwirowe o spoiwie ilastym. Są one bezwarstwowe; pojawiające się w nich powierzchnie oddzielności, równoległe do spągu i stropu, są przypuszczalnie wywołane kompaktacją i czynnikami tektonicznymi.

wiecie przejścia ciągle w postaci np. osuwisk nieskonsolidowanych (niem. Rutschung) z pozawijanymi w toczące płatami pierwotnych ławic.

Współczesna teoria prądów zawiesinowych dokonała, jak wiadomo, przewrotu w naszych dotychczasowych pojęciach o sedymentacji fliszu karpackiego (9). Ślady wleczenia, o których piszemy i których bodaj żadna przedtem koncepcja sedymentacyjna nie mogła wyjaśnić w sposób zadowalający, są na tle tej właśnie teorii czymś zupełnie naturalnym i oczywistym. I na odwrót, badania nad śladami wleczenia, a zwłaszcza nad sprawą genetycznego powiązania z ławicami, nie tylko mogą rzucić nowe światło na zagadnienie tektonicznego rozwoju geosynkliny karpackiej, ale i wyjaśnić wiele szczegółów w samej koncepcji prądów zawiesinowych. Dlatego też potraktowaliśmy problemat tych hieroglifów jako zagadnienie nierozdzielnie związane z całokształtem sedymentacji ławic piaskowcowych fliszu.

Zlepieńce i żwirowce ilaste

Według współczesnych poglądów na sedymentację fliszu ławice zlepieńców egzotykowych, żwirowce ilaste, wreszcie niektóre ily egzotykowe (Wildflysch Fazies w Alpach) są formami akumulacyjnymi bardzo gęstych prądów zawiesinowych (Carozzi 3, Natland i Kuenen 15, Kuenen 12, Wieser 20). Przesuwający się po dnie prąd tego typu, wlokąc ze sobą różnorodny materiał skalny, dysponuje ogromną ilością narzędzi, zdolnych do żłobienia śladów. Ale właśnie z powodu dużej ilości narzędzi żłobiących prąd nie pozostawia po sobie wyraźnych hieroglifów wleczeniowych, gdyż liczne, wyżłobione w ilastym podłożu ślady są wzajemnie przez siebie zacierane. W rezultacie powierzchnia dna, po której przesuwają się taki prąd, zostaje mniej lub więcej wygładzona. Prąd zawiesinowy, niosący ze sobą dużo grubego materiału, nie pozostawia zatem hieroglifów wleczeniowych, a jego wpływ na morfologię dawnego dna wyrazić się może w erodowaniu obszerniejszych zagłębień.

Piaskowce o warstwowaniu frakcyjnym

W piaskowcach o uwarstwieniu frakcyjnym, których powstanie obszernie ostatnio opisał M. Książkiewicz (9), możliwości zachowania się śladów wleczenia są o wiele lepsze, niż w zlepieńcach. Dotyczy to głównie tych piaskowców, które posiadają mniejsze ilości żwirów. W składach tego typu niemal z reguły występują fragmenty łupków (Kuenen & Migliorini 13, Migliorini 14, Książkiewicz 9), które, wleczone po dnie prądem zawiesinowym, mogą pozostawić po sobie tego rodzaju hieroglify. Ślady wleczenia występujące na spagu takich ławic są z nimi bezpośrednio genetycznie związane.

Piaskowce jednorodne

Zajmiemy się obecnie nieco szczegółowiej grupą piaskowców o strukturze niewyraźnej, często bezwarstwowej, które nazwaliśmy jednorodnymi. Geneza tych skał nie jest jeszcze dokładnie poznana. W piaskowcach, o których piszemy, znajdujemy często okruchy łupków różnej wielkości. Czasem występują one sporadycznie, czasem bezładnie w różnych częściach ławicy. Czasem łupki grupują się tylko w spagowych partiach ławicy, czy też pojawiają się w postaci wtrąceń poziomych lub ukośnych. Orientacja okruchów bywa rozmaita: niektóre leżą skośnie, inne poziomo lub pionowo.

Pomimo braku takich struktur, które zwykło się przyjmować za dowód sedymentacji w prądach zawieszinowych (uwarstwienie frakcyjne), i w tym przypadku musimy się do nich przystosować, aby wyjaśnić obecność wspomnianych wyżej fragmentów łupkowych.

Jednorodność i dobre przesortowanie piaskowców tego typu może być niekiedy wskaźnikiem długiego transportu w prądzie zawieszinowym (Książkiewicz, 9), który osadził przedtem grubszy materiał żwirowy (p. niżej fig. 7).

Powstać może również i taka okoliczność, że prąd zawieszinowy już od samego początku niósł drobny materiał dobrze wysortowany. Na pe-

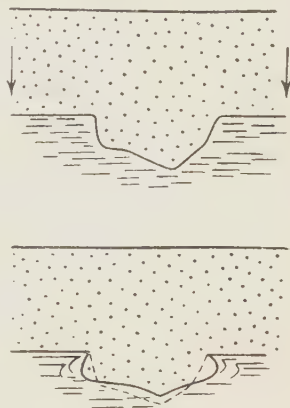


Fig. 6

Deformacja śladu wleczenia pod wpływem kompaktacji osadu

1 przypuszczalna forma pierwotna hieroglifu (linia kreskowana), 2 forma zniekształcona z podwieszonymi ścianami

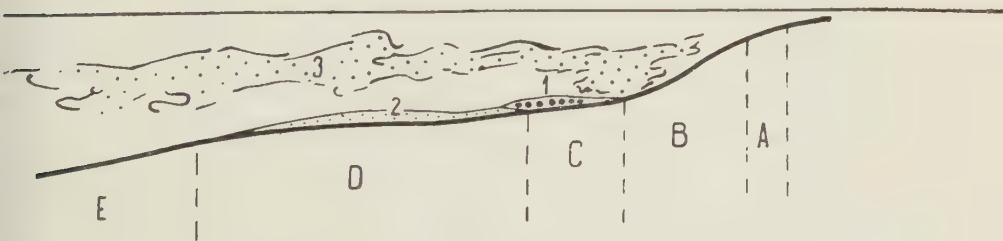


Fig. 7

Rejony erozji i depozycji prądu zawieszinowego

A rejon początkowego osuwiska, B rejon erozji prądu głównego i powstawania wtórnych prądów zawieszonych, C rejon osadzania się grubego materiału (frakcyjne uwarstwienie) i tworzenia się śladów wleczenia, D rejon sedymentacji materiału drobniejszego, niesionego przez prąd główny, i tworzenia się śladów wleczenia, E rejon wyłącznej sedymentacji prądów zawieszonych (uwarstwienie laminowane). Prądy zawieszane (3) sedymentują również w rejonach B, C, D

ryferii zbiornika fliszowego mógł bowiem gromadzić się piasek, składa przez prądy płynące równoległe do brzegu, tak jak to się dzieje współcześnie na wybrzeżach Bałtyku. Piaski takie bywają dobrze przesortowane i jednorodne.

W wielu przypadkach prądy zawiesinowe mogą być wywołane osuwiskiem całego kompleksu takich właśnie piaszczystych osadów i stąd bierze się ich jednorodność i wysoki stopień przesortowania. Fragmenty łupków, które w takim prądzie są w pewnym znaczeniu ciałami obcymi albo zostały wyerodowane z dna (fig. 8B), lub też znajdowały się w formacji ławic w kompleksie osadów, który obsuwając się dał początek lawinie podmorskiej (fig. 8A). Z chwilą, gdy lawina przekształciła się w prąd zawiesinowy, już zdiagenezowane ławice łupków uległy rozdrobnieniu.

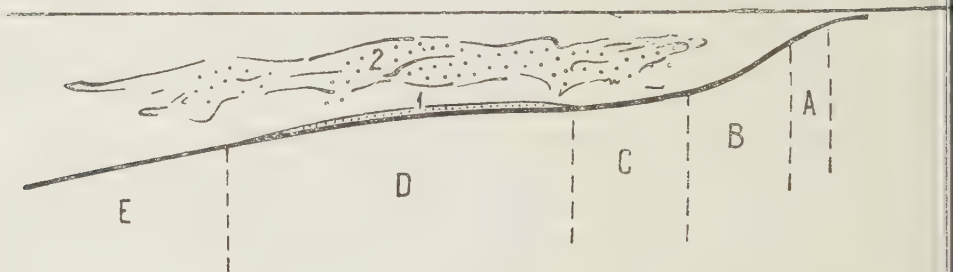


Fig. 8

Rejon erozji i depozycji prądu zawiesinowego, niosącego od początku materiał drobny i przesortowany

A rejon początkowego osuwiska, B rejon erozji, C rejon, po którym przeszedł prąd główny nie pozostawiając osadów, utworzywszy jednak ślady wleczenia, D rejon sedymencji prądu głównego (1) i tworzenia śladów wleczenia, E rejon wyłączenia sedymencji prądów zawieszonych

Okruchy wleczone po dnie pozostawiają ślady, o których mówiliśmy na wstępie. Niektóre z nich są unoszone ponad dnem i tylko od czasu do czasu jakiś fragment muśnię jego powierzchnię, po czym porwany dalej pozostawi po sobie wygasającą obustronnie bruzdę. Niekiedy odbijając szeregiem razy od dna, znacząc ciągnący się prostolinijnie, przerywany ślad. Inne fragmenty, ciśnięte gwałtowniejszą turbulencją lub wypadkową masy i własnego ciężaru, zaryją się głębiej i pozostawiwszy krótkie ślady zostaną już na dnie (fig. 2a i pl. II). Zdarzyć się może, że taki okruszek zostanie ponownie oderwany przez prąd i tylko zagłębienie, wypełnione później piaskiem, wskazuje nam miejsce jego chwilowego spoczynku (fig. 2c).

Ponieważ poruszający się układ dyspersyjny jest w stanie gwałtownej turbulencji, okruszki mogą w pewnym zakresie zmieniać kierunek swego przebiegu. To powoduje zjawisko przecinania się śladów wleczenia.

genetycznie związanych z tym samym prądem. Im szybszy jest ruch prądu, tym bardziej zbliżone do linii prostej są tory okruchów, a zarazem tym mniejszy jest kąt przecięcia się śladów. Z chwilą jednak, gdy zamieranie ruchu w prądzie lub tarcie o dno wleczonego okrucha spowoduje zmniejszenie się jego prędkości, prostolinijność torów będzie mniej zaakcentowana. Pęd masy nie będzie już dominującym czynnikiem w porównaniu z turbulencjami bocznymi, przeto skrzywienia, a nawet skręcenia torów należeć będą do zjawisk pospolitych. I to właśnie obserwujemy przy zakończeniach śladów, tam gdzie urywają się one na łupkach (pl. V).

Ślady wleczenia są zatem genetycznie i bezpośrednio związane z tym właśnie typem strukturalnym piaskowców. Ich stan zachowania zależeć będzie od charakteru prądu, z którego powstała dana ławica piaskowcowa. Jeżeli prąd taki mógł erodować podłoże, to mógł również zacierać własne ślady wleczenia. Na spagowej powierzchni ławic niektórych piaskowców jednorodnych widzimy często gładkie powierzchnie, na których poza drobnymi zarysowaniami nie ma innych nierówności. Zarysowania te są przypuszczalnie dziełem trącego o dno piasku.

Piaskowce laminowane

Bardzo wyraźne ślady wleczenia pojawiają się, zachowane niekiedy z najbardziej subtelными szczegółami, na spagowej powierzchni piaskowców drobnoziarnistych o uwarstwieniu laminowanym. Zagadnienie bezpośredniego związku genetycznego między tym typem strukturalnym a śladami wleczenia jest bardzo złożone.

Gdybyśmy przyjęli wyłącznie hipotezę powstania piaskowców o laminowanym uwarstwieniu na drodze rytmicznego opadu subtelnej zawiesiny w warunkach zasadniczo spokojnych (Barrell 1917, 1), nie byłoby potrzeby upatrywania bezpośredniego związku między śladami wleczenia a samą sedymentacją tych piaskowców. Jest bowiem oczywiste, że przesuwania sporych kawałków łupków, i to w sposób najwyraźniej gwałtowny (np. proste ślady wleczenia), nie można pogodzić z koncepcją spokojnej sedymentacji piaskowców laminowanych.

Dziś jednak patrzymy na zagadnienie sedymentacji tych skał również z punktu widzenia teorii prądów zawiesinowych. M. Książkiewicz (9), zrywając z dotychczasowymi poglądami, wiąże genezę piaskowców laminowanych z bardzo rozcieńczonymi prądami zawiesinowymi.

W środowisku morskim tego typu prądy mogą powstawać z różnych powodów. Wzbudzać je może np. silne falowanie w strefie litoralnej, skąd rozchodzą się one w głąb basenu sedymentacyjnego (9). W tym przypadku nie mielibyśmy żadnego związku genetycznego między piaskowcami

laminowanymi o tej genezie a występującymi na ich spągu śladami wleczenia, prądy te byłyby bowiem zbyt słabe, by przenosić na większe odległości znaczne stosunkowo fragmenty łupków, jakie są znajdowane w zakończeniach hieroglifów wleczeniowych.

Laminacja może jednak powstawać w rezultacie wypadania materiału z wtórnych prądów zawieszinowych (por. fig. 7 i 8), które wzbijają się w górę przy przechodzeniu gęstszego prądu głównego, toczącego się po dnie (Książkiewicz, 9). Prądy te są jednak zbyt słabe, aby transportować i wlec fragmenty łupkowe, tym bardziej, że rozprzestrzeniają się one wolno. Zarówno te prądy, jak i same ślady wleczenia są wywołane wspólną przyczyną, a mianowicie przejściem prądu głównego, lecz stosunek genetyczny, który je wiąże, jest tylko pośredni. Aby wyjaśnić, skąd się wzięły ślady wleczenia na spągowej powierzchni drobno laminowanych piaskowców, należałoby rozpatrzyć przypadek teoretyczny, który można w pewnym zakresie odtworzyć łatwo doświadczalnie w zwyczajnej kałuży (fig. 8).

Prąd zawieszinowy zaczyna się osuwiskiem w strefie A. Stąd, albo z rejonu B, pobiera on okruchy łupkowe. Następnie główny prąd, który toczy się dnem, unosi je do rejonu C. Tam, z powodu rozcieńczenia prądu, który właśnie w rejonie C posiada największą szybkość, okruchy te wypadają i wleczone po dnie pozostawiają po sobie ślady. Drobniejszy materiał piaszczysty prądu głównego zostaje jednak w wyniku nabytej prędkości uniesiony dalej i sedymentuje dopiero w rejonie D. Ślady wleczenia w rejonie C reprezentują zatem w tym przypadku epizodyczny akt przejścia prądu zawieszinowego, któremu nie towarzyszyła na danym odcinku sedymentacja.

Wzniesione przy przechodzeniu prądu głównego przez rejon B wtórne prądy zawieszinowe (p. wyżej) przez dłuższy czas sedymentują na rozległym obszarze B, C, D i E powodując powstawanie ławic laminowanych. W rejonie C laminy osiadają na świeżo wyżłobionych śladach utrwalając ich kształty⁷.

⁷ Sedymentację takich pyłów można przyrównać do zjawisk obserwowanych we współczesnych lawinach śnieżnych. Przed kilku laty np. zeszła duża lawina z Mięguszwieckich Szczytów w Tatrach. Zaczęła się ona w górnej części północnej ściany i w postaci szybkiego prądu zawieszinowego przeszła przez jej część środkową i tzw. Kocioł wzbijając tumany pyłu śnieżnego. Główna masa lawiny zatrzymała się dopiero przy samym stawie. Wzbudzone przez nią potężne chmury delikatnych śnieżnych prądów sedymentowały przez długi czas na odsłoniętych ponownie przez lawinę częściach ściany zasypując subtelnym pyłem głębokie ślady wleczenia, pozostawione w podścielającym, bardziej scementowanym śniegu przez kawałki kamienia lodu i twardszego śniegu. Ponadto chmury pyłów śnieżnych wyprzedziły zatrzymujący się prąd główny i dotarły aż do Roztoki (ok. 5 km dalej).

Miedzy utworzeniem się śladu wleczenia a początkiem sedymentacji jednorodnego materiału z prądów zawieszonych⁸ nie upłynęło w tym przypadku wiele czasu. Można nawet przypuszczać, że zaczęła się ona zaraz po przejściu głównej masy i stąd pochodzą owe szybko utrwalone przez osad nadzwyczaj ostre zarysy obserwowane w takich hieroglifach. Niekiedy jednak, zanim ślad zostanie przysypany, upłynie tak długi okres czasu, że zdążą się utworzyć hieroglify organiczne. Sedymentacja piaszczowca laminowanego nie będzie wtedy nawet pośrednio związana z tymi ładami, a delikatne prądy zawieszinowe, powodujące powstawanie lamin, nie mają w tym przypadku nic wspólnego z prądem, który pozostawił hieroglify wleczeniowe.

Natomiast wydaje się, że może istnieć związek bezpośredni śladów wleczeniowych z powstawaniem ławic o złożonej strukturze, których partie spągowe zawierają materiał niewarstwowany i nieco grubszy, reszta zaś ławicy ma uwarstwienie laminowane. Przypuśćmy, że po skłonie B (fig. 9) spływa gęsty prąd złożony z masy jednorodnego piasku z frag-

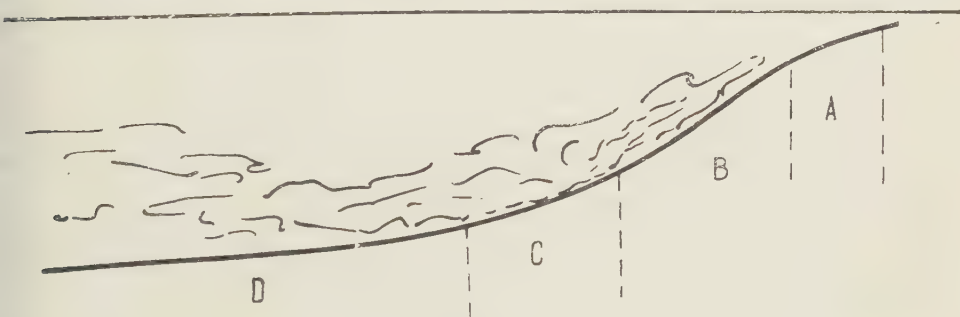


Fig. 9

Rejony erozji i depozycji rozpraszającego się prądu zawieszinowego. A rejon początkowego osuwiska, B rejon erozji, C rejon zupełnego rozproszenia prądu głównego i tworzenia się śladów wleczenia, D rejon wyłącznej sedymentacji prądów zawieszonych

mentami łupków. Jeżeli droga, jaką prąd ten przebywa w rejonie B, jest odpowiednio długa, prąd główny może tam nabyć takiej szybkości, że większa część toczącej się po dnie masy wzbija się w górę, dając prądy zawieszinowe. W rejon C dostaje się tylko nieco grubszy materiał wraz z fragmentami łupków złośliwymi ślady, który tutaj sedymentuje. Na

⁸ Prąd zawieszinowy w pewnych przypadkach składa się z prądu głównego, bardziej gęstego, który płynie po dnie, i rozcieńczonych prądów wtórnych, które mogą rozprzestrzeniać się „zawieszono” ponad dnem. Termin „prąd zawieszony” wprowadza do literatury polskiej M. Książkiewicz (9).

nim osiadają kolejno poszczególne „chmury“ dając w rezultacie ławic o budowie złożonej. Związek śladów wleczenia (w C) z powstawaniem ławicy o budowie złożonej jest zatem bezpośredni.

Ławice o warstwowaniu przekątnym

Przechodzimy z kolei do ostatniego typu strukturalnego, a mianowicie do ławic o uwarstwieniu przekątnym. Utworzyły się one w rezultacie działania prądu, który przetaczał złożony już osad. Z uwagi na drobne ziarno osadu i subtelność jego warstwowania musimy przyjąć, że prądy musiały mieć tu prawdopodobnie szybkość rzędu 20—30 cm/sek. (Książkiewicz, 9), nie mogły więc one wlec okruchów łupkowych, których rozmiary dochodzą do kilkunastu cm. Między ławicami o przekątnym uwarstwieniu a występującymi w ich spągu śladami wleczenia nie ma zatem w tym przypadku ani pośredniego, ani bezpośredniego związku przyczynowego. Prądy trakcyjne mogły wprowadzić powstać jako echo prądów zawieszinowych, ich związek jednak ze śladami wleczenia jest ostatecznie bardzo daleki. Ławice o warstwowaniu przekątnym przysypywać mogą tylko już uprzednio utworzone ślady.

PSEUDOHIEROGLIFY I HIEROGLIFY POST-DEPOZYCYJNE

Grupa hieroglifów post-depozycyjnych obejmuje szereg struktur powstałych na spągu i na stropie ławic, struktur, które związane są z procesami zachodzącymi zarówno wewnątrz w osadzonej już ławicy piaskowca (ewent. piaskowca), jak i na jej powierzchni. W zasadzie jednak tylko ostatnie zasługują na miano hieroglifów, gdyż odzwierciedlają nam on przebieg zjawisk zachodzących na dnie morza podczas sedymentacji. Struktury post-depozycyjne na spągowej powierzchni są po części wyrazem tych procesów, które stoją na pograniczu zainteresowań tektoniki i sedymentologii. Poświęcamy im tutaj osobny rozdział, chociaż bezpośrednio z głównym tematem tej pracy się nie wiążą, gdyż występują one w towarzystwie śladów wleczenia i deformują je nieraz w ten czy inny sposób, poza tym zaś są one częściowo dalszym ciągiem tych procesów sedymentacyjnych, o których mówiliśmy poprzednio.

Wspominaliśmy, że jeżeli nie wszystkie podwieszenia na ścianach śladów wleczenia, to część ich przynajmniej jesteśmy skłonni uważać za objaw kompaktacji osadu pod wpływem ciężaru osadzonej ławicy piaskowca. Właściwie są to tylko deformacje hieroglifów, lecz nie pseudohieroglifów w ścisłym tego słowa znaczeniu. Nie zawsze da się jednak oddzielić niekształcone struktury hieroglifowe od pseudohieroglifów powstałych niezależnie od nich. Bardzo często widzimy np. na spągowej powierzchni ławic wypukłości spełnione szczelinami w kształcie litery V — typowy:

szczelinami rozszczepienia, jakie obserwujemy zresztą powszechnie przy zjawiskach tektonicznych. Tu jednak rozszczepienie nastąpiło w świeżym jeszcze osadzie. Nie widzimy ani śladu strzałki, krawędzie zaś szczelin mają często miękkie, na pół płynny zarys. Nieraz spotykamy tu formalne rowy tektoniczne, oczywiście na maleńką, centymetrową skalę, rowy takie, jakie powstają przy objawach tensji na wypukłościach wypaczanych ławic (pl. VII, fot. 1). W tym przypadku mamy, rzecz jasna, obraz odwrócony. Tensja objawiła się na spągowej powierzchni ławicy, ponieważ wypaczenie skierowane było ku dołowi (fig. 10). Oczywiście, w wielu przypadkach załączkiem takiej pseudohieroglifowej wypukłości była poprzecznie istniejąca, bądź z rozmycia, bądź z jakiegokolwiek innej przyczyny, zakłębłość na dnie.

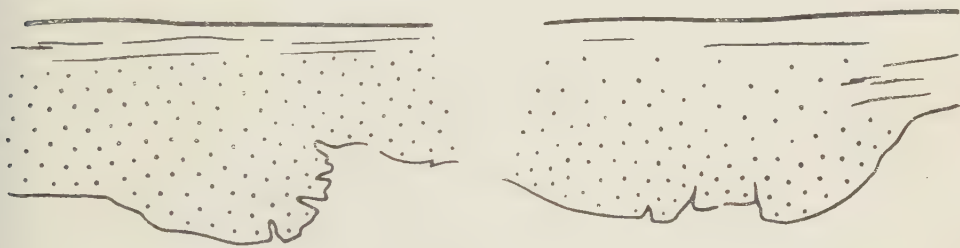


Fig. 10

Deformacje post-depozycyjne w jednorodnym piaskowcu (spąg)

W rynnach wleczeniowych obserwujemy nieraz przesunięcia poszczególnych śladów względem siebie. W tym przypadku mamy raczej do czynienia z „plastycznym płynięciem” iłu ku wyżłobionej zakłębłości jeszcze przed przykryciem go osadem piaszczystym. Deformacje o charakterze uskoków, które widzimy na zakłębnięciach rynny wleczeniowej (pl. V), należy uważać za objawy nierównomiernej kompaktacji lub za ewentualne odsuwanie się osadzonej ławicy. Również i drobne uskoki, które przecinają ślady wleczenia na pl. VIII, należą do kategorii pseudohieroglifów. W laminowanym piaskowcu kontynuują się one w głąb zaznaczając się wzajemnymi przesunięciami między warstewkami. Czasem jednak żadnego śladu przesunięć nie widać i wówczas nasuwa się możliwość wcześniejszego utworzenia takich stopni uskokowych, które by można uważać za hieroglify, jak to uczynił Grossheim (6). W przypadku jednak struktury jednorodnej ławicy zagadnienie jest już bardziej skomplikowane: gdy przesunięcie następuje w miękkim jeszcze (aczkolwiek spoistym) piasku bez laminacji, ślad przesunięcia i tak nie jest widoczny.

Mamy wreszcie przejawy wzajemnego horyzontalnego przesuwania się poszczególnych części ławicy piaskowej względem siebie. Powstają

wówczas charakterystyczne szczeliny rozrywu „en échelon“. Ponieważ tworzą się one w stosunkowo miękkim jeszcze i nie skonsolidowanym osadzie, towarzyszą im zmarszczenia, których w analogicznych szczelinach tektonicznego pochodzenia nie obserwujemy.

Ponadto pojawiają się na spągowej powierzchni krzyżujące się spękania z minimalnymi przesunięciami pionowymi (pl. III, fot. 2). Są one wytworzone przypuszczalnie przez kierunkowy nacisk w niestężalej jeszcze masie piaszczystej.

Wszystkie wyżej opisane zjawiska wskazują na to, że proces konsolidacji ławicy piaskowej przechodzi zwolna. W wielu przypadkach zaciera się granica między procesami sedymentacyjnymi a mikrotektonicznym. Takie zmiany mogą być jeszcze przejawem tendencji do ruchu w zamierającym prądzie zawiesinowym, który złożył swoje osady na pochyłym stoku lub ma jeszcze resztki energii kinetycznej.

Do pseudohieroglifów zaliczilibyśmy również tzw. hieroglify rozplływowe („Gefliessmarken“ Fuchsa, 4, oraz Książkiewicz, 9), które powstają wówczas, gdy il marszczy się pod ciężarem ławicy piasku (19). Jeżeli do tego procesu dołączy się działanie dodatkowych sił bocznych o jednym kierunku, w rezultacie np. powolnego obsuwania się całego płata piasku na pochylonym lekko dnie, wówczas powstaje rzędowe ułożenie tych pseudohieroglifów rozplływowych, z obserwowaną przez M. Książkiewicza asymetrią. W krańcowym przypadku takiego procesu powstają często formy zbliżone wyglądem do pręg falistych. Stopniowe przejścia od nieregularnych, poduszkowatych pseudohieroglifów rozplływowych do bardziej regularnych fałdów na powierzchni spągowej obserwował jeden z autorów tej pracy w profilu warstw krośnieńskich, odsłoniętym w Besku.



Fig. 11

Drobne uskoki post-depozycyjne na spągu ławicy laminowanej

Podobne formy morfologiczne występują także w stropowych partiach ławic. Tutaj zjawisko to można uchwycić jako odkształcenie typu fałdowego, ponieważ stropowa część ławic bywa często laminowana. Z tymi zjawiskami wiąże się przypuszczalnie „skorupowatość“ stropowych partii niektórych ławic, obserwowana w warstwach krośnieńskich i w fliszu podhalańskim. „Skorupowatość“ taka na stropie ławic wyraża się w nieregularnych, poduszkowatych nabrzmieniach. Formy te miejscami przechodzą w wydłużone wypukłości i zakłębienia uszeregowane rzędami, czasem zaś w formy zbliżone do ripple-mark'ów (fig. 12). Istnieją hi

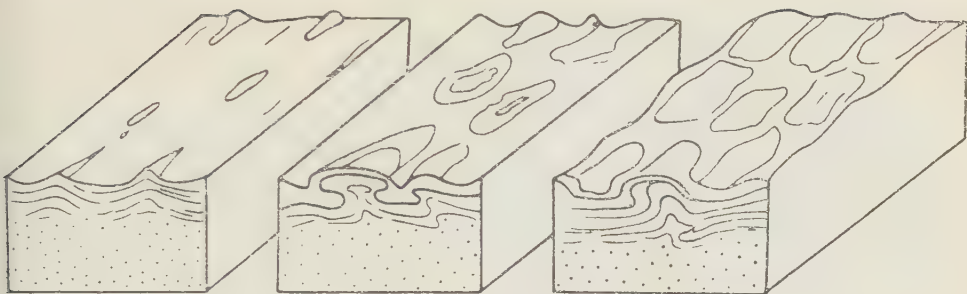


Fig. 12

Spiływy grawitacyjne laminowanej części ławicy i tworzenie się struktury skorupowej

potezy, według których takie struktury należy wiązać z wydobywaniem się gazu lub wody, wyciskanej przez ciężar gromadzącego się nadkładu (Migliorini, 14). W naszym przypadku hipoteza ta jest trudna do przyję-

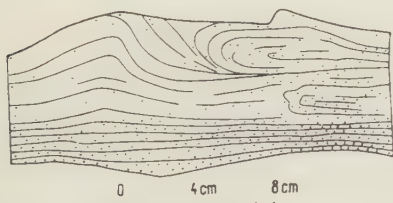


Fig. 13

Fałdy sedimentacyjne w stropowych partiach ławicy „skorupowej“

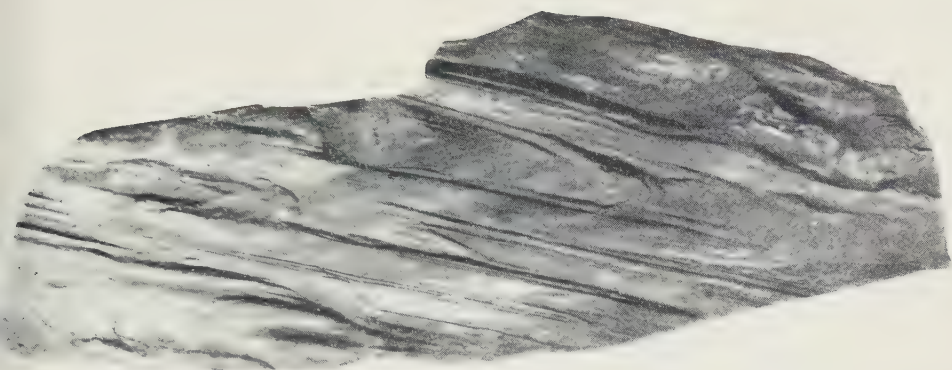
cia, ponieważ w profilu obserwuje się przejścia w regularne fałdy sedimentacyjne lub nawet w fałdy obalone (fig. 12, 13). Charakterystyczną cechą bywa tutaj dysharmonijne fałdowanie w obrębie lamin.

*Pracownia Geologiczno-stratygraficzna PAN w Krakowie
i Zakład Geologii Fizycznej AGH (dawniej UJ)
Kraków, październik 1954 r.*

LITERATURA CYTOWANA

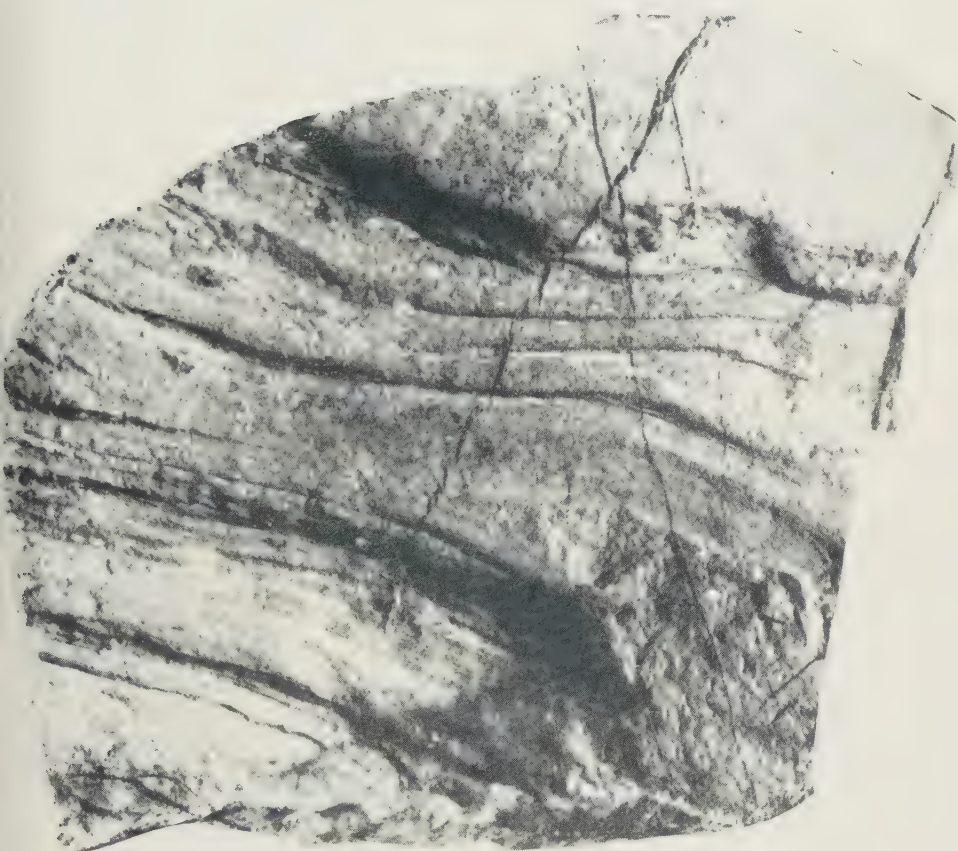
1. BARRELL J. Rhythms and measurement of geologic time. — Bull. Geol. Soc. Amer., 28. 1917.
2. BELL H. S. Density currents as agents for transporting sediments. — Journ. Geol., 50. 1942.
3. CAROZZI A. „Turbidity currents“ et brèches multicolores du Purbeckien du Grand-Salève (Haute Savoie). — Arch. Sci., vol. 4, fasc. 3. Genève 1951.
4. FUCHS T. Studien über Fukoiden und Hieroglyphen. — Denkschr. Akad. Wiss. Mat.-Nat. Cl., B. 62. Wien 1895.
- 4a. GOŁĄB J. Rockslides and flows and their meaning for the tectonics of the Flysch of Podhale. — Bull. Soc. Sci. et Lettr. de Łódź, vol. V, 1, 1954.

5. GÖTZINGER G. & BECKER H. Zur Gliederung des Wienerwildflysches. — Jb. Geol. Bundesanst., B. 82. 1932.
6. GROSSHEIM V. A. O značenii i metodike izučeniya gieroglifov (na material Kavkazskogo fliša). — Izv. Akad. Nauk SSSR. 1946.
7. KREJCI-GRAF K. Beobachtung am Tropenstrand I-IV. — Senckenbergian B. 17. 1935.
8. KSIĄŻKIEWICZ M. Przekątne uwarstwienie niektórych skał fliszowych (Current bedding in Carpathian Flysch). — Roczn. P. T. Geol. (Ann. Soc. Géol. Pol.) 17. 1948.
9. — Uwarstwienie frakcyjne i laminowane we fliszu karpackim (Graded and laminated bedding in the Carpathian Flysch). — Ibid., vol. 22. 1952.
10. KUENEN PH. Turbidity current of high density. — Intern. Geol. Congr. Rep. 18th. Sess. London 1950.
11. — Properties of turbidity currents of high density. — Soc. Ec. Paleont. & Miner., Spec. Publ., No. 2. 1951.
12. — Paleogeographic significance of graded bedding and associated features. — Proc. Kgl. Nederl. Akad. Wetensch., Ser. B, 55. 1952.
13. KUENEN PH. H. & MIGLIORINI C. I. Turbidity currents as a cause of graded bedding. — Journ. Geol., 58, No. 2. 1950.
14. MIGLIORINI C. I. Dati a conferma della risedimentazione delle arenarie del macigno. — Atti Soc. Toscana Sci. Nat., Mem. vol. 58, ser. A. Pisa 1950.
15. NATLAND M. L. & KUENEN PH. H. Sedimentary history of the Ventura Basin, Cal., and the action of turbidity currents. — Soc. Ec. Paleont. & Miner., Spec. Publ., No. 2. 1951.
16. NORTHRUP J. Ocean-bottom photographs of the neritic and bathyal environment south of Cape Cod, Mass. — Bull. Geol. Soc. Amer., vol. 62, No. 12. 1951.
17. RICHTER R. Marken und Spuren in Hunsrück Schiefer. — Senckenbergian B. 23. 1941.
18. SCHUCHERT C. & DUNBAR C. O. Stratigraphy of Western Newfoundland. — Geol. Soc. Amer. Mem., vol. 1. 1934.
19. SHROCK R. R. Sequences in layered rocks. New York 1948.
20. WIESER T. Spostrzeżenia nad sedimentacją zlepieńców fliszu karpackiego (Some observations on the sedimentation of conglomerate in the Carpathian Flysch). — Acta Geol. Pol., vol. IV/3. 1954.
21. ZUBER R. Flisz i nafta. Lwów 1918.



Fot. 1

Typowe ślady wleczenia — Płazówka, $\times 0,2$



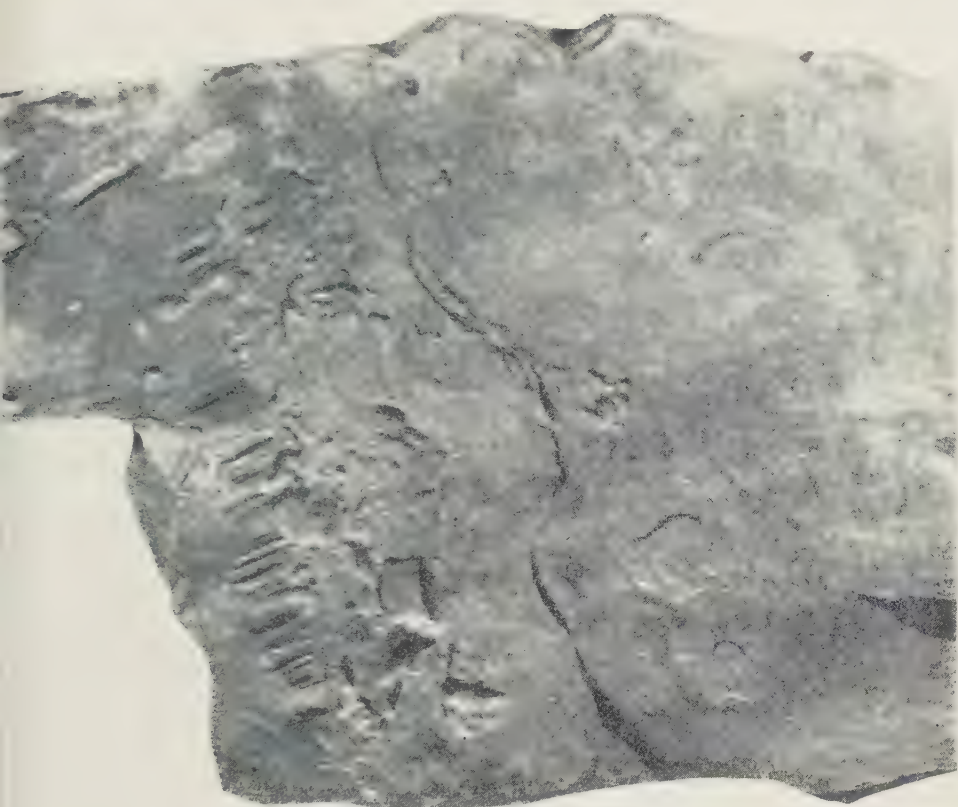
Fot. 2

Zakrzywione ślady wleczenia — Witów, $\times 0,5$

Fot. J. Malecki

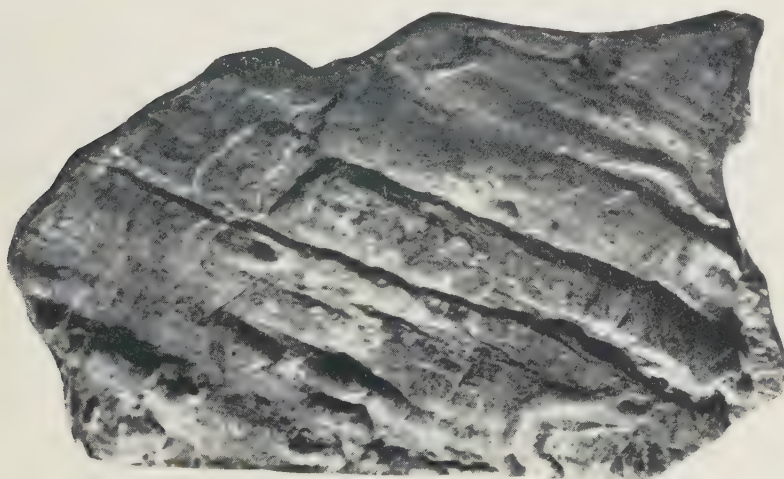


Odlew powierzchni piaskowca z pl. III, fot. 1
(pozytyw hieroglifu), $\times 0,4$



Fot. 1

Ślady wleczenia i okruchy łupkowe na spągu piaskowca krośnieńskiego — Besko
 $\times 0,4$



Fot. 2

Krzyżujący się system spękań na spągu piaskowca $\times 0,5$

Fot. J. Małecki



Okruchy łupkowe w zakończeniu śladów wleczenia — Płazówka
× 0,5

Fot. J. Malecki



Okruchy łupkowe w rynnie wleczeniowej ze śladami wleczenia — Płazówka
× 0.5

Fot. J. Małecki



Odcisk fragmentu łupkowego z wypełnieniem szczelin po niedoszłym procesie roz-
drabniania — Płazówka
× 0,33

Fot. J. Malecka



Spękania post-depozycyjne na spągu piaskowca — Płazówka

× 0,5

Fot. J. Matecki



Uskoki post-depozycyjne — Płazówka, $\times 0,5$

Przyczynki do znajomości miocenu okolic Krakowa

REŚĆ: Uwagi o genezie ciemnych wapieni — Fałd w piaskowcach dolnego tortonu —
Literatura cytowana

UWAGI O GENEZIE CIEMNYCH WAPIENI

W okolicach Krakowa iły miocenijskie wypełniają zagłębienia między
wzgórzami zbudowanymi z wapieni górnej jury. Morze miocenijskie, trans-
redując w dolnym tortonie, zalewało tutaj obszar o znacznych deniwela-
cjach. Pokrywa utworów kredowych była już wówczas w wielu miejscach
zarta przez erozję. Śladami niedawnych, potężnych zaburzeń tektonicz-
nych były strome zbocza obciętych uskokami zrębowych wzgórz juraj-
skich. Zbocza te zapewne w wielu miejscach były pokryte cienkimi pł-
kami wapieni słodkowodnych¹. W tych warunkach typowe osady lito-
alne morza dolnego tortonu, wykształcone jako okruchowe wapienie
strygowe, osadzały się jedynie w wąskim pasie, a tuż przy stromym,
kałystym brzegu sedymentowały iły (3)*. Materiał tworzący brzegi —
rawie wyłącznie wapienie jurajskie — dostawał się do powstającego osa-
u ilastego w postaci drobnych okruchów i większych otoczaków. Możemy
o obserwować w każdym niemal odsłonięciu kontaktu iłów miocenijskich
e składami starszymi, szczególnie na zboczach wzgórz zrębowych. War-
wa iłów z materiałów wapiennym ma zwykle kilka metrów grubości;
ryżej otoczaki wapieni trafiają się wyjątkowo.

Wspomniane okruchy i otoczaki pochodzą niewątpliwie z wapieni
górnej jury. Często nie mają one jednak charakterystycznej dla wapieni
usnej barwy; są ciemne, szare z odcieniem niebieskawym. Na pierwszy
zut oka przypominają ciemne wapienie, opisane z jury krakowskiej przez
t. Dzułyńskiego i W. Żabińskiego (2).

¹ Wiek utworów słodkowodnych, na podstawie znalezionych w nich ślimaków,
kreśla Łomnicki (7) jako pogranicze helwetu i tortonu.

* Liczby kursywą w nawiasach odsyłają do spisu literatury na końcu artykułu.

Otoczaki tego rodzaju znaleziono w Podgórzu, w przekopie kamieniołomu przy ul. Za Torem². Na wapieniu jurajskim (który prawdopodobnie należy do kimerydu, o czym według J. Samsonowicza (5) może świadczyć znaleziony tu przez E. Panowa (8) okaz *Aspidoceras longispinum* Sow.), spoczywa tu ławica wapienia słodkowodnego (fig. 1, 1). Gr

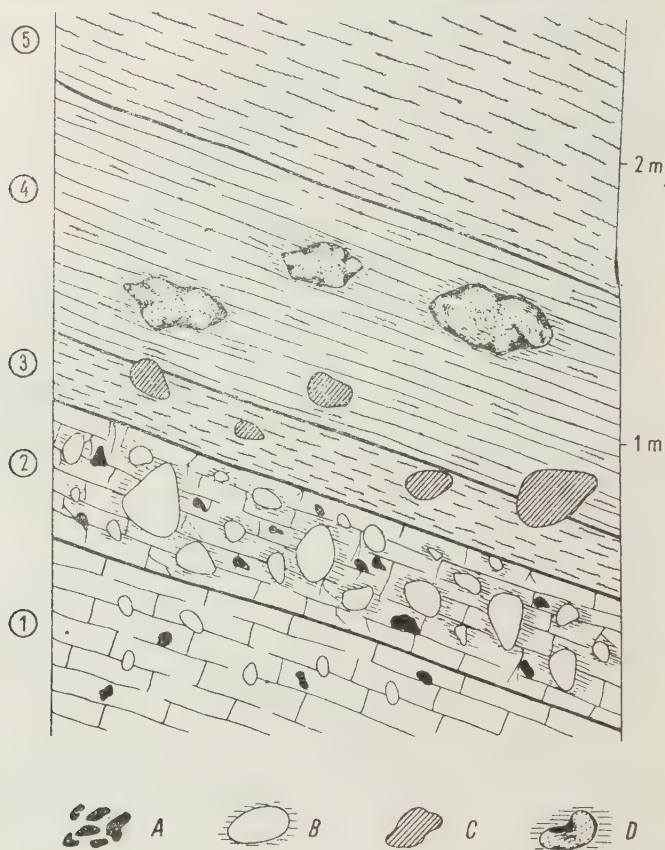


Fig. 1

Profil osadów miocenu w kamieniołomie w Podgórzu
1 wapień słodkowodny, 2 margiel, 3 iły oliwkowe, 4 iły i łupki szare, siwe i rdzawe, 5 iły szaro-zielone; A okruchy krzemieni, B otoczaki wapieni jurajskich, C otoczaki wapieni jurajskich z ciemną korą, D bloki skały marglistopiaszczystej

bość jej nie przekracza 2 m. Jest to skała zbita, barwy białej lub krwawej z odcieniem różowawym, nieraz wyraźnie brunatno smugowata. Zawiera niezbyt liczne okruchy wapieni jurajskich oraz buły krzemienia.

² W literaturze geologicznej kamieniołom ten jest znany pod nazwą kamieniołomu Libana.

nych. Powyżej leży warstwa marglu (2) z licznymi otoczakami i okruchami wapieni oraz krzemieni. Odnosi się wrażenie, że w skład tej skały wchodzi także fragmenty wapienia słodkowodnego, spojone wtórnie materiałem marglisto-ilastym. Nad marglem widać cienką warstwę oliwkowego łłu (3). W nim i w nadległych ilach i łupkach (4) barwy szarej, siwej rdzawej tkwią otoczaki wapieni jurajskich. Dokładniejszy ich opis zamieszczony jest poniżej. W górnej części ilów spotyka się duże, dochodzące do 40 cm. nieforemne bloki skały marglisto-piaszczystej, barwy jasnoszarej. Zawiera ona liczne fragmenty ciemnych, siwych łupków, zupełnie podobnych do tych, jakie otaczają bloki. Powyżej leżą ily szaro-zielone (5).

Wspomniane wyżej otoczaki wapieni, tkwiące wśród ilów, są wszystkim na powierzchni barwy dość ciemnej — szarej z odcieniem niebieskawym. Na przełomie widać, że zabarwienie takie ma jedynie zewnętrzna część otoczaka tworząc rodzaj ciemnej „kory”. Wyraźnie ciemniejsza jest również skała wokół rys i pęknięć przecinających głębsze partie otoczaka, komunikujących się z jego powierzchnią (fig. 2). Środek otoczaka jest zazwyczaj jasny, biały lub lekko szarawy i litologicznie niczym się nie różni od normalnych wapieni jurajskich. Jedynie niektóre mniejsze otoczaki są całe ściemniałe, choć zawsze ich środek zachowuje nieco jaśniejszą barwę. Regułą jest zresztą, że ciemnienie ustępuje stopniowo w kierunku od powierzchni ku środkowi otoczaka, tak że ustalenie granicy między ciemną korą a skałą niezmienioną może napotykać na trudności. Grubość kory waha się zwykle w granicach kilku do kilkunastu milimetrów, choć może czasem dochodzić do kilku centymetrów.



Fig. 2

Przekrój otoczaka wapienia tkwiącego w ilach
Części ściemniałe otoczaka — zakropkowane

Otoczaki wykazują w szlifie mikroskopowym charakterystyczną dla wapieni jurajskich strukturę gruzłową i pseudo-oolitową. W obrębie ciemnej kory widać liczne, drobne kryształy pirytu. Zazwyczaj są one nieładnie rozrzucone. Zagęszczenie ich obserwuje się w bezpośredniej bliskości powierzchni otoczaka, a także wokół szczelin i pęknięć. Większe skupienia pirytu znajdują się bezpośrednio na zewnętrznej granicy kory oraz w szczelinach i jamkach, często wypełnionych kalcytem. Rozmiary poszczególnych kryształów są niewielkie; wynoszą one zazwyczaj ok. 2 μ ,

większe zaś skupienia wyjątkowo dochodzą do 1 mm. Bliżej środka otoczaka ilość pyłków maleje, przy czym rozmiary ich również stają się mniejsze.

Opisane wyżej ciemne otoczaki nie są bynajmniej zjawiskiem wyjątkowym. Znajdowane są one dość często w spągowych partiach ił miocénskich w okolicach Krakowa; znane są np. z Kurdwanowa i Pychowic.

Ciemne zabarwienie otoczaków wapieni spowodowane jest zawartością drobnych ilości rozproszonego w skale pirytu. Sposób występowania ciemnych partii w postaci kory dowodzi, że zabarwienie pirytem jest niewątpliwie epigenetyczne. Mineralizacja musiała zachodzić już po obtoczeniu, a więc najprawdopodobniej już po dostaniu się materiału wapiennego do osadzających się iłów.

Jak wspomniano wyżej, zabarwione na ciemno otoczaki wapieni jurajskich, a właściwie ciemne ich kory są zupełnie podobne do opisanych przez St. Dżułyńskiego i W. Żabińskiego (2) ciemnych wapieni z jury krakowskiej. Sposób występowania pyłu kryształków pirytu, barwiącego je z jednej i drugiej strony, jest w obu przypadkach identyczny.

Wymienieni autorowie podają, że ciemne wapienie znajdują się zawsze w pobliżu dyslokacji uskokowych, a więc w strefie zaburzonej tektonicznie; w wielu przypadkach stwierdzili oni niewątpliwy związek mineralizacji ze spękaniem. Na podstawie związku mineralizacji z tektoniką pokredową autorowie określają jej wiek jako trzeciorzędowy. Opierając się na obserwacjach A. Gawła (4) St. Dżułyński i W. Żabiński wyrażają przypuszczenie, że piryty barwiący ciemne wapienie „utworzył się... pod wpływem wód lub wyziewów z siarkowodorem, przepływających... szczelinami”. Stwierdzają, że „nie wiadomo jednak dokładnie, skąd się wzięły roztwory z siarkowodorem, czy przywędrowały one od góry (z miocenu), czy z dołu“ (2, str. 189).

Wydaje się, że fakt znajdowania opisanych wyżej otoczaków w iłach miocénskich winien być wzięty pod uwagę jako dowód przemawiający za pierwszą alternatywą.

Jeżeli przyjmiemy, że pirytyzację spowodowały roztwory z siarkowodorem, to jest rzeczą bardzo prawdopodobną, że źródłem ich były mineralizacje zawierające siarkę, bardzo często spotykane w iłach miocénskich. Roztwory takie mogły szczególnie łatwo penetrować w głąb skał starszych w strefach zaburzonych tektonicznie, a więc silnie spękanych. W takich właśnie warunkach spotykane są ciemne wapienie w jurze. Prócz tego godnym uwagi jest fakt, że we wszystkich punktach opisanych przez St. Dżułyńskiego i W. Żabińskiego ciemne wapienie znajdowały się w niezbyt dużej odległości od przypuszczalnego stropu wapieni jurajskich w czasie dolnego tortonu, a nawet, jak np. w Witkowicach, bezpośrednio w ich po-

wierzchniowych partiach, oraz że we wszystkich przypadkach najprawdopodobniej wapienie te były bezpośrednio przykryte przez iły miocieńskie.

Grubość ciemnej kory na opisywanych otoczkach jest stosunkowo niewielka w porównaniu z grubością ciemnej strefy wokół szczelin w wapieniach jurajskich, dochodzącej do 1 m (2). Na pozór może to stanowić dowód przemawiający przeciw przypuszczeniu, że mineralizujące roztwory wsiąkały w dół z iłów miocieńskich. Należy jednak pamiętać, że poszczególne otoczki tkwiły w nieprzepuszczalnym prawie płaszczu iłów, gdy tymczasem szczeliny w strefie zaburzonej tektonicznie stanowiły dogodną drogę dla tych roztworów. Fakt, że pirytyzacja wapieni na kontakcie z iłami miocieńskimi nie jest regułą, tłumaczyć można właśnie tym uszczelniającym działaniem iłów. Być może też, że nie we wszystkich punktach tworzyły się owe mineralizujące roztwory, tym bardziej, że gipsy, choć pospolite w osadach miocenu, nie wszędzie się jednak znajdują.

Dowodem związku mineralizacji z iłami miocieńskimi może być także fakt znalezienia drobnych ilości pirytu w miocieńskim wapieniu słodkowodnym w Kostrzu i Pychowicach. W pierwszym z tych punktów pod 7-metrową warstwą iłów dolnego tortonu natrafiono na wapienie słodkowodne. Miały one tam charakter okrucowca, złożonego z fragmentów wapieni jurajskich i buł krzemiennych, spojonych materiałem wapiennym, miejscami marglistym. Litologicznie skała była zupełnie podobna do wapieni tego typu, znanych z innych punktów w okolicach Krakowa. W skale były widoczne już gołym okiem rzadkie, niewielkie skupienia pirytu. Pod mikroskopem widać, że większe z nich skupiają się w szczelinach wypełnionych kalcytem, tnących zarówno okrucy wapienia jurajskiego, jak i wapienne spoiwo, drobniejsze zaś rozrzucone są nieregularnie w skale lub towarzyszą drobniejszym pęknięciom.

FAŁD W PIASKOWCACH DOLNEGO TORTONU

Zagadnienie istnienia w obrębie Wyżyny Krakowskiej ruchów tektonicznych, zaburzających osady miocenu, było poruszane w literaturze geologicznej od dość dawna. Ze względu jednak na brak bezspornych dowodów świadczących o tego rodzaju ruchach, nie zostało ono do dzisiaj ostatecznie rozstrzygnięte. Dowodu takich zaburzeń dostarczyły ostatnio obserwacje piaskowców miocieńskich, odsłoniętych w głębokim wykopie w Pychowicach.

Wkładki piaskowców w iłach dolnego tortonu znane były od dawna, wyłącznie jednak z miejscowości położonych w odległości kilkunastu km od Krakowa. W bezpośrednim sąsiedztwie miasta, a mianowicie w Py-

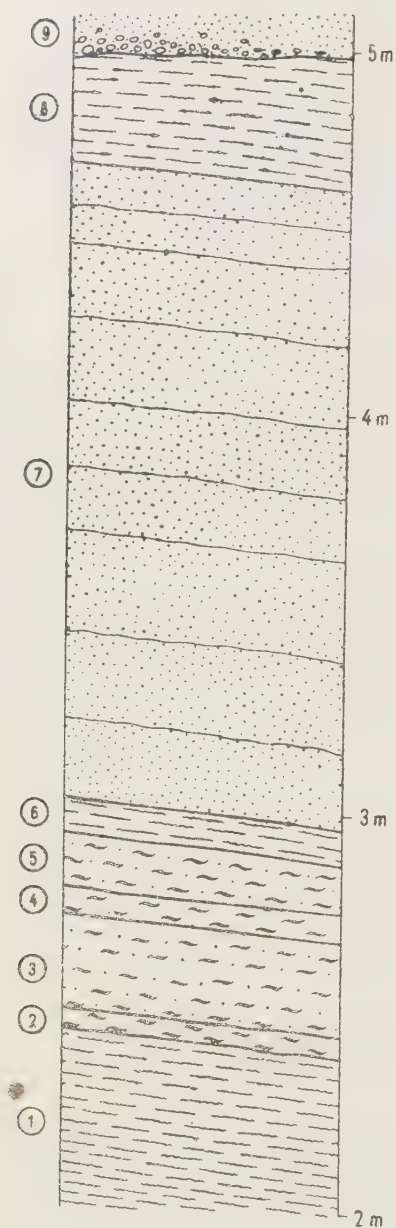


Fig. 3

Profil górnej części wykopu
w Pychowicach

- 1, 6, 8 iły; 2, 4 bentonit typowy;
3, 5 bentonit z ziarnami kwarcu;
7 piaskowiec; 9 żwiry i piaski
aluwialne

chowicach, Ludwik Kowalski znalazł (przypuszczalnie w latach między 1920 i 1930) ławicę piaskowca, który uznał za prawdopodobnie mioceni. Okaz przezebrany znajduje się w muzeum Zakładu Geologii Fizycznej AGH (dawnego Zakładu Geologii UJ). Około roku 1938 odsłonięcie to zostało odszukane przez A. Michałika (praca niepublikowana). Ławica piaskowca znajduje się u brzegu Wisły i według tego autora ma leżeć wprost na wapieniach jurajskich. Z tego też powodu ściśle określenie wieku piaskowca napotykało na trudności. Pierwszą drukowaną wzmiankę o tej skale, ograniczającą się zresztą do jednego zdania, znajdujemy w pracy A. Gawła (4).

Piaskowiec odsłonięty jest w dwóch punktach w pobliżu słupa km. 73, w samym korycie Wisły, tak że widoczny on jest tylko przy niskim stanie wody. Ławica zapada pod niewielkim kątem (ok. 5°) ku NNW.

Identyczny piaskowiec, należący prawdopodobnie do tej samej ławicy, został doskonale odsłonięty w głębokim wykopie, kilkadziesiąt metrów dalej ku SE. Wykop znajduje się między wałem a korytem Wisły, na zachodnim brzegu małej strugi, spływającej dolinką między Skałami Twardowskiego a wzgórzem pychowickim. W wykopie poniżej żwirów i piasków aluwialnych widać kompleks iłów miocenijskich do głębokości ok. 5 m. Wśród iłów tkwi ławica piaskowca, którą obserwować można na ścianie północnej, wschodniej i południowej (fig. 4).

Zamieszczony profil (fig. 3) znajduje się mniej więcej w połowie długości ścian wschodniej. Od dna wykopu do ok. 2,5 m sięgają iły szaro-zielonawe i wapniste

(1). Ponad nimi leży ławica bentonitu, grubości ok. 50 cm. Rozpoczyna się ona cienką warstwą bentonitu typowego, szaro-niebieskawego (2). Pod lupą widać, że zawiera on niekiedy, ale zrzadka, blaszki muskowitu. Po wysuszeniu zmniejsza znacznie swoją objętość, jest twardy i łupie się na ostrokrawędziste kawałki; kawałki te zanurzone w wodzie pęcznią i roz-

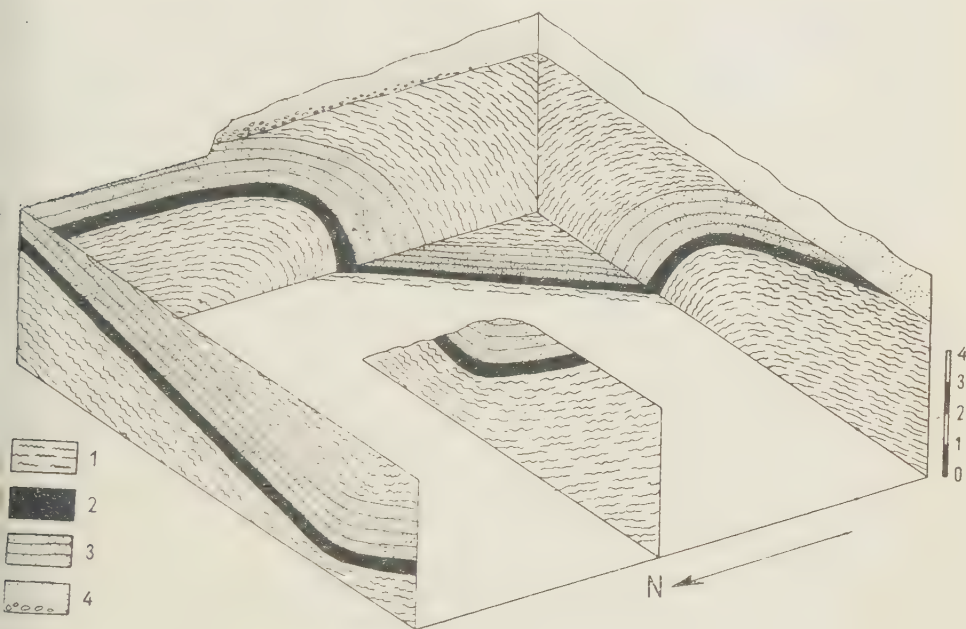


Fig. 4

Wykop w utworach dolnego tortonu w Puchowicach

1 iły, 2 bentonit, 3 piaskowiec, 4 żwiry i piaski aluwialne

plywają się dając rzadką masę płynną. Powyżej widać dwie warstwy (3 i 5) bentonitu odmiennego typu, przedzielone warstwą (4) analogiczną do opisanej powyżej (2). Bentonit z warstw 3 i 5 jest barwy jaśniejszej i odznacza się większą twardością. Na szarym, gruzelkowatym tle widać drobne, dość liczne blaszki biotytu, a pod lupą — rzadkie, nieobtoczone ziarna kwarcu. W wodzie okruchy tej skały nie rozplywają się całkowicie tworząc raczej zawiesinę drobnych fragmentów. Ponad bentonitem leży cienka warstwa zleпка piaszczystych szaro-zielonych iłów (6). Strop jej tworzy lokalny poziom wodonośny; sączą się stąd także bardzo słabe wycieki o specyficznym zapachu.

Powyżej rozpoczyna się ławica piaskowca (7), dochodząca do ok. 1,5 m grubości. Piaskowiec jest drobnziarnisty, jasny, szary z odcieniem seledynowym. Wietrzejąc nabiera zabarwienia brunatnawego i ciemniejsze. Na

przełamie widać na jasnym tle rozrzucone drobne ciemne punkciki, z których część jest niewątpliwie ziarnami glaukonitu. Piaskowiec jest wapienisty, dość twardy, choć łatwo rozsypujący się na powierzchni. Partie słabiej scementowane i bardziej rozsypliwe ułożone są równolegle, co powoduje smugowatość pewnych partii skały. W szlifie mikroskopowym widać, że ziarna kwarcu są niezbyt dobrze obtoczone (pl. I D), średnica zaś ich waha się zwykle ok. 0,3 mm. Mniej więcej 20% ziarn wykazuje faliste znikanie światła. Glaukonit występuje w postaci rozrzuconych rzadkich niewielkich ziarn. Poza tym obserwuje się blaszki biotyту i drobne skupienia pirytu. Czasem trafiają się fragmenty skorup, prawdopodobnie mięczaków, bardzo jednak pokruszone. Spoiwo skał jest wapienne, w znacznej części przekrystalizowane. Niektóre partie mają spoiwo bardziej ilaste.

Ponad ławicą piaskowca leżą iły szaro-zielonawe, niektóre brunatne zawierające cienkie spirytyzowane twory rurkowate, a także drobne rozrzucone skupienia kryształków pirytu (8). Powyżej widać żwiry i piaszki aluwialne (9).

Z iłów pobrano kilka próbek, z których mikrofaunę oznaczyła mgr E. Łuczowska, za co jej na tym miejscu dziękuję. Trzy próbki (P1, P3, P4) pochodzą z iłów podścielających bentonit (1), jedna (P7) — z warstwy iłów między bentonitem a piaskowcem (6) i jedna (P5) — z iłów nadścielających ławicę piaskowca (8).

Próbka P7 zawierała jedynie nieliczne, obtoczone szczątki otwornic. Zespoły z próbek P1, P3 i P4 były podobne. Z próbki P3 zostały oznaczone:

<i>Bigennerina nodosaria</i> d'Orb.		<i>G. rotundata</i> Reuss	
<i>Bulinina inflata</i> Sequenza		<i>Globigerina bulloides</i> d'Orb.	
<i>B. pupoides</i> d'Orb.	○	<i>Globigerinoides triloba</i> (Reuss)	
<i>Candeina biloba</i> Jedl.	△	<i>Globorotalia scitula</i> (Brady)	
<i>Candorbulina universa</i> Jedl.	*	<i>Globulina gibba</i> (d'Orb.)	
<i>Cassidulina oblonga</i> Reuss	○	<i>Gyroidina neosoldanii</i> Brotzen	
<i>Cibicides boueanus</i> (d'Orb.)	○	<i>Karrerella bradyi</i> Cushman	
<i>C. lobatulus</i> (Walker & Jacob)		<i>K. gaudryinoides</i> Fornasini	
<i>C. pseudoungerianus</i> (Cushman)	○	<i>K. siphonella</i> Reuss	
<i>C. pseudoungerianus</i> (Cushman) var.	○	<i>Lagena striata</i> d'Orb.	
<i>C. ungerianus</i> (d'Orb.)	○	<i>Nodosaria ambigua</i> Neugeb.	
<i>Cibicides</i> sp.		<i>Nonion pompilioides</i> (Fichtel & Moll)	
<i>Dentalina roemeri</i> Neugeboren		<i>N. umbilicatum</i> (Fichtel & Moll)	
<i>Dimorphina variabilis</i> Neugeboren	□	<i>Planulina wuellerstorfi</i> (Schwager)	
<i>Ehrenbergina</i> sp.		<i>Pullenia quinqueloba</i> (Reuss)	
<i>Eponides exiguus</i> (Brady)		<i>P. sphaeroides</i> (d'Orb.)	
<i>E. praecinctus</i> (Karrer)		<i>Robulus crassus</i> d'Orb.	
<i>Glandulina occidentalis</i> Cushman	△	<i>R. cultratus</i> d'Orb.	

Legenda: * bardzo częsta, □ częsta, ○ rzadka, △ bardzo rzadka.

<i>R. echinatus</i> d'Orb.	○	<i>Sphaeroidina bulloides</i> d'Orb.	○
<i>R. inornatus</i> d'Orb.	△	<i>Uvigerina costata</i> Bieda	□
<i>R. serpens</i> Sequenza	△	<i>U. aff. laubeana</i> Schubert	△
<i>R. sp. aff. cassis</i> d'Orb.	△	<i>U. pygmaea</i> d'Orb.	△
<i>Robulus</i> sp.	△		

Z próbki P4 zostały oznaczone:

<i>Bulimina inflata</i> Sequenza	△	<i>Gyroidina neosoldanii</i> Brotzen	○
<i>B. ovata</i> d'Orb.	○	<i>Haplophragmoides</i> sp.	○
<i>B. pupoides</i> d'Orb.	○	<i>Karreriella bradyi</i> Cushman	○
<i>Candeina biloba</i> Jedl.	○	<i>K. gaudryinoides</i> Fornasini	*
<i>Candorbulina universa</i> Jedl.	△	<i>Karreriella</i> sp.	
<i>Cibicides pseudoungerianus</i> (Cush.)		<i>Lagena striata</i> d'Orb.	○
var.	○	<i>Nonion pompilioides</i> (Fichtel & Moll)	□
<i>C. ungerianus</i> (d'Orb.)	△	<i>N. umbilicatum</i> (Fichtel & Moll)	○
<i>Dimorphina variabilis</i> Neugeboren	□	<i>Nodosaria ambigua</i> Neugeboren	△
<i>Eponides praecinctus</i> (Karrer)	□	<i>Planulina wuellerstorfi</i> (Schwager)	△
<i>Glandulina laevigata</i> d'Orb.	△	<i>Saracenaria triangularis</i> d'Orb.	△
<i>Globigerina bulloides</i> d'Orb.	○	<i>Sphaeroidina bulloides</i> d'Orb.	○
<i>Globigerinoides triloba</i> (Reuss)	○	<i>Uvigerina costata</i> Bieda	*
<i>Globorotalia scitula</i> (Brady)	○	<i>U. aff. laubeana</i> Schubert	△

Według mgra E. Łuczowskiej, zespoły z próbek P1, P3 i P4, na podstawie obecności form: *Planulina wuellerstorfi* (Schwager), *Dimorphina variabilis* Neugeboren, *Robulus echinatus* d'Orb., można porównać z opisaną przez Vašíčka (9) fauną dolno-tortonską Moraw. U nas spotykane są podobne zespoły w spągowych utworach miocénskich, odpowiadających dolnemu tortonowi, które leżą na nasunięciu fliszowym w okolicy Bochni. Zespół próbki P5 różni się wprawdzie nieco od poprzednich brakiem trzech wyżej wymienionych form oraz obecnością kilku takich form, które w poprzednich zespołach nie występują, niemniej jednak różnic zasadniczych nie wykazuje.

Położenie ławicy piaskowca wśród ilów dolnego tortonu wiek jego określa ostatecznie. Jeżeli piaskowce odsłonięte w wykopie należą do tej samej ławicy, co odsłonięte nieco dalej ku zachodowi w korycie Wisły, gdzie mają leżeć bezpośrednio na wapieniach jurajskich, to fakt ten świadczyć może o przekraczającym ułożeniu osadów miocenu.

W pd.-wschodniej części wykopu (fig. 4 i 5) obserwować można silne przegięcie ku dołowi opisywanej ławicy piaskowca. Wydaje się, że jest ono skrzydłem fałdu. Kierunek osi tego fałdu wynosi ok. 35°, upady w nim dochodzą do 75°. Na wschodniej ścianie widać, że ławica na skrzydle fałdu wznosi się ku N pod niewielkim kątem zmieniając jednocześnie kierunek biegu (80/5 S). Podobną sytuację dostrzega się na ścianie południowej (20/15 E). W pn.-zachodniej części wykopu, a także w jego partii środ-

kowej widać wygięcie ławicy w asymetryczną nieco synklinę o bardzo stromym skrzydle zachodnim (160/16 W, 150/30 NE). W środkowej części wykopu synklina spłyca się, początkowo dość łagodnie, a w pobliżu czoła przegięcia gwałtownie wychodzi w powietrze (pomiar w osi synkliny 80/25 N). Jak wynika więc z obserwacji, rozpatrywana struktura składa się z dwóch elementów, których osi przecinają się pod kątem ok. 115° .

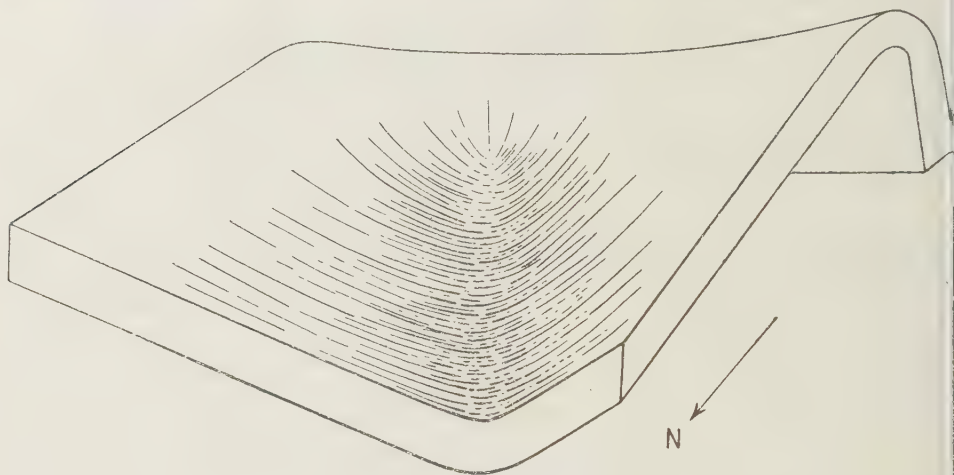


Fig. 5

Synklina i siodło z wykopu w Pychowicach

Na podstawie dotychczasowych badań (1) można sądzić, że w południowej części Wyżyny Krakowskiej musiały zachodzić poważne zaburzenia tektoniczne o charakterze deformacji nieciągłych, w których wyniku powstał szereg zrębowych wzgórz jurajskich, oddzielonych mniejszymi lub większymi zapadliskami. Wiek tych uskoków określa St. Dżułyński (1) jako trzeciorzędowy, ściślej pokredowy, a przeddolno-tortonński. Mają one charakter uskoków grawitacyjnych, schodowych.

W okolicy Krakowa nie stwierdzono faktów, które by świadczyły o poziomym przesuwaniu się względem siebie tektonicznych bloków wzgórz jurajskich, ani przed dolnym tortonem, ani też w okresie późniejszym (1). Jedynym przykładem niewielkich zresztą przesunięć poziomych jest ściana w kamieniołomie Batki, we wschodniej części Krzemionek, opisana przez Kuźniara i Żelechowskiego (6). Autorowie ci widzieli tam na zachowanej do dzisiaj ścianie poziome przesunięcia poszczególnych ławic wapienia jurajskiego. Każda wyższa ławica wystawała nad niższą tworząc rodzaj okapu. Przesunięcia były rzędu kilku do kilkunastu centymetrów. St. Dżułyński (1), negując istnienie w tym miejscu przesunięć, tłumaczył

powstanie owych okapów nierównomiernym wybraniem skały wzdłuż kilku różnych, równoległych do siebie i blisko położonych powierzchni ciosu. Bliższe obserwacje ścian tej części kamieniołomu zmuszają do powrócenia do zapatrywań Kuźniara i Żelechowskiego. Na przeciwległej bowiem ścianie zaznaczają się również analogiczne przesunięcia, tak że jest ona jakby negatywem opisywanej poprzednio. Podobne przesunięcia widoczne są także na trzeciej ścianie, prostopadłej do poprzednich. Na podstawie obserwacji można ustalić, że ławice wykonały ruch ku N, z niewielkim odchyleniem ku E. Jest rzeczą charakterystyczną, że w pozostałych częściach kamieniołomu na doskonale odsłoniętych ścianach nie widać żadnych śladów poziomego ruchu ławic. W całym kamieniołomie wapienie leżą niemal zupełnie poziomo. Część kamieniołomu, w której obserwuje się wspomniane przesunięcia, znajduje się w narożu wzgórza, wysuniętym ku NE. Można by przyjąć, że poszczególne ławice w tym narożu, oddzielone od reszty wzgórza wielkimi płaszczyznami ciosowymi, wykonały, nie naciskane od SW, ruch w stronę, w którą mogły się swobodnie przesunąć nie napotykając na opór reszty masy wapieni zrębowego wzgórza Krzemionek. Wydaje się, że w opisywanym przypadku przesunięcia nie były spowodowane naciskami bocznymi, a przyczyną ich były inne, bliżej nieokreślone siły. Schodkowate ułożenie ławic pozwala przypuszczać, że mogły to być jakieś gwałtowne wstrząsy skorupy ziemskiej.

W związku z brakiem dowodów większych poziomych przesunięć bloków jurajskich, spowodowanych naciskami bocznymi, trudno jest przyjąć, że deformacje piaskowca mioceńskiego, obserwowane w wykopie w Pychowicach, były wynikiem tego rodzaju ruchów. Należy raczej sądzić, że ławica piaskowca została powyginana wskutek odnowienia się uskoków przedtortonskich. Przemawia za tym zgodność kierunków osi synkliny i fałdu z kierunkiem dyslokacji obcinających od NW i SE zrąb Skał Twardowskiego, tym bardziej, że na ich skrzyżowaniu lub w jego bezpośredniej bliskości leży właśnie opisywany wykop (fig. 6 na odwrocie).

Jest rzeczą godną uwagi, że ility sąsiadujące ze zdeformowaną ławicą piaskowca nie wykazują prawie żadnych śladów zaburzeń tektonicznych. Piaskowce mioceńskie występują rzadko w okolicach Krakowa. Być może, że ruchy, które zachodziły w czasie dolnego tortonu lub później, były na tym obszarze zjawiskiem bardziej rozpowszechnionym, brak zaś większej ilości dowodów ich istnienia należałoby tłumaczyć specyficznym charakterem ilastych osadów mioceńskich, w których nie zostały one w sposób widoczny zarejestrowane. Wydaje się jednak, że, w stosunku do przedtortonskich, ruchy późniejsze odegrały rolę podrzędną.

Zakład Geologii Fizycznej AGH (dawniej UJ)

Kraków, w październiku 1954 r.

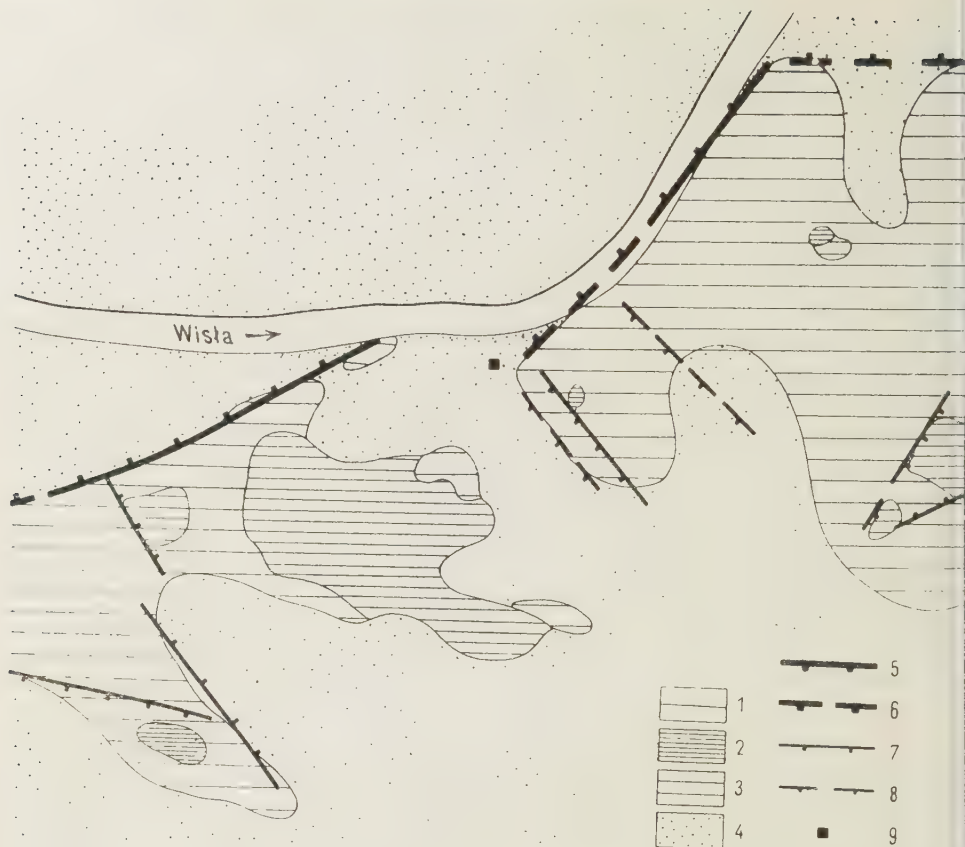


Fig. 6

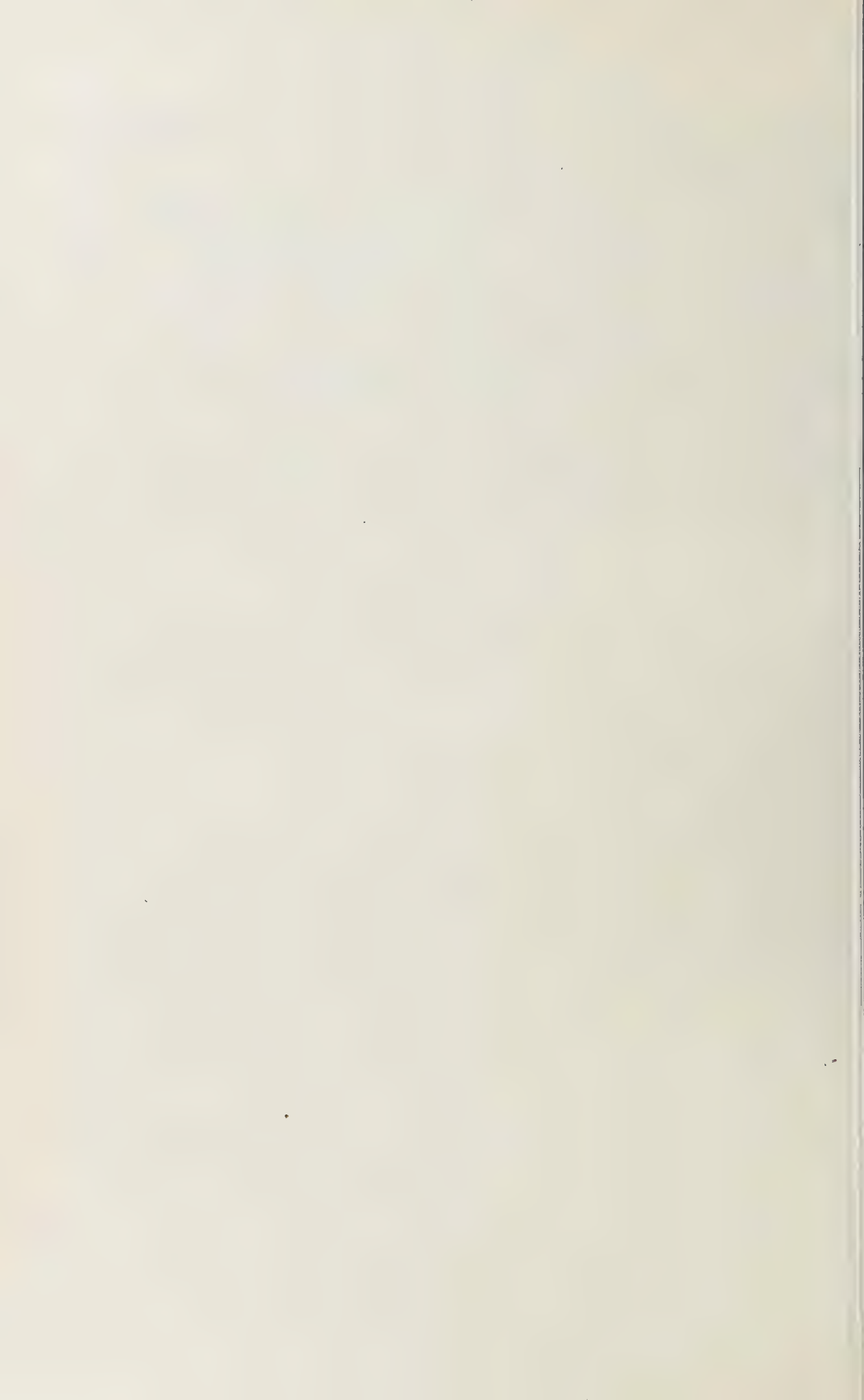
Położenie wykopu w Puchowicach

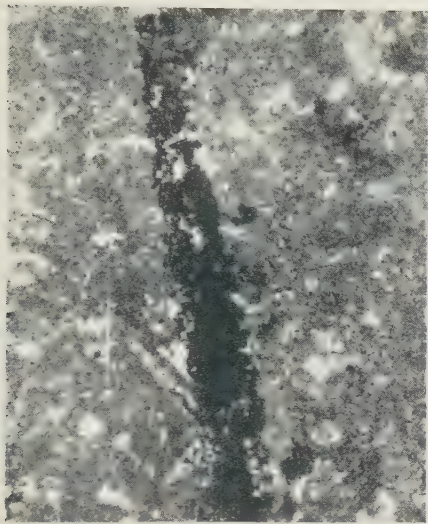
1 wapień górnej jury, 2 turon, 3 senon, 4 miocen, 5 stwierdzone uskoki o dużym zrzucie, 6 prawdopodobne uskoki o dużym zrzucie, 7 stwierdzone uskoki o małym zrzucie, 8 prawdopodobne uskoki o małym zrzucie, 9 wykop w Puchowicach

LITERATURA CYTOWANA

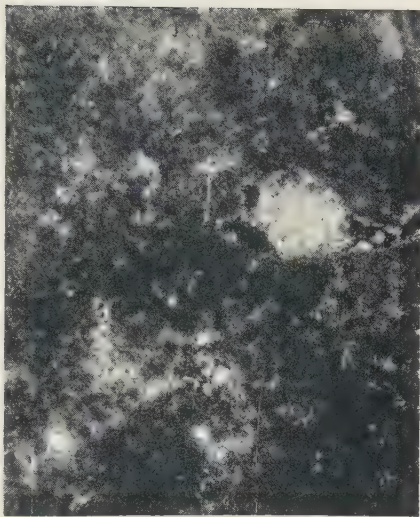
1. DZUŁYŃSKI ST. Tektonika pd. części Wyżyny Krakowskiej (Tectonics of the southern part of the Cracovian Upland). — Acta Geol. Pol., vol. III/3. Warszawa 1953.
2. DZUŁYŃSKI ST. & ŻABIŃSKI W. Ciemne wapień w jurze krakowskiej (Dark limestones in the Cracovian Jurassic sediments). — Ibid., vol. IV/1. Warszawa 1954.
3. FRIEDBERG W. Młodszy miocen Galicji Zachodniej i jego fauna. — Sprawozd. Kom. Fizj. A. U. Kraków 1907.

4. GAWEL A. Dolomityzacja w wapieniach jurajskich okolic Krakowa (*Dolomitisation des calcaires jurassiques des environs de Cracovie*). — Roczn. P.T.G. (Ann. Soc. Géol. Pol.). 1948.
 5. KSIĄŻKIEWICZ M. & SAMSONOWICZ J. Zarys geologii Polski. Warszawa 1952.
 6. KUŹNIAR W. & ŻELECHOWSKI W. Materiały do poznania stosunku Karpat do ich przedgórze na przestrzeni od Morawskiej Ostrawy po Kraków. — Przegl. Gór.-Hutn. 1927.
 7. ŁOMNICKI A. M. Materiały do znajomości miocennego utworu słodkowodnego (*Zur Kenntnis der miocänen Süßwasserbildungen in der Umgegend von Krakau*). — Kosmos 1902.
 8. PANOW E. *Aspidoceras longispinum* Sow. z okolic Krakowa (*Aspidoceras longispinum* Sow. aux environs de Cracovie). — Sprawozd. Kom. Fizj. P.A.U. Kraków 1930.
 9. VAŠIČEK M. Současný stav mikrostratigrafického výzkumu miocenních sedimentů ve vněkarpatске neogenní pánvi na Moravě. — Sborn. Ústř. úst. geol. ČSR, odd. pal. sv. 18. Praha 1951.
-

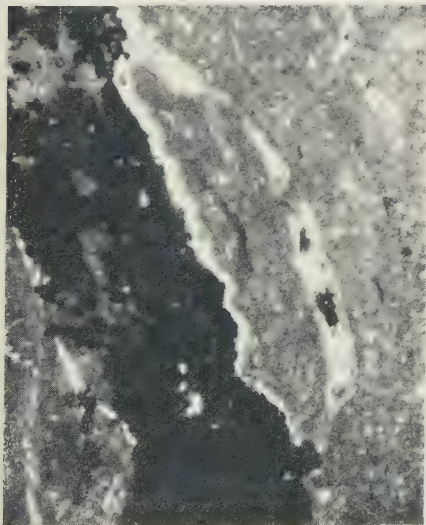




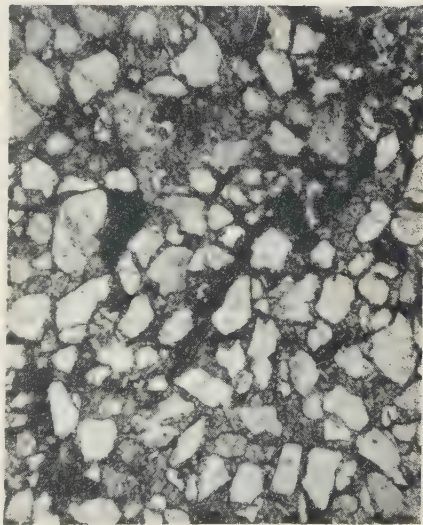
A



B



C



D

Fot. 1

- 4 — Fragment ciemnej kory otoczaka wapienia jurajskiego, tkwiącego w iłach miocenijskich (Podgórze). Szczelina wypełniona pirytem. Drobne kryształki pirytu rozrzucone w skale ca $\times 15$
- 3 — Fragment ciemnej kory otoczaka wapienia jurajskiego, tkwiącego w iłach miocenijskich (Podgórze). Drobny pył kryształków pirytu rozrzucony w skale ca $\times 60$
- 2 — Szczelina wypełniona pirytem w wapieniu słodkowodnym z Kostrza ca $\times 15$
- 1 — Piaskowiec dolno-tortoiński z Pychowic. W środku ciemne skupienia pirytu ca $\times 15$



Fot. 1

Przebieg na wschodniej ścianie wykopu w Pychowicach
Ławica piaskowca obwiedziona liniami przerywanymi



Fot. 2

Synklina na północnej ścianie wykopu w Pychowicach
Ławica piaskowca obwiedziona liniami przerywanymi

BRONISŁAW HALICKI

O przebiegu jednostek reglowych w dorzeczu Suchej Wody w Tatrach

TREŚĆ: Opis terenu — Zagadnienie budowy północnego brzegu Tatr w świetle analizy strukturalnej Czerwonej Przełęczy — Wnioski — Literatura cytowana

OPIS TERENU

Brak nowszej mapy geologicznej sprawił, że pochodzące sprzed kilkudziesięciu lat zdjęcie Uhliga stanowiło i dziś jeszcze, niestety, stanowi jedyny podstawowy materiał kartograficzny dla geologa interesującego się zagadnieniami budowy masywu tatrzańskiego. Z tym związany jest zapewne brak zainteresowań badaczy dla obszaru dorzeczy Suchej Wody — Pańszczycy, gdzie według tej mapy mają występować jedynie utwory morenowe lodowców plejstocénskich.

Podczas kilku wycieczek, jakie odbyłem w latach powojennych na zalesionym terenie wspomnianych dolin, wyszło na jaw, że obszar ten nie jest pozbawiony całkowicie odsłoneń skał starszych, głazowiska zaś morenowe stanowią w wielu miejscach cienką jedynie, powierzchniową powłokę (por. fig. 1).

Od zachodu teren, o którym mowa, graniczy z terenem objętym przez nowoczesne zdjęcie geologiczne Goetla i Sokołowskiego (4)*. Wschodnią granicę swego zdjęcia oparli ci autorzy o zwarty pas czwartorzędu przedstawiony na mapie Uhliga. Jak się okazało, już w tym pasie granicznym dadzą się wprowadzić uzupełnienia w zakresie wychodni skał reglowych.

Jeszcze w obrębie terenu skartowanego przez Goetla i Sokołowskiego natknąłem się na spory klin retu, kontaktujący od zachodu z liasem, od wschodu zaś z rozwleczonym materiałem morenowym, spływającym do doliny Olczyskiej z przyległego działu wód Suchej Wody. Klin ten uwydatnia się dość wyraźnie w morfologii terenu, tworzy bowiem grzędę z rzucającą się w oczy turniczką, która wznosi się w odległości kilkudziesię-

* Liczby *kursywą* w nawiasach odsyłają do spisu literatury na końcu artykułu.

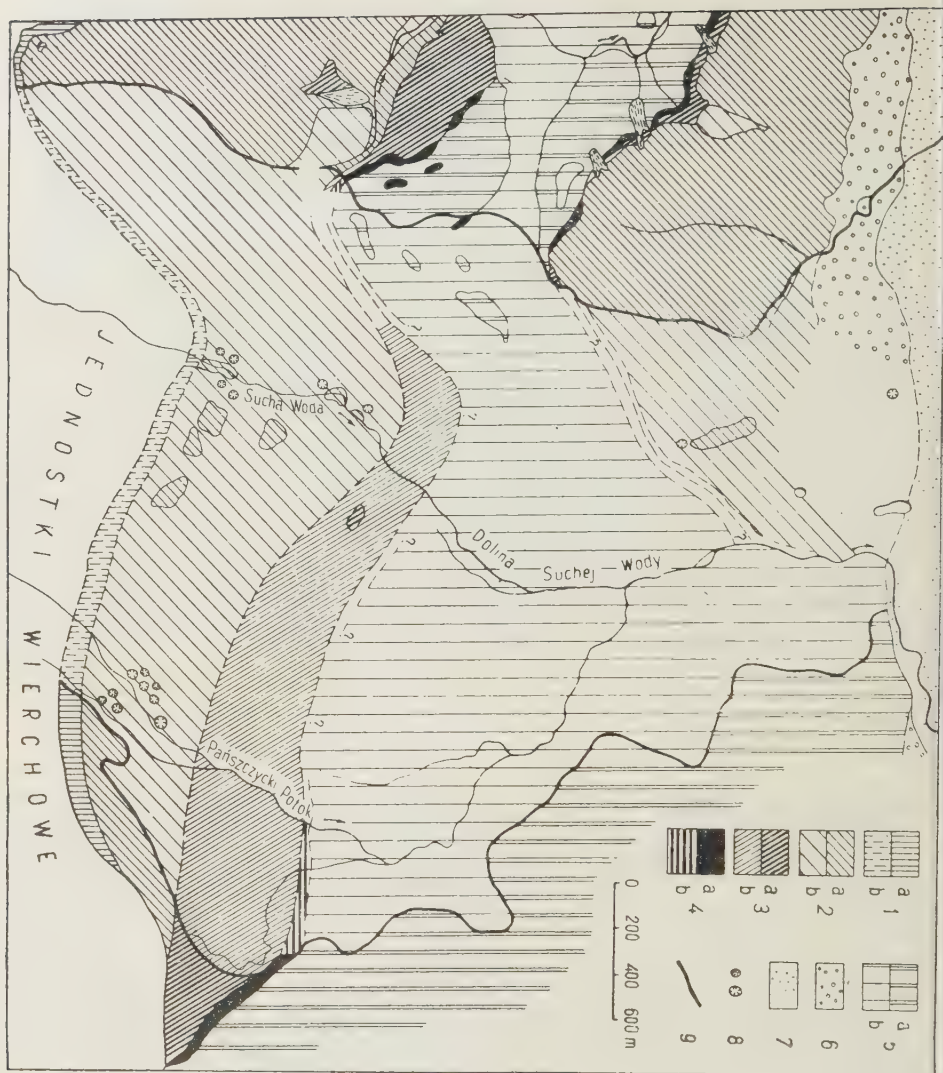


Fig. 1

Przebieg jednostek reglowych w dorzeczu Suchej Wody — Pańszczyca
 1 wersen, 2 trias środkowy, 3 kajper, 4 retyk, 5 lias dolny, 6 eocen: zlepienie i wapienie numulitowe, 7 eocen: flisz podhalański, 8 leje krasowe, 9 granica wschodnia zdjęcia Goetla i Sokołowskiego, granica zachodnia odsłoniętego reglowego podłoża według mapy Uhliga (częściowo poprawiona); a skały odsłonięte, b skały pod powłoką czwartorzędową

sieciu m na W od drogi jezdnej, wiodącej z hali Olczyskiej (od wywierzy-ska) na halę Skupniową (w pobliżu punktu, w którym droga rozpoczyna trawersowanie blokowiska granitowego; na mapach tej drogi brak). Ret wykształcony jest w postaci typowych sinawo-szarych wapieni z dość obfi-

tą fauną (m.i. *Terebratula gregaria*) oraz czarnych łupków tworzących wkładki wśród ławic wapiennych. Wspomniany klin retu stanowi jeszcze jedną ilustrację wtórnych zafałdowań, występujących w obrębie synklinalnych mas liasu w dolinie Olczyskiej.

Wysoki dział wód między dolinami Olczyską a Suchą Wodą, uważany dotychczas za potężną lewobrzeżną morenę Suchej Wody, bynajmniej nią nie jest. Na sporym odcinku zachodniego zbocza grzbietu wododzielnego widać w wykrotach łupki dolno-liasowe, które uchodziły uwadze geologów, zapewne dzięki gęstemu zalesieniu terenu. W szczególności odsłaniają się one zaraz poniżej warstwic 1 300 przy drodze, która prowadzi od punktu 1 352 ¹ na grzbiecie wododzielnym ku Hali Skupniowej. Z tych samych łupków składa się spory garb, tworzący południowe zbocze siodła, przez które odbyła się druga transfluencja lodowca Suchej Wody do doliny Olczyskiej (pierwsza dokonała się, jak wiadomo, przez Halę Królową Niżnią). Liczne dalsze drobne odsłonięcia liasu na bardziej stromych zboczach w obrębie samego blokowiska transfluencyjnego świadczą o małej miąższości materiału granitowego w górnych partiach głazowego jezora. W tych okolicznościach można stwierdzić, że dział wód między dolinami Olczyską a Suchą Wodą jest działem preglacjalnym i bynajmniej nie powstał dopiero w plejstocenie wskutek usypania lewobrzeżnej moreny amfiteatru Toporowych Stawów, jak sądził Gadomski (3).

Kilkaset metrów na pn.-wschód od Hali Skupniowej wynurza się spod materiałów akumulacji lodowcowej spory grzbiecik, zbudowany z wapieni i dolomitów środkowego triasu, które wypada zaliczyć do dygitacji Krokwi. Ciągnie się on na przestrzeni około 400 m wzdłuż drogi leśnej prowadzącej z leśniczówki Brzeziny na Kotlinowy Wierch i Halę Skupniową, u stóp lewej zewnętrznej moreny Toporowych Stawów (po jej stronie zachodniej).

Pierwsze odsłonięcie jasnoszarego brekcegowatego dolomitu występuje tuż powyżej przecięcia się tej drogi ze szlakiem turystycznym, prowadzącym do Morskiego Oka przez Waksmundzką Polanę. Około 200 m powyżej tego punktu odsłaniają się ciemniejsze szare wapienie o gładkiej powierzchni. Druga droga leśna, równoległa do poprzedniej, prowadząca po zachodniej stronie triasowego grzbieciku, zasypała jest na sporym odcinku wapienno-dolomitowym piargiem, a w kilku miejscach odsłania skałę in situ. Południowe zakończenie grzbieciku tworzą ostre skałki, które stanowią równocześnie jego kulminację. Morena boczna Toporowych Stawów jest w tym punkcie o 10-15 m niższa niż skałki i jest wyraźnie do nich przyparta. Najprawdopodobniej mamy tu do czynienia z dalszym cią-

¹ Wszystkie cytowane koty podaje według mapy fotogrametrycznej Tatr w skali 1 : 20 000.

giem grzbietu wododzielnego, ciągnącego się bez przerw od Karczmiska Powyżej skałek, w ich przedłużeniu ku S, bezpośrednich odsłoneń skał podłoża nie napotkałem. Na ich obecność pod niegrubą powłoką morenową wskazuje jednak typowy lej krasowy sporych rozmiarów, położony w odległości kilkudziesięciu m od skałek.

W pobliżu opisanego grzbieciku środkowo-triasowego Uhlig znacząca na swej mapie drobną plamkę „wapienia i zlepieńca numulitowego“ (21). Nie potrafiłem ustalić, czy to jest pomyłka Uhliga, czy też napotkał on niedaleko tego miejsca inne odsłonięcie, w którym miał istotnie eocen. O możliwości występowania wapieni eoceńskich w odległości około 600 m na N od pierwszych odsłoneń triasu świadczy inny lej krasowy, znajdujący się tuż przy skrzyżowaniu dróg: poprzednio wspomnianej z Brzezi i drogi jezdnej Toporowa Cyrła — Toporowy Staw Niżni. Jak wiadomo eocen na E od doliny Olczyńskiej obfituje w zjawiska krasowe, natomiast tak daleki zasięg ku N wapieni i dolomitów środkowego triasu bez eocenijskiego przykrycia wydaje się mniej prawdopodobny.

Nie mniejsza liczba odsłoneń występuje na wschodnim zboczu doliny Suchej Wody i w dnie jej potoku.

Czerwone łupki werfenu, odsłaniające się w pobliżu turbiny „Murowańca“ poniżej Hali Gąsienicowej, są ostatnim znanym punktem wychodni skał wierzchowego autochtonu w łóżysku Suchej Wody. Na N od ścieżki wiodącej na Dubrowiska mamy jeszcze na zboczu sporą skałę wierzchowego środkowego triasu, poza którą cały grzbiet Skoruśniaka figurujący na mapach geologicznych jako obszar akumulacji lodowcowej. Stan faktyczny jednak dowodzi czegoś wręcz przeciwnego.

W odległości 500 m w linii powietrznej od punktu 1 348 nad Suchą Wodą pojawiają się pierwsze odsłonięcia skał podłoża w potoku. Na przestrzeni około 20 m potok podcina tu na prawym brzegu zbite drobnoziarniste piaskowce kwarcytowe, obok których widoczne są maziste czerwone łupki. Płytki zalesiony żleb, który w tym miejscu rozcina prawe zbocze doliny, zawiera w swym stożku napływowym dość liczne okruchy tych samych łupków. Możliwe, że jest on formą strukturalną, związaną z pasem łupkowym przecinającym w poprzek dolinę. Po kilkunastu metrach kwarcyty ustępują miejsca typowym wapieniom i dolomitom środkowego triasu, z których zbudowane są cokoły najniższych tarasów na obu brzegach potoku.

Nie ulega wątpliwości, że odsłonięcia te rozpoczynają przekrój skał reglowych należących do dygitacji Sucho Wierchu. Wprawdzie nie znamy pełnej miąższości kwarcytowo-łupkowego werfenu, można wszakże na podstawie analogii przypuszczać, że i tu, podobnie jak w całym pasie reglowym, nie jest ona zbyt wielka. Tym samym należy wnioskować, że na przestrzeni między środkowo-triasową skałą Dubrawisk a opisanym

odsłonięciami zbocza doliny Suchej Wody są zbudowane ze skał wierchowych. Stromość prawego zbocza, opadającego około 100-metrowym progiem w kierunku dna doliny, przemawia za tym, że tworzą je skały bardziej odporne na erozję i denudację zboczową, niż luźne zwały morenowe. Staranne przejrzanie pod tym kątem widzenia drobnych wcięć i wykroćców na omawianym odcinku może dać wyniki pozytywne.

Prawdopodobieństwo to wydaje się o tyle uzasadnione, że tuż za pierwszymi odsłonięciami środkowego triasu, widocznymi w potoku, cały pd.-wschodni stok doliny składa się z tych skał. Sięgają one do szczytowych partii grzbietu, łączącego Dubrawiska ze Skoruśniakiem, i na polanie z kotą 1 487 tworzą na jej kulminacji niewielkie skałki (około 200 m nad odsłonięciami w potoku).

Powracając do odsłonięć na dnie doliny należy dodać, że na obu brzegach Suchej Wody rozwinęły się w wapieniach leje krasowe. Niektóre spośród nich dochodzą do wielkich rozmiarów i kilkumetrowej głębokości. Częściowo wypełnione są one głazami granitowymi, w kilku widoczna jest skała *in situ*.

Odsłonięcia w potoku ciągną się prawie bez przerw na przestrzeni kilkudziesięciu m, po czym następuje przerwa mniej więcej 400-metrowa. W połowie przerwy występuje na prawym zboczu wysoka zerwa skalna, utworzona przez te same wapienie i dolomity środkowego triasu. Podnóże jej sięga w pobliże starej drogi leśnej, wiodącej dnem doliny ku polanie Psia Trawka.

W łożysku Suchej Wody skały, o których mowa, pojawiają się powtórnie w pierwszym z trzech ostro zarysowanych zakrętów, gdzie potok wcina się w nie do głębokości kilku metrów tworząc wąski przełom (nieco w lewo od litery S napisu „Sucha Woda“ na mapie 1 : 20 000)². Na następnym zakręcie trias środkowy odsłania się w krawędzi lewobrzeżnego tarasu dennego pomiędzy obecną drogą jezdnią a łożyskiem potoku. I tu wytworzyło się na dnie doliny parę lejów krasowych. Poniżej drugiego zakrętu Suchej Wody odsłonięcia się kończą.

W południowej części zbocza Stólni powstało w r. 1950 drobne osuwisko, które odsłoniło zielonkawę łupki kajprowe z wyciśniętymi strzępami dolomitów. Sygnalizują one początek synkliny Czerwonej Przełęczy i dają możliwość ustalić szerokość środkowo-triasowego pasa dygitalacji Suchockiego Wierchu w przekroju Suchej Wody na 800-900 m.

Dalszy przebieg tego pasa ku E pozwalają poprowadzić na mapie skupienia lejów krasowych na W od Hali Pańszczycy, gdzie tworzą one miejscami wyjątkowe wprost zagęszczenie. Na przestrzeni kilku ha po-

² Według ustnej informacji p. Stefana Zwolińskiego, odsłonięcie to znał on już dawniej.

między bulą w południowej części Hali a starasowanym lewym brzegiem Pańszczyckiego potoku liczba ich przekracza 20. Zbocze wznoszące się nad dnem doliny jest już wolne od lejów krasowych. Ponieważ najwyższe położone leje nie przekraczają warstwic 1 440, zbliżoną zaś wysokość ma również wspomniana buła na Hali Pańszczycy, zbudowana z regłowego środkowego triasu, sądzę, że od tej wysokości zaczyna się w opisywanym profilu grubsza pokrywa morenowa. W kierunku zachodnim podłoże wapienno-dolomitowe podnosi się lekko i w punkcie 1 487 działu wód Suchej Wody—Pańszczycy osiąga swą kulminację.

W okolicy poręb i młodych zalesień Butorowa i Strzeleckiej Koliby krajobraz jest tak typowo morenowy, że napotkanie tu wychodni starszych skał wydaje się wyłączone. Ze znacznym natomiast prawdopodobieństwem wykrycia regłowego liasu należałoby się liczyć na północno-zachodnich stokach Stólni, gdzie morfologiczny charakter zbocza nie ulega zmianie jeszcze na przestrzeni kilkuset m w dół doliny licząc od punktu, w którym odsłaniają się łupki kajprowe.

*

Liczba wzmiankowanych odsłonień skał podłoża nie jest wprawdzie wielka, wystarcza jednak do ogólnego zorientowania się w przebiegu serii regłowych w dorzeczu Suchej Wody — Pańszczycy. Pozwala ona również nawiązać do terenu opracowanego przez Goetla i Sokołowskiego (4). W szczególności rozświetla się obecnie pozostawione bez ostatecznego wyjaśnienia „zjawisko skręcania ogólnego kierunku jednostek tektonicznych z zachodnio-wschodniego na północno-zachodnio-południowo-wschodni w grupie Kopieńców i Skupniowego Uplazu, położonej na wschód od doliny Bystrej“ (l. c. str. 33).

Kierunek NW-SE sięga, jak się okazuje, ściśle do wschodniej granicy zdjęcia Goetla i Sokołowskiego, po czym zmienia się na SW-NE pod kątem niemal prostym. Jądro dolomitowo-wapienne środkowego triasu dygitalacji Krokwi daje się prześledzić do okolicy Toporowych Stawów, w których pobliżu znika ono z mapy Tatr na znacznym odcinku aż po dolinę Filipki. Środkowo-triasowy blok Kopieńców zachowuje się tu podobnie jak płat dygitalacji Skalek Andrusowa dalej na wschodzie — między Doliną Jaworową a Filipką. Jeśli płat ten wyznacza w strefie regłowej przebieg transwersalnej depresji Szerokiej Jaworzyńskiej, to blok Kopieńców odpowiada drugorzędnemu i raczej płytkiemu obniżeniu poprzecznemu Tatr na zachodniej peryferii elewacji Koszystej. Za taką interpretacją skrętu dygitalacji Krokwi wokół Wielkiego Kopieńca przemawiają: pewne zwięźnienie w tym miejscu synkliny Czerwonej Przełęczy, równoległy skręt dygitalacji Suchego Wierchu i prawdopodobne wysunięcie się ku północy mas wierzchowych na osi doliny Suchej Wody poniżej Hali Gąsienicowej.

Na wschód od tej doliny synklina Czerwonej Przełęczy rozszerza się gwałtownie ogarniając nieco dalej gniazdo Kop Sołtysich od Waksmundzkiej Polany po północny brzeg Tatr. Jest to jedyne miejsce w Tatrach, gdzie całą strefę reglową wypełnia jądro odwróconej synkliny, oba zaś obrzeżające je pasy wapieni i dolomitów środkowego triasu wyklinowują się równocześnie całkowicie. W ten sposób uzewnętrznia się w reglach rola wielkiej elewacji Koszystej — maksymalnego wyniesienia w osi podłużnej Wysokich Tatr.

ZAGADNIENIE BUDOWY PÓŁNOCNEGO BRZEGU TATR W ŚWIETLE ANALIZY STRUKTURALNEJ SYNKLINY CZERWONEJ PRZEŁĘCZY

Zależność dzisiejszego obrazu tektonicznego pokryw osadowych od undulacji osi podłużnej Tatr była rozpatrywana przez Rabowskiego (15, 17), następnie przez Goetla i Sokołowskiego (4). Ostatni autorzy naświetlili ją głównie z punktu widzenia przebiegu i zachowania się czołowych mas triasowych dygitacji Krokwi i Suchego Wierchu. Obraz ten uzupełnił po wojnie Sokołowski dla terenu Tatr Bielskich (19).

Ponieważ element tektoniczny Czerwonej Przełęczy wydaje się być niemniej czułym wskaźnikiem przy analizie strukturalnej gmachu tatrzańskieg, zastanawiałem się niejednokrotnie nad jego strukturą.

Zanim jednak sformułuję myśli, które nasunęły mi się w związku z tym zagadnieniem, chcę przedtem poruszyć pokrótce sprawę związaną z tatrzańską nomenklaturą tektoniczną. Wydaje mi się, że osobnych nazw należy używać wyłącznie w odniesieniu do ściśle ograniczonych w przestrzeni lokalnych elementów tektonicznych, jak np. nazwy (zastosowane przez Goetla i Sokołowskiego): dygitacja Spadowca, fałd wsteczny Boczaria itp. Równie uzasadnione są, w moim mniemaniu, nazwy użyte przez Andrusowa (2) w regionie Szerokiej Jaworzyńskiej, np. dygitacje Gołego, Starego Szalasu lub Suchego Wierchu, chociaż ta ostatnia nazwa brzmi dwuznacznie, skoro po polskiej stronie wiąże się z nią inna treść tektoniczna.

Zupełnie inaczej przedstawia się sprawa nazewnictwa w obrębie walnych elementów tektonicznych Tatr. Przy opisie Tatr Bielskich Sokołowski (19) używa wielu nowych nazw nie tylko dla określenia jednostek lokalnych (np. dygitacja Jatek), lecz również dla określenia pojęć, pokrywających się z jednostkami wyróżnionymi przez niego poprzednio w obrębie położonych dalej na zachód Tatr Polskich (dygitacje Hawrania i Suchego Wierchu, Palenicy i Krokwi, synklina Murania i Czerwonej Przełęczy). Dwoistość nazw doprowadzić może do nieporozumień. Czy nie jest np. zbyt ostrożności ze strony Michalika (13, str. 237), referującego

wyniki ostatnich prac Sokołowskiego i Andrusowa, analizowanie możliwości pozycji tektonicznej synkliny Murania na tle przebiegu lokalnych dygitacji Siodła i Gołego Wierchu, gdy sam Andrusow zdaje się nie mieścić pod tym względem skrupułów (2, str. 25 - 26)?

Zasadnicza dwudzielnność tektoniczna płaszczowiny reglowej dolnej w całych Tatrach nie będzie dziś napewno przez nikogo kwestionowana, a zjawisko pozornego zanikania przewróconej synkliny dzielącej dwie walne dygitacje da się zawsze wyjaśnić lokalną komplikacją tektoniczną sfałdowanych mas skreślenia synklinalnego. W takiej sytuacji zawsze może się zdarzyć, że jądro synkliny ujawni na jakimś mocniej zdygitowanym odcinku kilkakrotne powtórzenie się pewnych serii warstw, ale w gruncie rzeczy sprawą czysto formalną będzie decyzja, którą z wytworzonych łusek lub klinów należałoby uznać tu za właściwą synklinę, którą zaś — za element poboczny. Tak się dzieje również na odcinku depresji Szerokiej Jaworzyńskiej, gdzie szeroka strefa synkliny Murania (= Czerwonej Przełęczy) ulega szybkiemu wyciśnięciu i wtłoczeniu w głąb tak, że nieco dalej na W trias środkowy dygitacji Hawrania (= dygitacji Holicy Andrusowa = dygitacji Suchego Wierchu w rozumieniu Goetla i Sokołowskiego, niż zaś Andrusowa), kontaktuje bezpośrednio z tymże triasem dygitacji Skalek (= dygitacji Palenicy Sokołowskiego = dygitacji Bujaczego Wierchu Andrusowa 1936 = dygitacji Krokwi Goetla i Sokołowskiego).

Zilustrowana na przykładzie kłopotliwość używania synonimiki terminologicznej przy wszelkich rozważaniach wykraczających poza obręb najściślej lokalny w Tatrach upoważnia mnie, jak sądzę, do stosowania dla całej przestrzeni strefy reglowej Tatr terminów Goetla i Sokołowskiego podobnie jak używane są stale bez budzenia żadnych wątpliwości nazwy dwóch zasadniczych fałdów wierzchowych, stosowane przez Rabowskiego.

Powracając do rozważań nad przebiegiem i budową synkliny Czerwonej Przełęczy należałoby na pierwszym miejscu podnieść okoliczność o której jedynie mimochodem wspomnieli Goetel i Sokołowski w wielokrotnie cytowanej rozprawie. Mam tu na myśli treść geologiczną synkliny odsłaniającą się na powierzchni w dzisiejszym obrazie intersekcyjnym strefy reglowej. Zrozumiałe jest, że w przewróconej synklinie można obserwować w depresjach poprzecznych jedynie zewnętrzne powłoki jądra dygitacji, a więc w danym przypadku przede wszystkim kajper i retyk. Pomijając lokalne wyciśnięcia lub litologiczne zgrubienia serii skalnych powłoki te przedstawiają się na mapie w postaci dość wąskich pasków. Na elewacjach poprzecznych powinny się wynurzać głębsze ogniwa strukturalne i tyfograficzne mas synklinalnych i szerokość synkliny wzrasta. W ten sposób, tj. przez podnoszenie się ku wschodowi osi podłużnej Tatr, tłu-

naczą Goetel i Sokołowski gwałtowne rozszerzanie się poprzednio wąskiej synkliny Czerwonej Przełęczy na obszarze zlewiska doliny Olczyńskiej. To, że nie odsłaniają się w jej jądrze młodsze ogniwa jury, zdaje się wynikać z intensywnych przewałowań w obrębie samego liasu. Na wschód od Suchej Wody, gdzie przypada maksimum elewacji Koszystej, synklina Czerwonej Przełęczy nie tylko zajmuje całą szerokość regli, lecz w skład jej wchodzi wyższa jura a nawet kreda. Szczegóły budowy tego odcinka pozwoli poznać dopiero skartowanie Kop Sołtysich, ale ogólny jej zarys nie powinienby się już zmienić. Wapienno-dolomitowy trias środkowy dygitacji Krokwi przebiega tu z N na S; synklina Czerwonej Przełęczy jest wybitnie asymetryczna: na powierzchni odsłania się tylko jej skrzydło południowe, gdy tymczasem północne jest ścięte przez sztywne jądro tej dygitacji. Oba ostatnio wymienione zjawiska wiążą się ze stromym pochylaniem się osi podłużnej Tatr ku depresji Szerokiej Jaworzyńskiej.

Do tego miejsca, tj. na przestrzeni od doliny Małej Łąki na zachodzie po Jaworzynę na wschodzie, sprawa wydaje się prosta i strukturalne zachowanie się synkliny Czerwonej Przełęczy zdaje się być uzależnione w głównym stopniu od ondulacji poprzecznych tatrzańskiego masywu.

Rzut oka na mapę Tatr przekonuje, że w budowie tej synkliny uczestniczą wyższe ogniwa jury i kreda również na obu skrzydłach masywu, gdzie ponadto wydatnie zwiększa się jej szerokość. Czy i tu ta sama przyczyna wystarczy do wytłumaczenia tego zjawiska? Jak się zdaje, tłumaczy je ona przynajmniej częściowo. Na zachód od Małej Łąki oś łańcuchowa podnosi się ku elewacji Kominów Tylkowych. Jeszcze przed kulminacją, w otoczeniu doliny Miętusiej, dygitacja Krokwi kryje się pod cieniem grubego Regla. Pozycja tektoniczna szeregu płatów dolno-reglowych na Upłazie i Gładkiem jest jeszcze bardzo niejasna i wymaga definitywnego umiejscowienia (por. 16 i 16a). Również i synklina Czerwonej Przełęczy ulega na tym skomplikowanym odcinku typowe swe oblicze tektoniczne, stłoczona przez przesunięte nad nią masy dygitacji Krokwi i płaszczowiny reglowej choczańskiej. Dopiero począwszy od Doliny Kościeliskiej budowa synkliny staje się prostsza, aczkolwiek odmienna aniżeli w reglach okolicy Zakopanego.

Następna z kolei depresja Bobrowca zaznaczona jest głęboko wygiętym ku południowi płatem środkowego triasu dygitacji Suchego Wierchu, a synklina Czerwonej Przełęczy zwęża się i wnet redukuje do wąskiego paska dolnej kredy, obrzeżającego od zachodu i pn.-zachodu trzon krystaliczny. Elewacja Osobitej-Salatyńskiego nie odbija się już niczym w jej zredukowanej strukturze.

Przenieśmy się na północno-wschodni brzeg Tatr. Na E od depresji Szerokiej Jaworzyńskiej gmach Tatr dźwiga się po raz ostatni osiągając maksimum wyniesienia wzdłuż linii Jagięcy—Hawrań, po czym oś po-

dłużna masywu fleksurowo opada nie wykazując jednak dalszych wyraźniejszych undulacji. Na całej tej przestrzeni, od Murania po Fajksową, synklina Czerwonej Przełęczy nie zdradza żadnych zmian w swej strukturze zachowując dość znaczną szerokość. Wyraźnemu ściśnięciu i, co za tym idzie, zwężeniu ulega ona dopiero na skraju Tatr — w dolinie Huczwawy.

W tym miejscu należałoby podkreślić daleko posunięte podobieństwo w budowie synkliny Czerwonej Przełęczy na zachodzie i na wschodzie. I tu i tam jest ona wybitnie asymetryczna. Jej skrzydło południowe jest wykształcone mniej lub więcej kompletnie, północne natomiast ulega ściśnięciu: na wschodzie przez dygitację Krokwi, na zachodzie przez płaszczowinę choczańską. Jak wynika z map Uhliga (21) oraz Guzika (9), płaszczowina ta jest również zdigitalizowana a komplikacje w jej obrębie dadzą się obserwować niemal po dolinę Zuberską. Pod kątem widzenia kryterium przyjętego w naszych rozważaniach momentem istotnym jest fakt nieogół pełnego zachowania się warstw kredy w jądrze synkliny Czerwonej Przełęczy. Zjawisko to uderza tym bardziej, że na skrajnym zachodzie i pn.-zachodzie cała wąska strefa oddzielająca trzon krystaliczny od masy płaszczowiny choczańskiej zdaje się składać wyłącznie z margli neokomowych przynależnych pod względem tektonicznym do stratygraficznego zespołu opisywanej synkliny³.

Analiza budowy synkliny Czerwonej Przełęczy na całej przestrzeni strefy reglowej wskazywałaby zatem na pewną trójdzielność podłużnej Tatr. Na odcinku środkowym synklina jest na ogół wąska i w jądrze jej ukazują się na powierzchni osady starsze z liasem włącznie. Wyjątek stanowi elewacja Koszystej, gdzie wydobywa się z głębi nawet kreda, a szerokość synkliny wzrasta. Jako całość odcinek ten (Mała Łąka—Jaworowa) odgrywa w stosunku do synkliny Czerwonej Przełęczy rolę generalnej depresji, w której obrębie ujawnia się jednak wyraźnie wpływ sfałowania osi podłużnej Tatr. Na obu skrzydłach odwrócona synklina jest wciąż o wiele szersza niż na odcinku środkowym i w budowie jej na dzisiejszej powierzchni intersekcyjnej poważny udział mają wgłębne masy kredowe. W całości zachowuje się więc ona na zachodzie i wschodzie podobnie jak na elewacjach, zależność wszakże jej struktury od lokalnych undulacji osi Tatr zaznacza się słabiej lub prawie wcale się nie zaznacza.

W konsekwencji obraz uzyskany na drodze przytoczonego rozumowania sprowadza się do „dwu owali“ tatrzańskich wysp przedzielonych

³ Wymagałoby to może ostatecznego sprawdzenia, albowiem na obszarze Doliny Chochołowskiej Guzik (9) rozpoznał w „neokomie“ Uhliga choczański lias, obrzeżony retykiem. Zdjęcie Gorka (7), sięgające ku północy po Białą Skalę, przemawia jednak za tym, że od Osobitej po Siwy Wierch występuje na brzegu Tatr istotnie neokom.

obniżeniem centralnym, jak je zrekonstruował Świderski na podstawie zupełnie innych przesłanek (20).

*

Pominałem świadomie w swych rozważaniach zasadę kompensacji tektonicznej, chociaż odbija się ona bardzo wyraźnie na tektonice Tatr. Ta wielką skalę ujawnia się ona w reglach, chociażby w zastąpieniu dygiacji Krokwi przez płaszczowinę choczańską na zachodzie masywu, nie mówiąc już o elementach drobniejszych. Rozwijaniem nowego tematu nie chciałem komplikować zasadniczego toku rozumowania, tym bardziej, że sens uzyskanego obrazu wymaga wyjaśnień. Nasuwa się tu zasadnicze pytanie, jaka jest przyczyna tak intensywnego wytłoczenia mas kredowych głębi na wschodnim i zachodnim skrzydle Tatr w synklinie Czerwonej Przełęczy. Odpowiedź na nie musi obracać się w sferze domysłów, póki nie uzyskamy konkretnych danych o budowie podłoża w strefie położonej na północ Tatr. Zależność bowiem architektury osadowych mas skalnych w Tatrach od ukształtowania tego podłoża wydaje się oczywista. Już Rabowski nie wątpił, że masy te opadają fleksurowo ku północy przedłuż brzegu całego masywu i okolicznością tą tłumaczył szereg zjawisk ujawniających się w tektonice płaszczowin zarówno wierchowych, jak i reglowych (15, 17).

Rozpatrując szczupły zasób faktów, jakimi w chwili obecnej rozporządzamy, wydaje się, że walne elementy planu longitudinalnego tej części Karpat krzyżują się w głębszym podłożu z elementami transwersalnymi. Do pierwszych zaliczam elewację Tatr, częściowo wypełnioną przez masy reglowe wgłębny rów podtatrzański oraz odtworzony przez Gołąbę wgłębny wał podhalański (5, 6). Za transwersalne elementy pierwszego rzędu można uważać wyniesienia Tatr zachodnich i wschodnich, przedzielone wielką depresją środkową. Na przedpolu tej depresji, której oś wyznacza dziś w przybliżeniu młodsze strukturalnie obniżenie Goryczkowej, wypadłoby maksimum depresyjne w miejscu przecięcia z podłużnym obniżeniem podkreślonym, podobnie jak poprzednie, przed odmłodzony rów podtatrzański. Pewne fakty, o których będzie mowa poniżej, wskazują, że również elementy niższego rzędu znajdują swe przedłużenie pod eocenem podhala.

Pomijając na razie różnice litologiczne poszczególnych kompleksów skalnych, które nie pozostają bez istotnego wpływu na ich styl tektoniczny, należałoby się spodziewać, że w obniżeniach podłoża spływanie mas nasuniętych będzie miało bardziej spokojny przebieg, komplikacje zaś tektoniczne w ich obrębie ujawnią charakter deformacji raczej ciągłych, wynikający głównie ze stłoczeń grawitacyjnych przy dość stromych upadkach. Przy płytszym występowaniu i nierównym, „garbatym“ ukształtowaniu oporowego podłoża powinny wystąpić objawy silniejszych nacis-

ków lateralnych, intensywniejsze rozdarcia mas bardziej sztywnych, w tłoczenia zaś ku powierzchni hamowanych w ruchu mas plastyczniejszych. Pomijam tu kwestię, w jakim stopniu naciski te wiążą się z parciem sztywnych kier podłoża, w jakim zaś — z naporem sunących mas osadowych z plecza, objętych grawitacyjnym ruchem spływowym.

Jeśli przypatrzymy się przekrojom przez osadową strefę Tatr, zaważymy, że zachowanie się pofałdowanych mas skalnych na poszczególnych odcinkach odpowiada na ogół tej ogólnej zasadzie.

Z mapy i profilów regli zakopiańskich Goetla i Sokołowskiego (widać, że najbardziej strome upady średnio-triasowych jąder głównych dygityacji Suchego Wierchu i Krokwi przypadają na osiową strefę depresyjną, malejąc ku wschodowi i zachodowi. Szczególnie dobrze uwidacznia się złagodnienie upadów na E od ostatniego profilu (IX) w grupie Kopieńców. Najbardziej stromo ustawiony jest na zakopiańskim odcinku i fałd Giłwontu. Ogólny, na ogół jednak plastyczny styl tektoniki mas reglowych okolic Zakopanego równie dobrze odpowiada wyżej sformułowanemu założeniu teoretycznym.

Nie wchodząc w szczegóły możemy stwierdzić, że dość podobnie wygląda tektonika na wschodzie i zachodzie, w szczególności tektonika mas reglowych. W depresji Szerokiej Jaworzyńskiej upady są bardziej strome, w Tatrach Bielskich — o wiele bardziej łagodne (2, 19). W Tatrach Zachodnich, gdzie można się oprzeć na mapie Guzika (9), bardziej strome upady i większa plastyczność odkształceń (szczególnie wyraźnie odzwierciedlone w symetrycznej budowie osiowego pasa synkliny Czerwonej Przełęczy) cechują depresję Bobrowca w porównaniu z przyległą elewacją Kominów Tylkowych.

Silne rozdarcie sztywnych wapienno-dolomitowych mas triasu na elewacjach, ujawniające się jaskrawo w jednostkach tektonicznych zewnętrznych, świadczą może najdobitniej, że undulacje poprzeczne gmaczyń tatrzańskiego przedłużają się ku północy pod eocenem. Jak daleko sięgają one, nie wiemy, ale młode ruchy tektoniczne, ujawnione w rowie pod tatrzańskim (10, 18), dźwigają jego odcinki przypadające właśnie na przedłużenie elewacji poprzecznych Tatr (Gaberówka, Zgorzeliska). W przedłużeniu elewacji mamy niemal wszystkie współczesne działy wód na terenie rowu podtatrzańskiego.

Tak przedstawia się obraz elementów niższego rzędu, dla których materiał jest nieco obfitszy. Zważywszy jednak, że sfałdowane pokrywy osadowe Tatr sięgają najprawdopodobniej dość daleko na północ, należałoby szukać wskazówek uzasadniających specyficzną budowę synkliny Czerwonej Przełęczy na E i W — na nieco większych obszarach. Ze względu na większą skalę zjawiska przyczyna jego musi być natury bardziej

eneralnej. Powróćmy więc do walnych elementów opisywanego odcinka Tatr.

Przyjeliśmy poprzednio, że walnymi elementami transversalnymi Tatr są ich lateralne wzniesienia i dzieląca je depresja. Czy można dopatrzeć się dziś ich odpowiedników po północnej stronie głębnego rowu odtatrzańskiego?

Zacznijmy od odcinka wschodniego. W pn.-wschodnim przedłużeniu Tatr wynurza się spod fliszu tzw. wyspa družbacka, świadcząca o niewątpliwym wyniesieniu podłoża. Potężna, niemal prostolinijna dyslokacja obcinająca SE część „wyspy” zrzuca jednocześnie na znaczną głębokość pd.-wschodni narożnik tatrzańskiego masywu. Na odcinku pośrednim przebieg dyslokacji zaznacza się zupełnie wyraźnie w upadach fliszu podhalańskiego na SE zboczu Spiskiej Magury (22). Pozornie zarysowują one oś wężką antyklinę o kierunku NE-SW, skręcającą następnie w rów odtatrzański. W istocie, jak sądzę, dwustronne upady fliszu na tym odcinku mogą odzwierciedlać jedynie linię głębokiego pęknięcia. Na SE od niej, tj. na skrzydle zrzuconym, pd.-wschodnie upady są bardziej stałe, po stronie NW. wyniesionej, flisz jest sfalowany. Duży zasięg dyslokacji i jej przesuniek do masywu Tatr przemawia również za tym, że wyspa družbacka nie reprezentuje wąskiego grzbieciku, dziś na mapie widocznego, lecz jest wschodnim wyniesionym brzegiem większej masy ukrytej pod fliszem. Uważam ją za część składową głębnego wału podhalańskiego.

Argumentem przemawiającym za tym, że cały północno-wschodni blok Tatr był już przynajmniej przed eoceńską transgresją wysoko wyźwigniętym obszarem, jest występowanie na przedpolu Tatr Bielskich wartego i szerokiego pasa zlepieńców. Kompleks ten osiąga tu miąższość nie spotykaną na żadnym innym odcinku północnego brzegu Tatr, rozmiary zaś otoczków i bloków, osiągających kubaturę kilku m³, są dowodem dużych deniwelacji (12).

Gdy nasuwające się płaszczowiny reglowe mogły na odcinku centralnym przedpola Tatr spływać do głębokiej depresji podłoża, w której „utonąły” głębsze ich elementy, tu napotkały one wzniesienie, które spowodowało bardziej płaskie ułożenie mas oraz wytłoczenie synklinalnej redy i, w związku z tym, ułatwiło tektoniczne usamodzielnienie potężnych kompleksów sztywnych wapieni murańskich (por. 19).

Odcinek położony na zachód od środkowego obniżenia tatrzańskiego masywu był również, jak wynika z naszych rozważań, obszarem wyniesionym w stosunku do otoczenia. Za przedłużaniem się w kierunku północnym strefy transversalnego garbu Tatr Zachodnich przemawia na razie tylko jeden argument. Jest nim rozmieszczenie egzotyków we fliszu Podhala. Z badań Gołąba wzdłuż Czarnego Dunajca wynika, że transport egzotycznego materiału odbywał się z zachodu, tam też należy

szukać jego źródła (14, 5). W roku 1948 na grzbiecie Skoruszyny obserwowałem we fliszu całe ławice otoczków, wśród których obok skał reglowych reprezentowane są skały krystaliczne, niewątpliwie „egzotyczne“ z Tatr⁴. Istnienie elewacji w obrębie wgłębnego wału podhalańskiego i jego zachodnim odcinku wydaje się więc zupełnie prawdopodobne.

Obszar Podhala położony pomiędzy wyniesionymi odcinkami — na wschodzie i najprawdopodobniej też na zachodzie — odpowiada przedłużeniu ku N środkowej depresji poprzecznej Tatr. Jej istnienie podkreśla zanurzanie się osi pasma skałkowego między Białką a Białym Dunajcem.

WNIOSKI

Podsumowując swe rozważania widzę w pewnych różnicach tektoniki mas reglowych wzdłuż północnego brzegu Tatr, w szczególności z tektoniki synkliny Czerwonej Przełęczy, rezultat różnego ukształtowania wgłębnego podłoża na ich peryferii. Nie wchodząc w szczegóły strukturalne, omówione przez Rabowskiego oraz Goetla i Sokołowskiego (17), przebieg tektogenezy mas reglowych wyobrażam sobie jak następuje:

Po przewyciężeniu przeszkody, jaką stanowił dla tych mas dźwigający się stopniowo masyw Tatr, płaszczowiny reglowe spłynęły kaskadowo we wgłębny rów podtatrzański, tylko częściowo wypełniony przez czołowe partie fałdów wierchowych. Dolna z nich uległa dygitowaniu, rozdzielając się na dwie dygitacje pierwszego rzędu i szereg pomniejszych. Powstała wówczas przewrócona synklina Czerwonej Przełęczy. W środku obszaru, o którym mowa, wpływ hamujący podłoża był słabszy na obu skrzydłach silniejszy, ponieważ po stronie północnej wgłębnego rowu podtatrzańskiego znalazły się wyniesienia strukturalnej powierzchni podłoża. Ta okoliczność stała się również przyczyną dzisiejszej asymetrii synkliny Czerwonej Przełęczy, umożliwiła bowiem tektoniczne ścięcie jej północnego skrzydła na zachodzie i wschodzie przez nasuwające się jednostki nadległe. Na wschodzie dokonała tego sztywna masa średnio-triasowego jądra dygitacji Krokwi, na zachodzie — płaszczowina choczańska. Płaszczowina ta, mająca powierzchnię strukturalną podłoża w znacznym stopniu podbudowaną i wyrównaną przez masy reglowe dolne, zachowała się tylko na stosunkowo niewielkim odcinku. Na pozostałych uległa zerodowaniu. Dzięki temu, ani o jej roli w tektogenezie regli środkowej i wschodniej części Tatr, ani o nasuniętej, być może, lecz również zdartej

⁴ Nie znając jeszcze tych skupień egzotyków z autopsji i opierając się na opisie Gotkiewicza, który je uznał za wysoko położone tatrzańskie żwiry rzeczne (z wypowiedziałem pogląd o możliwości zachowania się w specjalnych warunkach otoczków skał węglanowych w żwirowiskach przedplejstoczeńskich Tatr (11). Po stwierdzeniu pomyłki Gotkiewicza korzystam ze sposobności, aby ten pogląd odwołać.

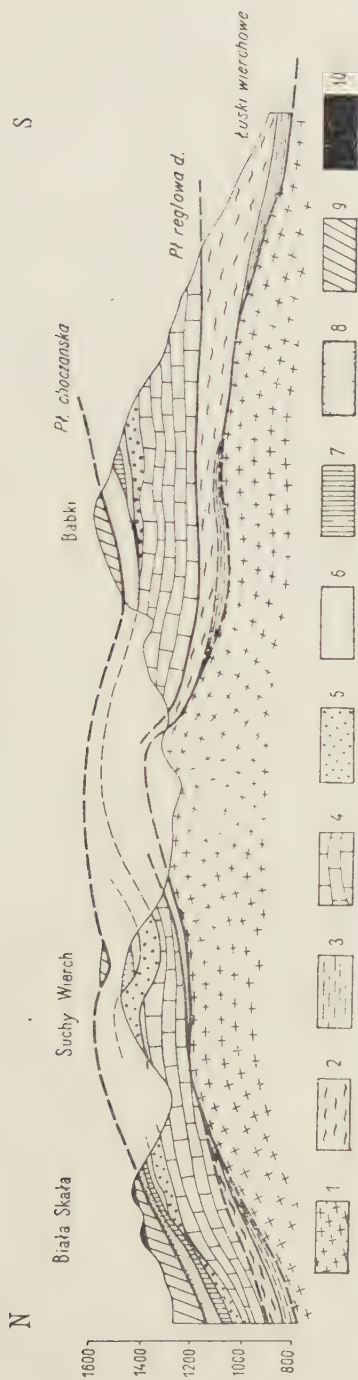


Fig. 2

Próba interpretacji struktury tektonicznej zachodniego obrzeżenia Tatr na podstawie mapy A. Górka (7)

1 trzon krystaliczny, 2 malm-urgon wierzchowy, 3 alb wierzchowy; płaszczowina regłowa dolna, 4 trias środkowy, 5 kajper, 6 retyk. 7 jura, 8 neokom; płaszczowina regłowa choczańska: 9 dolomity choczańskie, 10 retyk

Linie grube — granice nasuniętych jednostek; linie cienkie — przesunięcia wewnątrz jednostek

przez erozję płaszczowinie reglowej górnej (strażowskiej) nic konkretnego nie wiemy.

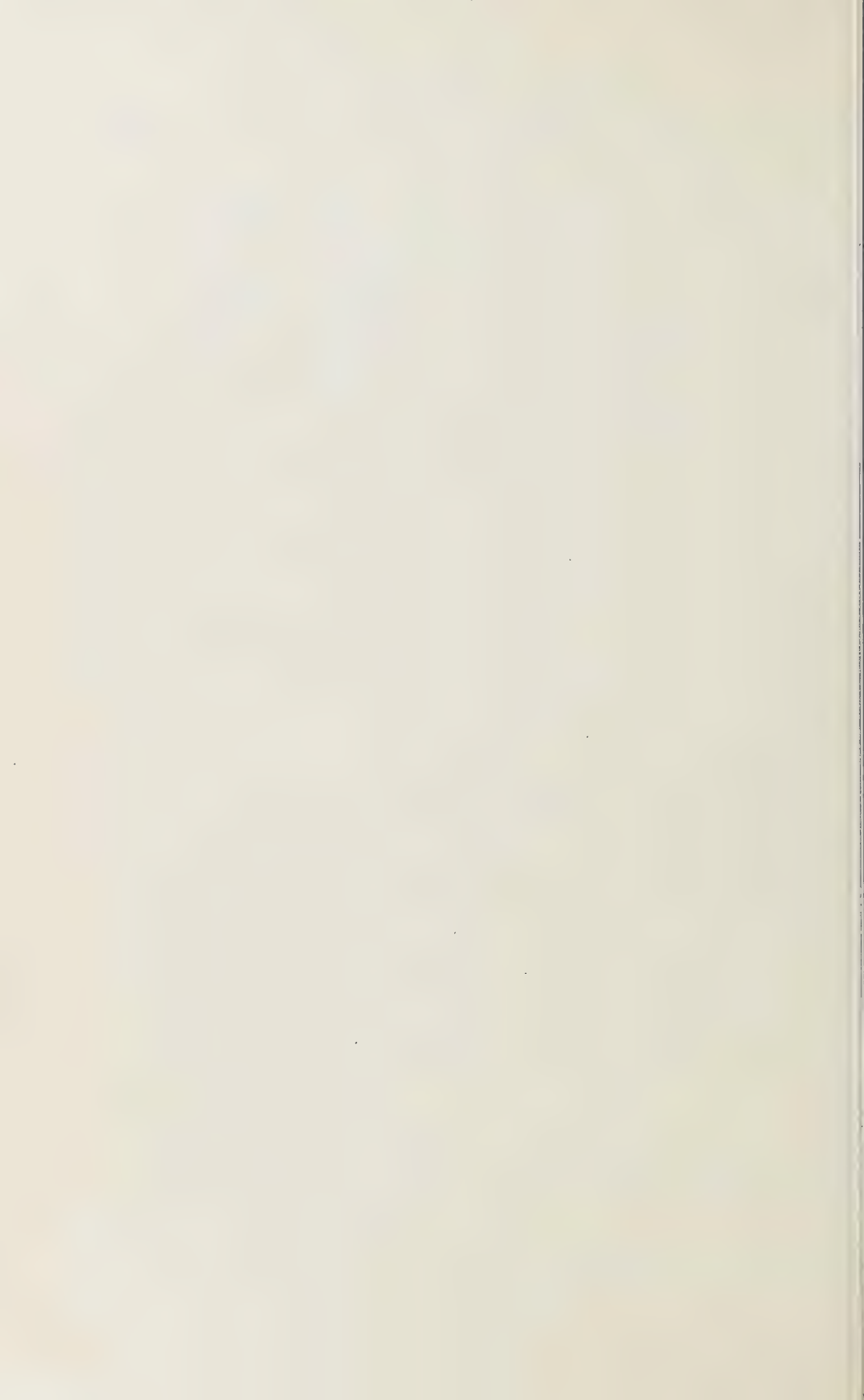
Wschodni brzeg Tatr, obcięty wielką dyslokacją, nie pozwala na zorientowanie się w stylu tektonicznym szariowanych jednostek na E od tej dyslokacji, bowiem zapadły się one w głąb. Natomiast łagodne pochylenie się trzonu krystalicznego Tatr w kierunku zachodnim umożliwia tę orientację, jeśli się oprzemy na nowym zdjęciu geologicznym Gorka (7). Brak tu już wysokiej poprzecznej przeszkody dla nasuwanych płaszczowin, więc nie tworzą one obalonych i fleksurowo opadających fałdów, lecz przekraczają obniżony masyw w postaci płasko leżących pokryw o korzeniach w płaszczyznach stratygraficznych normalnych, poprzysuwanych względem siebie jedynie przez odkłucia i poślizgi poziome. Profil (fig. 2) przedstawia próbę interpretacji ich tektoniki na podstawie mapy Gorka. Eocen maskuje, nie ujawnia, stety, budowę mas na obszarze leżącym dalej na północ, jest jednak niemal pewne, że odwrócona synklina Czerwonej Przełęczy, rozdzielająca zdygitowane masy płaszczowiny reglowej dolnej, nie znajduje już tu przedłużenia.

*Zakład Geologii Polski
i Regionalnej Świata U. W.
Warszawa, w listopadzie 1954*

LITERATURA CYTOWANA

1. ANDRUSOV D. Subdivision des nappes subatriches sur le versant nord de la Haute Tatra. — Bull. Assoc. Rech. Sci., IV, 23. Praha 1936.
2. — Tektonická stavba masívu Širokej (Vysoké Tatry). — Geol. Sborn. I, 1. Bratislava 1950.
3. GADOMSKI A. Polodowcowe zmiany hydrografii tatrzańskiej. — Ref. II Zjazd Słow. Geogr. i Etnogr. 1927.
4. GOETEL W. & SOKOŁOWSKI S. Tektonika serii reglowej okolicy Zakopanego (Sur la tectonique de la zone subatrichique aux environs de Zakopane). — Roczn. P. T. Geol. (Ann. Soc. Géol. de Pologne), VI. Kraków 1930.
5. GOŁĄB J. Tektonika Podhala. — Geol. Biul. Inf., zesz. 1. Warszawa 1952.
6. — Rockslides and flows and their meaning for the tectonics of the Flysch Podhale. — Bull. Soc. Sci. et Lettr. de Łódź, Cl. III, Sci. Math. Nat. V, Łódź 1954.
7. GOREK A. Tektonické okna na zapadnom ukončení Vysokých Tatier. — Geol. Sborn. I, 1. Bratislava 1950.
8. GOTKIEWICZ M. Predyluwialny poziom skoruszyński na Orawie (Die vordiluviale Hochfläche von Skoruszyna im Orawagebiet). — Przegl. Geogr. (Roczn. Pol. Géogr.), XI. Warszawa 1931.
9. GUZIK K. Serie reglowe na zachód od dol. Kościeliskiej w Tatrach — mapa (Séries subatriches dans la partie occid. de la Haute Tatra — carte géologique). — P.I.G. (Serv. Géol. de Pologne). Warszawa 1939.

0. HALICKI B. Dyluwialne zlodowacenie pn. stoków Tatr (La glaciation quaternaire du versant nord de la Tatra). — Spraw. P.I.G. (Bull. Serv. Géol. de Pologne). V. Warszawa 1930.
1. — O właściwej roli kwarcytów w żwirowiskach przedpola Tatr (Sur le rôle des quartzites dans les graviers de l'avant-pays de la Tatra). — Roczn. P. T. Geol. (Ann. Soc. Géol. de Pologne), XVII. Kraków 1948.
2. KUŹNIAR W. Eocen tatrzański. — Spraw. Kom. Fizjogr., XLII. Kraków 1908.
3. MICHALIK A. Budowa Tatr. — Reg. Geol. Polski, I, 2. Kraków 1953.
4. Protokół z Konferencji w spr. geologii regionu podhalańskiego odbytej w Krakowie w Zakł. Geol. Ogólnej AGH w dniach 2-3.XI.1949 (powielony).
5. RABOWSKI F. Budowa Tatr. Pasma wierchowe (Les nappes de recouvrement de la Tatra. La structure de la zone haut-tatryque). — Spraw. P.I.G. (Bull. Serv. Géol. de Pologne), III. Warszawa 1925.
6. — Rozważania nad budową pasma reglowego w Tatrach (Quelques réflexions sur la tectonique de la zone subtatryque de la Tatra). Ibidem, V, 3-4. Warszawa 1930.
- 7a. — Stosunki strukturalne tatrzańskich płaszczowin reglowych na prawym zboczu dol. Kościeliskiej w okolicy Uplazu Miętusiego i ich znaczenie (Les rapports structuraux entre les nappes subtatryques de la Tatra sur le versant droit de la vallée Kościeliska aux environs de l'Uplaz Miętusi et leur signification). — Biul. I. G. (Bull. Serv. Géol. de Pologne), Nr 86. Warszawa 1954.
7. RABOWSKI F. & GOETEL W. Budowa Tatr. Pasma reglowe (Les nappes de recouvrement de la Tatra. La structure de la zone subtatryque). — Spraw. P.I.G. (Bull. Serv. Géol. de Pologne), III. Warszawa 1925.
8. ROMER E. Tatrzańska epoka lodowa (The Ice Age in the Tatra Mts.). — Prace Geogr. (Trav. Géogr.). XI. Lwów 1929.
9. SOKOŁOWSKI S. Tatry Bielskie. Geologia zboczy południowych (Les Tatry Bielskie. Géologie du versant sud). — Prace P.I.G. (Trav. Serv. Géol. de Pologne). IV. Warszawa 1948.
10. ŚWIDERSKI B. Geneza dolin tatrzańskich (Sur la genèse des vallées des Monts Tatras). — Przegl. Geogr. (Rev. Pol. Géogr.), III. Warszawa 1922.
11. UHLIG V. Tatry (mapa geologiczna). Atlas geol. Galicji. Zesz. 24. — Ark. Szczawnica. Pas 7, słup IV. Ibidem.



Stratygrafia interglacjału Szeląga pod Poznaniem

REŚĆ: Wstęp — Stratygrafia: uwagi wstępne; północna część żwirowni; szurf III; szurf IV; szurf V; szybik 1 — Interpretacja stratygrafii profilu — Literatura cytowana

WSTĘP

Zagadnienie pozycji stratygraficznej oraz wieku interglacjału Szeląga nie przestało być zagadnieniem roboczym, mimo licznych prób wyjaśnienia tego zagadnienia w nawiązaniu do stratygrafii naszego plejstocenu. Myśl wznowienia badań zawdzięczam prof. Wł. Szaferowi, który przy okazji XXV Zjazdu Polskiego Towarzystwa Geologicznego zwrócił mi uwagę na aktualność zagadnienia stratygrafii interglacjału Szeląga. Praca niniejsza zawiera wyniki badań, jakie przeprowadziłem z ramienia Zakładu Prehistorii Czwartorzędu, w czasie od 9 do 23 października 1952 r.

We wznowieniu badań w Szelągu zainteresowana była również prehistoria plejstocenska, a to ze względu na dokonane i opublikowane w 1897 r. przez G. Maasa znalezisko dwóch wyrobów krzemianych paleolitycznych w środkowej partii serii piasków podścielających górną morenę denną (5)*. Ponieważ poprawności lokalizacji stratygraficznej tego znaleziska nie podobna kwestionować, możemy się nim posługiwać jako ważnym pomocniczym kryterium chronologicznym przy ustalaniu, na podstawie kryteriów geologicznych, wieku utworu, z którego pochodzi. W danym przypadku jest to utwór mający bardzo istotne znaczenie dla właściwej interpretacji całości profilu Szeląga.

W pracy rozpatrującej niedomagania metodologiczne w badaniach naszego plejstocenu niżowego (1937, 10) podałem cztery przykłady możliwości różnej interpretacji znanych profilów interglacialnych. Jednym z nich był profil żwirowni w Szelągu. Na tablicy przedstawiającej stratygrafię Szeląga według E. L. Niezabitowskiego (7) zestawilem interpretację St. Sawłowskiego (8) oraz W. Szafera i J. Treli (11), którzy z ramienia Polskiej Akademii Umiejętności przeprowadzili w 1927 r. badania zespołowe

* Liczby kursywą w nawiasach odsyłają do spisu literatury na końcu artykułu.

interglacjału szelągowskiego, oraz podałem odrębną interpretację własnej sytuacji stratygraficznej i wieku tego interglacjału. Moja interpretacja była „gabinetową“ interpretacją wyników wymienionych badań zespołów Szeląga, którego sam wówczas terenowo nie znałem. Opublikowani jej zwalnia mnie od szczegółowego opisu wyników tych badań. Zostały one przyjęte i posłużyły J. Gołębowskiemu (1, 2) i B. Krygowskiemu (4) za podstawę do nawiązania profilów pobliskich Winiar i Głównej z profilem Szeląga.

Podjęcie w 1927 r. badań zespołowych w żwirowni w Szelągu pozostawało w związku z odkryciem przez Pfühla w 1910 r. torfów, które uznane zostały za interglacjalne. „Słabą jednak stroną dokonanego przez Pfühla odkrycia — jak pisze St. Pawłowski (8), który przeprowadził na Szelągu w 1927 r. badania stratygraficzne — był brak przekonywujących argumentów natury nie tyle biologicznej, co geologicznej. Mianowicie mimo usiłowań, czynionych ze strony takiego znawcy dylawium, jakim był Jentzsch, nie znaleziono pod torfem dolnego marglu lodowcowego. Także i to nie było szczęśliwym, że odkrywki torfu leżały niedaleko wysokiej terasy Warty i że nie wszystkie można było uważać za przykryte przez margiel górny“ (l. c., str. 40). Toteż w roku 1927 podjęto prace badawcze „celem ponownego odsłonięcia powierzchni torfu, a głównie celem stwierdzenia, czy pod torfem jest margiel dolny i czy nad torfem znajduje się niewątpliwy margiel górny“. Wynik był częściowo ujemny. „Nienatrafienie w wykopach naszych — pisze Pawłowski — na dolny margiel, nie pozwala utrzymywać, że pod interglacjałem na Szelągu znajduje się dolny margiel lodowcowy“ (l. c., str. 42).

Ze stwierdzeniem ujemnego wyniku poszukiwań dolnej gliny morenowej wydaje się być w sprzeczności końcowy ustęp opisu profilu wysokiej ściany „głównej odkrywki“, w której spodzie ok. 15 m poniżej górnej krawędzi ściany „natrafia się — jak pisze tenże autor — na glinę szaro-popielatą z głazikami, ale obficie pojawiające się w tym poziomie wody nie pozwoliły na jej bliższe zbadanie“ (l. c., str. 45). Glinę pokrywały „3,0 - 4,0 m żwiru, ku dołowi coraz grubsze“, wyżej „6,0 - 7,0 m piaski jasne, przeważnie skośnie warstwowane, poprzegradzane warstewkami jasnych ilów od 0,2 - 0,5 cm grubości“, następnie „3,0 - 4,0 jasnożółty margiel lodowcowy, zmieniony od góry pod wpływem wody“, wreszcie „0,35 m gleba piaszczysta“. W analogicznej sytuacji stratygraficznej Maastricht miał stwierdzić, w tejże żwirowni szelągowskiej, obecność dolnej gliny morenowej na głębokości 12 m od góry (6).

Wyniki badań stratygraficznych St. Pawłowskiego uzupełniają prace J. Gołęba (1934, 1) o toczeńcach z gliny morenowej w Szelągu (fig. 1, 2). Zgodnie z interpretacją Pawłowskiego i Niezabitowskiego profilu Szeląga autor ten przyjmuje, iż „torfy i gytie torfiaste“ interglacjalne powstały

w zarastającym „zbiorniku”, który „został wycięty w glinach morenowych starszego zlodowacenia, przy czym erozja w częściach środkowych dotarła nawet do ilów Poznańskich“ (l. c., str. 572). Co się tyczy warunków występowania toczeńców, tenże autor stwierdza, co następuje (str. 547): „Toczeńce występują w spągowych częściach żwirów, leżących nad piaskami pokrywającymi torfy interglacialne. Stosunki takie występują jednakże w nielicznych miejscach, gdyż np. ku południowi żwiry ścinają piaski a nawet torfy tak, iż leżą bezpośrednio na ilach jeziornych“... „Tu trze-

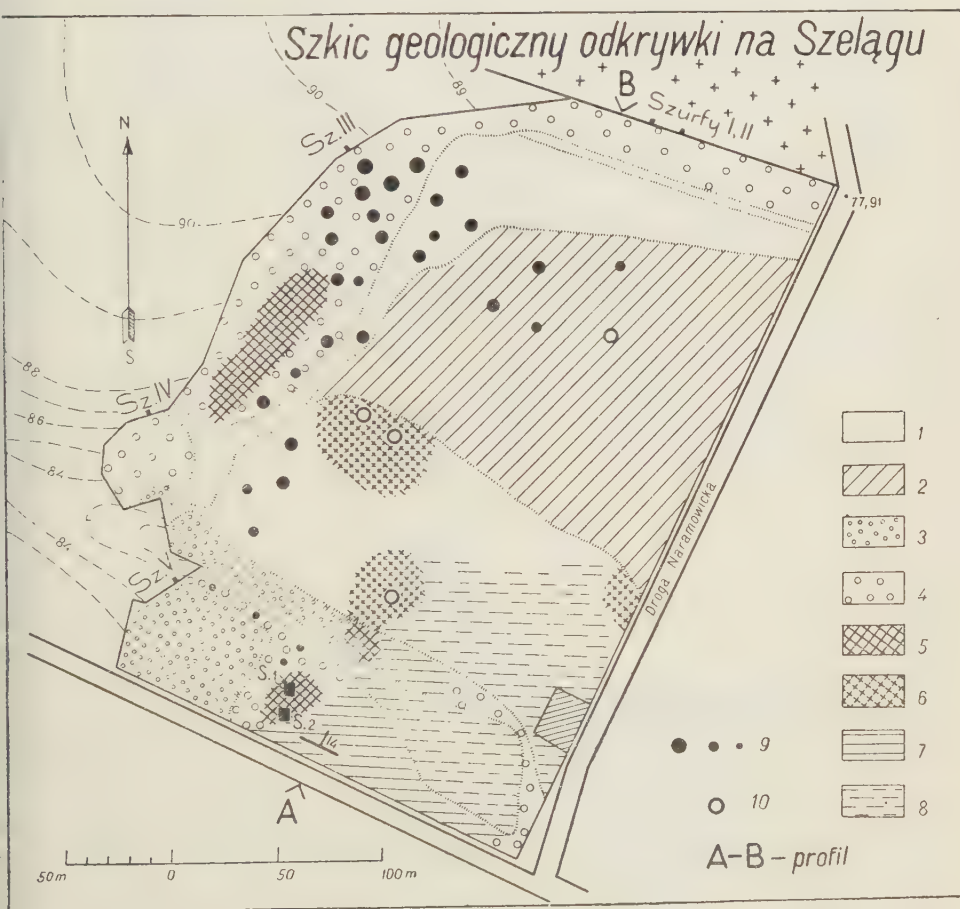


Fig. 1.

Szkic geologiczny odkrywki na Szelağu
(według J. Gołąba, 1934, 1)

1 sztuczny nasyp, 2 glina morenowa, 3 piaski drobnoziarniste, 4 żwiry, 5 torfy na powierzchni lub też pod cienką pokrywą żwirów, 6 torfy pod nasypem, 7 iły jeziornowe na powierzchni, 8 iły jeziornowe pod nasypem, 9 toczeńce (wielkość kółek odpowiada względnej wielkości toczeńców), 10 wiercenia poszukiwawcze w 1927 r.

ba zwrócić uwagę (l. c., str. 551-552) na to, że w północnej części od krywki składowki żwirów osiągają niekiedy średnicę 20 cm, co mogłoby prowadzić do przypuszczenia, iż żwiry są pozostałością po rozmyciu moreny leżącej nad utworami interglacjalnymi, a co za tym idzie, interglacjał byłby przykryty dwiema morenami oddzielonymi od siebie grubą warstwą fluwioglacjału. Uwarstwienie jednak przekątne żwirów, a przede wszystkim występowanie toczenców w tych żwirach o charakterystycznej genezie, zmusza do odrzucenia tego przypuszczenia“.

Powstawanie toczenców J. Gołąb przedstawia w następujący sposób (l. c., str. 548): „brzeg zbiornika, zbudowany z gliny morenowej szarej, dostarczył materiału na toczence, które jako odłamy podmytego brzegu staczając się po pochyłości dostawały się do wody, rozmiękały na powierzchni, a dalej tocząc się po dnie żwirowym, popychane równocześnie prądem wody, otaczały się warstwą żwirów lodowcowych“. „Obrywanie brzegu pozostawało w związku z większym napływem wód roztopowych zbliżającego się lodowca“ (l. c., str. 549).

W pracy o interglacjale Winiar (1938, 2) J. Gołąb podaje szczegółową interpretację stratygrafii Szelağu (l. c., str. 118; p. także fig. 3). „Grube żwiry skośnie uwarstwione... z toczencami“ (na moich profilach poziom 5a szurfu IV, szybiku 1), pokrywające „torfy“ interglacjalne, reprezentować mają „gwałtowną akumulację rzeczną“, z której początkową fazą jest związana „erozja“ torfów. Nadległe „piaski skośnie uwarstwione, gruboziarniste... ze skamielinami“ (na moich profilach poz. 5) — wiąże

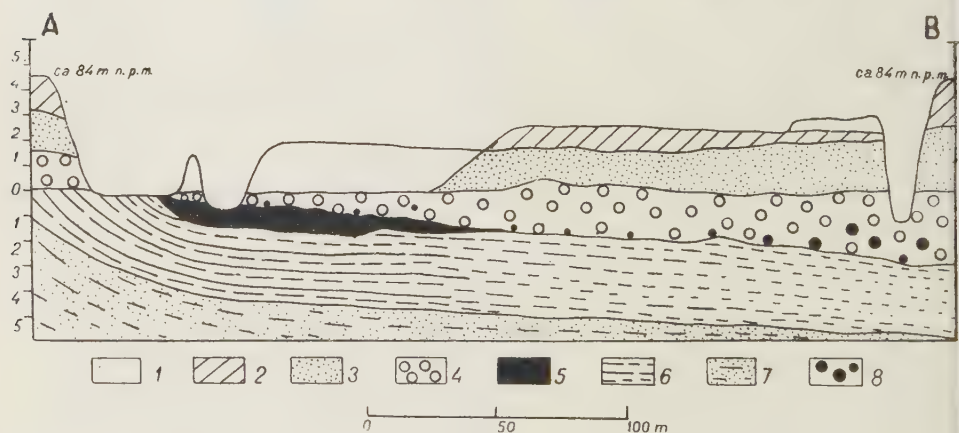


Fig. 2
Profil odkrywki na Szelağu
(według J. Gołąba, 1934, 1)

1 nasyp, 2 glina morenowa zwalowa, 3 piaski drobnoziarniste, 4 żwiry, 5 torfy, 6 iłły jeziorowe częściowo piaszczyste, 7 spągowe piaski ilaste, 8 toczence, A i B — punkty na profilu

z „silną akumulacją rzeczno-jeziorną”, a pokrywające je „piaski górne” (poziom 6) — ze „spokojną akumulacją rzeczną”. Torfy oraz wyżej wymienione utwory nadległe J. Gołąb zalicza, zgodnie z panującym wówczas poglądem, do interglacjału pomiędzy zlodowaceniami krakowskim

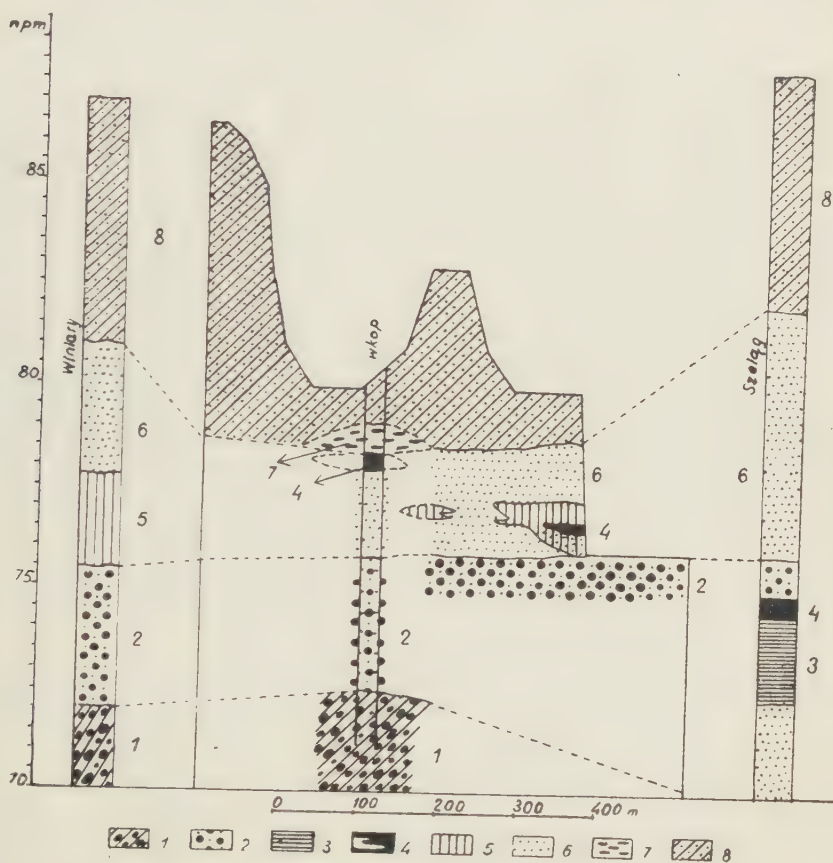


Fig. 3

Geologiczny profil Winiar

(według J. Gołąba i J. Urbańskiego, 1938, 2)

1 morena szara (dolna) Cracovien, 2 żwiry skośnie uwarstwione, 3 kreda jeziorowa Szeląga, 4 torfy i gytie, 5 iły i piaski ilaste, 6 piaski skośnie uwarstwione i piaski drobnoziarniste w stropie, 7 morena zmieszana z interglacjałem, 8 morena brunatna (górna) Varsovien I

i warszawskim I — Masovien I. Zestawiając utwory Winiar i Szeląga przyjmuje (1. c., str. 119 i fig. 3), „że w interglacjale poznańskim występuje zimne wahnięcia klimatyczne wyrażone stropowymi częściami torfów Szeląga, ustępujące następnie cieplejszemu klimatowi wyrażonemu

przez składy gytyj z Winiar“. Fazie subarktycznej odpowiadać mają żwiry pokrywające torf, fazie umiarkowanej — nadległe „piaski skośni uwarstwione“, wreszcie fazie klimatu „chłodnego, leśnego“ — „piaski górne Szeląga“.

STRATYGRAFIA

Uwagi wstępne

Żwirownia na Szelągu przedstawia rozległy wykop o kierunku N-S ok. 700 m długości i ok. 450 m szerokości, otwarty od wschodu, głęboki do ok. 10 m (pl. I, II). Żwirownia jest od dawna nieczynna; dno jej pokrywa zwarty kobierzec traw i chwastów, z kępami roślinności bagienne w miejscach podmokłych. Jest wcięta w brzezną partię równiny morenowej (maxim. 90 m n.p.m.) — w zbocze wcięcia pradoliny Warty i jej wysoki taras erozyjno-akumulacyjny (fig. 4), który na odcinku żwirowni leży w poziomie ok. 78 - 86 m n.p.m. Obecny stan wykopu jest na ogół zgodny ze stanem, jaki przedstawia opublikowany przez Gołąba „szkielet geologiczny odkrywkii na Szelągu“ (p. wyżej fig. 1). Największe zmiany zaszły na południowej granicy wykopu, która, zwłaszcza w części pd.-zachodniej, przedstawia obecnie zspisko śmieci (naprzeciw szurfu IV) oraz zlewisko szlamu kanałów miejskich (naprzeciw szybików 1 i 2). W pozostałej, większej części żwirowni zbocze jej wcięcia jest dostępne dla badań; pokrywają je tylko zwały osuniętej gliny morenowej i podścielających ją utworów mułkowatych oraz piasku.

Materiały stratygraficzne, będące przedmiotem tej publikacji, pochodzą z 5 szurfów i 2 szybików. Punkty, w których zostały one wykonane, są oznaczone na planie żwirowni (fig. 1). Ponadto, w związku z szurfami I i II, odsłonięto na przestrzeni 50 m górną partię zbocza wykopu (tabl. I, pl. I, fot. 1, pl. III i IV), a w jego części południowej (w okolicach szurfu V i szybiku 1) wykonano szereg płytkich (z powodu zawodnienia) szybików poszukiwawczych.

Północna krawędź wykopu przedstawia niemal linię prostą o kierunku E-W, biegnącą wzdłuż ogrodzenia cmentarza naramowickiego. Na odcinku tym powierzchnia terenu poniżej kulminacji 90 m n.p.m. przedstawia zbocze pradoliny Warty łagodnie opadające do poziomu +78 m na skrzyżowaniu szos prowadzących do Naramowic. Poziom +78 m oznacza wzniesienie w tym miejscu powierzchni wysokiego tarasu erozyjno-akumulacyjnego pra-Warty. W poziomie ok. 85-88 m powierzchni zbocza pradoliny wykonano wyżej wspomniane odsłonięcie z szurfami I i II. Ta część wykopu przedstawia odcinek szczególnie ważny, układ bowiem i charakter występujących tu utworów umożliwia dokładne ustalenie warunków stratygraficznych interglacjału torfowego żwirowni szelągowskiej, co do

nieci (naprzeciw szurfu IV) oraz
zeczów szybków 1 : 2). W pozio-
wcięcia jest dostępne dla ba-
gliny morenowej : podścielają-
u.

zedmiotem tej publikacji po-
w których zostały one wykonane.
1). Ponadto, w związku z szur-
m górną partię zbocza wykopu
tego części południowej (w okolicach
reg płytkich (z powodu zawodnienia)

pu przedstawia niemal linię prostą o kierun-
z ogrodzenia cmentarza naramowickiego. Na od-
cinku tym powierzchnia terenu poniżej kulminacji 90 m n.p.m. przedsta-
wia zbocze pradoliny Warty łagodnie opadające do poziomu -78 m na
skrzyżowaniu szos prowadzących do Naramowa. Poziom -78 m oznacza
wzniesienie w tym miejscu powierzchni wysokiego tarasu erozyjno-akumu-
lacyjnego pra-Warty. W poziomie ok. 85-88 m powierzchnia zbocza pra-
doliny wykonano wyżej wspomnianą odświeżkę z szurfami I i II. Ta część
wykopu przedstawia odcinek szczególnie ważny, układ bowiem i charak-
ter występujących tu utworów umożliwią dokładne ustalenie warunków
stratygraficznych interglacjału torfowego zwrótni szelagowskiej, co do

skiego są
moreny c
plaski i

tenże wykop przedstawia odcinek szczególnie ważny, układ bowiem i charakter występujących tu utworów umożliwia dokładne ustalenie warunków stratygraficznych interglacjału torfowego żwirowni szelągowskiej, co do

których istnieją dotychczas poważne różnice poglądów. Zasadniczo występują tu utwory te same i w tej samej kolejności, jak w całej pozostałej, większej części wykopu żwirowni. Według oznaczeń E. L. Niezabitow-

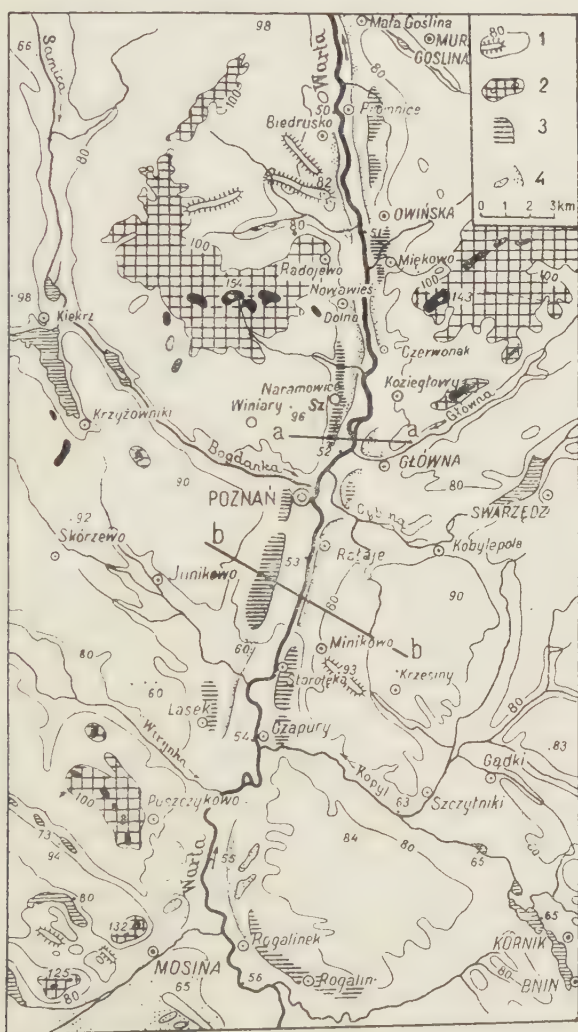


Fig. 4

Szkic morfologiczny przełomowej doliny Warty
(według S. Pawłowskiego, 1929, 9)

1 warstwica 80 m, ozy; 2 warstwica 100 m, moreny
czołowe; 3 taras górny; 4 taras środkowy, wydmy

skiego są to, poczynając od góry, utwory następujące (fig. 5): 1) „margle
moreny dennej”; 2) „biały piasek kwarcowy” (według Pawłowskiego —
„piaski i iły”); 3) „piaski ciemne o warstwach krzyżujących się”; 4) „żwir”.

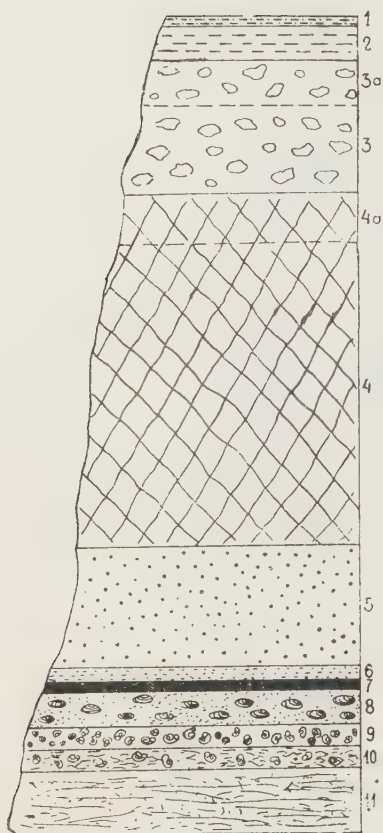


Fig. 5

Profil stratygraficzny Szeląga
(według L. Niezabitowskiego,
1929, 7)

1 humus 16 cm grub., 2 morena zwiętrzała 83 cm grub., 3a margle ciemne moreny dennej 1,20 m grub., 4a piasek biały kwarcowy 1,30 m grub., 4 piaski ciemne o warstwach krzyżujących się 8,10 m grub., 5 żwir 3,20 m grub., 6 piasek o układzie krzyżowym 43 cm grub., 7 torf 22 cm grub., 8 margiel jeziorowy ze skójkami (Unionidae) 1 m, 9 margiel jeziorowy z muszulkami 53 cm grub., 10 piasek gliniasty z muszulkami 63 cm grub., 11 piasek przepojony wodą 1,70 m grub.

Ani Pawłowski, ani Niezabitowski nie podają w swych zestawieniach stratygraficznych faktu występowania w zboczowej partii północnego odcinka ścianki wykopu żwirowni, serii piasków wysokiego tarasu pra-Warty, wciętego w górny „margiel lodowcowy” oraz w podścielające go utwory. Pawłowski wspomina jedynie (8, str. 41-42) o „doskonale rozwiniętej terasie wysokiej, w poziomie okrajało 20 m ponad rzeką Wartą, która przypiera do wzniesienia przeszło 90 m”. „Terasa wysoka” (nazywa ją również „górną”) ma być „zbudowana ze żwirów i piasków”, których pochodzenia nie podaje graficznie zaś oznacza je tak samo, jak „piaski i żwiry” pokrywające interglacjał torfowy. Stosunek „teras wysokiej” do terenu wykopu żwirowni przedstawia podany przez Pawłowskiego „Przekrój przez lewy stok doliny Warty pod Poznaniem n. tzw. Szelągu” (fig. 6). Trasy jego dokładnie nie podaje, niewątpliwie jednak jest to przekrój przez południową część żwirowni. Jak bowiem wynika z treści omawianej publikacji, przeprowadzone wówczas badania stratygraficzne ograniczone były do terenu południowej części wykopu żwirowni. Fakt ten zadecydował, że swoje badania rozpocząłem od wspomnianego już północnego odcinka ścianki wykopu, z szurkami I i II.

Północna część żwirowni

W wyniku moich badań na odcinku tym stwierdziłem, poczynając od góry występowanie następujących utworów (tabl. I, pl. III i IV):

1° *Seria piasków* najwyższej wzniesionej, przybrzeżnej partii wysokiego tarasu erozyjno-akumulacyjnego pra-Warty (tabl. I, w-wa 8; pl. III-1, w-wa 8; pl.

IV-2, w-wa 8), na odcinku objętym profilem — miąższości do 3 m, barwy jasnej, żółtawej, o uwarstwieniu drobnym, ze słojami żelazistymi, zapadającymi ku E pod kątem 12-14°; piaski przeważnie drobno- i średnioziarniste (w poziomie środkowym frakcje 0,1-0,5 mm stanowią 75,71%), bezwapienne; poziom spągowy charakteryzuje większy udział piasków gruboziarnistych (frakcje 0,5 - 2 mm — 43,7%) z nieznaczną domieszką drobnego żwiru (2 - 4 mm grub. — 0,7%), wapniste.

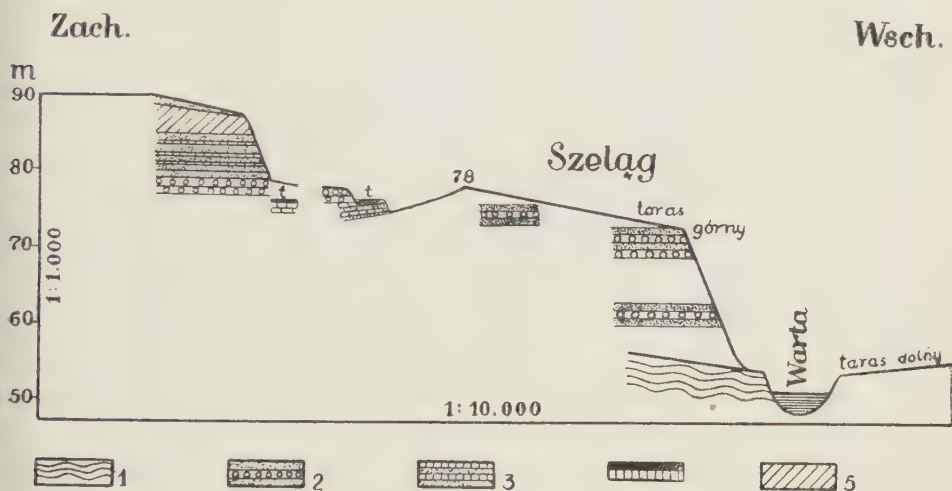


Fig. 6

Przekrój przez lewy stok doliny Warty pod Poznaniem na Szelągu
(według S. Pawłowskiego, 1929, 8)

1 iły poznańskie. 2 piaski i żwiry, 3 piaski i iły, 4 torf, 5 margiel lodowcowy górny

Seria ta wypełnia wcięcie pra-Warty, wyerodowane częściowo w górnej glinie morenowej (tabl. I, w-wa 7) oraz w utworach podścielających ją (większa część zbocza i dno wcięcia). Na zboczu pojedyncze głaziki i głazy eratyczne, na dnie wcięcia zwarta warstwa żwiru, głazików i sporadycznie występujących „brukowców” z rozmytej górnej gliny morenowej, stanowiąca poziom graniczny z podścielającą go serią piasków rzecznych (tabl. I, w-wa 5). Ani w tym poziomie, ani w pokrywających go piaskach gruboziarnistych obecności toczenców z gliny morenowej nie stwierdziłem. Fakt ten zasługuje na uwagę, ponieważ warstwa żwirowo-głazikowa poziomu granicznego była akumulowana w warunkach identycznych z tymi, w jakich — według J. Gołąba (1) — tworzyły się toczence dolnej gliny morenowej, występujące w poziomie spągowym wspomnianej serii piasków, w warstwie żwirowo-głazikowej, pokrywającej interglacjał torfowy Szeląga.

Piaski tego odcinka wysokiego tarasu pra-Warty są niemal wyłącznie kwarcowe, z wybitną przewagą kwarcu szklanego. Nieznacznie domieszkę stanowią ziarna skaleni, glaukonitu, blaszki biotytu i muskowitu. Frakcje powyżej 0,4 mm zawierają ostrokanciaste i obtoczone okruchy skał krystalicznych, które najliczniej występują w poziomie spagowym „bruku”. W piaskach tego poziomu stwierdziłem występowanie okruchów marglu jeziorowego, ułamków spikul gąbek oraz okruchów zwęglonego drewna i pyłu węglowego.

Frakcje poniżej 0,1 mm obu poziomów — środkowego i spagowego — to wyłącznie ostrokanciasty druzgot i pył kwarcu szklanego. Ziarna obtoczone, o powierzchni przeważnie matowej, w tym typowe ziarna kuliste i jajowate, pojawiają się już we frakcji 0,1 - 0,2 mm, powyżej której — w następnych frakcjach — udział ich stopniowo wzrasta i stają się składnikiem dominującym; ziarna o powierzchni lśniącej nieliczne.

2° *Gлина morenowa* (tabl. I, w-wa 7) leży transgresywnie na utworach podścielających ją, które ścina. Zmiennej miąższości: w południowej części wykopu do 4 m, w części środkowej do 8 m; w kierunku północnym miąższość jej stopniowo maleje; przy szurfie II już się wyklinowuje. Dzieje się to na odcinku, który przedstawia zbocze pradoliny Warty, wyklinowywanie się zatem gliny morenowej przypisać należy denudacji, a jednocześnie najprawdopodobniej — mniejszej miąższości, sądzić, że znacznie wyższego wzniesienia spągu gliny morenowej w porównaniu z poziomem, na jakim występuje na środkowym odcinku ściany wykopu.

W zasadzie charakter litologiczny gliny morenowej na wszystkich odcinkach wykopu jest identyczny. Wapnista, w stanie wilgotnym barwy ciemnej, szarawo-żółtawej, jest ona w stanie suchym jasna, sepiowo-szarawa. Uboga w gruby materiał eratyczny, a nawet żwir (przeważnie drobny); „brukowce” i duże głazy (70-80 cm dług.) znajdują się w niej rzadko. Miejscami (szurf III) w poziomie spagowym glina zawiera wtrącenia ilaste i mułkowe oraz wkładki piasków i mułków pobranych z podłoża. Jak to wynika z zestawienia jej składu mechanicznego i dolnej gliny morenowej toczących, jest od tej ostatniej bardziej piaszczysta (p. niżej tabela 1).

Frakcje ok. 0,1 i 0,1 - 0,2 składają się głównie z ostrokanciastego mialu kwarcowego szklanego; dość znaczną domieszkę stanowią ziarna glaukonitu; skalenie nieliczne. We frakcji 0,1 - 0,2 pojawiają się ziarna obtoczone, których ilość we frakcjach następnych stopniowo wzrasta i wzrasta również udział ziarn dobrze obtoczonych, kulistych i jajowatych o powierzchniach matowych. Poczynając od frakcji 0,2 - 0,3 przeważają ziarna kwarcu matowe, obtoczone, nieregularne, z domieszką kulistych i jajowatych; ziarna o powierzchni lśniącej są nieliczne. We frakcji 0,4 - 0,5 pojawiają się okruchy skał krystalicznych. W następnych frakcjach

czach ilość ich wzrasta; występują obtoczone i ostrokanciaste okruchy różnych skał krystalicznych, a mniej licznie — okruchy szarych piaskowców, wapieni paleozoicznych i kredy, poza tym również nieliczne ułamki spikul, obtoczone okruchy zwęglonego drewna oraz grudki marglu jeziorowego i ułamki skorupek ślimaków, pochodzące prawdopodobnie z utworów podścielających.

Na przestrzeni środkowego odcinka wykopu górna partia gliny morenowej przedstawia utwór zmieniony pod wpływem procesów glebowych. Mianowicie, pod cienką warstwą gleby współczesnej występuje, do głębokości 0,85 - 1,7 m (miejscami do 2 m), warstwa typowej, piaszczystej gleby bielcowej, jasnej, szarawej, z poziomem iluwialnym brunatno-czerwonego podglebia w spagu miąższości do 2' m, którym jest glina morenowa odwapniona i zabarwiona wtórnie związkami żelaza, najintensywniej w partii stropowej. Należy podnieść, że E. L. Niezabitowski (7), w swoim opisie stratygrafii interglacjału Szeląga, wyżej wymienione poziomy wyróżnił, poczynając od góry, jako (p. fig. 5): 1) „humus 16 cm grub.“, 2) „morena zwietrzała 83 cm grub.“, 3) „margle ciemne moreny dennej 1.20 m grub.“ i 4) „margle jasne moreny dennej z narzutniakami 2.30 m grub.“. Wobec wzmianki w zacytowanej tu charakterystyce tego ostatniego poziomu (niezwietrzałej gliny morenowej) o „narzutniakach“, z której by można wnosić, że utwór oznaczony przez Niezabitowskiego jako „morena zwietrzała“ — odpowiadający w podanym przeze mnie powyżej opisie profilu gleby bielcowej — „narzutniaków“ nie zawierał, uważam za niezbędne stwierdzić, że znajdowały się one, tzn. żwir i głaziki, podobnie jak w typowej glinie morenowej, w rozproszeniu (spordycznie i na różnych głębokościach).

Na zboczach wzniesienia kulminacyjnego +90 m, podciętego przez wykop żwirowni, tzn. w kierunkach południowym i północnym, miąższość warstwy bielcowej maleje do 50 - 60 cm, a na zboczu pradoliny Warty (z szurfami I i II) brak jej zupełnie. Prawdopodobnie została ona tu zde-nudowana. Glinę morenową pokrywa tu bezpośrednio gleba współczesna (tabl. I-gl).

3° *Utwór jeziorowy* miąższości 1,4 - 1,8 m, wapnisty, składający się z ławic piasków mułkowatych i mułków, ścięty przez pokrywającą go transgresywnie morenę denną (tabl. I, w-wy 6 i 7). Leży niezgodnie na serii piasków fluwialnych, z którymi zdecydowanie kontrastuje (pl. III-1,2).

W poziomie stropowym ławica czystego drobnoziarnistego (poniżej 0,1 — 20,23%, 0,1 - 0,2 — 70%) piasku cienkosłistego, barwy jasnej, sepiowej. Niżej — ławica składająca się z warstewek kryptosłistego mułku piaszczystego, szarawo-sepiowego, z warstewkami piasku różnoziarnistego gliniastego (do 0,1 — 18,8%, 0,1 - 0,2 — 61,65%), zawierającymi

drobny żwir kwarcowy, ułamki skał krystalicznych oraz grudki i miniaturowe toczące gliny morenowej dolnej. W poziomie środkowym ławica warstewek piasku mułkowatego, cienkosłostego, barwy szarawo-sepiowej oraz warstewek zwięzłego mułku kryptosłostego, barwy lessu (frakcje do 0,1 — 32,43%, 0,1 - 0,2 — 64,87%). Podściela je ławica piasku identycznego z występującym w poziomie stropowym. W spągu ławica zwięzłego mułku brunatnawego o odcieniu żółtawym, kryptosłostego i o uwarstwieniu smugowo-mikrosoczewkowatym, podobnym do uwarstwienia osadu deluwialnego.

Skład mechaniczny powyżej scharakteryzowanych utworów jest w zakresie frakcji dominujących identyczny. Są to frakcje 0,01 - 0,1 i 0,1 - 0,2 mm. Stanowią one od 80,45% do 97,30% całości składu mechanicznego tych utworów. Frakcja poniżej 0,1 składa się niemal wyłącznie z ostrokanciastych ziarn kwarcu szklistego, z domieszką skaleni. Występują w niej licznie ziarna glaukonitu, a ponadto w warstewkach piasku mułkowatego ławicy środkowego poziomu — pył węglowy.

We frakcjach 0,1 do 0,3 przeważają ziarna ostrokanciaste kwarcu szklistego. Nieznaczną domieszkę stanowią ziarna obtoczone nieregularnie oraz kuliste i jajowate o powierzchni matowej. We frakcjach 0,3 - 0,6 ziarna obtoczone, ze znaczną domieszką kulistych i jajowatych, stanowią składnik dominujący. W warstewkach piasku różnoziarnistego górnej ławicy, poczynając od frakcji 0,5, występują okruchy kanciaste i obtoczone skał krystalicznych. We frakcjach 0,2 - 0,5 występują, prócz ziarn glaukonitu i skaleni, blaszki biotytu i muskowitu, a poza tym — ułamki spikul gąbek, okruchy marglu jeziorowego, ułamki drobnych skorupek mięczaków plejstocенskich, miniaturowe płaskie otoczaki utworów o wyglądzie gytii i łupku torfowego oraz okruchy zwęglonego drewna, nieregularne i obtoczone.

Ławice utworu jeziorowego, w partii kontaktującej z aluwiami wysokiego tarasu pra-Warty, przechodzą w utwór o wyglądzie marglu jeziorowego (tabl. I, w-wa 6 m; pl. IV-1, w-wa 6 m). Stopień cementacji tego utworu dość znaczny; przy dotyku pyli słabo, miejscami silnie, jest cienkosłosty, silnie porowaty.

Podstawową masę marglu stanowi pelit wapienny (97,05%), z nieznaczną domieszką drobnoziarnistego piasku kwarcowego (frakcje dominujące w domieszce ok. 0,1 i 0,1 - 0,3 mm) — 2,95%. Przeważają ziarna kwarcu szklistego, dobrze obtoczone, w tym wiele jest kulistych; liczne ziarna skaleni i glaukonitu, bardzo nieliczne ułamki blaszek biotytu. Zwraca uwagę zupełny brak okruchów drewna zwęglonego oraz ułamków skorup mięczaków, które w ławicach piaszczystych i mułkowych dość licznie występują. Próbkę marglu, zbadane pod względem palinologicznym przez mgra K. Bitnera, pyłków roślinnych nie zawierały. Nie zawierały ich rów-

nież piaski i mułki opisywanej serii jeziorowej. Prof. dr. W. Pożaryskiemu zawdzięczam potwierdzenie skonstatowanego przeze mnie faktu braku okrzemek w marglu, który wobec tego uznać należy za utwór kryptogeniczny. Porowatość oraz gęsta sieć kanalików po korzeniach, o powikłanym przebiegu, z rozwidleniami, o różnej, na ogół dużej średnicy (do 1 mm), występujących często w postaci nieregularnych rurek o ściankach wapiennych i z kalcytu przezroczystego — to fakty, które wskazywałyby na udział roślinności błotnej w powstawaniu tego marglu.

4° *Piaski serii sedymentacyjnej fluwialnej* (tabl. I, w-wa 5), podścielającej utwór jeziorowy piaszczysto-mułkowy (tabl. I, w-wa 6) oraz aluwia wysokiego tarasu akumulacyjnego pra-Warty z „brukiem“ z rozmytej górnej moreny dennej w spągu (tabl. I, w-wa 8; pl. III i IV, w-wy 5, 6, 8. br). Powierzchnia serii erozyjna — nierównomiernie ścięta. W poziomie stropowym piaski drobnoziarniste, czyste; poniżej „bruku“ — jasne, brunatnawe, z ciemnymi smugami związłego piasku orsztynowego, bezwapienne; poniżej spągu utworu jeziorowego piaszczysto-mułkowego czyste, jasne, o słabym odcieniu sepiowym, wapniste, z frakcjami dominującymi 0,1 - 0,2 (70,70%) i 0,2 - 0,3 (28,16%), łącznie 98,86%. Skład mechaniczny piasków tej serii, poniżej „bruku“, jest nieco odmienny: frakcjami dominującymi są 0,1 - 0,2 (68,56%) i 0,3 - 0,4 (17,53%), łącznie 86,09% (0,2 - 0,3 tylko 2,5%).

Uwarstwienie serii, górą poziome, ku dołowi przechodzi w warstwy silnie pochylone ku NEE; w związku z tym zmienia się również skład mechaniczny: piaski drobnoziarniste przechodzą stopniowo w różnoziarniste i gruboziarniste z domieszką żwiru. W spodzie szurfu II (tabl. I, w-wa 5a), na głębokości 5,5 m od powierzchni terenu, zwarta ławica piaszczysto-żwirowa, ciemna, szara, zawierająca liczne gładziki różnej wielkości, sporadycznie występujące gładziki wielkości „brukowców“ oraz toczące dolnej gliny morenowej. Z poziomu tego, z szurfu, pochodzą cztery okazy drobnych toczenców (pl. IV-2, nr 1-4): jeden kulisty (nr 3), dwa krążkowe (nr 1 i 2) i część elipsoidального (nr 4). Jeden z toczenców krążkowych (nr 1) jest oblepiony żwirem, który go deformuje. Uszkodzenia toczenców elipsoidального (nr 4) i kulistego (nr 3) są stare, sądząc ze stanu zachowania powierzchni uszkodzonych. Mają one charakter powierzchni pochodzących z rozbicia tych okazów w ich złożu obecnym, które jest złożem wtórnym. Dowodem wtórności złoża tych toczenców jest brak patyny żelazistej, którą pokryte zostały w złożu pierwotnym; produktem przemycia tego złoża jest odsłonięta w szurfie II ławica żwirowo-gładzikowa z toczencami. Wywnika to również z obecności na powierzchni uszkodzonej partii toczenców elipsoidального (nr 4m) oraz na dwóch toczencach z szurfu III ułamków skorup ślimaków, wtłoczonych — podobnie jak ziarna piasku grubego

i żwiru — w pierwotnie miękką powierzchnię tych toczeńców (pl. IV-2 nr 10m). Toczeńce z szurfu II mają 38, 41 i 43 mm średnicy.

Dominującym składnikiem piasku poziomu stropowego opisywanej serii fluwialnej jest kwarc, przeważnie szklisty, z domieszką nieznacznej ilości ziarn skaleni i blaszek muskowitu, z licznymi natomiast ziarnami glaukonitu, którego występowanie jest ograniczone do frakcji od ok. 0,1 do 0,3 mm. We frakcjach grubszych, poczynając od 0,2 - 0,3, występują początkowo nieliczne, kanciaste i obtoczone okruchy skał krystalicznych. We frakcjach grubości do 0,3 przeważają ziarna ostrokanciaste; ziarna obtoczone — początkowo z przewagą nieregularnych, a tylko z nieznaczną domieszką dobrze obtoczonych, kulistych i jajowatych o powierzchniach matowych — charakteryzują frakcje 0,1 - 0,3. We frakcjach grubszych stosunek ten zmienia się na korzyść ziarn dobrze obtoczonych.

Charakterystyka ta obejmuje cechy wspólne piasków poziomu stropowego serii fluwialnej, podścielających w części zachodniej profilu utworów jeziorowy piaszczysto-mułkowy, a w części wschodniej — aluwia wysokiego tarasu pra-Warty. Próbkę tych piasków wykazały jednak różnice w składzie domieszek ubocznych. Próbką piasku podścielającego utworów jeziorowy zawierała jedynie dwa ułamki spikul gąbek, parę drobnych ułamków skorupki mięczaków plejstocenijskich oraz liczne okruchy utworu mułowego barwy ochry, próbka zaś piasku podścielającego aluwia pra-Warty zawierała okruchy białego wapienia (prawdopodobnie kredy), marglu jeziorowego z ziarnami piasku różnej grubości i glaukonitu, piaskowca szarego, miniaturowe płaskie otoczaki utworu o wyglądzie gytii i łupku torfowego oraz dwa okruchy obtoczone zwęglone drewna.

Szurf III

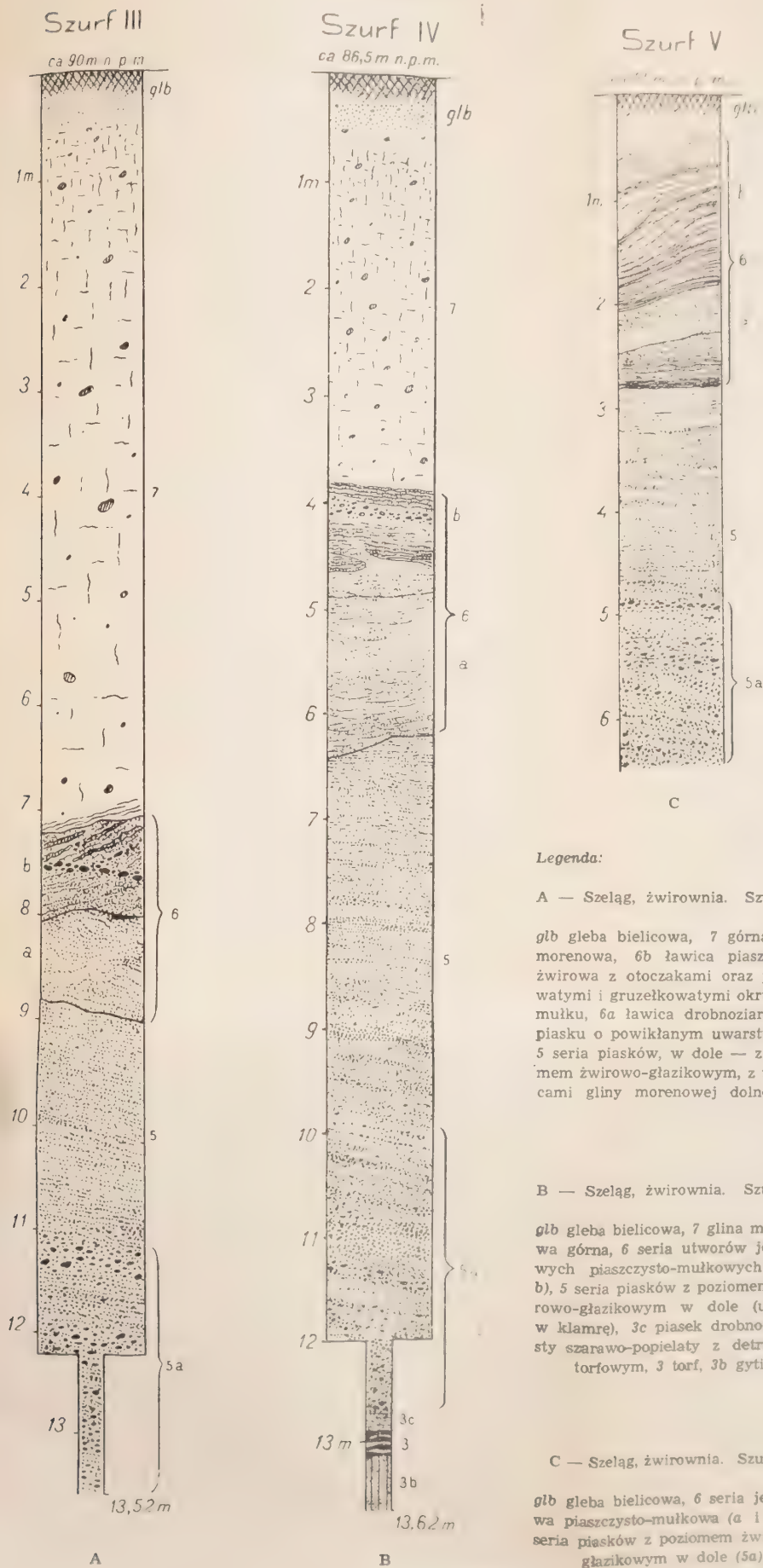
Poczynając od góry, w szurfie tym zostały odsłonięte utwory następujące (tabl. II-A):

1° *Gleba piaszczysta bielkowa* (tabl. II-A, *glb*), wyklinowująca się w kierunku północnym, w niewielkiej odległości od szurfu; miąższość 50 cm.

2° *Górna glina morenowa* (tabl. II-A, w-wa 7), miąższości 6,5 - 6,7 m, z poziomem podglebia w partii stropowej do głębokości 50 cm, barwy (w stanie świeżym) górą ciemnej, brunatnawo-czerwonawej, niżej jaśniejszej, brunatnawej. Przedstawia ona typową glinę moreny dennej; jest wapnista. Uboga w gruby materiał eratyczny, w poziomie spagowym zawiera interkalacje ilaste i mułkowe oraz wkładki czystego, różnoziarnistego piasku. Elementami dominującymi w jej składzie mechanicznym są: pelit poniżej 0,1 mm — 48,89% (w tym poniżej 0,01 — 29,63%), piasek frakcji 0,1 - 0,3 — 38,53%, łącznie obie grupy frakcji — 87,42%. Głina

Stratygrafia utworów środkowej (szurf III) i południowej części żwirowni (szurf IV, V)

Skala 1:50



pokrywa transgresywnie piaski podścielające, ścinając je ukośnie, zgodnie z ich upadem ku S.

3° Ławica czystego, jasnego, szarawo-żółtawego, wapnistego piasku różnoziarnistego, ze żwirem i drobnymi głazikami, o nieregularnym, drobnosoczewkowatym, ukośnym — ku S — uwarstwieniu (tabl. II-A, w-wa 6b). Składa się z następujących frakcji piasku: poniżej 0,1 mm — 3,39%, drobnosoczewkowatych (0,1 - 0,3 mm) 25,99%, średnioziarnistych (0,3 - 0,5 mm) 33,89%, gruboziarnistych (0,5 - 1,0 mm) 10,17%. Domieszka żwiru stanowi 26,55%, w tym żwiru drobnego (1,0 - 2,0 mm) 3,96%, średniego (2,0 - 7,0) 10,73% i grubego (7,0 - 14,0) 11,86%. Poza tym nieliczne drobne głaziki do 28 mm długości.

Dominującym elementem składowym ławicy są różnej wielkości i różnych kształtów okruchy utworu mułkowego, występujące zwarcie w postaci interkalacji w warstewkach piaszczysto-żwirowych. Są to duże, do 15 cm długości i do 3 cm grubości, płytkowate oraz grube i drobne (do 3 mm) gruzełkowate okruchy, myte i modelowane w różnym stopniu przez wodę bieżącą, oblepione piaskiem, z rzadka i żwirem, przeważnie kształtów nieregularnych, o wygładzie grubego i drobnego żwiru oraz małych głazików. Wśród drobnych okruchów występują wrzecionowate toczne i miniaturowe płaskie, wydłużone otoczaki (pl. IV-2, nr 6 i 7).

Wśród okruchów płytkowatych średnich wymiarów (4-6 cm długości) przeważają formy pochodne elipsoidalnych, o przekroju soczewkowatym. Wzięty z próbki utworu okaz płytkowatego okrucha (pl. IV-2, nr 5), długości 12 cm jest kształtu nieregularnie elipsoidalnego, o powierzchni z jednej strony stosunkowo równej, z lekka wypukłej, z drugiej strony bogato urzeźbionej, z wyraźnymi śladami żłobienia erozyjnego. Powierzchnię tego okazu oraz innych, z wyjątkiem drobnych okruchów, pokrywał zwarty nalot żelazisty barwy ciemnej brunatnawej, który został częściowo zmyty podczas akumulacji ławicy piaszczysto-żwirowej, zawierającej te okruchy.

Okruchy te pochodzą z utworu identycznego z utworem mułkowym serii jeziorowej, podścielającej górną glinę morenową w zachodniej części północnego odcinka ściany wykopu żwirowni (tabl. I, w-wa 6). Utwór mułkowy okruchów jest bardzo zwięzły, wapnisty, barwy lessu. Składa się niemal wyłącznie z pelitu kwarcowego szklanego, grubości poniżej 0,1 mm, z przewagą frakcji poniżej 0,01. Zawiera bardzo nieznaczną domieszkę ziarn skaleni, jedynie we frakcji ok. 0,1. Charakteryzuje go pozioma kryptosłoistość, właściwa osadowi zawieszyny opadającej na dno w warunkach zupełnego spokoju zbiornika wody i poza zasięgiem wpływu jego strefy brzeżnej. Tej teksturze utworu mułkowego, a w następstwie — jego skłonności do łupliwości poziomej, np. w warunkach wietrzenia mechanicznego, jak to było prawdopodobnie w tym przypadku, okruchy

opisywane zawdzięczają swoją płytkowatość. O słoistości tego utworu świadczy również schodkowatość powierzchni odbitych partii na stroni płaskiej wyżej wspomnianego dużego (długości 12 cm) okazu płytkowatego, nieregularnie elipsoidalnego okrucha oraz widoczna w nadciętej partii jego boku obecność cieniutkich smużek szarawo-popielatawych, prawdopodobnie pyłu węglowego.

Piasek ławicy przeważnie kwarcowy, domieszka skaleni we frakcjach poniżej 0,5 mm na ogół nieznaczna; powyżej tej frakcji występują okruchy skał krystalicznych. Poniżej frakcji 0,2 - 0,3 przeważają ziarna ostrokanciaste kwarcu szklatego, z nieznaczną domieszką ziarn w różnym stopniu obtoczonych, matowych i lśniących. We frakcjach poniżej 0,1 i do 0,4 dość liczne ziarna glaukonitu. Z domieszek ubocznych występują ułamki koralu i spikul, okruchy wapienia kredowego, białego marglicz z ziarnami piasku i glaukonitu, poza tym — obtoczone okruchy zwęglonego drewna oraz utworu torfowego barwy czarniawo-brunatnej. Związki i gładziki przeważnie skał krystalicznych, parę okazów wapienia paleozoicznego. Stan zachowania żwiru i gładzików świeży, bez śladów dłuższego transportu wodnego. Na dwóch gładzikach resztki gliny morenowej szarej o odcieniu sepiowym.

Miąższość odsłoniętej w szurfię ławicy piaszczysto-żwirowej z okrucami utworu mułkowego, prawdopodobnie wskutek częściowego ścięcia jej przez pokrywającą ją transgresywnie glinę morenową, wynosi od 30 do 50 cm. W jej spągu występuje zwarty poziom żwiru i gładzików, który jest poziomem granicznym, niezgodnym z ławicą piasków podścielających. Jest to ławica środkowa, miąższości 40-50 cm, czystych, jasnych, szarych, nieregularnych, ukośnie drobnosoczewkowato warstwowanych piasków wapnistych z cienkimi rdzawymi smużkami. Składnikiem dominującym jest tu piasek drobnoziarnisty, mianowicie frakcje: 0,1 : 0,2 (42,11%) i 0,2 - 0,3 (36,21%). Łącznie z domieszką piasku średnioziarnistego — 0,3 - 0,4 (10,75%) stanowią one 89,07% składu mechanicznego piasku tej ławicy. Udział frakcji poniżej 0,1 mm jest minimalny i wynosi zaledwie 0,42%.

We wszystkich frakcjach zdecydowanie przeważa piasek kwarcowy, szklisty, nieznaczną domieszkę stanowią ziarna skaleni i blaszki muskowitu. natomiast liczne są ziarna glaukonitu. W piasku drobnoziarnistym przeważają ziarna ostrokanciaste, a poczynając od frakcji 0,2 — ziarna obtoczone, nieregularne i kuliste, przeważnie matowe. Z domieszek ubocznych wymienić należy liczne ułamki drobnych skorup mięczaków oraz we wszystkich frakcjach, odpowiadające im grubością okruchy zwęglonego drewna, w tym liczne dobrze obtoczone. Poczynając od frakcji 0,4 - 0,5 występują bardzo liczne okruchy oraz miniaturowe, płaskie, pod-

krążkowe otoczaki marglu, oblepione piaskiem. Te ostatnie o wymiarach powyżej 1 mm stanowią ok. 5% całości składu piasków tej ławicy.

Pokrywa ona niezgodnie dolną ławicę piasku o podobnym składzie granulometrycznym. Piasek wapnisty, czysty, jasny, szarawy o odcieniu żółtawym. Udział frakcji drobnoziarnistych jest większy, wynosi bowiem 87,46%, łącznie zaś z piaskiem średnioziarnistym (0,3 - 0,4 — 6,08%) — 93,54%, wobec 89,07% tych samych frakcji ławicy poprzedniej.

Ławicę tę charakteryzuje niewyraźne uwarstwienie: drobne, o zmieniającym kierunku i, sądząc z układu cienkich smużek rdzawych, jakby zaburzone wskutek przesunięć i gniecenia. Piasek wapnisty, głównie kwarcowy, szklisty, większy udział ziarn słabo obtoczonych, lśniących; ziarna kuliste i jajowate przeważnie matowe. Liczne skaleni i ziarna glaukonitu, nieliczne blaszki muskowitu. Frakcja pelitowa (0,38%) zawiera znaczną domieszkę pyłu rdzawego. Podobnie jak w piaskach ławicy poprzedniej, liczne okruchy i (we frakcjach powyżej 0,5 mm) miniaturowe płaskie otoczaki podkrążkowe marglu, oblepione piaskiem. Poza tym nieliczne ułamki spikul, liczne ułamki drobnych skorup mięczaków plejstocenijskich oraz drewna zwęglonego, przeważnie w postaci otoczek. Miąższość odsłoniętej w szurfi części ławicy od 0,75 do 1 m. Ławica ta pokrywa wyraźnie niezgodnie piaski serii sedymentacyjnej rzecznej (w-wa 5), której powierzchnia erozyjna opada pod kątem dość ostrym ku N.

Piaski tej serii tworzą z piaskami ławicy nadległej wyraźny kontrast. W poziomie stropowym są one średnioziarniste (70,52%), ze znaczną domieszką piasku gruboziarnistego (25,64%), łącznie z którym stanowią 96,16% całego składu — bez drobnego żwiru (frakcje 1,0 - 4,0), którego domieszka stanowi 3,23%. Poziomo warstwowane, są one czyste, jasne, szare, wapniste. Dominują ziarna kwarcu szklistego, we frakcji 0,1 - 0,2 ostrokanciaste (ok. 60%), z nieznaczną tylko domieszką ziarn w różnym stopniu obtoczonych, lśniących i matowych. Poczynając od frakcji 0,2 - 0,3 ziarna obtoczone przeważają, wzrasta udział ziarn kulistych i jajowatych matowych. Liczne są tu ziarna skaleni i glaukonitu, nieznaczną domieszką blaszek muskowitu, a poczynając od frakcji 0,4 — okruchy kanciaste skał krystalicznych. Poza tym, próbka piasku pobrana z szurfu, z głębokości 9 m. na której podstawie podaję tę charakterystykę sumaryczną poziomu stropowego serii sedymentacyjnej rzecznej, pokrywającej interglacjał torfowo-gytiowy Szelağa, zawierała: okruchy i miniaturowe otoczaki białego i żółtawego wapienia oraz piaskowca i zlepieńca o lepiszczu wapiennym, z dobrze obtoczonymi ziarnami, lśnięcymi i matowymi, kwarcu szklistego i glaukonitu, dwa typowe otoczaki (w tym jeden kształtu elipsoidalnego) drobnych ułamków skorup małża kredowego (*Inoceramus?*), typowe miniaturowe otoczaki i okruchy utworu o wyglądzie zwietrzałego wapienia barwy ochry i otoczaki podkrążkowe, płaskie, marglu jeziorowego, liczne

ułamki skorup mięczaków plejstocénskich oraz ułamki kształtu listewek żelaziste, rdzawe, o teksturze włóknistej, przypominające słoje drewna

Poniżej tego poziomu piaski różnoziarniste z domieszką żwiru o przekątnym uławiceniu, wapniste, jasne, szarawe; dołem — poczynają od 11 m — grubo uławicone, żwirowe, z glazikami, jasne, żółtawo-rdawe. Poziom 12 - 12,10 m to poziom liczego występowania dużych, walcowatych i kulistych toczeńców dolnej gliny morenowej (pl. IV-2, nr 8 i 9). Z części tego poziomu objętej szurfem pochodzą 3 walcowate toczeńce i kulisty točenjeć o wymiarach: točenjeć walcowate — od 6 do 9 cm długości i od 6,5 do 8,5 cm średnicy, kulisty — 5,3 cm średnicy. W poziomie tym występują bardzo licznie również drobne obtoczone okruchy gliny morenowej — „żwir točenjećowy“. Próbką piasku żwirowego, pobrana z tego poziomu, zawierała 3 drobne točenjeć, z których jeden był kulisty o średnicy 1,8 cm, i dwa podkrążkowe płaskie, o średnicach 1,2 i 1,6 cm, poza tym 16 obtoczonych okruchów gliny morenowej, „żwiru točenjećowego“, o grubości od 2 do 7 mm.

Z poziomu nieco wyższego — 11,7 m, pochodzą: 3 točenjeć — dużych wrzecionowatych, długości 15 cm i 5,8 cm średnicy, i 2 walcowate, z których jeden długości 3,4 - 4,3 cm i 8 cm średnicy (pl. IV-2, nr 10 i 11), drugi (rozbity) długości ok. 7 cm i o średnicy ok. 8,5 cm.

Poziomy występowania točenjećów w tym szurfie i w szurfie II nie reprezentują ich złoża pierwotnego, lecz wtórne. Wskazują na to takie fakty, jak: zmycie z większej części powierzchni točenjećów zewnętrznej czarnej powłoki żelazistej i odsłonięcie patyny brunatno-rdzawej, której intensywność — wskutek mycia — jest niejednakowa, a zwłaszcza na krawędziach točenjećów walcowatych miejscami jest zupełnie zmyta; następne występowanie wśród ziarn piasku gruboziarnistego i żwiru, oblepiających powierzchnię točenjećów, grudek marglu jeziorowego oraz — na dwóch točenjećach walcowatych, pochodzących z tego szurfu i z poziomu opisywanego — drobnych ułamków muszli mięczaków plejstocénskich, identycznych z uławkami muszli występujących i w nadległej serii jeziorowej piaszczysto-mułkowej.

Stan zachowania powierzchni wrzecionowatego i obu walcowatych točenjećów z poziomu 11,7 m wybitnie się różni od stanu zachowania powierzchni točenjećów pochodzących z poziomu 12 - 12,10 m. Są one całkowicie pozbawione brunatno-rdzawej patyny żelazistej, zachowały się jedynie jej drobne partie z resztkami nalotu czarnego. Piasek, którym były oblepione, jest zmyty; pozostały jedynie głębiej tkwiące ziarna grubego i żwiru. Ponadto oba końce i jedna strona točenjeća wrzecionowatego — dla uproszczenia nazwę ją stroną górną — noszą wyraźne ślady intensywnego modelującego mycia; końce są tępo ścięte i zaokrąglone, a powierzchnia strony górnej zerodowana i przedstawia mytą powierzchnię.

gliny morenowej, z nielicznymi tkwiącymi w niej ziarnami żwiru, z wy-
 żłobioną, nieregularną, podłużną wnęką w powierzchni połowy strony gór-
 nej tego toczénca. Stan zachowania powierzchni toczénców walcowatych
 podobny. Ścięcie i zaokrąglenie krawędzi jednego z nich upodobiło go —
 przy jego nieznacznej długości — do grubego otoczaka krążkowego. Na
 mytej powierzchni jego krawędzi zachował się drobny ułamek muszli
 mięczaka plejstocénskiego (pl. IV-2, nr 10m).

Fakty te zgodnie wskazują, że toczénce w tym poziomie nie powstały,
 że pobrane z innego, rozmytego złoża w poziomie tym występują jako
 otoczaki. Skonstatowanie tego faktu nie może być nie wzięte pod uwagę
 przy ustalaniu stratygrafii i wieku utworów występujących poniżej gór-
 nej gliny morenowej. Dotyczy to również faktu występowania w poziomie
 toczénców głązików korodowanych i graniaków, których złoże pierwotne
 jest związane z „brukiem“ z rozmytej gliny morenowej dolnej.

Porównanie składu mechanicznego gliny morenowej toczénców z gli-
 ną morenową górną ujawnia duże różnice. Ilustruje to podane poniżej
 zestawienie. Większy udział w glinie toczénców materiału pelitowego
 i mniejszy frakcji piasku powyżej 0.3 mm nadaje jej charakter utworu ła-
 stego i większą zwięzłość, niż gliny morenowej górnej.

T a b e l a 1

Skład mechaniczny gliny toczénców i gliny morenowej górnej

F r a k c j e mm	Glina toczénców	Glina morenowa górna
	%	%
poniżej 0.1	70,39	48,89
0.1 - 0,3	22,21	38,53
0.3 - 0,5	4,44	5,18
0.5 - 1,0	2,96	7,40

Piaski poziomu toczénców charakteryzuje znaczny udział drobnego
 i średniej grubości żwiru (od 1 do 10 mm), dochodzący do 11,81%. Pod-
 stawowym jednak składnikiem jest tu piasek, w którym dominują frakcje
 średnioziarniste (0,3 - 0,5 — 54,42%); łącznie z frakcjami gruboziarnisty-
 mi (0,5 - 1,0 — 16,02%) stanowią one 70,44% piasku tego poziomu. Do-
 mieszka frakcji drobnoziarnistych (0,1 - 0,3) wynosi 17,33%, poniżej zaś
 0,1 — 0,42%.

Poczynając od frakcji 0,1 przewaga ziarn w różnym stopniu obto-
 czonych; we frakcjach grubszych są one dobrze obtoczone, nieregularne,
 matowe, z przewagą kwarcu szklistego. Liczne skalenie oraz ziarna glau-
 konitu. We frakcjach grubszych okruchy obtoczone i grudki wapienia kre-
 dowego z ziarnami glaukonitu, niektóre również z ziarnami piasku kwar-

cowego dobrze obtoczonego; okruchy kanciaste i obtoczone białego piaskowca, niektóre z ziarnami glaukonitu. Liczne, dobrze obtoczone okruchy wapienia paleozoicznego, poza tym liczne grudki i miniaturowe, podkrążkowe i elipsoidalne otoczaki marglu jeziorowego; jedna z grudek marglu zawierała muszelkę ślimaka *Valvata piscinalis* Müller według określenia dra St. Feliksiaka. Kilka ułamków drewna zwęglonego, liczne ułamki muszli mięczaków plejstocenijskich.

Poniżej piasków zwirowych z toczącami występuje w poziomie dna studzienki szurfu (12,20 - 12,35 m) ławica zwirowo-głazikowa, żelazista barwy jaskrawordzawej, wapnista. Sporadycznie występują w niej również większe głazy wielkości „brukowców“. Piasek, z przewagą frakcji średnio- i gruboziarnistych (37,97 i 41,27%) oraz żwir z przewagą żwiru średniego i grubego (2 - 10 mm — 45,29% i 10 - 20 mm — 35,30%) stanowią podstawowe składniki ławicy. Gruby materiał eratyczny reprezentują występujące licznie głaziki, przeważnie skał krystalicznych. Ich przeciętne wymiary wahają się od $2,5 \times 3,5$ do $5,5 \times 8,5$ cm. Stan zachowania powierzchni różny. Znajdują się tu głaziki o powierzchni skorodowanej oraz typowe graniaki. Powierzchnie większości głazików matowe, wtórnie obtoczone sądząc z zachowanych na niektórych okazach śladów pierwotnego eolicznego wypolerowania. Powierzchnię głazików pokrywa, częściowo zmyty, czarny osad żelazisty.

W składzie żwiru wybitną przewagę stanowią ziarna dobrze obtoczone. Powierzchnie ziarn żwiru matowe. Przeważają ziarna i okruchy kanciaste różnych skał krystalicznych i kwarcu; poza tym występują licznie obtoczone okruchy wapienia paleozoicznego, kredowego, piaskowców, zlepieńców różnych (w tym 2 spikul), marglu jeziorowego oraz liczne muszle i ułamki muszli mięczaków plejstocenijskich.

Piasek, występujący w tej ławicy, pod względem petrograficznym morfologii i stanu zachowania powierzchni ziarn nie różni się od piasku nadległych, opisanych już poziomów tej serii sedymentacyjnej. Tu również zaznacza się zależność progresywności skały procentowej udziału ziarn dobrze obtoczonych, w tym kulistych i jajowatych, od grubości frakcji.

Z ławicy tej pochodzi jeden toczeniec kulisty, o średnicy 4,7 cm. Jest on oblepiony piaskiem i żwirem, powierzchnię pokrywa brunatno-rdzawa patyna. Byłby to zatem jeszcze jeden poziom występowania toczenców dolnej gliny morenowej. Wskazuje na to również obecność „żwiru toczencowego“. Pobrana próbka piasku (330 cm^3) zawierała 58 obtoczonych okruchów gliny morenowej, o średnicy czy też długości od 3 do 13 mm. Wśród nich znajdują się miniaturowe toczence kuliste i podkrążkowe płaskie oraz 2 wrzecionowate. Powierzchnie „żwiru toczencowego“ nie są pokryte żelazistą brunatno-rdzawą patyną; oblepia je piasek i żwir.

drobny. wśród których. na jednym okazie. znajduje się drobny ułamek muszli. a na kilku innych — resztki grudek marglu jeziorowego.

W zakończeniu badań stratygraficznych w szurfie III wykonane zostało wiercenie świdrem ręcznym na dnie studzienki szurfu, doprowadzone do głębokości 1,32 m od dna studzienki — 13,52 m od powierzchni terenu. Ujawniło ono piaski żwirowe, żółtawo-rdzawe, słabo zawodnione, nie dochodząc do ich spągu.

Szurf IV

Szurf IV (pl. I. 2 i II. 2; tabl. II. B). W szurfie tym, poczynając od góry, występowały utwory następujące:

1^o *Gleba biellicowa piaszczysta* (tabl. II-B. *glb*), miąższości 60 cm.
2^o *Górna glina morenowa* jak w szurfie III (tabl. II-A, w-wa 7). miąższości 3,75 - 3,85 m, z poziomem podglebia odwapnionym u góry, grubości 1,95 m. W pobliżu tego szurfu oraz w kilku miejscach środkowej części ściany wykopu występowały w stropowej partii gliny morenowej głębokie kliny mrozowe, wypełnione piaskiem gliniastym ze żwirem i gładzikami.

3^o *Seria jeziorowa* (tabl. II-B. w-wa 6), składająca się, poczynając od góry, z osadu mułkowego miąższości 85 cm, z ławicą interkalacyjną piaszczysto-żwirową grubości 10—15 cm w partii stropowej, oraz — w spągu mułków — z drobnoziarnistych piasków miąższości 1,75 m. Mułki stropowe piaszczyste, o drobnym, powikłanym, jakby zaburzonym uwarstwieniu, barwy szarawo-sepiowej, wapniste, ścięte przez pokrywającą je morenę denną. Mułki poniżej ławicy piaszczysto-żwirowej, górą piaszczyste, sepiowe, przechodzą ku dołowi w ilaste, barwy brunatnej. Są one kryptosłoiste, z jaśniejszymi smugami piasku mułkowatego o powikłanym przebiegu, dającym obraz jakby poprzesuwanym płatów osadu. W poziomie stropowym piasków podścielających ławica grubości 25 cm czystego białego, drobnoziarnistego piasku, poziomo cienkosłoistego; niżej piaski soczewkowato w rybią łuskę warstwowane. Dominują frakcje drobnoziarniste: 76,56% (0,1 - 0,2 — 75,61% i 0,2 - 0,3 — 0,95%), które łącznie z pelitem (poniżej 0,1) stanowią 99,52% całego składu. Resztę (0,48%) stanowi znikoma domieszka piasku średnioziarnistego, wyłącznie frakcja 0,3 - 0,4 mm.

We frakcjach poniżej 0,1 i do 0,2 — niemal wyłącznie ziarna kwarcu szklistego, z przewagą ostrokanciastych; w pozostałych (0,2 - 0,4) ziarna dobrze obtoczone stają się elementem dominującym — dochodzą do 85% całego składu. Liczne ziarna kuliste i jajowate, matowe; duży udział ziarn dobrze obtoczonych lśniących. Frakcja poniżej 0,1 zawiera znaczną domieszkę glaukonitu, w obu następnych frakcjach jest ich znacznie mniej.

W ostatniej frakcji liczne skalenie; poza tym występują kanciaste okruchy granitu i blaszki muskowitu. Próbką tych piasków, pobrana z głębokości 5,6 m, zawierała kilka drobnych ułamków muszli ślimaków wodnych.

Niemal połowę, bo 46,55% składu ławicy piaszczysto-żwirowej stopowego poziomu mułków stanowią żwir (grubości do 10 mm) i gładziki (do 25×30 mm) różnych skał krystalicznych, kwarcu, wapieni paleozoicznych i kredowych. Pochodzą z pobliskiego złoża, zachowały stare, skorodowane powierzchnie, niezmatowiałe wskutek transportu.

Piasek stanowi 53,43% całego składu ławicy piaszczysto-żwirowej. Udział poszczególnych frakcji jest następujący: drobnoziarnistych (0,1-0,3) 18,36%, średnioziarnistych (0,3 - 0,5) 10,82% i gruboziarnistych (0,5 - 1,0) 20,33%. Dość znaczną domieszkę stanowi pelit poniżej 0,1 mm (3,94%). Przeważają ziarna kwarcu szklistego, poczynając od frakcji 0,3 - 0,4 dobrze obtoczone, matowe, z nieznaczną tylko domieszką ziarn ostrokanciastych. Piasek skaleniotowy ma znaczną domieszkę glaukonitu i mniej liczną biotyty i muskowitu. We frakcjach powyżej 0,3 występują okruchy skał krystalicznych, białego piaskowca, zlepieńce o lepiszczu wapiennym białym oraz o wyglądzie zwietrzałego wapienia barwy ochry, zawierające doskonale obtoczone ziarna piasku, niekiedy glaukonitu. Uwarstwienie ławicy niewyraźne, drobne, zawiera wkładki gliniaste o wyglądzie spiaszczonej nierównomiernie gliny morenowej, ze żwirem i drobnymi korodowanymi gładzikami, wapniste, barwy szarawo-sepiowej. Pobrana próbka piasku ze żwirem i okruchami wkładek gliniastych zawierała 2 uszkodzone muszle ślimaków z rodziny Planorbidae, prawdopodobnie *Gyraulus gredleri* Gredler.

4⁰ *Seria sedymentacyjna rzeczna* (tabl. II-B, w-wa 5) miąższości 6,25 m. Czyste, jasnoszarawe, różnoziarniste piaski o zmiennym poziomym i przekątnym różnokierunkowym uwarstwieniu, wapniste; w górnej partii średnioziarniste ze słojami i soczewkami piasku gruboziarnistego z drobnym żwirem i gładzikami. Ku dołowi udział frakcji gruboziarnistych oraz żwiru wzrasta i częściej występują gładziki, uwarstwienie zaś opada dość ostro ku N. W poziomie 11,25 frakcje średnio- i gruboziarniste (72,61 i 11,67%), łącznie z domieszką żwiru przeważnie drobnego (1,94%), stanowią 86,22% całego składu. Domieszka frakcji pelitowych wynosi zaledwie 0,17%. Skład petrograficzny i morfologia ziarn piasku tej serii takie same jak w szurfie III. Z domieszek ubocznych wymienić należy występowanie spikul i ułamków innych skamieniałości (paleozoicznych i kredowych), okruchów zlepieńca ziarn piasku o lepiszczu wapiennym, z ułamkami muszli ślimaków plejstoceńskich, które poza tym występują również luźno, oraz zlepieńców o lepiszczu mającym wygląd zwietrzałego wapienia barwy ochry.

W poziomie 12.25 - 12.50 m ławica żwirowo-głazikowa ze sporadycznie występującymi „brukowcami”. Głaziki różnej wielkości, przeważnie duże ($6 \times 4 \times 3,8$ cm — $10 \times 8,5 \times 4,5$ cm). Głaziki skał krystalicznych i wapieni paleozoicznych, przeważnie o doskonale zachowanych powierzchniach starych, skorodowanych i pokrytych eoliczną patyną, świadczą o wtórności ich złoża.

Wśród głazików znajduje się okaz, którego krawędzie boczne pokrywają szczybry, mające wszelkie cechy obróbki intencjonalnej (fig. 7). Jest to płytkowaty, gruby odłupek dużego głazika kwarcytu Dala, który powstał w warunkach transportu materiału skalnego przez lodowiec. Powierzchnia górna i dolna oraz nie pokryte szczybami partie boków są intensywnie skorodowane, w przeciwieństwie do partii zaszczerbionych, które charakteryzuje jedynie ogładzenie eoliczne. Zaszczerbienie obłupkowe grube, wielokrotne, pionowe i bardzo strome; w partii wierzchołkowej prawego boku duży negatyw odłupka odbitego poziomo, z drobnymi negatywami szczybienia na krawędzi podstawy tego negatywu. Tylec naturalny, gruby, dobry do uchwytu. Na stronie górnej, głównie wzdłuż lewego boku, ślady pojedynczych uderzeń (na rysunku oznaczone kropkami) w postaci nakłuć powierzchni („piquage“ według terminologii francuskiej). Tego rodzaju uszkodzenia powstają na tłukach i na podstawkach-kowadłach, stosowanych w niektórych przemysłach paleolitycznych przy wyrobie narzędzi. Okaz reprezentuje typ zgrzebła podwójnego: o ostrzach wypukłym i obłęcznikowym.

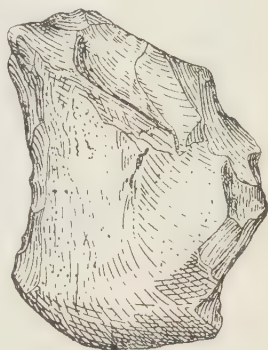


Fig. 7

Odłupek kwarcytu
Dala

Płytkowaty, gruby odłupek kwarcytu Dala, zaszczerbiony intencjonalnie na obu krawędziach bocznych, ze śladami uderzeń na stronie górnej (kropki). Ławica żwirowo-głazikowa. Szelaąg, szurf. IV. 2'3

Z dolnej partii tej samej serii sedymentacyjnej piasków rzecznych pochodzą opublikowane w 1898 r. przez G. Maasa (5) dwa niewątpliwie intencjonalne wyroby krzemienne — wiór i odłupek (fig. 8). Niestety, przynależności przemysłowej tych okazów nie podobna bliżej określić — prawdopodobnie reprezentują one przemysł wczesno-madleński. Znajdowały się, podobnie jak okaz wyżej wzmiankowany, na złożu wtórnym. Wydaje się, że oba te znaleziska łączy bliższy związek, a nie tylko tożsamość miejsca i warunków stratygraficznych. Przyjmując, że okaz reproduowany jest wyrobem intencjonalnym, należałoby go oznaczyć jako narzędzie atypowe; obróbkę swoją zawdzięcza ono przystosowaniu do do-
ważnego użytku naturalnego głazika, którego kształt odpowiada przezna-

czeniu tego narzędzia. Brak dobrego surowca krzemianowego na miejscu usprawiedliwia dostatecznie użycie gładzika kwarcytowego.

5° *Seria utworów interglacialnych*, które w 1927 r. były przedmiotem badań St. Pawłowskiego (8), E. L. Niezabitowskiego (7) oraz W. Szafra—J. Treli (11).



Fig. 8

Poznań—Szelaż, żwirownia

Rysunki odlewów gipsowych wyrobów krzemianowych, pochodzących z serii piaszczystej podścielającej górną morenę denną; nieco zmniejszone

Poziom stropowy serii przedstawia warstwę bezwapiennego piaszczystego z detrytusem torfowym, grubości 35 cm, barwy (w stanie świeżym) ciemnoszarej (tabl. II-B, w-wa 3c). Poziom ten jest słabo zawodniony; piasek kryptosłoisty z drobnymi soczewkami piaszczystego gruboziarnistego i drobnego żwiru (do 3 mm). Składnikami dominującymi są piasek drobnoziarnisty (0,1 - 0,3) 50,44% i pelit kwarcowy szklisty (poniżej 0,1) 39,88%. Piasek średnioziarnisty i gruboziarnisty stanowią nieznaczny domieszkę — 6,45% i 2,93% — całego składu tej warstwy. Domieszka żwiru wynosi zaledwie 0,3%.

Piasek niemal wyłącznie kwarcowy, o zdecydowanej przewadze ziarn szklistych, lśniących, ostrokanciastych. Stosunkowo nieliczne skałki, liczne ziarna glaukonitu. We frakcjach powyżej 0.2 nieznaczna domieszka ziarn otoczonych nieregularnych, kulistych i jajowatych, matowych. Nieliczne okruchy otoczone i kanciaste skał krystalicznych oraz wapieni paleozoicznych. Dość liczne okruchy drewna zwęglonego.

W przeciwieństwie do obu serii nadległych — jeziorowej i rzecznej — a nawet ławicy żwirowo-gładzikowej, pokrywającej w tym szurfię serię interglacialną — warstwa piaszczystego nie zawierała ułamków muszli ślimaków plejstoceńskich.

Poniżej piaszczystego cienka warstewka (15 cm) czystego, bardzo związłego, ciemnobrunatnego, silnie rozłożonego torfu (tabl. II-B, w-wa 3), w którym z rzadka występują drobne ułamki cienkich gałęzi

Niżej gytia silnie marglista, barwy ciemnopopielatej, z licznymi ułamkami drobnych muszli (tabl. II-B, w-wa 3b), odwiercona do głębokości 13,62 m od powierzchni terenu. Spągu nie osiągnięto.

Szurf V

Szurf V (pl. II-1,2; tabl. II-C). Szurf ten został wykonany na odcinku południowym żwirowni, w ścianie wykopu wciętego w taras denudacyjny, przedstawiający dno rynnowego obniżenia części wysokiego brzegu pradoliny Warty.

Poczynając od góry w szurfie tym występują utwory następujące:

1^o *Gleba piaszczysta bielicowa* (tabl. II-C, w-wa glb) ze sporadycznie występującymi głazikami i żwirem, żółtawo-rdzawa, grubości 25 - 30 cm. Przechodzi w podglebie drobnoziarnistego białego piasku z pełitem kwarcowym, grubości 20 - 30 cm.

2^o *Seria jeziorowa piaszczysto-mułkowa* (tamże, w-wa 6), miąższości 2,2 - 2,4 m. bezwapienna. Składa się głównie z mułków, które występują w dwóch poziomach: górnym i spagowym. Dzielący je poziom przejściowy przedstawia interkalacyjną ławicę, grubości 40—45 cm, czystych, jasnych piasków drobnoziarnistych, o niewidocznym uwarstwieniu, z wyjątkiem partii stropowej, w której występują drobne, soczewkowate, z lekka łukowato do góry wygięte smużki piasku mułkowego brunatnawego; wskazujące na uwarstwienie w rybią łuskę. Powierzchnia ławicy wyraźnie ścięta, zapada ostro w kierunku południowym.

Mułki poziomu górnego miąższości 1,5 m. W partii stropowej brunatno-rdzawe, początkowo piaszczyste, przechodzą następnie w typowe, z warstwami barwy popielatej, o odcieniu seledynowym, a ku dołowi tego poziomu — w mułki ilaste ze słojami piasku mułkowego, u góry brunatno-żółtawe, w dole ciemnobrunatne.

W spodzie mułków poziomu spagowego serii jeziorowej, w poziomie granicznym z serią sedymentacyjną rzeczną, występuje warstwa poziomo kryptosłoista mułku ilastego, ciemnobrunatna z wkładkami gliniastymi, zawierającymi piasek z podścielającej ją serii rzecznej. Od nadległej partii mułków oddziela ją warstewka sypkiego, jasnego piasku tego samego pochodzenia. Powyżej tej warstewki — mułki piaszczyste, barwy jaśniejszej, brunatnawej, z drobnymi łukowatymi smużkami, które wskazują na uwarstwienie w rybią łuskę. Wyżej przechodzą w piaski nadległej ławicy, podścielającej mułki poziomu górnego.

Mułki poziomu górnego charakteryzuje ostry upad w kierunku południowym oraz uwarstwienie właściwe utworom deluwialnym zboczowym: jest ono zmienne, mikrosoczewkowato-cienkosłoiste, o różnej inten-

T a b e l a 2
Skład mechaniczny serii sedymentacyjnej rzecznej szurfu V

Poziom	poni- żej 0,1	F					%							
		0,1-0,2	0,2-0,3	0,3-0,4	0,4-0,5	0,5-0,6	0,6-0,75	e	w					
Poziom stropowy	0,74	3,0	10,49	63,03	19,58	2,24	0,74	0,18						
1 m od stropu	0,14	5,22	16,89	45,27	18,00	6,43	2,25	2,90	1,70	1,20				
6,25 m od stropu (spód szurfu)	1,12	3,93	6,18	12,93	2,24	3,93	6,18	11,23	4,49	1,28	5,62	12,36	10,12	16,86

sywności zondulowania poszczególnych słoí, a nawet ich części, którego kierunek jest zgodny z ogólnym kierunkiem upadu uwarstwienia mułków tego poziomu. Jak to przedstawia profil szurfu, pokrywają one zbocze, prawdopodobnie garbu piasków podścielających a zatem proces akumulacji tych mułków przebiegał w warunkach analogicznych do tych, w jakich powstają subaeralne utwory deluwialne zboczowe. Mułki poziomu spągowego, akumulowane na równej powierzchni serii piasków rzecznych, przedstawiają osad o normalnej, spokojnej, niezaburzonej strukturze.

3^o *Seria sedymentacyjna piasków rzecznych* (tabl. II-C, w-wa 5). W poziomie stropowym piaski są bezwapniowe, niżej wapniste. Czyste, jasne, szare u góry drobno- i średnioziarniste, spokojnie poziomo warstwowane: dołem średnio- i gruboziarniste, z domieszką żwiru i warstewką żwiru na głębokości 4,90 m, niżej grubouławicowe; poczynając od głębokości 5,45 m przechodzą w zwarty poziom żwirowo-głazikowy. Spąg serii nie został osiągnięty z powodu zawodnienia; odsłonięcie doprowadzono do głębokości 6,25 m. W poziomie żwirowo-głazikowym oraz w piaskach nadległych występowały nieliczne ułamki muszli ślimaków plejstocen-
skich.

Pod względem petrograficznym składu granulometrycznego oraz stanu zachowania i morfologii ziarna piaski te są identyczne z piaskami tego samego poziomu stratygraficznego, odsłoniętymi w szurfach poprzednich. Nie opisuję ich przeto ograniczając się do podania ich składu mechanicznego (tabela 2).

Szybik 1

Szybik 1 (fig. 9; pl. II, S1). Szybik ten (1,5 × 1,5 m) został wykonany na dnie wykopu żwirowni, w jego części południowej, w odległości ok. 80 m na E od szurfu V i ok. 30 m od dawnej szosy fortecznej.

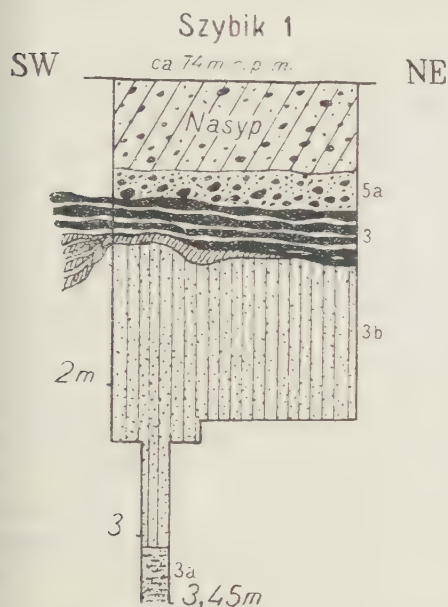


Fig. 9

Szeląg — żwirownia, szybik 1

3a piasek zawodniony, 3b gytia, 3 torf,
5a żwir z głazikami i głazami

nich zdecydowanie jako utwór mający wszelkie cechy utworu macierzystego dla tych ławic. Zawierają bowiem one materiał klastyczny, pobrany głównie — według wszelkiego prawdopodobieństwa — z tego utworu. Brak w nim natomiast domieszek ubocznych, pochodzących z innych utworów, które występują w całej serii sedymentacyjnej rzecznej i pokrywającej ją serii jeziorowej piaszczysto-mułkowej, mianowicie: okruców i „otoczków“ marglu jeziorowego oraz okruców kanciastych i obtoczonych drewna zwęglonego. Brak w nim również toczenców i „żwiru toczencowego“. Poza tym utwór ten różni się genetyczną jednolitością dominujących cech wtórnych materiału klastycznego, którymi są: dla głazów, głazików i częściowo żwiru — stan zachowania powierzchni, a dla piasku ponadto — morfologia ziarna. Cechy te zgodnie wskazują na długotrwałe działanie czynnika eolicznego w warunkach klimatu międzylodowcowego.

Na dnie szybiku doprowadzonego do głębokości 2,4 m wykonano wiercenie, które osiągnęło poziom 3,45 m od powierzchni terenu. Na głębokości tej występował piasek silnie zawodniony, którego świder nie pobierał.

Poczynając od góry, poniżej powierzchniowego nasypu żwirowo-gliniastego grubości 55 cm, odsłonięto utwory następujące:

¹⁰ Resztką zniszczonego wskutek eksploatacji żwirowni, zwartego, żwirowo-głazikowego utworu z głazami wielkości normalnych „brukowniców“. Ma wygląd podglebia orsztynowego, jest grubo uławicony, górą ciemnordzawy, na przemian z jaszkwardzawo-żółtymi smugami, dołem jaśniejszy — żółtawo-rdzawy, wapnisty.

Skład mechaniczny podobny do składu ławic żwirowo-głazikowych szurfów II—V. Różni się jednak od

Gruby materiał eratyczny, nie wyłączając żwiru, przeważnie intensywnie skorodowany, z charakterystyczną patyną eoliczną („pustyniowa — „pustynnyj zagar“ geologów rosyjskich). Wśród głazików, nawet dużych rozmiarów (11 cm długości), znajdują się sporadycznie okazy, których powierzchnie, częściowo lub całkowicie, zostały odnowione — pozabawione korozji, a niektóre przybrały kształt typowych jajowatych i eliptycznych płaskich otoczków.

Piasek występujący w tym utworze różni się zdecydowanie od piasku ławic żwirowo-głazikowych serii rzecznej. W swojej masie, poczynając od frakcji 0,3, jest to piasek pochodzenia wydmowego; składa się niemal wyłącznie z ziarn matowych, doskonale obtoczonych, kulistych i jajowatych, z przewagą typowych dlań kulistych. Kwarce przeważnie szkieletowe; znaczną domieszkę stanowią ziarna glaukonitu oraz blaszki biotytu i muskowitu. W piaskach średnio- i gruboziarnistych, a zwłaszcza w żwirze, występują liczne, doskonale obtoczone, kształtu otoczków, płaskie i bryłowe ziarna białego wapienia, prawdopodobnie kredowego. Z domieszek organicznych znajdują się w różnych frakcjach piasku i drobnego żwiru jedynie szczątki roślinne, całkowicie zorsztynizowane, o wyglądzie ułamków łodyżek. Tego rodzaju szczątki roślinne występują również w piaskach serii rzecznej, niewątpliwie na złożu wtórnym, łącząc się z grudkami utworu mułkowego i zlepieńców doskonale obtoczonych ziarn piasku o lepisczu mułkowym barwy żółto-rdzawej.

Brak mi danych dla dokładnego oznaczenia wielkości udziału w tym utworze grubego materiału eratycznego: głazików powyżej 25 mm i głazów. Oceniając „na oko“, przy przekopywaniu tego utworu w szybiku udział ten jest duży. Zestawienie (tabela 3), które poniżej podaję, uwzględnia jedynie skład piasku i żwiru do 20 mm grubego. Udział głazików powyżej 20 mm, sądząc z zawartości próbki tego utworu, jest mniejszy o połowę, niż podany w tym zestawieniu udział żwiru. Materiał gruboklastyczny stanowi zatem co najmniej 75% całego składu tego utworu.

T a b e l a 3
Poznań-Szeląg, szybik 1. Skład mechaniczny piasków i żwiru
z utworu żwirowo-głazikowego, pokrywającego torf interglacjalny

Fracje mm	P i a s e k				Z w i r		
	poniżej 0,1	0,1 - 0,3	0,3 - 0,5	0,5 - 1,0	1,0 - 2,0	2,0 - 10,0	10,0 - 20,0
%	3,09	3,43	4,32	46,27	25,60	14,51	2,78

Głaziki 21 - 47 mm stanowią 18% składu piasków i żwiru

2° Silnie rozłożony i sprasowany, łupkowany czysty torf, barwy bardzo ciemnej, brunatnej, ze szczątkami roślin, wieczkami ślimaka B.

thynia tentaculata oraz pokrywami chrząszczy; zapada w kierunku NE i w tym kierunku wzrasta miąższość warstwy torfu (w szybiku — od 25 do 35 cm).

Powierzchniowa partia zwietrzała, w stanie świeżym niemal czarna. Powierzchnia torfu zdenudowana i subaeralnie splekana w sposób właściwy utworom gliniastym i ilastym, których powierzchnia uległa wysuszeniu. Poza tym jest poślóbiona pionowymi i poziomymi (wzdłuż słoów torfu) kanalikami infiltrującej w głąb wody opadowej, wypełnionymi bądź czystym, bądź żelazistym piaskiem. Miejscami występują w stropowej partii torfu drobne, bryłowate gniazda piasku wypełniającego miniaturowe komory wyżłobione przez wodę. Fakty te dowodzą istnienia przerwy czasowej pomiędzy pokładem torfu a pokrywającym go, w tym szybiku bezpośrednio, utworem żwirowo-głazikowym. Prawdopodobnie z wczesną fazą tej przerwy związane jest powstanie warstwy piasku mułkowego, bezwapiennego, która w szurfie IV pokrywa torf.

3° Częściowo bezpośrednio, częściowo poniżej wyklinowującej się cienkiej warstwy przejściowej torfu o barwie jasnej, brunatnej, występuje utwór gytiowy silnie marglisty, górą ciemnoszary wskutek znacznej domieszki detrytusu roślinnego, dołem, aż do spodu, jaśniejszy, mułkowaty, miąższości 2.05 m. Podściela go silnie zawodniony piasek, którego świder nie pobierał.

W pobliżu szybiku 1 wykonany został, w poziomie nieco wyższym, szybik 2. Prace w tym szybiku ograniczono do odsłonięcia stropowej partii torfu, który jest tego samego typu, jak w szybiku 1. Pokrywał go również grubouławiony utwór żwirowo-głazikowy z „brukowcami”.

Na tym prace badawcze stratygraficzne na terenie żwirowni w Szelągu zakończono. Próbkę torfu i gytii przekazałem prof. dr. W. Szaferowi. Zostały one zbadane metodą analizy pyłkowej przez dra A. Środonia, który uzyskane wyniki podał w pracy przekazanej do druku Instytutowi Geologicznemu.

INTERPRETACJA STRATYGRAFII PROFILU

W wyniku przeprowadzonych przeze mnie badań stratygraficznych w żwirowni szelągowskiej ujawnione zostały fakty nowe, które w zestawieniu dają zupełnie inny obraz Szeląga, niż ten, jaki mieliśmy na podstawie publikacji dotychczasowych, poświęconych Szelągowi (1, 7, 8, 11) lub nawiązujących doń (2, 4). Nie jest to, oczywiście, obraz ostateczny, lecz jedynie częściowa korekta tego, cośmy dotąd niedostatecznie dokładnie wiedzieli o stratygrafii Szeląga. Demonstrowane tu wyniki badań stratygraficznych wymagałyby uzupełnienia wynikami badań petrograficznych, paleobotanicznych (materiałów pobranych przez paleobotanika we-

spół z geologiem z kilku miejsc i różnych utworów), malakologicznych i geomorfologicznych, a ponadto wymagałyby uzupełnienia wynikami tego rodzaju badań, przeprowadzonych w Winiarach i Głównej, wynikami, które zawierają cenne materiały porównawcze i były nawiązywane do Szeląga.

Rezultaty przeprowadzonych przeze mnie badań według mojej oceny dają dostatecznie poważną podstawę do stwierdzenia, że

1° utwory torfowo-gytiowe Szeląga były pokryte przez glinę morenową, która uległa rozmyciu i jej pozostałością jest materiał eratyczny, występujący na wtórnym złożu w spagowym poziomie nadległej, typowej serii sedimentacyjnej rzecznej;

2° seria ta oraz występująca w jej stropie seria jeziorowa reprezentują górną połowę interglacjału młodszego, niż interglacjał reprezentowany przez torf i gytie, występujące w spodzie. Wynika to z takich faktów jak: a) skorodowanie materiału eratycznego, pochodzącego z rozmytej gliny morenowej pokrywającej torf, oraz b) wtórność złoża toczeniśców i „żwiru toczeniścowego“, grudek i „otoczków“ marglu jeziorowego oraz szczątków fauny malakologicznej, występujących w seriach sedimentacyjnej rzecznej i jeziorowej. Fakty te prowadzą do wniosku, że

3° fauna malakologiczna, reprezentowana w szczątkach w seriach rzecznej i jeziorowej, pochodzi z utworów interglacialnych dolnej połowy interglacjału reprezentowanego przez te serie, z utworów, które, jeżeli się znajdowały w Szelągu, jak na to wyżej zacytowane i inne fakty wskazują, to uległy rozmyciu. Wreszcie wielce prawdopodobnym jest, że

4° gytie Winiar i Głównej — sądząc z warunków stratygraficznych w jakich występują — są tymi utworami, z których pochodzą szczątki fauny malakologicznej, spotykane na wtórnym złożu w wyżej wymienionych obu seriach Szeląga (tabl. IV, 6d).

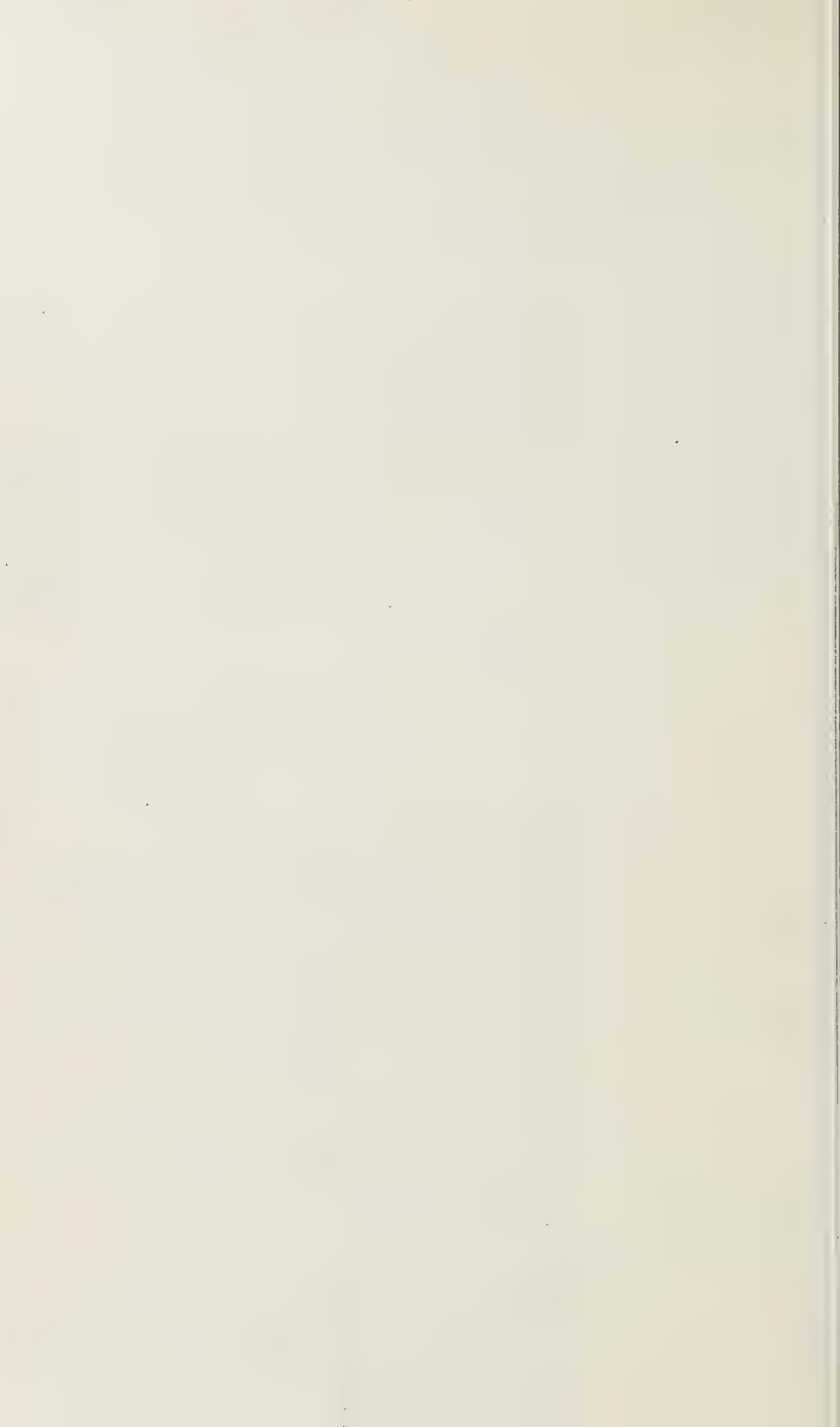
Wnioski tu wypowiedziane, w zestawieniu z całością uzyskanych wyników badań stratygraficznych, wraz z próbą interpretacji stratygrafii i wieku interglacjału Winiar i Głównej, podaję na tablicy stratygraficznej (III). Graficznym uzupełnieniem jej jest profil syntetyczny obu tych stanowisk i Szeląga (tabl. IV).

W mojej interpretacji stratygrafii Szeląga pozycją najsłabszą jest chronologia. Zresztą, przy obecnej znajomości stratygrafii naszego plejstocenu, w szczególności liczby zlodowaceń, ich stadiów i ich zasięgów słabość tej pozycji jest usprawiedliwiona.

Ostatnio B. Halicki (3) umieścił (ze znakiem zapytania w nawiasie) interglacjał torfowo-gytiowy Szeląga w poziomie interglacjału Żydowszczyzny — pomiędzy zlodowaceniami III i IV (środkowo-polskim i południowo-polskim), gytie zaś Winiar i Głównej — w interglacjale następnym (4-ym). Z tym oznaczeniem wieku nie zgadza się moja interpretacja

Tablica stratygraficzno-chronologiczna stanowisk interolacyjnych Szeląga, Winiar i Głownej pod Poznaniem

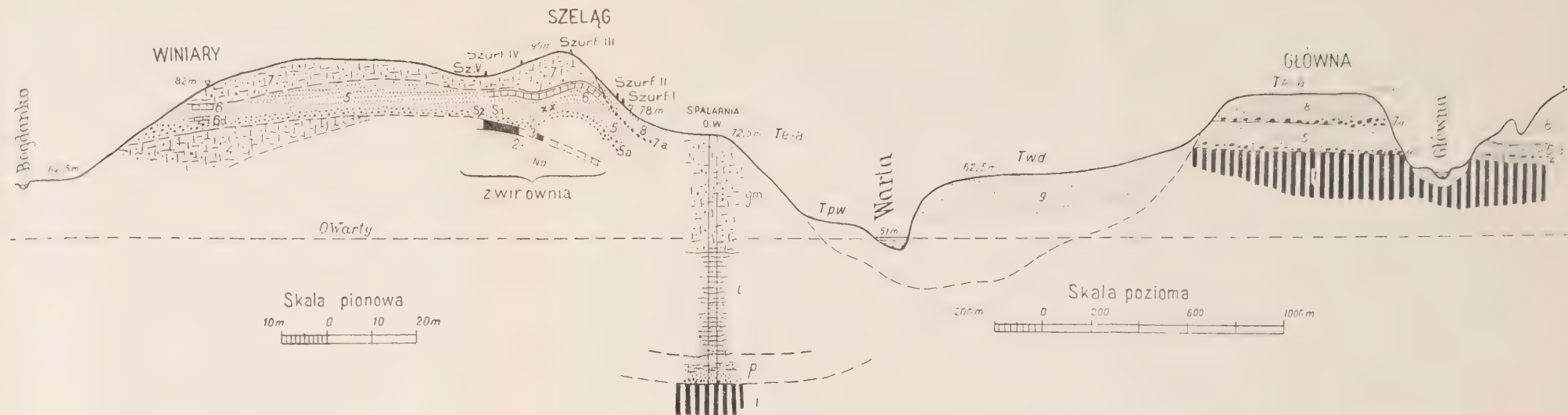
Chronologia		Stratygrafia		Procesy		Winiary		Główna	
						wg J. Gołąba (2)	wg L. Sawickiego	wg B. Krygowskiego (4)	wg I. Sawickiego
Zlodowacenie północno-wschodnie	Stadium poznańskie			Powstanie klinów mrozowych w glinie morenowej górnej Szeląga					
	Interstadial	Aluwia wysokiego tarasu erozyjno-akumulacyjnego pra-Warty z „brukiem” z rozmytej gliny morenowej górnej w spągu		Powstanie wysokiego tarasu erozyjno-akumulacyjnego pra-Warty	Erozja			Sandr z recesji młodszego zlodowacenia	Aluwia wysokiego tarasu erozyjno-akumulacyjnego (Główna?) Erozja
	Stadium Leszna	Górna glina morenowa		Ścięcie utworów piaszczysto-mułkowych serii jeziorowej przez transgredujący lodowiec	Morena brunatna (górna) Varsovien I	Stadium Leszna		Warstwa żwirów i bloków po zde-nudowanym marglu brązowym	„Bruk” z rozmytej górnej gliny morenowej
	Interglacja		Seria jeziorowa piaszczysto-mułkowa		Akumulacja piasków zawierających wkładki żwiru i głazików oraz okruchy i otoczaki mułków serii jeziorowej Erozja				
				Akumulacja mułków i piasków mułkowatych, zawierających drobne okruchy i „żwir” toczeniowy dolnej gliny morenowej oraz ułamki muszli ślimaków wodnych i okruchy drewna zwęglonego Erozja	Piaski i gytie ze ska-mielinami	Seria górna utworów jeziorowych (tabl. IV, w-wa 6)		Gytia marglista (Gallona „typowy” margiel jeziorowy)	
		Piaski rzeczne o poziomym i przekątnym uwarstwieniu z wkładkami i ławicami żwirowo-głazikowymi w dole		Akumulacja normalnej serii sedymentacyjnej rzecznej, zawierającej w partii spągowej żwir, głaziki i sporadycznie „brukowce” z toczkami i „żwirem” toczeniowym dolnej gliny morenowej na różnych poziomach na złożu wtórnym, zawierającej poza tym grudki i obtoczone okruchy marglu jeziorowego z <i>Valvata piscinalis</i> , liczne ułamki muszli ślimaków wodnych oraz obtoczone okruchy drewna zwęglonego Erozja	Piaski skośnie uwarstwione, gruboziarniste z gytiami roślinnymi	Seria dolna utworów jeziorowych (tabl. IV, w-wa 6d)			
					Przerwa czasowa Erozja			Erozja Silne zniszczenie marglu jeziorowego	
		Zwarty żelazisty gruboławicowy pokład piaszczysto-żwirowo-głazikowy, ze sporadycznie występującymi „brukowcami” bez grudek i „otoczaków” marglu jeziorowego oraz drewna zwęglonego z obtoczonymi grudkami torfu, bardzo nielicznymi uławkami muszli. Żwir, głaziki i głazy skorodowane		Akumulacja rzeczna pokładu piaszczysto-żwirowo-głazikowego z „brukowcami” Erozja	Żwiru skośnie uwarstwionej dolnej, szarej gliny morenowej Erozja				Erozja
				Odsłonięcie torfu, denudacja jego powierzchni, rozwój procesów eolicznych, korozja i patynizacja eoliczna materiału eratycznego. Rozmycie pokrywającej torf dolnej gliny morenowej Erozja					
Zlodowacenie środkowo-polskie	Stadium Warty	Luźny materiał eratyczny i toczki z rozmytej gliny morenowej							Dolna glina morenowa, bądź też „bruk”
Interstadial		Warstwa piasku mułkowego z detrytusem torfowym		Denudacja					
		Torf silnie rozłożony, łupkowaty, ciemnobrunatny		Zatorfienie Częściowe spłynięcie jeziora	Torfy i kreda jeziorowa Szeląga			Typowy margiel jeziorowy Erozja	
		Gytia górą silnie marglista z detrytusem roślinnym, dołem mułkowata		Akumulacja detrytusów organicznych, dołem — mułu marglistego					
		Piasek silnie zawodniony, jasny, szary		Akumulacja rzeczna piasku (?)				Dolne drobne piaski przejściowe do marglu	
					Dolna, szara glina morenowa zlodowacenia Cracovien			Szary margiel starszego zlodowacenia lub żwiru z głazami	



Profil stratygraficzno-syntetyczny: Winiary – Szelaż – Główna

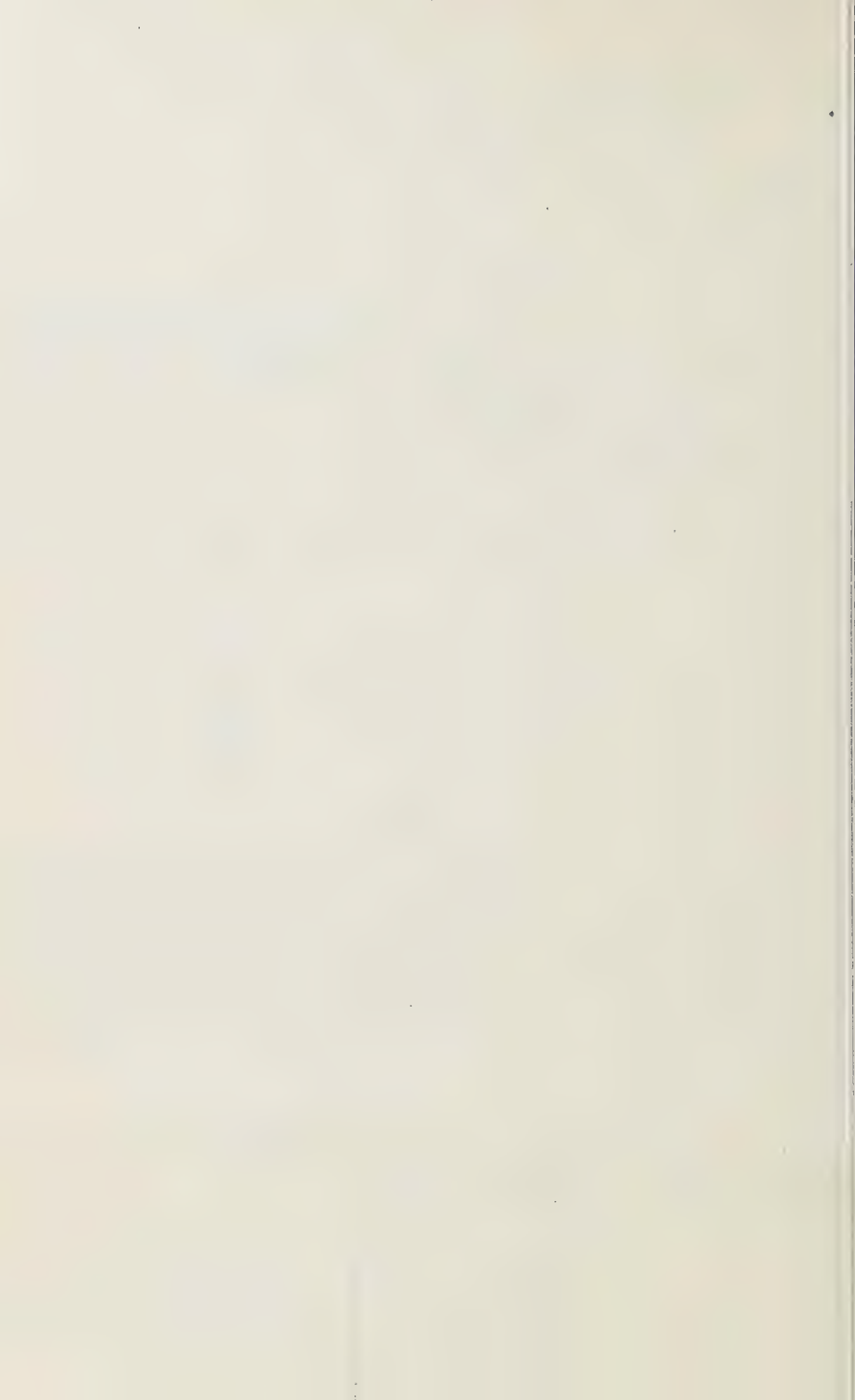
WSW

ENE



Legenda:

1 iły poznańskie, 2 piaski podścielające utwory torfowo-gytlowe Szelaża, 3 utwory torfowo-gytlowe Szelaża, 4 glina morenowa dolna, 4a „bruk” z rozmytej moreny dolnej, 5 seria sedymentacyjna piasków, w dole (5a) — z poziomem żwirowo-głazikowym z „brukowcami” oraz, na Szelażu, z tocząciami gliny morenowej dolnej, 6 seria górna utworów jeziorowych Szelaża, Winiar i 6d seria dolna utworów jeziorowych Główniej (torfy, gytie, margle, mułki), 7 górna glina morenowa, 7a „bruk” z moreny górnej, 8 aluwia wysokiego tarasu erozyjno-akumulacyjnego pra-Warty (Te-a), 9 aluwia tarasu wydrmowego (Twd); Tpw taras powodziowy wysoki, O. W. otwór wiertniczy w spalarni śmieci na Szelażu: gm glina morenowa (dolna?), i glina tłusta (iły warwowe?), dołem piaszczysta z poziomem kurzawki w spodzie, p piaski, górą gliniaste dołem gruboziarniste z kamieniami w spodzie



Według mnie są to utwory o jedno zlodowacenie i jeden interglacjał młodszego. Słuszna jest natomiast interpretacja Halickiego warunków stratygraficznych torfów szelağowskich, który twierdzi, że występują one poniżej dwóch różnowiekowych poziomów gliny morenowej.

Z serii sedymentacyjnej rzecznej pochodzą opublikowane przez Maasa (5) dwa wyroby krzemienne. Oryginałów nie znam. W Muzeum Archeologicznym w Poznaniu oglądałem jedynie ich odlewy. Są to 2 wióry drobne i 1 odlupek. Drugi okaz wióra pochodzi z Szelağa, prawdopodobnie z tego samego znaleziska (fig. 8).

Okazy te, jak już zaznaczyłem na innym miejscu, nie są narzędziami i dlatego trudno je uznać za rozstrzygające kryterium chronologiczne. Tym niemniej, biorąc pod uwagę ich charakter morfologiczny, wiek ich — z dużym prawdopodobieństwem — oznaczyć należy jako madleński, i to madleński po recesji nie tylko glacjału stadium Warty, lecz również po recesji bałtyckiego zlodowacenia z jego zasięgu maksymalnego — z linii moren Leszna. Znalezisko to ma, w każdym razie, dla zagadnienia wieku północno-polskiego zlodowacenia (bałtyckiego) poważne znaczenie. Zgodnie z innymi faktami kwestionuje ono poprawność synchronizacji długiego okresu oryńskiackiego z okresem pomiędzy stadium Warty i stadium Leszna, zwłaszcza wobec faktu, że dotychczas dobrze nie wiemy, jakie zlodowacenie reprezentuje stadium Warty (12).

Zakład Paleolitu I.H.K.M. PAN

Warszawa, listopad 1954 r.

LITERATURA CYTOWANA

1. GOŁĄB J. Toczenie z gliny morenowej w Szelağu pod Poznaniem (Rollsteine aus dem Moränenton von Szelağ bei Poznań). — Roczn. P. T. Geol. (Ann. Soc. Géol. de Pologne), X. Kraków 1934.
2. GOŁĄB J. & URBĄŃSKI J. Nowa odkrywka interglacjału na Winiarach koło Poznania (Neuer Aufschluss des Interglazials in Winiary bei Poznań). — Ibid., XIII. Kraków 1938.
3. HALICKI B. Z zagadnień stratygrafii plejstocenu na Niżu Europejskim (Some problems concerning the stratigraphy of the Pleistocene of the European Lowland). — Acta Geol. Pol., vol. I/2. Warszawa 1950.
4. KRYGOWSKI B. Nowe stanowisko interglacjału w Głównej pod Poznaniem (Neue Fundstelle des Interglazials in Główna bei Poznań). — Pozn. T. P. N., Prace Kom. Geogr. (Trav. Géogr. Soc. Sci. Poznań), 1/3. 1938.
5. MAAS G. Über zwei anscheinend bearbeitete Gesteinstücke aus dem Diluvium. — Jb. Preuss. Geol. L.-A., XVIII. Berlin 1898.
6. — Über Thalbildungen in der Gegend von Posen. — Ibid., XIX. Berlin 1899.
7. NIEZABITOWSKI E. Interglacjał w Szelağu pod Poznaniem (Interglazial in Szelağ-Schilling bei Posen). — Spraw. Kom. Fizjogr. PAU (C.-R. Com. Physiogr. Acad. Pol. Sci. et Lettr.), 63. Kraków 1829.

8. PAWŁOWSKI S. Interglacjał w Szelażu pod Poznaniem (Interglazial in Szelaż-Schilling bei Posen). — Ibid., 63. Kraków 1929.
 9. — Rozważania nad morfologią doliny Warty pod Poznaniem (Über die Entstehung des Warthedurchbruches bei Posen). — Bad. Geogr. nad Polską pn.-zach. (Études Géogr. sur la Pologne du Nord-Ouest), 4-5. Poznań 1929.
 10. SAWICKI L. W sprawie metody badań dyluwialnych. — Kosmos, ser. B, t. LXL z. 1. Lwów 1937.
 11. SZAFER W. & TRELA J. Interglacjał w Szelażu pod Poznaniem (Interglazial in Szelaż-Schilling bei Posen). — Spraw Kom. Fizjogr. PAU (C.-R. Com. Physiogr. Acad. Pol. Sci. et Lettr.), 63. Kraków 1929.
 12. SZAFER W. Stratygrafia plejstocenu w Polsce na podstawie florystycznej (Pleistocene stratigraphy of Poland from the floristical point of view). — Roczn. P. T. Geol. (Ann. Soc. Géol. de Pologne), XXII/1. Kraków 1953.
-



Fot. 1

Szeląg. Widok ogólny na północny odcinek dawnej żwirowni. Z prawej strony graniczy z cmentarzem naramowickim

8 wysoki taras erozyjno-akumulacyjny pra-Warty, 7 górna glina morenowa, 6 seria utworów jeziorowych piaszczysto-mułkowych, 5 seria piasków podścielających



Fot. 2

Szeląg. Widok ogólny na środkową i południową część dawnej żwirowni

Fot. L. Sawicki



Fot. 1

Szeląg. Południowa część dawnej żwirowni z szybikiem 1 i szurfem V na pierwszym planie. Czarna smuga na dnie wykopu — szybik 1



Fot. 2

Szeląg. Południowa część dawnej żwirowni z szurfami IV i V



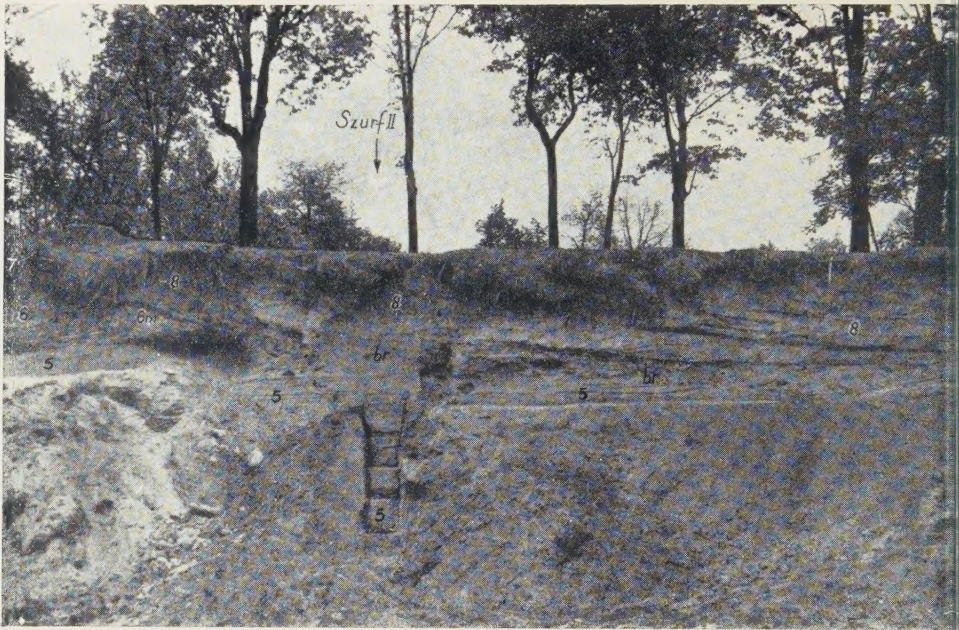
Fot. 1



Fot. 2

Fot. L. Sawicki

Objaśnienia — obok pl. IV-ej



Fot. 1



Fot. 2

Fot. L. Sawicki

Objaśnienia — obok

Fot. 1

Szeląg. Profil ścianki północnej wykopu żwirowni

8 aluwia wysokiego tarasu pra-Warty, 7 glina morenowa górna, br „bruk“ z rozmytej moreny górnej, 6 utwory jeziorowe piaszczysto-mułkowe, 5 piaski podścielające

Fot. 2

Szeląg. Profil ścianki północnej wykopu żwirowni. Część zachodnia odsłonięcia z utworami jeziorowymi

Legenda — jak przy fot. 1

Fot. 1

Szeląg. Środkowa część profilu z szurfem II

8 aluwia wysokiego tarasu pra-Warty, 7 glina morenowa górna, br „bruk“ z rozmytej moreny górnej, 6 utwory jeziorowe piaszczysto-mułkowe, 6m margiel, 5 seria piasków podścielających z poziomem żwirowo-głazikowym, odsłoniętym w spodzie szurfu II, zawierającym toczne z gliny morenowej dolnej

Fot. 2

Szeląg. Tocznię

1-4 drobne toczne dolnej gliny morenowej, bez patyny żelazistej, z szurfu II: 1 podkrążkowy, 2-3 kuliste, 4 część tocznia krążkowego z ułamkiem muszli ślimaka na powierzchni (m), 8-9 toczne walcowate i kuliste, pokryte brunatno-rdzą patyną żelazistą, z poziomu 12-12,10 m szurfu III; 10-11 tocznec walcowate, z ułamkiem muszli ślimaka na powierzchni (m), i wrzecionowate, pozbawione patyny żelazistej, z poziomu 11,7 m szurfu III, 6-7 otoczaki płytkowatych okruchów mułku jeziorowego oraz 5 płytka tegoż mułku, częściowo obtoczona i poślubiona przez wodę z szurfu III

